



ใบรับรองวิทยานิพนธ์
บัณฑิตวิทยาลัย สถาบันเทคโนโลยีพระจอมเกล้าฯ พระนครเหนือ

เรื่อง การเปรียบเทียบกำลังอัดของเสาสันคอนกรีตเสริมเหล็กที่เสริมเหล็กปลอกต่างกัน
โดย นายชนปกรณ์ สังข์ทอง

ได้รับอนุมัติให้นับเป็นส่วนหนึ่งของการศึกษาตามหลักสูตร
ครุศาสตร์อุดสาหกรรมมหาบัณฑิต สาขาวิชาโยธา

คณบดีบัณฑิตวิทยาลัย

(อาจารย์ ดร.มงคล หวังสกิดย์วงศ์)

21 พฤษภาคม 2550

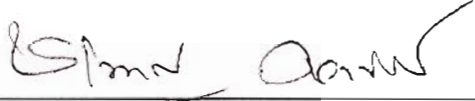
คณะกรรมการสอบวิทยานิพนธ์


(รองศาสตราจารย์ ดร.นิพนธ์ เชียรศิริพิพัฒน์)

ประธานกรรมการ


(ผู้ช่วยศาสตราจารย์สriskitichai Srisuwan ศรีติวงศ์สิริพัฒนา)

กรรมการ


(อาจารย์ชำนาญ ดาวรัตน์)

กรรมการ

การเปรียบเทียบกำลังอัดของเสาสันกอนกรีตเสริมเหล็กที่เสริมเหล็กปิดอกต่างกัน

นายธนปกรณ์ สังข์ทอง

วิทยานิพนธ์นี้เป็นส่วนหนึ่งของการศึกษาตามหลักสูตร

ครุศาสตร์อุดสาหกรรมมหาบัณฑิต

สาขาวิชาโยธา ภาควิชาครุศาสตร์โยธา

บัณฑิตวิทยาลัย สถาบันเทคโนโลยีพระจอมเกล้าพระนครเหนือ

ปีการศึกษา 2549

ลิขสิทธิ์ของสถาบันเทคโนโลยีพระจอมเกล้าพระนครเหนือ

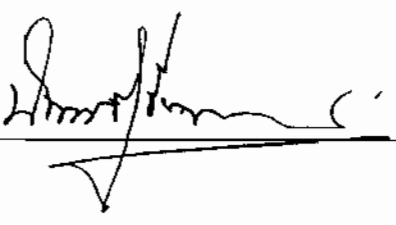
ชื่อ : นายชนปกรณ์ สังข์ทอง
 ชื่อวิทยานิพนธ์ : การเปรียบเทียบกำลังอัดของเสาสันคอนกรีตเสริมเหล็กที่เสริมเหล็ก
 ปลอกต่างกัน
 สาขาวิชา : โยธา
 สถาบันเทคโนโลยีพระจอมเกล้าพระนครเหนือ
 ที่ปรึกษาวิทยานิพนธ์ : รองศาสตราจารย์ ดร.นิพนธ์ เทียรศิริพัฒน์
 ปีการศึกษา : 2549

บทคัดย่อ

วิทยานิพนธ์ฉบับนี้รายงานผลการวิจัยเชิงทดลอง เพื่อเปรียบเทียบกำลังอัดของเสาสัน
 คอนกรีตเสริมเหล็กที่เสริมเหล็กปลอกเดี่ยวขนาด ชนิด และระยะห่างต่างกันโดยอาศัย มาตรฐาน
 ACI และ ว.ส.ท. เสาทดสอบมีขนาด 15x15 ซม. สูง 80 ซม. เหล็กเสริมขึ้นขนาด DB12 มน.
 จำนวน 4 เส้น แบ่งชนิด ขนาดเหล็กปลอก เป็น 3 กลุ่มตัวอย่าง คือ กลุ่ม A (RB6) จำนวน 16
 ตัวอย่าง กลุ่ม B (RB9) จำนวน 22 ตัวอย่าง และกลุ่ม C (DB10) จำนวน 24 ตัวอย่าง ระยะห่างของ
 เหล็กปลอกมีค่าระหว่าง 9.6 – 62.4 ซม. จากผลการทดสอบพบว่า กำลังอัดของเสาทดสอบมีค่าต่ำ
 กว่าค่าที่คำนวณได้จากทฤษฎี โดยเสากลุ่ม A มีกำลังอัดเฉลี่ย 59% - 71% ของกำลังอัดจากทฤษฎี
 เสากลุ่ม B 59% - 69 % และเสากลุ่ม C 31% - 52% เสาเริ่มเกิดการแตกร้าวที่ส่วนบนหรือ
 ส่วนล่างก่อน ทำให้คอนกรีตที่หุ้มเหล็กปลอกหลุดร่อนออกมานะ เสาที่มีเหล็กปลอกห่างมีกำลังอัด
 น้อยกว่าเสาที่มีเหล็กปลอกชิดกว่า เพียงเล็กน้อย การวิเคราะห์ผลทดสอบทางสถิติคือวิธีการ
 ทดสอบความแตกต่าง ไอกสแควร์ พนวิษนาค ชนิด และระยะห่างที่แยกต่างของเหล็กปลอก ในสา
 ทดสอบ ให้ค่ากำลังอัดไม่แตกต่างกัน ณ ระดับความเชื่อมั่น 95%

(วิทยานิพนธ์มีจำนวนทั้งสิ้น 149 หน้า)

คำสำคัญ : เสาสันคอนกรีตเสริมเหล็ก, เหล็กปลอก, กำลังอัด, การทดสอบไอกสแควร์

 อาจารย์ที่ปรึกษาวิทยานิพนธ์

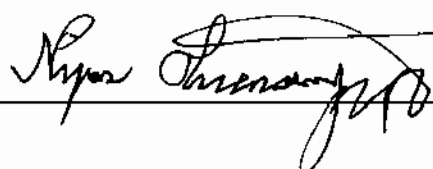
Name : Mr. Tanapakorn Sungthong
Thesis Title : A Comparison of the Compressive Strengths of Short Reinforced Concrete Columns with Different Ties
Major Field : Civil Technology
King Mongkut's Institute of Technology North Bangkok
Thesis Advisor : Associate Professor Dr. Nipon Thiensiripipat
Academic Year : 2006

Abstract

This thesis presents the results of an experimental research on a comparison of the compressive strengths of short concrete columns with ties of different types, sizes, and spacing, based on ACI and Engineering Institute of Thailand standards. The columns used for testing were 15 x 15 x 80 cm., having four DB12 mm. as main bars and three groups of ties : group A (RB6) - 16 samples, group B (RB9) - 22 samples, and group C (DB10) - 24 samples. Tie spacing varied from 9.6 - 62.4 cm. Test results showed that the compressive strengths of the columns were smaller than theoretical strengths. Group A had average compressive strengths ranging from 59 – 71 % of the average theoretical strength, while those of group B ranging from 59 – 69 %, and group C 31 – 52 %. All columns started to crack at the top or bottom of the columns, resulting in spalling of concrete covers of the columns. Columns with larger tie spacing had slightly less compressive strength than those with closer tie spacing. A statistical study of the test results using χ^2 tests showed that the differences in types, sizes, and spacing of the ties used in this study did not significantly affect the compressive strengths of the columns; the level of confidence was 95 %.

(Total 149 pages)

Keywords : Short reinforced concrete columns, ties, compressive strengths, χ^2 tests.



Advisor

กิตติกรรมประกาศ

วิทยานิพนธ์ฉบับนี้สำเร็จคุณล่วงไปแล้วดีด้วยความช่วยเหลือที่ดีอย่างยิ่งของรองศาสตราจารย์ ดร.นิพนธ์ เรียรศิริพัฒน์ อาจารย์ที่ปรึกษาวิทยานิพนธ์ที่เคยให้คำปรึกษาและคำแนะนำด้านๆ ของการทำวิจัยมาโดยตลอด ผู้วิจัยขอขอบพระคุณอาจารย์และเจ้าหน้าที่ทุกท่านของภาควิชาครุศาสตร์ โภชนา ที่ช่วยเหลือในการทำวิทยานิพนธ์ ขอขอบพระคุณอาจารย์ชำนาญ ดวงจันทร์ ที่ช่วยเหลืออ่านวิชความสะท烁ในเรื่องของเครื่องมือและการติดตั้งอุปกรณ์ทดสอบ ขอขอบพระคุณ คุณโภกษา เริ่มคิดการ ที่ก่ออยู่นับสนับและให้โอกาสเรื่องเวลาในการทำวิจัย

ท้ายที่สุดนี้ผู้วิจัยขอขอบพระคุณบิดา มารดา ครู อาจารย์ ซึ่งท่านเป็นผู้มีพระคุณ ได้ช่วยให้ผู้เขียนประสบความสำเร็จในการศึกษาจนถึงปัจจุบัน

ชนปกรณ์ สังข์ทอง

สารบัญ

	หน้า
บทคัดย่อภาษาไทย	๙
บทคัดย่อภาษาอังกฤษ	๑๐
กติกากรรมประการ	๑๓
สารบัญตาราง	๑๔
สารบัญภาพ	๑๕
คำอธิบายสัญลักษณ์และคำย่อ	๑๖
บทที่ ๑ บทนำ	๑
1.1 ความสำคัญและที่มาของปัญหาที่ทำการวิจัย	๑
1.2 วัตถุประสงค์ของการวิจัย	๒
1.3 สมมุติฐานในการวิจัย	๒
1.4 ขอบเขตการวิจัย	๒
1.5 เครื่องจักรและอุปกรณ์ที่ใช้ทดสอบเสากองกรีดเสริมเหล็ก	๔
1.6 ระเบียบวิธีวิจัย	๕
1.7 ประโยชน์ที่คาดว่าจะได้รับ	๕
บทที่ ๒ การค้นคว้าเอกสาร	๑๑
2.1 พฤติกรรมและกำลังด้านทานของเสาสันที่รับแรงอัดตาม แนวแกน	๑๑
2.2 เสาคอนกรีตเสริมเหล็กปลอกเดี่ยว	๑๖
2.3 ข้อกำหนดของเหล็กเสริมตามขวางสำหรับเหล็กปลอกเดี่ยวตาม มาตรฐาน ว.ส.ท.	๑๗
2.4 ข้อกำหนดของเหล็กเสริมตามขวางสำหรับเสาปลอกเดี่ยวตาม มาตรฐาน ACI	๑๘
2.5 การรัศมอย่างละเอียดที่แสดงถึงโครงสร้างของเสา	๑๙
2.6 การทดสอบน้ำหนักตัวของเสา	๒๑
2.7 ผลงานวิจัยที่เกี่ยวข้อง	๒๓

สารบัญ (ต่อ)

	หน้า
บทที่ 3 การเตรียมการทดสอบ	27
3.1 คุณสมบัติของวัสดุที่ใช้ในการทดสอบ	27
3.2 การเตรียมตัวอย่างเสาทดสอบ	29
3.3 การเทคโนโลยี	32
3.4 การทดสอบและการเก็บข้อมูล	32
บทที่ 4 ผลการทดสอบและวิเคราะห์	37
4.1 ผลการทดสอบเสา	37
4.2 ผลการทดสอบเสาอุ่น A เหล็กปั๊ก RB 6 มม.	41
4.3 ผลการทดสอบเสาอุ่น B เหล็กปั๊ก RB 9 มม.	49
4.4 ผลการทดสอบเสาอุ่น C เหล็กปั๊ก DB 10 มม.	60
บทที่ 5 สรุปผลและวิเคราะห์ผลการทดสอบ	73
5.1 สรุปผลการทดสอบเสาอุ่น A	73
5.2 สรุปผลการทดสอบเสาอุ่น B	74
5.3 สรุปผลการทดสอบเสาอุ่น C	74
5.4 สรุปผลการทดสอบกลุ่มเสาทั้งหมด	75
5.5 ข้อเสนอแนะในการทำวิจัย	77

สารบัญ (ต่อ)

	หน้า
บรรณานุกรม	79
ภาคผนวก ก	81
ภาคผนวก ข	97
ภาคผนวก ค	105
ภาคผนวก ง	119
ภาคผนวก จ	127
ภาคผนวก ฉ	129
ภาคผนวก ช	137
ภาคผนวก ซ	143
ประวัติผู้วิจัย	149

สารบัญตาราง

ตารางที่	หน้า
1-1 แสดงขนาดรายละเอียดและจำนวนตัวอย่างสภาพสอน	6
3-1 ค่ากำลังอัคของคอนกรีต	28
3-2 กำลังคึ่งของเหล็กเสริม	28
3-3 ตารางแสดงขนาดหน้าตัดสภาพคอนกรีต	34
4-1 ผลการทดสอบกับผลการคำนวณของ世人	37
4-2 ผลการทดสอบน้ำหนักบรรทุกสูงสุดกับค่าความเครียดของเหล็กยืน เหล็กปลอก และที่พิเศษคอนกรีต	40

สารบัญภาพ

ภาพที่	หน้า
1-1 แสดงรายละเอียดของเสาคอนกรีตเสริมเหล็ก	3
1-2 การเสริมเหล็กเสาคู่ A	8
1-3 การเสริมเหล็กเสาคู่ B	9
1-4 การเสริมเหล็กเสาคู่ C	10
2-1 พฤติกรรมการรับน้ำหนักตามแกนของเสา	13
2-2 ความสัมพันธ์ระหว่างหน่วยแรงกับการหดตัว (Stress-Strain Curves)	13
2-3 ผลของระยะเริ่งเหล็กครอบ หรือเหล็กปลอกที่ด้านท่านการพังทลายด้านข้าง	19
2-4 การรัศรอบ โดยเหล็กครอบหรือเหล็กปลอก สีเหลี่ยมชั้ตูรัส และกลม	20
2-5 ความคื้น และความเครียดของคอนกรีตที่ถูกรัศรอบ โดยเหล็กครอบ หรือ เหล็กปลอกกรูปสี่เหลี่ยม	21
3-1 การเก็บค่าว่ายางทดสอบกำลังอัดของคอนกรีต	27
3-2 รายละเอียดของเสาคอนกรีตเสริมเหล็ก	29
3-3 เหล็กเสริมที่ใช้ในการทดสอบ	29
3-4 การติดตั้ง Strain Gauges บนเหล็กเสริมเสาทดสอบ	30
3-5 การติดตั้ง Strain Gauges บนผิวคอนกรีต	30
3-6 ตำแหน่งการติดตั้ง Strain Gauges	31
3-7 การหุ้ม Coating Material	31
3-8 การจัดคอนกรีต	32
3-9 การต่อสายสัญญาณเข้ากับเครื่อง Data Logger	33

สารบัญภาค (ค่)

ภาคที่		หน้า
4-1	การวินิจฉัยของเสา A10/1	41
4-2	การวินิจฉัยของเสา A10/2	41
4-3	การวินิจฉัยของเสา A14/1	42
4-4	การวินิจฉัยของเสา A14/2	42
4-5	การวินิจฉัยของเสา A19/1	43
4-6	การวินิจฉัยของเสา A19/2	43
4-7	การวินิจฉัยของเสา A24/1	44
4-8	การวินิจฉัยของเสา A24/2	44
4-9	การวินิจฉัยของเสา A29/1	45
4-10	การวินิจฉัยของเสา A29/2	45
4-11	การวินิจฉัยของเสา A34/1	46
4-12	การวินิจฉัยของเสา A34/2	46
4-13	การวินิจฉัยของเสา A38/1	47
4-14	การวินิจฉัยของเสา A38/2	47
4-15	การวินิจฉัยของเสา A43/1	48
4-16	การวินิจฉัยของเสา A43/2	48
4-17	การวินิจฉัยของเสา B10/1	49
4-18	การวินิจฉัยของเสา B10/2	49
4-19	การวินิจฉัยของเสา B14/1	50
4-20	การวินิจฉัยของเสา B14/2	50
4-21	การวินิจฉัยของเสา B19/1	51
4-22	การวินิจฉัยของเสา B19/2	51
4-23	การวินิจฉัยของเสา B24/1	52
4-24	การวินิจฉัยของเสา B24/2	52
4-25	การวินิจฉัยของเสา B29/1	53
4-26	การวินิจฉัยของเสา B29/2	53
4-27	การวินิจฉัยของเสา B34/1	54

สารบัญภาค (ต่อ)

ภาคที่		หน้า
4-28	การวิบัติของเสา B34/2	54
4-29	การวิบัติของเสา B38/1	55
4-30	การวิบัติของเสา B38/2	55
4-31	การวิบัติของเสา B43/1	56
4-32	การวิบัติของเสา B43/2	57
4-33	การวิบัติของเสา B48/1	57
4-34	การวิบัติของเสา B48/2	57
4-35	การวิบัติของเสา B53/1	58
4-36	การวิบัติของเสา B53/2	58
4-37	การวิบัติของเสา B58/1	59
4-38	การวิบัติของเสา B58/2	59
4-39	การวิบัติของเสา C10/1	60
4-40	การวิบัติของเสา C10/2	60
4-41	การวิบัติของเสา C14/1	61
4-42	การวิบัติของเสา C14/2	61
4-43	การวิบัติของเสา C19/1	62
4-44	การวิบัติของเสา C19/2	62
4-45	การวิบัติของเสา C24/1	63
4-46	การวิบัติของเสา C24/2	63
4-47	การวิบัติของเสา C29/1	64
4-48	การวิบัติของเสา C29/2	64
4-49	การวิบัติของเสา C34/1	65
4-50	การวิบัติของเสา C34/2	65
4-51	การวิบัติของเสา C38/1	66
4-52	การวิบัติของเสา C38/2	66
4-53	การวิบัติของเสา C43/1	67
4-54	การวิบัติของเสา C43/2	67

สารบัญภาค (ต่อ)

ภาคที่		หน้า
4-55	การวินิจฉัยเสา C48/1	68
4-56	การวินิจฉัยเสา C48/2	68
4-57	การวินิจฉัยเสา C53/1	69
4-58	การวินิจฉัยเสา C53/2	69
4-59	การวินิจฉัยเสา C58/1	70
4-60	การวินิจฉัยเสา C58/2	70
4-61	การวินิจฉัยเสา C62/1	71
4-62	การวินิจฉัยเสา C62/2	71
5-1	การเปรียบเทียบกำลังรับแรงอัดตามทฤษฎีกับแรงอัดประดั้นจากการทดสอบเสากลุ่ม A	73
5-2	การเปรียบเทียบกำลังรับแรงอัดตามทฤษฎีกับแรงอัดประดั้นจากการทดสอบเสากลุ่ม B	74
5-3	การเปรียบเทียบกำลังรับแรงอัดตามทฤษฎีกับแรงอัดประดั้นจากการทดสอบเสากลุ่ม C	75
5-4	การเปรียบเทียบกำลังรับแรงอัดของเสาทั้ง 3 กลุ่มตัวอย่าง	76
ก-1	กราฟแสดงความสัมพันธ์ระหว่างน้ำหนักบรรทุกและการเคลื่อนที่ของแท่นเครื่องที่ก่อเสา A10/1 และ A10/2	82
ก-2	กราฟแสดงความสัมพันธ์ระหว่างน้ำหนักบรรทุกและการเคลื่อนที่ของแท่นเครื่องที่ก่อเสา A14/1 และ A19/1	82
ก-3	กราฟแสดงความสัมพันธ์ระหว่างน้ำหนักบรรทุกและการเคลื่อนที่ของแท่นเครื่องที่ก่อเสา A24/1 และ A29/1	83
ก-4	กราฟแสดงความสัมพันธ์ระหว่างน้ำหนักบรรทุกและการเคลื่อนที่ของแท่นเครื่องที่ก่อเสา A34/1 และ A34/2	83
ก-5	กราฟแสดงความสัมพันธ์ระหว่างน้ำหนักบรรทุกและการเคลื่อนที่ของแท่นเครื่องที่ก่อเสา A38/1 และ A38/2	84
ก-6	กราฟแสดงความสัมพันธ์ระหว่างน้ำหนักบรรทุกและการเคลื่อนที่ของแท่นเครื่องที่ก่อเสา A43/1 และ A43/2	84

สารบัญภาค (ต่อ)

สารบัญภาค (ต่อ)

ภาพที่		หน้า
	แท่นเครื่องที่ก่อเส่า C29/1 และ C29/2	91
ก-21	กราฟแสดงความสัมพันธ์ระหว่างน้ำหนักบรรทุกและการเคลื่อนที่ของแท่นเครื่องที่ก่อเส่า C34/1 และ C34/2	92
ก-22	กราฟแสดงความสัมพันธ์ระหว่างน้ำหนักบรรทุกและการเคลื่อนที่ของแท่นเครื่องที่ก่อเส่า C38/1 และ C38/2	92
ก-23	กราฟแสดงความสัมพันธ์ระหว่างน้ำหนักบรรทุกและการเคลื่อนที่ของแท่นเครื่องที่ก่อเส่า C43/1 และ C43/2	93
ก-24	กราฟแสดงความสัมพันธ์ระหว่างน้ำหนักบรรทุกและการเคลื่อนที่ของแท่นเครื่องที่ก่อเส่า C48/1	93
ก-25	กราฟแสดงความสัมพันธ์ระหว่างน้ำหนักบรรทุกและการเคลื่อนที่ของแท่นเครื่องที่ก่อเส่า C53/1 และ C53/2	94
ก-26	กราฟแสดงความสัมพันธ์ระหว่างน้ำหนักบรรทุกและการเคลื่อนที่ของแท่นเครื่องที่ก่อเส่า C58/1 และ C58/2	94
ก-27	กราฟแสดงความสัมพันธ์ระหว่างน้ำหนักบรรทุกและการเคลื่อนที่ของแท่นเครื่องที่ก่อเส่า C62/1 และ C62/2	95
ข-1	กราฟแสดงความสัมพันธ์ของน้ำหนักบรรทุกกับความเครียดของเหล็กยืด เหล็กปลอกและที่ผิวคอนกรีต ของเส่า A14/2	98
ข-2	กราฟแสดงความสัมพันธ์ของน้ำหนักบรรทุกกับความเครียดของเหล็กยืด เหล็กปลอกและที่ผิวคอนกรีต ของเส่า A19/2	98
ข-3	กราฟแสดงความสัมพันธ์ของน้ำหนักบรรทุกกับความเครียดของเหล็กยืด เหล็กปลอกและที่ผิวคอนกรีต ของเส่า A24/2	99
ข-4	กราฟแสดงความสัมพันธ์ของน้ำหนักบรรทุกกับความเครียดของเหล็กยืด เหล็กปลอกและที่ผิวคอนกรีต ของเส่า A29/2	99
ข-5	กราฟแสดงความสัมพันธ์ของน้ำหนักบรรทุกกับความเครียดของเหล็กยืด เหล็กปลอกและที่ผิวคอนกรีต ของเส่า B14/2	100
ข-6	กราฟแสดงความสัมพันธ์ของน้ำหนักบรรทุกกับความเครียดของเหล็กยืด เหล็กปลอกและที่ผิวคอนกรีต ของเส่า B19/2	100

สารบัญภาพ (ต่อ)

ภาพที่		หน้า
ข-7	กราฟแสดงความสัมพันธ์ของน้ำหนักบรรทุกกับความเครียดของเหล็กชิ้น เหล็กปลอกและที่ผิวคอนกรีต ของเสา B24/2	101
ข-8	กราฟแสดงความสัมพันธ์ของน้ำหนักบรรทุกกับความเครียดของเหล็กชิ้น เหล็กปลอกและที่ผิวคอนกรีต ของเสา B43/2	101
ข-9	กราฟแสดงความสัมพันธ์ของน้ำหนักบรรทุกกับความเครียดของเหล็กชิ้น เหล็กปลอกและที่ผิวคอนกรีต ของเสา C14/2	102
ข-10	กราฟแสดงความสัมพันธ์ของน้ำหนักบรรทุกกับความเครียดของเหล็กชิ้น เหล็กปลอกและที่ผิวคอนกรีต ของเสา C19/2	102
ข-11	กราฟแสดงความสัมพันธ์ของน้ำหนักบรรทุกกับความเครียดของเหล็กชิ้น เหล็กปลอกและที่ผิวคอนกรีต ของเสา C24/1	103
ข-12	กราฟแสดงความสัมพันธ์ของน้ำหนักบรรทุกกับความเครียดของเหล็กชิ้น เหล็กปลอกและที่ผิวคอนกรีต ของเสา C48/2	103
ง-1	กราฟแสดงความสัมพันธ์ระหว่างน้ำหนักบรรทุกและความเครียดที่ผิวคอนกรีต A14/2	120
ง-2	กราฟแสดงความสัมพันธ์ระหว่างน้ำหนักบรรทุกและความเครียดที่ผิวคอนกรีต A19/2	120
ง-3	กราฟแสดงความสัมพันธ์ระหว่างน้ำหนักบรรทุกและความเครียดที่ผิวคอนกรีต A24/2	121
ง-4	กราฟแสดงความสัมพันธ์ระหว่างน้ำหนักบรรทุกและความเครียดที่ผิวคอนกรีต A29/2	121
ง-5	กราฟแสดงความสัมพันธ์ระหว่างน้ำหนักบรรทุกและความเครียดที่ผิวคอนกรีต B14/2	122
ง-6	กราฟแสดงความสัมพันธ์ระหว่างน้ำหนักบรรทุกและความเครียดที่ผิวคอนกรีต B19/2	122
ง-7	กราฟแสดงความสัมพันธ์ระหว่างน้ำหนักบรรทุกและความเครียดที่ผิวคอนกรีต B24/2	123
ง-8	กราฟแสดงความสัมพันธ์ระหว่างน้ำหนักบรรทุกและความเครียดที่ผิว	

สารบัญภาพ (ต่อ)

ภาพที่	หน้า
ค่อนกรีด B43/2	123
4-9 ภาพแสดงความสัมพันธ์ระหว่างน้ำหนักบรรทุกและความเครียดที่ผิว ค่อนกรีด C14/2	124
4-10 ภาพแสดงความสัมพันธ์ระหว่างน้ำหนักบรรทุกและความเครียดที่ผิว ค่อนกรีด C19/2	124
4-11 ภาพแสดงความสัมพันธ์ระหว่างน้ำหนักบรรทุกและความเครียดที่ผิว ค่อนกรีด C24/2	125
4-12 ภาพแสดงความสัมพันธ์ระหว่างน้ำหนักบรรทุกและความเครียดที่ผิว ค่อนกรีด C48/2	125
ฉ-1 ความสัมพันธ์ระหว่างน้ำหนักบรรทุกและการเสียรูปตามแนวแกนจาก มาตรฐาน ความเครียดที่ผิวค่อนกรีด A14/2	130
ฉ-2 ความสัมพันธ์ระหว่างน้ำหนักบรรทุกและการเสียรูปตามแนวแกนจาก มาตรฐาน ความเครียดที่ผิวค่อนกรีด A19/2	130
ฉ-3 ความสัมพันธ์ระหว่างน้ำหนักบรรทุกและการเสียรูปตามแนวแกนจาก มาตรฐาน ความเครียดที่ผิวค่อนกรีด A24/2	131
ฉ-4 ความสัมพันธ์ระหว่างน้ำหนักบรรทุกและการเสียรูปตามแนวแกนจาก มาตรฐาน ความเครียดที่ผิวค่อนกรีด A29/2	131
ฉ-5 ความสัมพันธ์ระหว่างน้ำหนักบรรทุกและการเสียรูปตามแนวแกนจาก มาตรฐาน ความเครียดที่ผิวค่อนกรีด B14/2	132
ฉ-6 ความสัมพันธ์ระหว่างน้ำหนักบรรทุกและการเสียรูปตามแนวแกนจาก มาตรฐาน ความเครียดที่ผิวค่อนกรีด B19/2	132
ฉ-7 ความสัมพันธ์ระหว่างน้ำหนักบรรทุกและการเสียรูปตามแนวแกนจาก มาตรฐาน ความเครียดที่ผิวค่อนกรีด B24/2	133
ฉ-8 ความสัมพันธ์ระหว่างน้ำหนักบรรทุกและการเสียรูปตามแนวแกนจาก มาตรฐาน ความเครียดที่ผิวค่อนกรีด B43/2	133
ฉ-9 ความสัมพันธ์ระหว่างน้ำหนักบรรทุกและการเสียรูปตามแนวแกนจาก มาตรฐาน ความเครียดที่ผิวค่อนกรีด C14/2	134

สารบัญภาค (ต่อ)

สารบัญภาค (ต่อ)

ภาคที่	หน้า
๗-4 ความสัมพันธ์ระหว่างน้ำนักบรรทุกและความเครียดที่เหล็กยืน B14/2	145
๗-5 ความสัมพันธ์ระหว่างน้ำนักบรรทุกและความเครียดที่เหล็กยืน B24/2	146
๗-6 ความสัมพันธ์ระหว่างน้ำนักบรรทุกและความเครียดที่เหล็กยืน B43/2	146
๗-7 ความสัมพันธ์ระหว่างน้ำนักบรรทุกและความเครียดที่เหล็กยืน C14/2	147
๗-8 ความสัมพันธ์ระหว่างน้ำนักบรรทุกและความเครียดที่เหล็กยืน C24/2	147
๗-9 ความสัมพันธ์ระหว่างน้ำนักบรรทุกและความเครียดที่เหล็กยืน C48/2	148

คำอธิบายสัญลักษณ์และคำย่อ

a	=	ค้านกว้างของเสา
b	=	ค้านยาวของเสา
c	=	ค้านลึกของเสา
ACI	=	American Concrete Institute
A_c	=	เนื้อที่หน้าตัดสูตรของคอนกรีต
A_s	=	เนื้อที่หน้าตัดทั้งหมดของเสา
A_{st}	=	เป็นเนื้อที่หน้าตัดทั้งหมดของเหล็กยึนในเสา
D	=	ขนาดเหล็กยึน
d_s	=	เหล็กปลอก
E_c	=	ค่าโมดูลัสยืดหยุ่นของคอนกรีต
E_s	=	ค่าโมดูลัสยืดหยุ่นของเหล็กเสริม
ε_c	=	หน่วยการหดตัวของคอนกรีต
ε_s	=	หน่วยการยืดตัวของเหล็กเสริมรับแรงดึง
f_s	=	หน่วยแรงดึงของเหล็กเสริมรับแรงดึง
f_y	=	หน่วยแรงดึงหรือหน่วยแรงอัดที่จุดครากของเหล็กเสริม
f_c	=	หน่วยแรงอัดในคอนกรีต
f'_c	=	กำลังอัดประดับของคอนกรีต
k	=	ประสิทธิภาพของเหล็กปลอกเกลียว
M_o	=	โมเมนต์ตัวที่หาได้ตามทฤษฎี
M_u	=	โมเมนต์ตัวที่เกิดจากน้ำหนักบรรทุกที่เพิ่มค่าแล้วด้วยค่าคุณเพิ่มน้ำหนัก
n	=	อัตราส่วนโมดูลัส
O	=	ค่าความถี่จริง
P	=	กำลังด้านทานแรงอัดของเสาในสภาพใช้งาน
P_n	=	กำลังด้านทานแรงอัด
P_0	=	ค่าการคำนวณแรงอัดประดับตามทฤษฎี
$P_{0,av}$	=	ค่าเฉลี่ยการคำนวณแรงอัดประดับตามทฤษฎี
P_{cr}	=	แรงอัดที่ทำให้เสาหักตอนเริ่มแตกร้าว
$P_{cr,av}$	=	แรงอัดเฉลี่ยที่ทำให้เสาหักตอนเริ่มแตกร้าว

คำอธิบายสัญลักษณ์และคำย่อ (ต่อ)

P_s	=	กำลังรับแรงอัดของเสาตามแนวแกนของเสาตอนกรีดเสริมเหล็ก
P_{test}	=	ค่าแรงอัดประดับที่ได้จากการทดสอบเสา
$P_{test,av}$	=	ค่าแรงอัดประดับเฉลี่ยที่ได้จากการทดสอบเสา
P_o	=	แรงอัดตามแนวแกน
s	=	ระยะห่างเหล็กป้องกัน
μ	=	อัตราส่วนปัวของสี
χ^2	=	ไคสแควร์
ϕ	=	ศักยภาพกำลัง

บทที่ 1

บทนำ

1.1 ความสำคัญและที่มาของปัญหาที่ทำการวิจัย

ข้อกำหนดมาตรฐานทั่วไปสำหรับเสาคอนกรีตเสริมเหล็กปลอกเดี่ยวของ วิศวกรรมสถานแห่งประเทศไทย (ว.ส.ท.) กำหนดให้เหล็กปลอกของเสาปลอกเดี่ยวต้องใช้ขนาดเส้นผ่านศูนย์กลางไม่เล็กกว่า 6 มม. สำหรับเหล็กยืนที่มีขนาดเส้นผ่านศูนย์กลางไม่โตกว่า 20 มม. และใช้ขนาดเหล็กปลอกขนาดเส้นผ่านศูนย์กลางไม่เล็กกว่า 9 มม. สำหรับเหล็กยืนที่มีขนาดเส้นผ่านศูนย์กลางตั้งแต่ 25 ถึง 32 มม. และขนาดเส้นผ่านศูนย์กลางไม่เล็กกว่า 12 มม. สำหรับเหล็กที่มีเส้นผ่านศูนย์กลางโตกว่า 32 มม. ขึ้นไป โดยมีระยะห่างไม่เกิน 16 เท่าของขนาดเส้นผ่านศูนย์กลางของเหล็กยืน หรือ 48 เท่าของขนาดเส้นผ่านศูนย์กลางของเหล็กปลอก หรือไม่เกินกว่าค่านี้แล้วและต้องจัดให้มุมของเหล็กปลอกยึดกับเหล็กยืนตามมุมทุกมุม และเส้นอื่น ๆ สถาบันเส้นเวียนเส้น โดยมุมของเหล็กปลอกนั้นต้องไม่เกินกว่า 135 องศา เหล็กยืนที่เว้นต้องห่างจากเหล็กยืนที่ถูกยึดไว้ไม่เกิน 15 ซ.ม. (ว.ส.ท. มาตรฐานสำหรับอาคารคอนกรีตเสริมเหล็ก โดยวิธีกำลัง, 2548)

ข้อกำหนดมาตรฐานทั่วไปสำหรับเสาคอนกรีตเสริมเหล็กปลอกเดี่ยวของ American Concrete Institute (ACI) กำหนดว่าเสาปลอกเดี่ยวต้องใช้เหล็กปลอกขนาดเส้นผ่านศูนย์กลางไม่เล็กกว่า 10 มม. สำหรับเหล็กยืนที่มีขนาดเส้นผ่านศูนย์กลางไม่โตกว่า 32 มม. และใช้เหล็กปลอกขนาดเส้นผ่านศูนย์กลางไม่เล็กกว่า 13 มม. สำหรับเหล็กยืนที่มีขนาดเส้นผ่านศูนย์กลางตั้งแต่ 36 มม. โดยมีระยะห่างไม่เกิน 16 เท่าของขนาดเส้นผ่านศูนย์กลางของเหล็กยืน หรือ 48 เท่าของขนาดเส้นผ่านศูนย์กลางของเหล็กปลอก (ACI Committee 318, 1999)

มาตรฐานของวิศวกรรมสถานแห่งประเทศไทยและ American Concrete Institute นี้จัดทำขึ้นเพื่อเปรียบเทียบว่างานที่ต่างกันของเหล็กปลอกซึ่งกำหนดโดยมาตรฐาน ว.ส.ท. และ ACI ทำให้กำลังของเสาคอนกรีตเสริมเหล็กแตกต่างกันหรือไม่

1.2 วัสดุประสงค์ของการวิจัย

1.2.1 เพื่อศึกษาพัฒนารูป การเสียรูป การวินิจฉัย และกำลังอัดของเสาสันคอนกรีตเสริมเหล็กที่ใช้ปลอกเดี่ยว ชนิด ขนาด และระยะห่างต่างกัน โดยการเปรียบเทียบตามมาตรฐาน วิศวกรรมสถานแห่งประเทศไทยกับ American Concrete Institute

1.3 สมมุติฐานในการวิจัย

1.3.1 การเสริมเหล็กกับปลอกทั้ง 3 ชนิด ได้แก่ RB 6, RB 9, DB 10 โดยใช้เหล็กยืนขนาด DB 12 มน. ในเสาเท่ากันทุกด้าน ในเสาคอนกรีตปลอกเดี่ยว ให้ค่ากำลังอัดที่ต่างกัน โดย

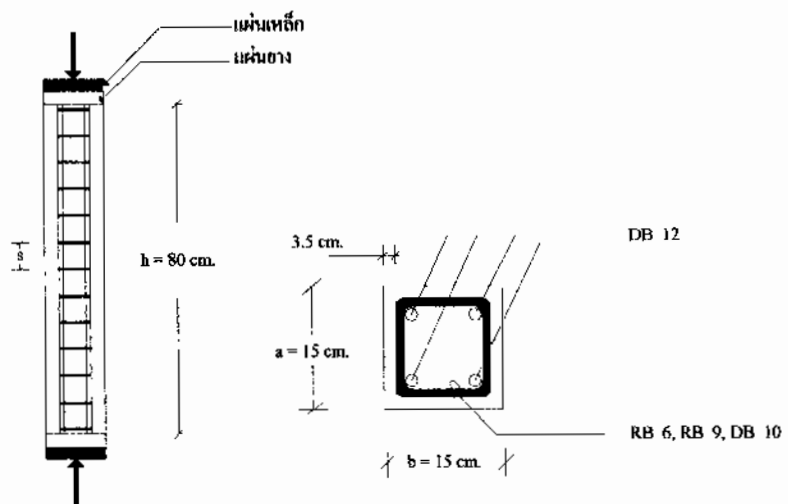
H_0 = กำลังอัดของเสาสันคอนกรีตเสริมเหล็ก ที่ใช้เหล็กปลอก ชนิด ขนาด และระยะห่างต่างกัน ไม่ทำให้ค่ากำลังอัดของเสาต่างกัน

H_1 = กำลังอัดของเสาสันคอนกรีตเสริมเหล็ก ที่ใช้เหล็กปลอก ชนิด ขนาด และระยะห่างต่างกัน ทำให้ค่ากำลังอัดของเสาต่างกัน

1.4 ข้อมูลการวิจัย

1.4.1 ข้อกำหนดคุณสมบัติของชิ้นงานทดสอบ

- การออกแบบเสาคอนกรีตเสริมเหล็กใช้ทฤษฎีกำลัง ในการออกแบบเสาสัน
- เสาคอนกรีตเสริมเหล็กมีขนาดหน้าตัด 15×15 ซม. ความสูง 80 ซม. (ภาพที่ 1-1)
- เสริมเหล็ก เหล็กแคนเสาน้ำเป็นเหล็กข้ออ้อยขนาดเส้นผ่าศูนย์กลาง 12 มน. (SD 30) จำนวน 4 เส้น เหล็กปลอกเสาเป็นเหล็กกลมเส้นผ่าศูนย์กลาง 6 มน., 9 มน. (SR 24) และ 10 มน. (SD 30)
 - ระยะคอนกรีตที่หุ้มเหล็กเสริม 3.5 ซม.
 - ค่ากำลังอัดประดับของคอนกรีตทำการศึกษา ในช่วงกำลังอัดออกแบบ



ກາພທີ 1-1 ແສດງຮາບລະເອີຍຂອງເສັກອນກົງປົດເສັງເສດຖະກິນ

1.4.2 ຕຽບສອນຄູມສົມບັດດ້ານວິສາກອນຂອງເສັກອນກົງປົດເສັງເສດຖະກິນ

- ກໍາລັງຮັບແຮງອັດຂອງເສັກອນກົງປົດເສັງເສດຖະກິນ
- ສຶກນາພາຖຸຕິກອນການພັ້ງທາຍແລະລັກຍະກາວວິນດີ

1.4.3 ທຳການທົດສອນກໍາສັງຮັບແຮງອັດຂອງເສັກອນກົງປົດເສັງເສດຖະກິນ ຫາດ 15×15 ຊ.ນ. ຄວາມສູງ 80 ຊນ. ແນ່ງການທົດສອນອອກເປັນ 3 ກຸ່ມຸນ ດັ່ງນີ້ (A = ເຫຼືກປළອກ RB 6), (B = ເຫຼືກປළອກ RB 9), (C = ເຫຼືກປළອກ DB 10) ດັ່ງຕາງໆທີ່ 1-1

- ເສັກກຸ່ມຸນ A (RB 6) ມີຈຳນວນ 16 ດັ່ນ ໄດ້ແກ່ A10/1 ແລະ A10/2 ມີຮະບະຫ່າງເຫຼືກປළອກ 9.60 ຊນ. A14/1 ແລະ A14/2^{*} ມີຮະບະຫ່າງເຫຼືກປළອກ 14.40 ຊນ. A19/1 ແລະ A19/2^{*} ມີຮະບະຫ່າງເຫຼືກປළອກ 19.20 ຊນ. A24/1 ແລະ A24/2^{*} ມີຮະບະຫ່າງເຫຼືກປළອກ 24.00 ຊນ. A29/1 ແລະ A29/2^{*} ມີຮະບະຫ່າງເຫຼືກປළອກ 28.80 ຊນ. A34/1 ແລະ A34/2^{*} ມີຮະບະຫ່າງເຫຼືກປළອກ 33.60 ຊນ. A38/1 ແລະ A38/2^{*} ມີຮະບະຫ່າງເຫຼືກປළອກ 38.40 ຊນ. A43/1 ແລະ A43/2^{*} ມີຮະບະຫ່າງເຫຼືກປළອກ 43.20 ຊນ. ໂດຍທໍາການຕິດຢູ່ປາກນີ້ວັດຄວາມເຄື່ອງໃນເສາ A14/2^{*}, A19/2^{*}, A24/2^{*}, A29/2^{*} ກາພທີ 1-2

- ເສັກກຸ່ມຸນ B (RB 9) ມີຈຳນວນ 22 ດັ່ນ ໄດ້ແກ່ B10/1 ແລະ B10/2 ມີຮະບະຫ່າງເຫຼືກປළອກ 9.60 ຊນ. B14/1 ແລະ B14/2^{*} ມີຮະບະຫ່າງເຫຼືກປළອກ 14.40 ຊນ. B19/1 ແລະ B19/2^{*} ມີຮະບະຫ່າງເຫຼືກປළອກ 19.20 ຊນ. B24/1 ແລະ B24/2^{*} ມີຮະບະຫ່າງເຫຼືກປළອກ 24.00 ຊນ. B29/1 ແລະ B29/2^{*} ມີຮະບະຫ່າງເຫຼືກປළອກ 28.80 ຊນ. B34/1 ແລະ B34/2^{*} ມີຮະບະຫ່າງເຫຼືກປළອກ 33.60 ຊນ. B38/1 ແລະ B38/2^{*} ມີຮະບະຫ່າງເຫຼືກປළອກ 38.40 ຊນ. B43/1 ແລະ B43/2^{*} ມີຮະບະຫ່າງເຫຼືກປළອກ 43.20 ຊນ. B48/1 ແລະ B48/2^{*} ມີຮະບະຫ່າງເຫຼືກປළອກ 48.00 ຊນ. B53/1 ແລະ B53/2^{*} ມີຮະບະຫ່າງເຫຼືກປළອກ

52.80 ซม. B58/1 และ B58/2 มีระยะห่างเหล็กปีลอก 57.60 ซม. โดยทำการติดอุปกรณ์วัดความเครียดในเสา B14/2⁺, B19/2⁺, B24/2⁺, B29/2⁺ ภาพที่ 1-3

- เสาสูง C (DB 10) มีจำนวน 24 ตัน ได้แก่ C10/1 และ C10/2 มีระยะห่างเหล็กปีลอก 9.60 ซม. C14/1 และ C14/2⁺ มีระยะห่างเหล็กปีลอก 14.40 ซม. C19/1 และ C19/2⁺ มีระยะห่างเหล็กปีลอก 19.20 ซม. C24/1 และ C24/2⁺ มีระยะห่างเหล็กปีลอก 24.00 ซม. C29/1 และ C29/2⁺ มีระยะห่างเหล็กปีลอก 28.80 ซม. C34/1 และ C34/2⁺ มีระยะห่างเหล็กปีลอก 33.60 ซม. C38/1 และ C38/2⁺ มีระยะห่างเหล็กปีลอก 38.40 ซม. C43/1 และ C43/2⁺ มีระยะห่างเหล็กปีลอก 43.20 ซม. C48/1 และ C48/2⁺ มีระยะห่างเหล็กปีลอก 48.00 ซม. C53/1 และ C53/2⁺ มีระยะห่างเหล็กปีลอก 52.80 ซม. C58/1 และ C58/2⁺ มีระยะห่างเหล็กปีลอก 57.60 ซม. C62/1 และ C62/2⁺ มีระยะห่างเหล็กปีลอก 62.40 ซม. โดยทำการติดอุปกรณ์วัดความเครียดในเสา C14/2⁺, C19/2⁺, C24/2⁺, C48/2⁺ ภาพที่ 1-4

1.4.4 ทำการเปรียบเทียบกำลังรับแรงอัดของเสาโดยการทดสอบความแตกต่างของความถี่ด้วยวิธีไคสแควร์

1.5 เครื่องจักรและอุปกรณ์ที่ใช้ทดสอบเสาคอนกรีตเสริมเหล็ก

1.5.1 Universal Testing Machine ยี่ห้อ SHIMADZU รุ่น UH 100 A [100 ตัน]

1.5.2 Data logger เป็นชุดแปลงสัญญาณความเครียด และนำเข้าหนักบรรทุก ส่งไปยังเครื่องคอมพิวเตอร์บันทึกข้อมูลการทดสอบ

1.5.3 เครื่องคอมพิวเตอร์ Notebook Intel Pentium M1500 Mhz. Ram 256 Mb ระบบปฏิบัติการ Microsoft Windows XP.

1.5.4 Enhanced Software R.6.01.01 ของ Yokogawa Darwin ซึ่งใช้ควบคุม Data logger

1.5.5 Electrical Strain Gauges ยี่ห้อ TML เป็นอุปกรณ์วัดความเครียดชนิดไฟฟ้าสำหรับติดที่ผิวเหล็กขนาด ความยาว 5 มน. และที่ผิวคอนกรีตขนาดความกว้าง 5 มน. x ความยาว 60 มน.

1.6 ระเบียบวิธีวิจัย

การวิจัยครั้งนี้เป็นการวิจัยเชิงปฏิบัติ ซึ่งมีขั้นตอนการดำเนินการดังนี้

1.6.1 ศึกษาและวิเคราะห์รวมรวมเอกสารที่เกี่ยวข้องจากองค์กรตึงปัจจุบัน

1.6.2 ทำการออกแบบจัดเตรียมเครื่องมือ อุปกรณ์ที่เกี่ยวข้องในการทดสอบ

1.6.3 ทำการทดลองและเก็บข้อมูลในห้องปฏิบัติการ โดยนำค่าที่ได้มาเขียนกราฟแสดง ความสัมพันธ์กับระยะห่างเหล็กปลอกกับขนาดของเหล็กเสริมอีน และระยะห่างเหล็กปลอกต่อ เหล็กปลอก และระยะห่างเหล็กปลอกต่อด้านแคนดูดของเสา

1.6.4 สรุปและเปรียบเทียบพฤติกรรม และค่ากำลังร้าแรงข้อของเสาปลอกเดียวตามมาตรฐาน

ACI กับ ว.ส.ท.

1.7 ประโยชน์ที่คาดว่าจะได้รับ

1.7.1 เพื่อให้ทราบถึงความสามารถในการรับน้ำหนักของเสาคอนกรีตเสริมเหล็ก ว่าเหล็ก ปลอกในกรณีได้รับกำลังได้เป็นไปตามเงื่อนไขการออกแบบ

1.7.2 เพื่อทราบขนาดของเหล็ก และระยะ และขนาดของเหล็กปลอกของเสาคอนกรีตเสริม เหล็กปลอกเดียวที่ประยุกต์และปลอดภัย

1.7.3 เพื่อทราบพฤติกรรมการแตกร้าของเสาคอนกรีตเสริมเหล็ก

1.7.4 เพื่อเปรียบเทียบการรับน้ำหนักบรรทุกของเสาคอนกรีตเสริมเหล็กจากการออกแบบและ การทดสอบ

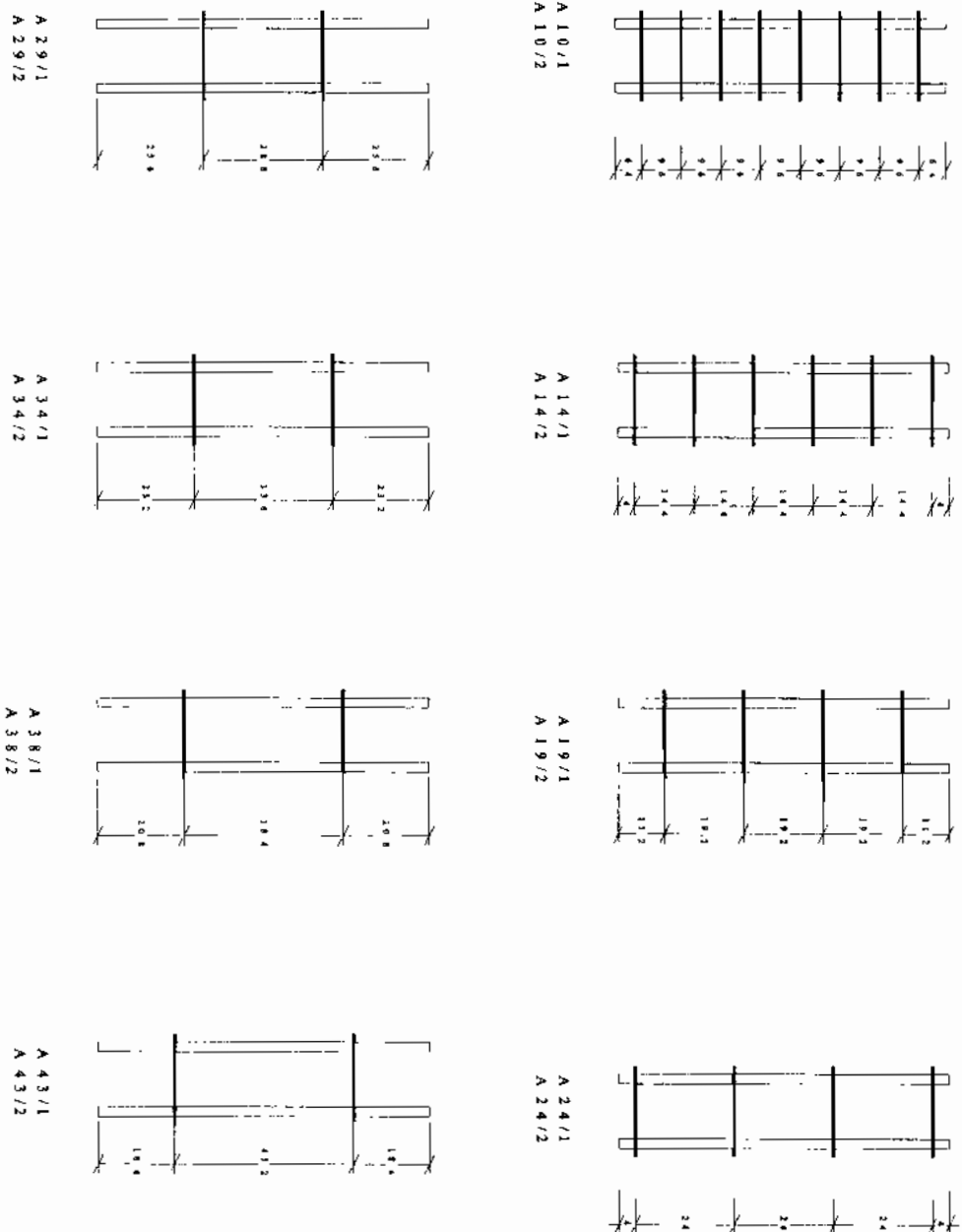
ตารางที่ 1-1 แสดงขนาดรายละเอียดและจำนวนตัวย่างสำหรับตอน

กอุ่ม	รุ่น แบบที่	ชื่อ รายการ	เส้นผ่าศูนย์กลาง		ระยะเวลาเมล็ดก่อปลอก (s) ขนาดเมล็ดก่อปลอก (D)	ระยะเวลาเมล็ดก่อปลอก (s) ขนาดเมล็ดก่อปลอก (d ₁)	ระยะเวลาเมล็ดก่อปลอก (s) ตัวแปรคงที่ของเวลา (b)
			ขนาดเมล็ดขนาด d ₁ (มม.)	ระยะเวลาเมล็ดก่อปลอก (s) (ชม.)			
A	1	A10/1 A10/2	RB 6	9.6	8	16	0.64
	2	A14/1 A14/2	RB 6	14.4	12	24	0.96
	3	A19/1 A19/2	RB 6	19.2	16	32	1.28
	4	A24/1 A24/2	RB 6	24	20	40	1.6
	5	A29/1 A29/2	RB 6	28.8	24	48	1.92
	6	A34/1 A34/2	RB 6	33.6	28	56	2.24
	7	A38/1 A38/2	RB 6	38.4	32	64	2.56
	8	A43/1 A43/2	RB 6	43.2	36	72	2.88
B	9	B10/1 B10/2	RB 9	9.6	8	10.67	0.64
	10	B14/1 B14/2	RB 9	14.4	12	16	0.96
	11	B19/1 B19/2	RB 9	19.2	16	21.33	1.28
	12	B24/1 B24/2	RB 9	24	20	26.67	1.6
	13	B29/1 B29/2	RB 9	28.8	24	32.00	1.92
	14	B34/1 B34/2	RB 9	33.6	28	37.33	2.24
	15	B38/1 B38/2	RB 9	38.4	32	42.67	2.56
	16	B43/1 B43/2	RB 9	43.2	36	48.00	2.88
	17	B48/1 B48/2	RB 9	48	40	53.33	3.2
	18	B53/1 B53/2	RB 9	52.8	44	58.67	3.52
	19	B58/1 B58/2	RB 9	57.6	48	64.00	3.84

ตารางที่ 1-1 (ต่อ)

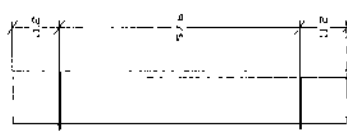
กุญแจ แบบที่	รายการ	ชื่อ รายการ	เกลี้ยงป้องกัน		ระยะเวลาเมล็ดกับออก (s) ขนาดและชนิด (d) (มม.)	ระยะเวลาเมล็ดกับออก (s) ขนาดเมล็ดขึ้น (D) (มม.)	ระยะเวลาเมล็ดกับออก (s) ขนาดเมล็ดกับออก (d) (มม.)	ระยะเวลาเมล็ดกับออก (s) ส่วนผสมสุดของมา (b)
			ขนาดและชนิด (d) (มม.)	ระยะเวลาเมล็ดกับออก (s) (มม.)				
C	20	C10/1 C10/2	DB 10	9.6	8	9.6	0.64	
	21	C14/1 C14/2	DB 10	14.4	12	14.4	0.96	
	22	C19/1 C19/2	DB 10	19.2	16	19.2	1.28	
	23	C24/1 C24/2	DB 10	24	20	24	1.6	
	24	C29/1 C29/2	DB 10	28.8	24	28.8	1.92	
	25	C34/1 C34/2	DB 10	33.6	28	33.6	2.24	
	26	C38/1 C38/2	DB 10	38.4	32	38.4	2.56	
	27	C43/1 C43/2	DB 10	43.2	36	43.2	2.88	
	28	C48/1 C48/2	DB 10	48	40	48	3.2	
	29	C53/1 C53/2	DB 10	52.8	44	52.8	3.52	
	30	C58/1 C58/2	DB 10	57.6	48	57.6	3.84	
	31	C62/1 C62/2	DB 10	62.4	52	62.4	4.16	

ภาพที่ 1-2 การเตรียมเหล็กเสากลุ่ม A

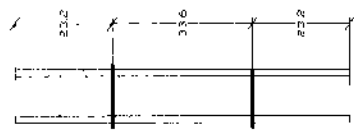


ภาพที่ 1-3 การเรียนรู้แนวคิดการสถาปัตยกรรม B

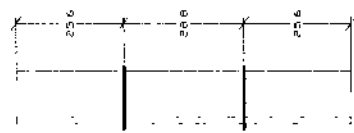
B34/1
B34/2



B34/1
B34/2



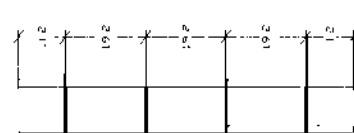
B29/1
B29/2



B24/1
B24/2



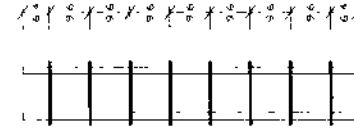
B19/1
B19/2



B14/1
B14/2



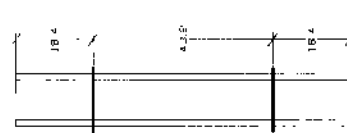
B1C/1
B1C/2



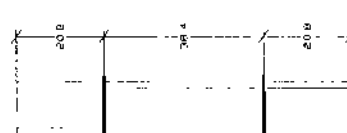
B52/1
B52/2



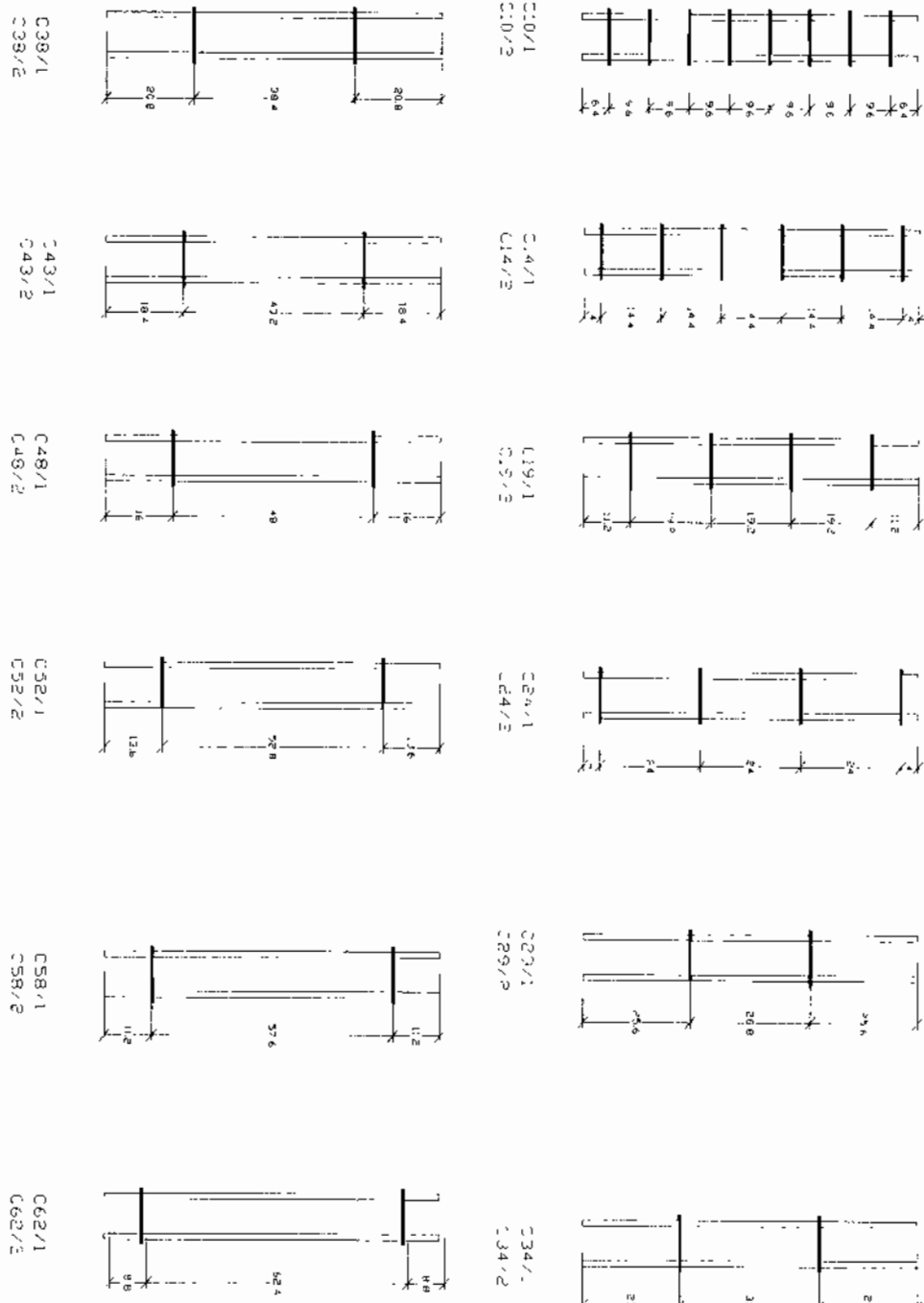
B43/1
B43/2



B38/1
B38/2



ภาพที่ 1-4 การเตรียมทดสอบคุณภาพ



บทที่ 2

การคืนค่าวิออกสาร

2.1 พฤติกรรมและกำลังด้านทานของเสาสันที่รับแรงอัดตามแนวแกน

2.1.1 เสาคอนกรีตล้วน

การทดสอบเสาคอนกรีตล้วนที่ปราศจากเหล็กเสริม ซึ่งได้พิจารณาถึงปัจจัยต่าง ๆ ที่มีผลกระทบต่อกำลังรับน้ำหนักของเสา เช่น ขนาดรูปร่างของเสา คุณภาพของคอนกรีต อัตราการให้แรงกดอัด ความชื้นสูดของเสา ตลอดจนลักษณะของการหล่อเสาตัวอย่างที่อาจหล่อในแนวตั้ง หรือในแนวนอน พบว่าพฤติกรรมการรับน้ำหนักของเสาคอนกรีตล้วนคล้ายกับพฤติกรรมการรับน้ำหนักของแท่งคอนกรีตตัวอย่างรูปทรงกระบอก กล่าวคือ ขณะที่มีการทดสอบตัวในแนวตั้งที่รับแรงอัดก็จะเกิดการเบ่งตัวออกทางด้านข้างด้วย ทั้งนี้เป็นผลจากอัตราส่วนปีวะของ σ_c ของคอนกรีต ลักษณะการวินิจฉัยของเสาคอนกรีตล้วนเป็นการปีแยกหรือฉีกออก (Splitting) ตามแนวยาวของเสา หรือเป็นแบบเฉือนขาดในระนาบเอียง ซึ่งหน่วยแรงอัดสูงสุดในเสาคอนกรีตล้วนมีค่าอยู่ระหว่าง 0.7 ถึง 1.0 ของกำลังประดับของแท่งคอนกรีตตัวอย่างรูปทรงกระบอก f_c' และมีค่าโดยเฉลี่ยประมาณ $0.85f_c'$ ทั้งนี้เนื่องจาก

ก. เสาคอนกรีตต้องรับน้ำหนักบรรทุกคงค้าง (Sustained load) ซึ่งต่างไปจากการรับน้ำหนักของแท่งคอนกรีตตัวอย่างรูปทรงกระบอก

ข. การหล่อเสาคอนกรีตกระทำได้ไม่ดีเท่าการหล่อแท่งคอนกรีตตัวอย่างรูปทรงกระบอก

ก. เสาคอนกรีตมีการขยายตัวมากกว่าแท่งคอนกรีตตัวอย่าง ทำให้คอนกรีตตอนบนของเสาไม่สามารถน้อยกว่าตอนล่าง

ง. เสาคอนกรีตมีจุดเปราะบาง (Weak spot) มากกว่าแท่งคอนกรีตตัวอย่างรูปทรงกระบอก

ดังนั้น ถ้าเสาคอนกรีตล้วนมีเนื้อที่หนาตัดสูตรเท่ากับ A_c (ในที่นี้คือ A_c ซึ่งเป็นเนื้อที่หนาตัดทั้งหมดของเสาคอนกรีต) และมีกำลังอัดสูงสุดของแท่งคอนกรีตตัวอย่างรูปทรงกระบอกเท่ากับ f_c' จะได้กำลังด้านทานแรงอัดสูงสุดตามแนวแกนของเสาคอนกรีตล้วน

$$P_u = 0.85 f_c' A_c \quad (2-1)$$

เมื่อ P_n = กำลังด้านทานแรงอัดสูงสุดของเสาคอนกรีตส่วน

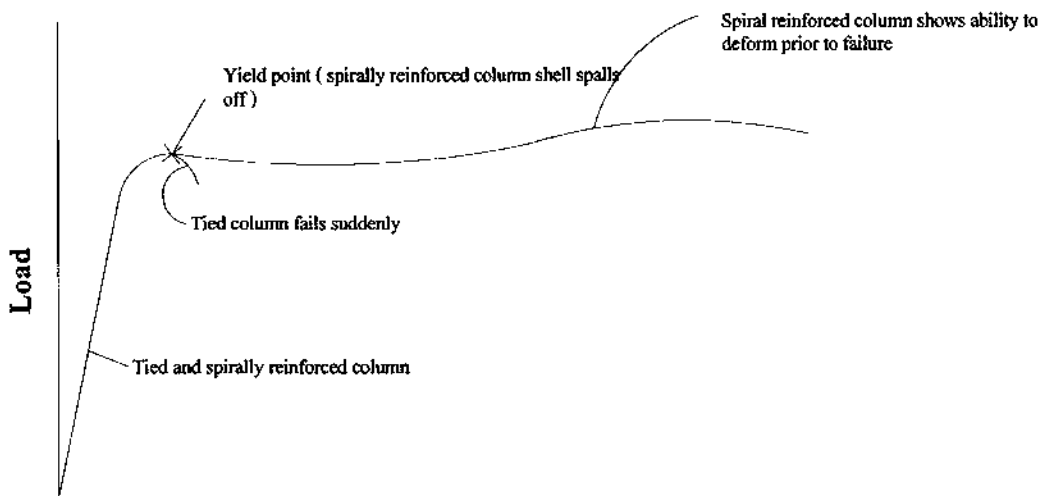
f_c' = กำลังอัดสูงสุดของแท่งคอนกรีตทูปทรงกระบอกที่อายุ 28 วัน

A_c = พื้นที่หน้าตัดของเสาคอนกรีต

2.1.2 เสาคอนกรีตเสริมเหล็กปลอกเดี่ยว

เสาคอนกรีตที่เสริมเฉพาะเหล็กยืนอยู่ข้างเดียวจะมีพฤติกรรมแบบเปราะ (Bottile) และการวินิจฉัยค่อนข้างคล้ายกับการวินิจฉัยของเสาคอนกรีตส่วน กล่าวคือ หันหัวที่ค่อนกรีตส่วนที่หุ้มเหล็กอยู่แล้ว หุ้มเหล็กจะหักและร่อนออก ซึ่งจะเหลือให้เห็นแต่เหล็กยืน เหล็กยืนก็จะถูกอัดและวินิจฉัยจากการโถงเคาะ เหล็กปลอกจะช่วยโอบรัดแกนคอนกรีตภายในไว้หลังจากที่ค่อนกรีตหุ้มถูกอัดแตก ทำให้เสาคอนกรีตเสริมเหล็กนั้นมีกำลังรับน้ำหนักหรือแรงอัดเพิ่มขึ้นอีกนึง และช่วยให้สามารถวินิจฉัยแบบเปราะได้ อนึ่ง นอกจากเหล็กปลอกจะช่วยให้เสาคอนกรีตเสริมเหล็ก มีพฤติกรรมแบบเปราะแล้วยังช่วยยึดเหล็กยืนให้อยู่ในตำแหน่งที่ต้องการขณะหล่อเสาคอนกรีตอีกด้วย

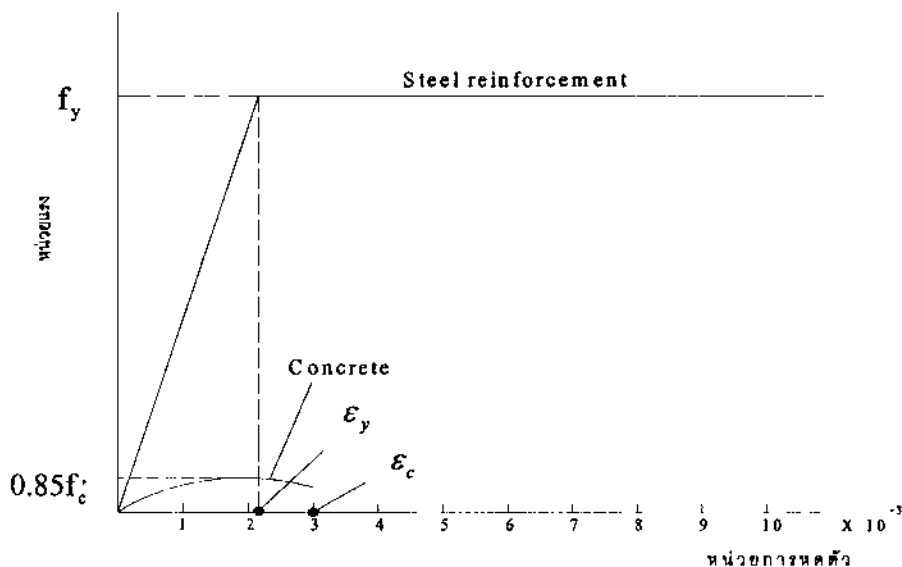
พฤติกรรมการรับแรงอัดที่กระทำตามแนวแกนร่วมศูนย์ของเสาเหล็กปลอกเดี่ยวแสดงไว้ในภาพที่ 2-1 ถ้าเสาปลอกเดี่ยวมีขนาดเนื้อที่หน้าตัดของค่อนกรีตและเหล็กเสริมยืนค่อนข้างปริมาณเท่ากัน และสมมุติว่าเหล็กยืนมีกำลังจุดครากไม่สูงเกินไป จะพบว่าค่อนที่ค่อนกรีตส่วนที่หุ้มเหล็กเสริมจะถูกอัดแตก ความสัมพันธ์ระหว่างน้ำหนักหรือแรงอัดที่กระทำกับการเปลี่ยนรูป (Deformation) หรือการหดตัวตามแนวแกนของเสาปลอกเดี่ยว เป็นเส้นตรงในช่วงที่แรงอัดน้อยๆ ซึ่งหักห้ามแรงอัดในค่อนกรีตและในเหล็กเสริมนี้ค่อนอยู่ในช่วงอิตาสติก แต่เมื่อสารับแรงอัดมากขึ้น โดยทำให้หน่วยแรงอัดในค่อนกรีตมีค่าสูงเกินกว่า 0.5% (โดยประมาณ) ความสัมพันธ์ดังกล่าวจะมีลักษณะเป็นเส้นโค้ง เมื่อจากความสัมพันธ์ของหน่วยแรงอัดกับหน่วยการหดตัวของค่อนกรีตเริ่มไม่เป็นสัดส่วนกันนั่นเอง เมื่อแรงอัดกระทำมากขึ้นจนกระแทกหัวน้ำยแรงอัดในเหล็กเสริมถึงจุดครากซึ่งค่อนข้างจะพอดีกับหน่วยแรงอัดในค่อนกรีตมีค่าสูงสุด (เท่ากับ 0.85% ที่หน่วยการหดตัวเท่ากับ 0.002 มม./มม.) ค่อนกรีตที่หุ้มเหล็กเสริมจะเริ่มถูกอัดแตก หลุดร่อนออกโดยแรงเฉือนในรูปของแรงคงที่



Deformation (unit shortening)

ภาพที่ 2-1 พฤติกรรมการรับน้ำหนักตามแกนของเสา

การวิเคราะห์หากำลังด้านทานแรงอัดตามแกนของเสาสั้นจะพิจารณาได้โดยอาศัยความสัมพันธ์ระหว่างหน่วยแรงกับหน่วยการหดตัว (Stress – Strain Curves) ทั้งของคอนกรีตและเหล็กเสริม ดังในภาพที่ 2-2 โดยกำหนดให้คอนกรีตมีหน่วยแรงอัดสูงสุดเท่ากับ $0.85f_c$ ที่หน่วยการหดตัวเท่ากับ 0.002 nm/nm . และให้คอนกรีตมีหน่วยการหดตัวสูงสุดก่อนการวินิจฉัยเท่ากับ 0.003 nm/nm .



ภาพที่ 2-2 ความสัมพันธ์ระหว่างหน่วยแรงกับการหดตัว (Stress-Strain Curves)

ในช่วงอิลาสติกหรือเมื่อหน่วยแรง荷ด้วยในเส้า E มีค่าเท่ากับ ความสัมพันธ์ระหว่างหน่วยแรงกับหน่วยการหดตัวทั้งของคอนกรีตและเหล็กเสริมจะเป็นสัดส่วน นั่นคือ

หน่วยแรงอัตราส่วนของเหล็กเสริม $f_y = E_s \varepsilon_y$, และหน่วยแรงอัตราส่วนของคอนกรีต $f_c = E_c \varepsilon_c$ ด้านบนนี้ดูว่า คอนกรีตและเหล็กเสริมนี้การยืดเหยียบกันดี นั่นคือ $\varepsilon_s = \varepsilon_c$ หรือ $f_y = E_s f_c / E_c = n f_c$ ในเมื่อ $n = E_y / E_c$ เรียกว่า *Modular ratio*

นั่นหมายความว่า สามารถแทนหรือแปลงหน่วยตัวคูณทั้งหมดของเหล็กเสริม A_y ในเส้าได้ด้วย หน่วยตัวคูณของคอนกรีต ซึ่งมีค่าเท่ากับ nA_s ดังนั้นเสารูปตัวคากา มีเนื้อที่หน่วยตัวคูณทั้งหมดเท่ากับ A_y และเสริมเหล็กยืนทั้งหมดเป็นปริมาณเท่ากับ A_s เมื่อที่หน่วยตัวคูณแปลงของเส้าจะมีค่าเท่ากับ $(A_y - A_s) + nA_s$ หรือเท่ากับ $A_y + (n - 1)A_s$

ฉะนั้น ถ้าให้ f_c เป็นหน่วยแรงอัตราส่วนของคอนกรีตในสถานะใช้งาน จะได้กำลังศักดิ์ แรงอัตราส่วนแนวแกนของเส้าในสถานะใช้งาน

$$P = f_c [A_y + (n - 1) A_s] \quad (2-2)$$

อนึ่ง ค่าที่วิเคราะห์ได้ข้างต้นยังมิได้พิจารณารวมถึงการล้าและการหดตัวของคอนกรีต (Creep และ Shrinkage) เมื่อเส้าต้องรับน้ำหนักบรรทุกตัว ซึ่งค่าของโมดูลัสยืดหยุ่นของ คอนกรีต E_c จะลดลงตามระยะเวลาที่มีน้ำหนักบรรทุกคงตัวเมื่อหน่วยแรงอัตราส่วนของเหล็กเสริม n เพิ่มมากขึ้นกว่าปกติ ผลของการล้าของคอนกรีตทำให้ค่าที่วิเคราะห์ได้ข้างต้นลดลงแต่เหล็กเสริมในเส้าต้องรับหน่วยแรงอัตราส่วนมากขึ้น กว่าเดิม นั่นคือการล้าของคอนกรีตทำให้เกิดการดัดแปลงจากคอนกรีตให้กับเหล็กยืนในเส้า พฤติกรรมดังกล่าวข้างต้นค่อนข้างซุ่มยากในการวิเคราะห์หาหน่วยแรงที่แท้จริง หรือในการที่จะ กำหนดอัตราส่วนปลอกภัยของเส้าคอนกรีตเสริมเหล็ก เมื่อต้องรับน้ำหนักบรรทุกในสถานะใช้งาน

สำหรับกำลังศักดิ์ แรงอัตราส่วนแนวแกนของเส้าคอนกรีตเสริมเหล็ก ปลอกเดียวและ ปลอกเกลี่ยหัวก่อนที่คอนกรีตทุบจะถูกอัดแตก จะมีค่าเท่ากับผลรวมของกำลังศักดิ์ แรงอัตราส่วนของเหล็กยืน ซึ่งเมื่อพิจารณาจากความสัมพันธ์ระหว่างหน่วยแรงกับหน่วยการหดตัว (Stress-strain curves) ทั้งของคอนกรีตและเหล็กเสริม จะเห็นว่าเมื่อใช้เหล็กเสริมที่มีกำลังจุด ครากอยู่ระหว่าง 3,000 ถึง 4,000 กก./ซม.² เหล็กเสริมนี้จะมีหน่วยการหดตัวที่จุดคราก (ε_y) เท่ากับ 0.001,5 ถึง 0.002 มน./มน. (โดยประมาณ) นั่นหมายความว่า เหล็กเสริมในเส้าจะถูกอัดถึง จุดครากก่อนที่คอนกรีตจะถูกอัดจนถึงหน่วยแรงอัตราส่วนที่สูงสุดเพียงเล็กน้อยเท่านั้น ดังนั้น ก่อนที่

คอนกรีตหุ้มจะถูกอัดแทก หน่วยแรงอัดของคอนกรีตจะมีค่าสูงสุดเท่ากับ $0.85f'_c$ และหน่วยแรงอัดของเหล็กเสริมจะมีค่าเท่ากับกำลังที่จุดคราก f_y นั่นคือ

$$\text{กำลังด้านทานแรงอัดที่สภาพะนี้} = 0.85f'_c A_c + f_y A_s \quad (2-3)$$

โดยที่ A_c เป็นเนื้อที่หน้าตัดสูทของคอนกรีต $= (A_g - A_s)$ ซึ่ง A_g เป็นเนื้อที่หน้าตัดทั้งหมดของเสา และ A_s เป็นเนื้อที่หน้าตัดทั้งหมดของเหล็กยึนในเสา

อย่างไรก็ตี หากเหล็กเสริมไม่มีความสัมพันธ์ดังในภาพที่ 2-2 หรือเมื่อเหล็กยึนมีกำลังจุดครากสูงมาก (High-strength steel) การวิเคราะห์หากำลังด้านทานแรงอัดตามแนวแกนของเสา จะต้องพิจารณาจากความสัมพันธ์ระหว่างหน่วยแรงกับหน่วยการหดตัวจริงของคอนกรีต และของเหล็กเสริม ซึ่งกำลังรับน้ำหนักของเสาจะมีค่าเพิ่มมากขึ้น ได้ต่อเมื่อกำลังด้านทานแรงอัดที่ได้จากเหล็กเสริมมีค่ามากกว่ากำลังด้านทานแรงอัดของคอนกรีตที่มีกำลังลดต่ำลง

ปกติ ถือว่าสมการ (2-3) เป็นกำลังด้านทานแรงอัดสูงสุดตามแนวแกนของเสาคอนกรีตเสริมเหล็กปлокเกลเดียว เพราะเมื่อคอนกรีตหุ้นถูกอัดแทกจะถือว่าเสาันนี้ไม่เหมาะสมกับการใช้งานอีกต่อไป ส่วนเสาคอนกรีตเสริมเหล็กปлокเกลเดียวซึ่งให้เหล็กปлокเกลเดียวพันต่อเนื่องรอบแกนเสา ตลอดความยาวจะมีกำลังด้านทานแรงอัดสูงกว่า และมีพฤติกรรมแบบเหนี่ยววนกันว่าเสาคอนกรีตเสริมเหล็กปлокเกลเดียว เพราะเหล็กปлокเกลเดียวจะเข้ามาช่วยทดแทนกำลังด้านทานแรงอัดของส่วนคอนกรีตหุ้นที่สูญเสียไป

ผลของการทดสอบ พนว่ากำลังด้านทานแรงอัดสูงสุดตามแกนของเสา คอนกรีตเสริมเหล็กปлокเกลเดียว ประกอบด้วยแรงด้านทานจากคอนกรีต เหล็กยึนและเหล็กปлокเกลเดียว นั่นคือ

ในเมื่อ $k = \frac{\text{ประสิทธิภาพของเหล็กปлокเกลเดียว}}{\text{ประสิทธิภาพของเหล็กปлокเกลเดียว}} \approx 1.5 \text{ ถึง } 2.5$ และมีค่าเฉลี่ยเท่ากับ $1.95 \text{ ถึง } 2.0$

อย่างไรก็ตามมาตรฐาน ACI และ ว.ส.ท. ให้ถือว่าเสาปлокเกลเดียวมีกำลังรับแรงอัดสูงสุดตามแนวแกนเท่ากับเสาปлокเกลเดียว แต่จะใช้ค่าคูณลดกำลังของเสาปлокเกลเดียวที่มากกว่าเสาปлокเกลเดียว เมื่อจากเสาปлокเกลเดียวมีความหน่วงมากกว่า

สรุป กำลังด้านทานแรงอัดสูงสุดตามแนวแกนของเสาคอนกรีตเสริมเหล็ก

$$P_0 = 0.85f'_c A_c + k f_y A_s \quad (2-4)$$

แต่ถ้าไม่คิดเนื้อที่ของคอนกรีตที่ถูกแทนที่ด้วยเหล็กยืน จะใช้ $A_c = A_g$ นั่นคือ

$$P_0 = 0.85f'_c A_g + f_y A_{st} \quad (2-5)$$

2.2 การคำนวณออกแบบเสาสัน

หลักเกณฑ์ของการคำนวณออกแบบเสาโดยวิธีกำลัง

$$P_u \leq \phi P_n \text{ และ } M_u \leq \phi M_n$$

โดยที่ P_n และ M_n = แรงอัดตามแนวแกนและโมเมนต์ตัวที่เกิดจากน้ำหนักบรรทุกที่เพิ่มค่าแล้ว
ด้วยตัวคูณเพิ่มน้ำหนัก

ϕ = ตัวคูณลดกำลัง (เสาปลอกเดี่ยว = 0.7, เสาปลอกเกลียว = 0.75)

P_n และ M_n = กำลังด้านทานแรงอัดและโมเมนต์ตัวที่หาได้ตามทฤษฎี

เสาสันรับน้ำหนักตามแกน

มาตรฐาน ACI และ ว.ส.ท. กำหนดให้ เสาสัน คสล. ปลอกเกลียวและปลอกเดี่ยวมีกำลังด้านทานแรงอัดตามแกน ได้สูงสุดเท่ากัน โดยพิจารณาให้กำลังด้านทานแรงอัดสูงสุดตามแนวแกน ของเสาสันเป็นผลรวมของกำลังด้านทานแรงอัดของคอนกรีต และกำลังด้านทานแรงอัดของเหล็กยืน นั่นคือ

กำลังด้านทานแรงอัดตามแนวแกนของเสาสัน P_0

$$P_0 = 0.85f'_c(A_g - A_s) + f_y A_{st} \quad (2-6)$$

แต่ในสภาวะของการก่อสร้างจริง เสาแต่ละต้นจะไม่รับแรงอัดตามแนวแกนเสียที่เดียว โดยอาจมีแรงกระทำเยื่องศูนย์บ้าง ดังนั้น ในการคำนวณออกแบบจึงควรเพิ่อระยะเยื่องศูนย์ไว้อีกอย่างน้อยเท่ากับ 0.10h สำหรับเสาปลอกเดี่ยวและ เท่ากับ 0.05h สำหรับเสาปลอกเกลียว ทั้งนี้ต้องไม่น้อยกว่า 2.5 ซม. ตามที่มาตรฐาน ACI และ ว.ส.ท. ได้ระบุไว้ โดยที่ h เป็นความลึกของเสาต้นที่พิจารณาให้รับแรงโมเมนต์ตัว

ปัจจุบัน มาตรฐาน ACI และ ว.ส.ท. ได้เพิ่มระยะเบื้องศูนย์ดังกล่าวข้างต้น โดยการลดกำลังต้านทานแรงอัดตามแนวแกนอย่างเดียวของเส้นปลอกเดียว และเส้นปลอกเกลียวให้เหลือเพียง 80% และ 85% ตามลำดับ ดังนี้ จะได้ค่ากำลังรับแรงอัดสูงสุดตามแนวแกน ϕP_u ดังนี้
กำลังรับแรงอัดสูงสุดตามแนวแกนเส้นปลอกเดียว

$$\phi P_{u(\max)} = 0.80\phi[0.85 f_c'(A_g - A_s) + f_y A_{st}] \quad (2-7)$$

กำลังรับแรงอัดสูงสุดตามแนวแกนเส้นปลอกเกลียว

$$\phi P_{u(\max)} = 0.85\phi[0.85 f_c'(A_g - A_s) + f_y A_{st}] \quad (2-8)$$

อนึ่ง ในการคำนวณออกแบบเสา คสล. อาจพิจารณาแทนค่าของ $(A_g - A_s)$ ดังที่ปรากฏในสมการข้างต้นด้วยค่า A_g นั่นคือ ไม่คิดเนื้อที่ของคอนกรีตที่ถูกแทนที่ด้วยเหล็กยืน ทั้งนี้ไม่ทำให้ค่ากำลังรับแรงอัดสูงสุดผิดพลาความมากนัก

2.3 ข้อกำหนดของเหล็กเสริมตามขวางสำหรับเส้นปลอกเดียวตามมาตรฐาน ว.ส.ท.

เหล็กปลอกเดียวสำหรับองค์การรับแรงอัด ต้องเป็นไปตามข้อกำหนด(ว.ส.ท. 3410 (๑)) ต่อไปนี้

2.3.1 เหล็กเส้นทุกเส้นต้องรัดไว้ด้วยเหล็กปลอกเดียว โดยมีขนาดเส้นผ่านศูนย์กลางดังนี้

- ขนาดอย่างน้อย 6 มม. สำหรับเหล็กเส้นตามยาวขนาดเส้นผ่านศูนย์กลาง 20 มม.

หรือเล็กกว่า

- ขนาดอย่างน้อย 9 มม. สำหรับเหล็กเส้นตามยาวขนาดเส้นผ่านศูนย์กลาง

ตั้งแต่ 25 ถึง 32 มม.

- ขนาดอย่างน้อย 12 มม. สำหรับเหล็กเส้นตามยาวขนาดเส้นผ่านศูนย์กลางใหญ่

กว่า 32 มม. ขึ้นไป และสำหรับเหล็กเส้นตามยาวมีรวมกันเป็นกำ

2.3.2 ระยะห่างของเหล็กปลอกเดียวต้องไม่นานกว่าค่าต่อไปนี้

- 16 เท่าของขนาดเส้นผ่านศูนย์กลางของเหล็กเส้นตามยาว

- 48 เท่าของขนาดเส้นผ่านศูนย์กลางของเหล็กปลอกเดียว

- มิติที่แคนสูดขององค์การรับแรงอัด

2.3.3 ต้องจัดให้มุมของเหล็กปีกปลาด้วยข้อต่อเหล็กเส้นตามมุมยาวทุกมุม ขณะเดียวกันต้องจัดให้เหล็กปีกปลาด้วยข้อต่อเหล็กเส้นตามยาวเส้นเร็วนี้ โดยมุมของเหล็กปีกปลาด้วยนั้นต้องไม่นากกว่า 135 องศา สำหรับเหล็กเส้นที่ไม่มีมุมของเหล็กปีกปลาด้วยจะต้องมีระยะห่างของเหล็กเส้นนั้นกับเหล็กเส้นที่มีเหล็กปีกปลาด้วยคุณภาพข้างเคียงต้องไม่เกิน 15 ซม. ถ้าเหล็กเส้นตามยาวเรียงกันเป็นวงกลม อาจใช้เหล็กปีกปลาด้วยรัศมีเป็นวงกลมได้

2.3.4 เหล็กปีกปลาด้วยต้องอยู่เหนือส่วนบนของฐานราก หรือพื้นของชั้นใดๆ ไม่นากกว่าครึ่งหนึ่งของระยะห่างของเหล็กปีกปลาด้วย และต้องอยู่ได้เหล็กเสริมตามแนวโนนต่ำสุดของแผ่นพื้นหรือเป็นหัวเสาที่อยู่เหนือเข็มไป ไม่นากกว่าครึ่งหนึ่งของระยะห่างของเหล็กปีกปลาด้วยนั้น

2.3.5 ในกรณีเสาไม่มีคานหรือเป็นหูช้างมากต่อทั้ง 4 ด้าน เหล็กปีกปลาด้วยอาจหดอยู่ได้เหล็กเสริมล่างสุดของคานหรือเป็นหูช้างที่ดีน้ำหนักไม่นากกว่า 7.5 ซม.

2.4 ข้อกำหนดของเหล็กเสริมตามขวางสำหรับเสาปีกปลาด้วยตามมาตรฐาน ACI

มาตรฐาน ACI กำหนดเกี่ยวกับเหล็กปีกปลาด้วยในสาระดังนี้

2.4.1 ขนาดเส้นผ่านศูนย์กลางเด็กสุดของเหล็กปีกปลาด้วย

ACI 7.10.5 ระบุขนาดเส้นผ่านศูนย์กลางเหล็กปีกปลาด้วย ซึ่งขึ้นกับขนาดของเหล็กขึ้นดังตารางที่ 2-1

ตารางที่ 2-1 การเสริมเหล็กปีกปลาด้วยตามมาตรฐาน ACI

เส้นผ่านศูนย์กลางเหล็กขึ้น	เส้นผ่านศูนย์กลางของเหล็กปีกปลาด้วย
- ไม่โตกว่า No.32	No. 10 หรือโตกว่า
- No. 36 , 43 , 57	No. 13 หรือโตกว่า
- เหล็กที่มัครวบกันเป็นก้า (Bundle)	Deformed wire or Welded Fabric

2.4.2 ระยะเรียงของเหล็กปีกปลาด้วย

ระยะเรียงของเหล็กปีกปลาด้วยในเสา จะต้องไม่เกินค่าต่อไปนี้ (ACI 7.10.5.2)

- 16 เท่าของเส้นผ่านศูนย์กลาง
- 48 เท่าของเส้นผ่านศูนย์กลางเหล็กปีกปลาด้วย
- ด้านแคบสุด (Least dimension) ของหน้าตัดเสา

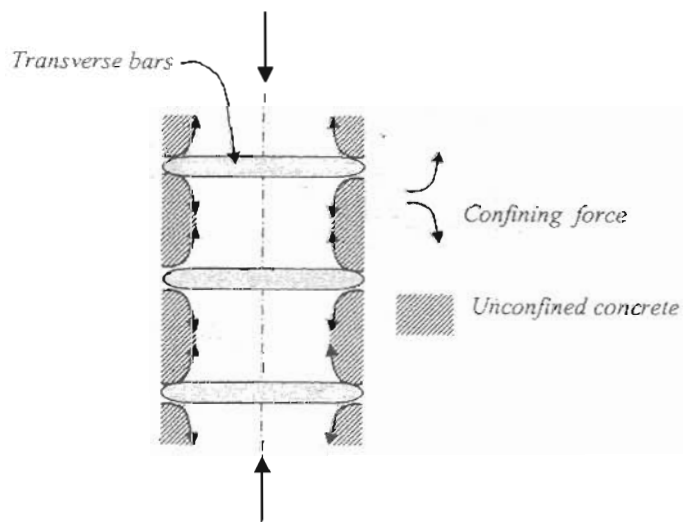
2.4.3 การจัดเรียงเหล็กข้อและเหล็กปลอกเดี่ยว

ACI 7.10.5.2 ระบุให้มุมของเหล็กปลอกข้อเหล็กตามยาวทุกมุม ขณะเดียวกันต้องจัดให้มุมของเหล็กปลอกเดี่ยวขึ้นด้วยข้อเหล็กเส้นตามยาวเส้นเว้นเส้น โดยมุมของเหล็กปลอกนั้นต้องไม่โตกิน 135 องศา อนึ่ง เหล็กเส้นที่เว้นด้องห่างจากเส้นที่ถูกขัดไว้ไม่เกิน 150 มิลลิเมตร

2.5 การรักรอบ ในองค์อาคารต้านทานแรงอัดที่เสริมเหล็กปลอก

ในองค์อาคารต้านทานแรงอัดที่เสริมเหล็กทางด้านข้างชนิดต่างๆ เช่น เหล็กรักรอบหรือเหล็กปลอกเดี่ยว (Hoop or Tie) เหล็กปลอกเกลียว (Spiral) กล่าวได้ว่าเหล็กรักรอบ หรือ เหล็กปลอกเหล่านี้มีนัยสำคัญต่อการเปลี่ยนแปลงความสัมพันธ์ระหว่างความตึงและความดันและความเครียดน้อยมากยกเว้นในกรณีที่หน่วยแรง หรือความตึงมีค่าสูง หรือเข้าใกล้กำลังอัดตามแกนสูงสุด (Uniaxial strength) อย่างไรก็ตามปัจจุบัน หรือผลเนื่องจากเหล็กรักรอบ หรือเหล็กปลอกต่อกำลังต้านทานแรงอัดตามแกนของคอนกรีต มีดังนี้

2.5.1 อัตราส่วนระหว่างปริมาตรของเหล็กรักรอบ หรือเหล็กปลอกต่อปริมาตรของแกนคอนกรีต ($\frac{V_s}{V_c}$) เมื่อ V_s และ V_c เป็นปริมาตรของเหล็กรักรอบ หรือปลอก และปริมาตรของแกนคอนกรีต ดังแสดงในภาพที่ 2-3

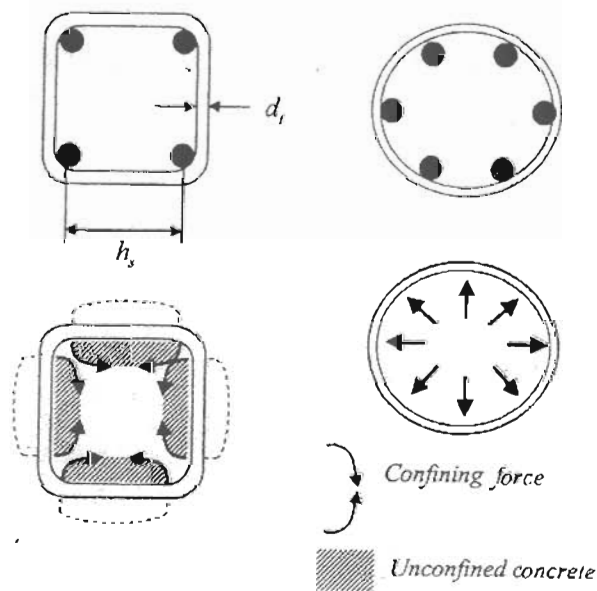


ภาพที่ 2-3 ผลของระบบเสริมเหล็กรักรอบ หรือเหล็กปลอกที่ด้านทานการหังกลากด้านข้าง

2.5.2 หากกำลังครากของเหล็กครอบ หรือเหล็กปลอกสูงขึ้น จะทำให้กำลังต้านทานแรงดึงของคอนกรีตสูงขึ้นด้วย หรือกลับกัน

2.5.3 อัตราส่วนระหว่างระยะเรียงของเหล็กครอบ หรือเหล็กปลอก (s) ต่อความกว้างของแกนคอนกรีต (d) หากจะเรียกว่า ประสิทธิภาพต้านทานการพังทลายทางด้านข้างจะเพิ่มขึ้น

2.5.4 อัตราส่วนระหว่างเส้นผ่านศูนย์กลางของเหล็กครอบ หรือเหล็กปลอก ต่อระยะห่างระหว่างจุดยึดของเหล็กครอบ หรือเหล็กปลอก $\left(\frac{d_t}{h_s}\right)$ สำหรับกรณีเหล็กครอบ เหล็กปลอกรูปสี่เหลี่ยม หากเส้นผ่านศูนย์กลางของเหล็กครอบหรือเหล็กปลอกมีขนาดใหญ่ขึ้น ก็จะยังมีประสิทธิภาพในการรับ载 ดังแสดงในภาพที่ 2-4 หากอัตราส่วนระหว่างเส้นผ่านศูนย์กลางเหล็กครอบ หรือเหล็กปลอกต่อระยะห่างจุดยึดมีค่ามากขึ้น ทันทีที่คอนกรีตที่ถูกครอบ จะมีค่ามากขึ้น ส่วนกรณีเหล็กครอบกลมหรือเหล็กปลอกเกลียว จะไม่มีนัยสำคัญต่อประสิทธิภาพต้านทาน การรับ載 อนนั้นก็เนื่องจากหน่วยแรง หรือความต้านทานจะได้สมมำณอย่างทุกทิศทาง



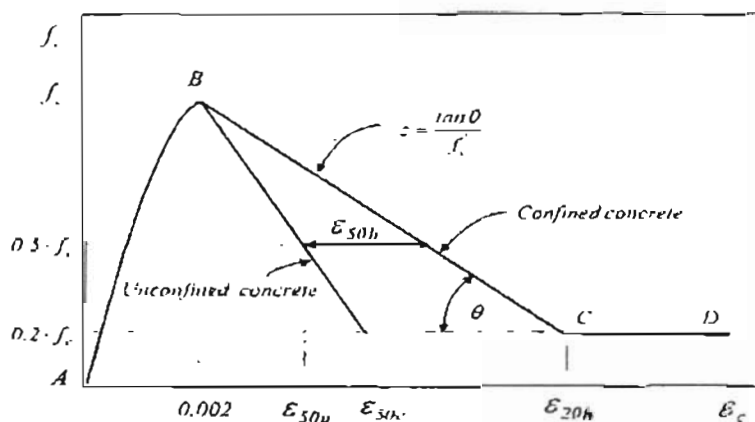
ภาพที่ 2-4 การรับ载โดยเหล็กครอบหรือเหล็กปลอก สี่เหลี่ยมจัตุรัส และกลม

2.5.5 ขนาดและจำนวนเหล็กตามแนวยาวที่จะช่วยยึดเหล็กปลอกมีผลต่อการรับ载 โดยเฉพาะหากเหล็กตามยาวมีขนาดใหญ่ และอัตราส่วนระหว่างเส้นผ่านศูนย์กลางเหล็กตามยาว ต่อระยะระหว่างจุดยึดมีค่ามากก็จะยิ่งเพิ่มประสิทธิภาพในการรับ载 ค่อนกรีตมากยิ่งขึ้น แต่ทั้งนี้

เหลือกตามแนวขวางจะต้องบีดแน่นกับเหล็กตามขวางซึ่งได้แก่เหล็กรักรอบหรือเหล็กปลอกเพื่อประสิทธิผลต่อการรักรอบ ของเหล็กรักรอบ หรือเหล็กปลอก

อนึ่งในองค์การที่มีเหล็กรักรอบ หรือเหล็กปลอก คอนกรีตที่อยู่บริเวณภายนอกของเหล็กรักรอบ หรือเหล็กปลอก หรือเรียกเปลือกนอก (ระยะหุ้น หรือ Shell Concrete) ไม่ได้ถูกรักรอบ ด้วยเหล็กรักรอบ หรือเหล็กปลอก ดังนั้น ณ ตำแหน่งที่ความเก็บเข้าใกล้ภาวะไม่ถูกรักรอบ คอนกรีตนี้จะหลุดออกมานะ โดยเฉพาะบริเวณเหล็กเสริมทางด้านข้างหรือเหล็กปลอกยิ่งมาก ความแข็งแรงของคอนกรีตบริเวณเปลือกนอกก็ยิ่งน้อยลง หรืออีกนัยหนึ่งหากปริมาณเหล็กปลอกสูง การกำนันจะกำลังด้านทานแรงอัด ณ ค่าความเครียดสูงๆ ควรลดลงของคอนกรีตส่วนเปลือกนอก

กรณีเหล็กรักรอบ หรือเหล็กปลอกกรุปสี่เหลี่ยม ความสัมพันธ์ของความเก็บ และความเครียดของคอนกรีตที่ถูกรักรอบ ด้วยเหล็กรักรอบ หรือเหล็กปลอกกรุปสี่เหลี่ยม โดยปกติทั่วไปมีลักษณะคล้ายกับความสัมพันธ์ระหว่างความเก็บกับความเครียดของคอนกรีตภายใต้แรงอัดแบบแกนเดียว ภาพที่ 2-5 แสดงความสัมพันธ์ระหว่างความเก็บ – ความเครียด ของคอนกรีตที่ถูกรักรอบ ด้วยเหล็กรักรอบหรือเหล็กปลอกกรุปสี่เหลี่ยม



ภาพที่ 2-5 ความเก็บ และความเครียดของคอนกรีตที่ถูกรักรอบ โดยเหล็กรักรอบ หรือเหล็กปลอกกรุปสี่เหลี่ยม

2.6 การทดสอบนัยสำคัญทางสถิติ

การทดสอบความแตกต่างของความถี่ ไคสแควร์ (Chi-square test)

ในทางทฤษฎีแล้ว ไคสแควร์ (Chi-square) ซึ่งมีลักษณะ χ^2 เมื่อ $df = 1$ มีค่าที่มากกว่า Z^2 ค่าจึงเป็น正值เสมอ หรือพูดว่า $\chi^2 \geq 0$ คือได้

การทดสอบโดยวิธีการนี้ ก็เพื่อจะหาคุณว่าความถี่ของสิ่งที่ได้ศึกษามา จะอยู่ในรูปหนึ่งนั้น
เดียวกันกับความถี่ที่หวังไว้โดยทางทฤษฎีหรือไม่

$$\text{สูตรทั่วไป } \chi^2 = \sum \frac{(O - E)^2}{E}$$

เมื่อให้ χ^2 คือค่าของการแจกแจง Chi-square

O คือค่าความถี่ที่ได้มาจริงๆ

E คือค่าความถี่ที่ได้มาตามทฤษฎีหรือที่คาดหวัง

ในการคำนวณ χ^2 เป็นการหาค่าความแตกต่างระหว่างค่าความถี่ที่เป็นจริงกับค่าความถี่ตามทฤษฎี จะเห็นว่าถ้า $O = E$ ค่าของ χ^2 จะเป็น 0 สิ่งที่ต้องการรู้ในที่นี้คือ χ^2 จะมากหรือน้อยพอกذلكให้เห็นว่ามีความแตกต่างกันระหว่าง O และ E เช่นนั้นได้หรือไม่

การทดสอบ χ^2 แบบนี้ไม่ต้องมีข้อตกลง (Assumption) ว่าการแจกแจงของข้อมูล ต้องปกติ แต่ข้อมูลจะแบ่งเป็นกลุ่มหรือพวก (Categories) เช่น ชายหรือหญิง หรือผลลัพธ์ปานกลาง อ่อน หรือด้านความคิดเห็นอาจแบ่งเป็น ชอบ ไม่ชอบ หรือเห็นด้วย เนยๆ ไม่เห็นด้วย คั่งนี้เป็นต้น การคำนวณ χ^2 ค่าจะมีนัยสำคัญขนาดใดขึ้นอยู่กับ df และระดับนัยสำคัญด้วย

2.6.1 การทดสอบที่มีกลุ่มด้วยแบ่งเดียว (Single Classification)

การทดสอบลักษณะนี้กลุ่มของตัวแปรมีเพียงด้านเดียวเท่านั้น ถ้าตัวแปรมี K ตัว df = K-1 นั้นคือถ้าตัวแปรมีเพียงหัวกับก้อย ค่าของ df = 2-1 การทดสอบ χ^2 แบบนี้เพื่อตรวจสอบคุณว่า O กับ E จะแตกต่างกันจริงหรือไม่ E จะต้องได้ตามทฤษฎี ถ้าเป็นสิ่งสมคุลการเกิด O กับ E ควรจะเท่ากัน แต่การวางแผนของทฤษฎีอาจจะไม่เหมือนกันดังนั้นการทดสอบ O ที่ได้มาทุกครั้งก็เพื่อขึ้นชันว่าเท่ากับ E ตามทฤษฎีกำหนด ไว้หรือไม่นั่นเอง

2.6.2 การทดสอบความเป็นอิสระ (Test of independence)

การทดสอบแบบนี้มากกว่า Two-way Classification ความผูกพันในการทดสอบ ไคลเคนร์-โวบิลินน์ เพื่อจะคุณว่าความสัมพันธ์ระหว่างคุณลักษณะหรือสิ่งเร้าที่สามารถแยกได้เป็น 2 กลุ่ม (Categories) จากบุคคลหรือวัตถุกุลุ่มเดียวกันว่าเป็นอย่างไรแต่ละกลุ่มสามารถแยกออกจากกันเป็นหลายอย่าง ด้วยถ้าเช่น บุคคลกุลุ่มเดียวกัน อาจหมายความสัมพันธ์ของสี (แดง, ดำ, ขาว) กับสีของตา (ดำ, น้ำตาล, ฟ้า) ว่าสัมพันธ์กันหรือไม่

การตั้งสมมุติฐาน $H_0 = \rho = 0$

$H_1 = \rho \neq 0$

การยอมรับสมมุติฐาน H_0 (Accepted H_0) แปลว่า ตัวแปร 2 กลุ่มไม่สัมพันธ์หรือเกี่ยวข้องกัน แต่ถ้าไม่ยอมรับ H_0 (Rejected H_0) ก็ไปยอมรับ H_1 แปลว่า ตัวแปร 2 กลุ่มนี้มีความสัมพันธ์กัน หรือเกี่ยวข้องกัน

การหา df ของการทดสอบ χ^2 แบบนี้ จะต้องพิจารณาตัวแปรค้านແວตั้ง (Column) และตัวแปรค้านแนวนอน (Row)

$$\text{ดังนี้ } df = (C-1)(R-1) \text{ เช่นถ้า } C = 3, R = 4$$

$$\text{ค่าของ } df = (3 - 1)(4 - 1) = 6 \text{ ดังนี้เป็นต้น}$$

2.7 ผลงานวิจัยที่เกี่ยวข้อง

จักษุฯ และสิทธิชัย [9] ได้ทดสอบเสาคอนกรีต และเสาคอนกรีตที่ถูกโอบรัดหรือรัครอบโดยปะลอกเหล็ก (ไม่ใช่เหล็กปะลอก) ภายใต้การรับน้ำหนักกดอัดตามแนวแกนตรงศูนย์ เพื่อศึกษาพฤติกรรมการรับแรงกดอัด ลักษณะการวินิจฉัย และผลของการโอบรัดที่มีต่อเสาซึ่งมีหน้าตัดสี่เหลี่ยมจัตุรัส ขนาด 150×150 มม. และยาว 750 มม. จำนวน 27 ตัวอย่าง และใช้ปะลอกเหล็กขนาด 150×150 ยาว 750 มม. ความหนา 3.2 และ 4.5 มม. ผลการทดสอบพบว่า เสาที่ถูกโอบรัดโดยปะลอกเหล็ก ทั้งสองความหนา มีพฤติกรรมคล้ายคลึงกัน ในช่วงแรกเสาจะมีพฤติกรรมแบบเชิงเส้น จนกระทั่งแรงกระทำมีค่าประมาณร้อยละ $80 - 90$ ของกำลังสูงสุด จากนั้นการหดตัว และการขยายตัวค้านข้างของเสาจะมีค่าเพิ่มขึ้นอย่างรวดเร็ว ปะลอกเหล็กที่โอบรัดเกิดการโกร่งตัวออกค้านข้าง จนกระทั่งตัวอย่างเกิดการวินิจฉัยที่กำลังรับแรงสูงสุด โดยเสาที่ถูกโอบรัดโดยปะลอกเหล็ก มีกำลังสูงกว่าเสาคอนกรีตร้อยละ $42 - 218$ นอกจากนั้นแล้ว การโอบรัดด้วยปะลอกดังกล่าว ส่งผลให้เสามีความหนาแน่นขึ้นเพิ่มขึ้น

พรเทพ [10] ได้นำผลตាថาข่ายที่มีทั่วไปและมีไคลิตมาเพื่อใช้ในงานโครงสร้างนาประยุกต์ใช้ในการโอบรัดแกนคอนกรีตร่วมกับการใช้เหล็กปะลอกในเสาคอนกรีตเสริมเหล็ก เพื่อเพิ่มประสิทธิภาพในการโอบรัดและปรับปรุงความหนาแน่นของแกนคอนกรีต และพบว่าการใช้ลวดตัวข่ายร่วมกับเหล็กปะลอกในการโอบรัดสามารถเพิ่มประสิทธิภาพในการโอบรัดแกนคอนกรีตได้ โดยทำให้ความหนาแน่นของแกนคอนกรีตเพิ่มขึ้นมากกว่า 26% เมื่อเทียบกับการโอบรัดโดยใช้เหล็กปะลอกอย่างเดียว นอกจากนี้การศึกษาขั้นพื้นฐานว่าการวินิจฉัยของเสาที่เสริมกำลังด้วยลวดตัวข่ายขั้นนี้ ลักษณะที่ปะลอกภัยยิ่งขึ้น

ตระกูล และสกุล [11] เสาเหล็กกลวงรูปสี่เหลี่ยมจัตุรัสบรรจุคอนกรีตเป็นเสากะบอนชนิดหนึ่ง ที่ใช้กันอย่างแพร่หลายสำหรับโครงสร้าง มีการศึกษานานาภัยเกี่ยวกับการรับแรงของเสาประเภทนี้ เตือนการศึกษาเกี่ยวกับการรับแรงเมืองศูนย์สองทางของเสาประเภทนี้ยังมีผู้น้อย งานวิจัย

นี้จึงได้เสนอวิธีการวิเคราะห์ และผลการทดสอบของเสาเหล็กกลวงรูปสี่เหลี่ยมจัตุรัสบรรจุคอนกรีตกำลังสูงภายใต้แรงเยื่องศูนย์สองทาง โดยด้วยแพรอลัคที่ใช้ในการวิเคราะห์ได้แก่ ความชaze อุคของเสา และระยะเยื่องศูนย์ ผลจากการทดสอบเสาตัวอย่างจำนวน 18 ตัว ภายใต้แรงเยื่องศูนย์สองทางถูกนำมาเปรียบเทียบกับผลการวิเคราะห์โดยวิธีของ Rangan กับ Joyce และวิธีของ ACI แล้วเนื่องจากทั้งสองวิธีใช้การวิเคราะห์ความสัมพันธ์ของหน่วยแรง และความเครียดในหน้าตัดของเสา การคำนวณจึงอาศัยไปร่วมกับผลการพิวเตอร์ในการลองผิดลองถูก ผลการเปรียบเทียบแสดงให้เห็นว่า วิธีทั้งสองสามารถใช้ในการท่านายหาทำลังรับประลักษณ์ของเสาเหล็กกลวงรูปสี่เหลี่ยมจัตุรัสบรรจุคอนกรีตภายใต้แรงเยื่องศูนย์สองทาง นอกจากรูปแบบนี้ยังได้ศึกษาถึงผลของการโอบรัคคอนกรีตต่อกำลังประลักษณ์ของเสา

ต่อศักดิ์ [12] ได้ทดลองเกี่ยวกับการวินิจฉัยไฟฟ้าที่ (Localized failure) ของแท่งคอนกรีตตัวอย่างที่ถูกแรงอัดในแนวแกนกระทำ (Uniaxial compression) โดยทำการติดตั้งมาตรวัดความเครียดไว้เป็นระยะตลอดแนวแกนภายใต้แรงอัด เพื่อศึกษาถึงพฤติกรรมการเปลี่ยนแปลงรูปร่าง เกophysical ที่เมื่อถูกแรงกระทำ ตัวแปรในการทดสอบได้แก่ คุณสมบัติทางเรขาคณิต และคุณสมบัติของคอนกรีตที่ใช้ในการทดสอบคอนกรีตตัวอย่าง และทำการวัดความสัมพันธ์ของความเกิน – ความเครียด เกophysical และโดยรวมถึงสัมฤทธิ์แบบการวินิจฉัย ซึ่งพบว่าเมื่ออัตราส่วนความชaze อุคของชิ้นตัวอย่าง มีค่ามากในระดับหนึ่ง การวินิจฉัยของแท่งคอนกรีตตัวอย่าง จะเกิดขึ้นเฉพาะที่ โดยความยาวของบริเวณที่เกิดการวินิจฉัยแรงอัด (Localized compressive failure length) มีความสัมพันธ์กับขนาดหน้าตัดของชิ้นตัวอย่าง ในขณะที่พลังงานของการแตกหักตัวอย่าง (Fracture energy in compression) มีความสัมพันธ์กับกำลังอัดสูงสุดของคอนกรีต

พงษ์สุร และชัชชาติ [13] ได้ศึกษาพฤติกรรมของเสาคอนกรีตเสริมเหล็กที่รับแรงในแนวแกน และแรงกระทำด้านข้างแบบเป็นวัฏจักรตัววิธีไฟไนต์เอลิเมนต์ ข้อมูลการทดสอบของเสาคอนกรีตเสริมเหล็กจำนวน 4 ตัวอย่างที่มีรูปแบบการเสริมเหล็กปลอก และระดับแรงในแนวแกนต่าง ๆ กัน จะถูกใช้ในการตรวจสอบชิ้นส่วนผลการวิเคราะห์ตัววิธีไฟไนต์เอลิเมนต์ ซึ่งแต่ละตัวอย่างมีขนาดหน้าตัด 400×400 มม. ความสูง 1500 มม. ปริมาณเหล็กเสริมตามยาว 3.14 % ส่วนรับแรงจำลอง วัสดุของคอนกรีต และเหล็กเสริมที่เสนอในงานวิจัยนี้รวมพฤติกรรมทั้งหมดที่มีความสำคัญต่อการตอบสนองของเสาคอนกรีตเสริมเหล็กที่รับกำลังกระทำแบบวัฏจักร พฤติกรรมที่สำคัญเมื่อเสาคอนกรีตเสริมเหล็กเกิดการเคลื่อนที่ทางด้านข้างมากๆ เมื่อใกล้จุดวินิจฉัย การหล่อร่องของคอนกรีตผิวนอกและการดึงของเหล็กเสริมตามยาว ซึ่งมีอิทธิพลอย่างมากต่อการลดกำลังของเสาคอนกรีตเสริมเหล็ก ผลจากการวิเคราะห์ตัววิธีไฟไนต์เอลิเมนต์ เปรียบเทียบกับผลการทดสอบแล้วพบว่าการใช้วิธีไฟไนต์เอลิเมนต์ สามารถแสดงพฤติกรรมของเสาคอนกรีตเมื่อรับแรงกระทำ

แบบวัสดุจัดได้ผลเป็นที่น่าพอใจ ทั้งขนาดของแรงกระทำทางค้านข้าง ความสามารถในการสลาย พลังงาน และตัวแหน่งที่เกิดการวิบัติ นอกจากนั้นผลการวิเคราะห์ด้วยวิธีไฟไนต์เอลิเมนต์ สามารถ ทำให้ทราบถึงข้อมูลที่ได้ไม่สมบูรณ์จากการทดสอบ เช่น หน่วยแรง และความเครียดของเหล็ก เสริมตลอดประวัติการรับแรง เป็นต้น ผลการศึกษาสามารถสรุปได้ว่า วิธีไฟไนต์เอลิเมนต์ สามารถ นำมาใช้ร่วมกับผลการทดสอบ เพื่อศึกษาพฤติกรรมของเสาก่อนกรีดเสริมเหล็กเมื่อรับแรงกระทำ แบบวัสดุจัด ในรูปแบบต่าง ๆ ได้อย่างมีประสิทธิภาพ

หัวขอชัย และคณะ [14] ได้ศึกษาถ้นคว้าหาแนวทางในการเสริมกำลังโครงสร้างเสาก่อนกรีด เสริมเหล็กด้วยวัสดุสีน้ำเงินไขคาร์บอนไฟเบอร์ (CFRP) อย่างมีประสิทธิภาพ เนื่องจากปัจจุบันการ เสริมกำลังโครงสร้างเป็นสิ่งที่มีความต้องการสูง และวิธีการเสริมกำลังด้วยวัสดุคาร์บอนไฟเบอร์ซึ่ง มีความสะดวกในการติดตั้ง กำลังเป็นที่ได้รับความสนใจมาก การศึกษานี้นำตัวอย่างเสาก่อนกรีด เสริมเหล็กมาหุ้มด้วยคาร์บอนไฟเบอร์ในรูปแบบต่าง ๆ กัน คือ หุ้มคาร์บอนไฟเบอร์ตลอดทั้งเสาก หุ้มเป็นช่วงในแนวนอนและแนวตั้ง หุ้มเฉพาะแนวนอนเป็นช่วง ๆ และชุดควบคุมไม่หุ้มคาร์บอนไฟเบอร์ จากการศึกษาพบว่าการหุ้มคาร์บอนไฟเบอร์บางส่วนในแนวราบท่าน้ำที่โอบรั้วคอกกรีด ทำให้กำลังรับแรงอัดของเสาสูงขึ้นประมาณ 14 % และสามารถเห็นข่าวมากขึ้น

บทที่ 3

การเตรียมการทดสอบ

3.1 คุณสมบัติของวัสดุที่ใช้ในการทดสอบ

3.1.1 กำลังอัดของคอนกรีต (Compressive Strength of Concrete)

กำลังอัดของคอนกรีตที่ใช้หล่อเสาทดสอบมีค่าเฉลี่ย 212 ksc ที่อายุ 28 วัน (ดังตารางที่ 3-1) โดยใช้คอนกรีตผสมเสร็จ (Ready Mixed Concrete) เทลงในเสาคอนกรีตตัวอย่างที่เตรียมไว้ในครั้งเดียวจำนวน 62 ตัน เพื่อจำกัดตัวแปรการทดลองในเรื่องกำลังของคอนกรีต และคอนกรีตที่ใช้หล่อเสาทดสอบถูกเก็บตัวอย่างในแบบหล่อทองกระบอกซึ่งมีขนาดเส้นผ่าศูนย์กลาง 15 ซม. สูง 30 ซม. จำนวน 3 ตัวอย่างคั่งแสดงในภาพที่ 3-1 เพื่อทดสอบหาค่ากำลังอัดของคอนกรีต (Compressive Strength) ตามมาตรฐาน ASTM C39-94



ภาพที่ 3 -1 การเก็บตัวอย่างทดสอบกำลังอัดของคอนกรีต

ตารางที่ 3-1 ค่ากำลังอัดของคอนกรีต

ตัวอย่าง	1	2	3	เฉลี่ย
อายุคอนกรีต (วัน)	28	28	28	28
กำลังอัด (ksc)	216	209	212	212

3.1.2 กำลังดึงของเหล็ก (Tensile Strength of Steel)

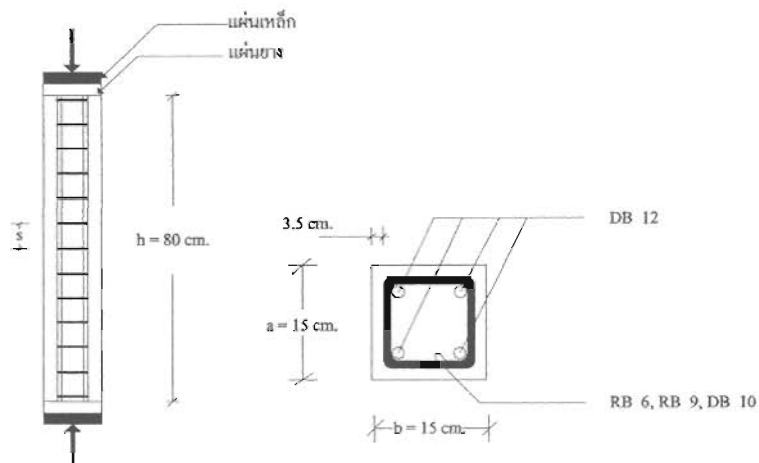
การทดสอบกำลังดึงของเหล็กเสริมเสาตัวอย่างซึ่งใช้เหล็กกลม (Round Bar) ขนาดเส้นผ่าศูนย์กลาง 6 และ 9 มม. ชั้นคุณภาพ SR 24 และเหล็กข้ออ้อบ (Deformed Bar) ขนาดเส้นผ่าศูนย์กลาง 10 และ 12 มม. ชั้นคุณภาพ SD 30 ทำโดยการเก็บตัวอย่างเหล็กเส้นเดียวกันกับที่ใช้เสริมเสาทดสอบจำนวน 3 ตัวอย่างต่อเหล็กหนึ่งขนาด ในการทดสอบแรงดึงประดับเป็นไปตามมาตรฐาน ASTM E8 ได้ผลการทดสอบตามตารางที่ 3 – 2

ตารางที่ 3-2 กำลังดึงของเหล็กเสริม

ชนิดของเหล็กเสริม (มม.)	กำลังดึงที่จุกคราก (ksc)				กำลังดึงประดับ (ksc)			
	1	2	3	เฉลี่ย	1	2	3	เฉลี่ย
RB6	3,621	3,421	3,673	3,572	5,041	4,786	4,907	4,911
RB9	3,040	3,012	3,057	3,036	4,489	4,470	4,488	4,482
DB10	3,074	3,197	3,085	3,119	4,211	4,276	4,226	4,238
DB12	2,901	3,005	2,965	2,957	4,173	4,335	4,350	4,286

3.2 การเตรียมตัวอย่างเสาทดสอบ

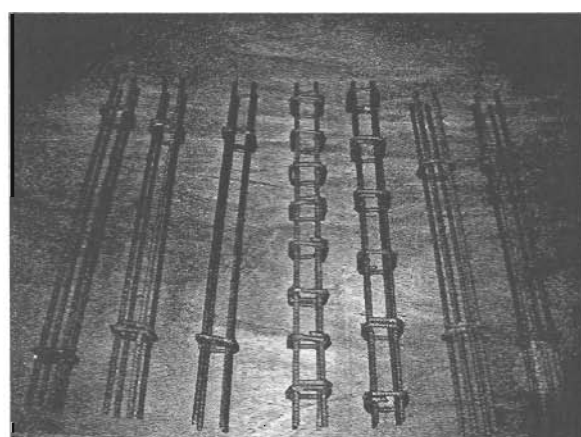
3.2.1 รูปแบบ และจำนวนเสาที่ใช้ในการทดสอบเป็นเสาขนาดหน้าตัด 15×15 ซม. ความสูง 80 ซม. จำนวนเสาทดสอบ 3 กลุ่ม ตัวอย่าง 62 ต้น



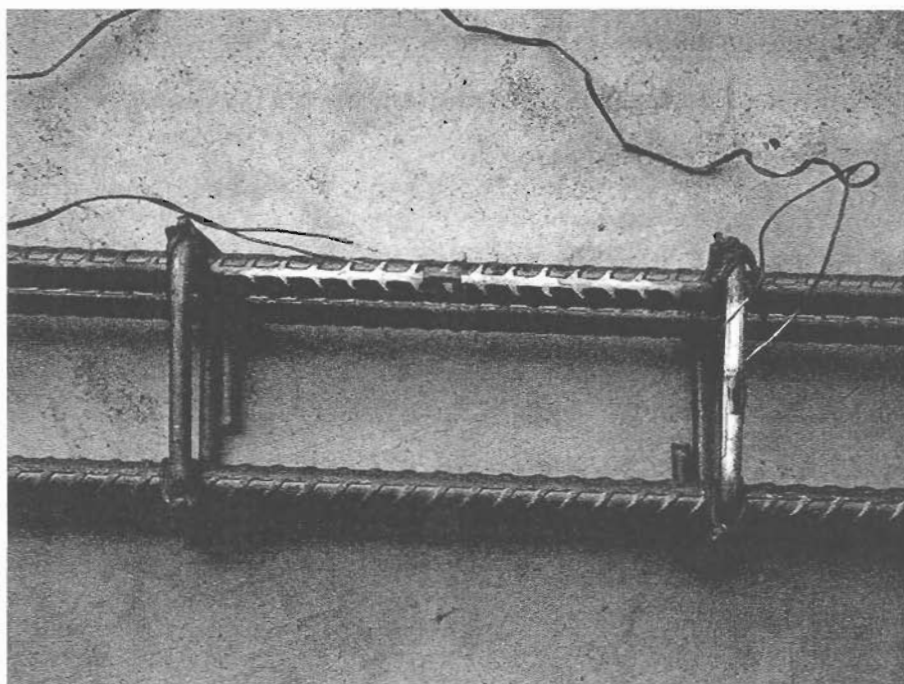
ภาพที่ 3-2 รายละเอียดของเสาคอนกรีตเสริมเหล็ก

3.2.2 ทำการผูกเหล็กแกนและเหล็กปลอก ดังภาพที่ 3-3

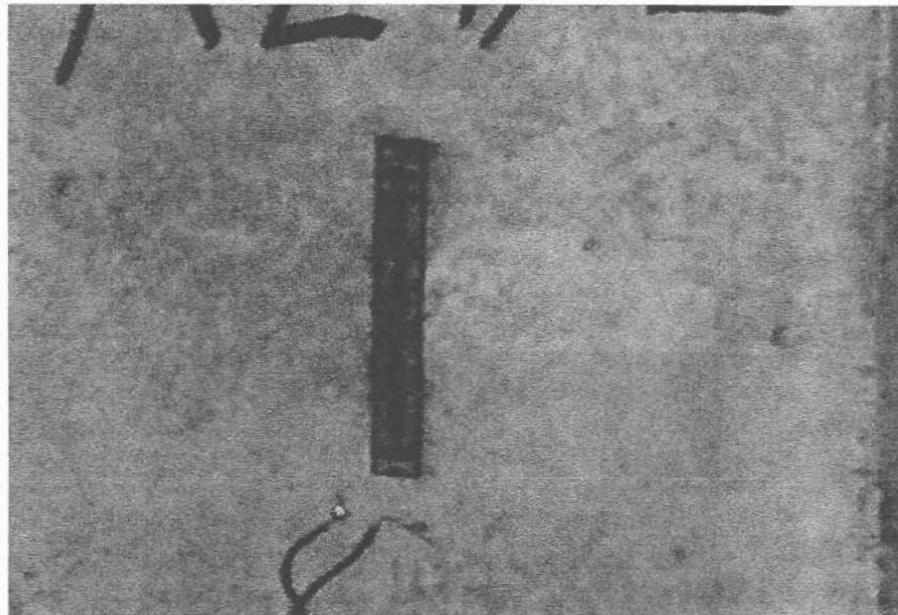
3.2.3 ติดตั้งมาตรวัดความเครียด (Strain Gauges) ที่เหล็กแกน เหล็กปลอกและผิวคอนกรีต ในเสาทดสอบกลุ่ม A (RB6) 4 ตัวอย่าง A $14/2$, A $19/2$, A $24/2$, A $29/2$ กลุ่ม B (RB 9) 4 ตัวอย่าง B $14/2$, B $19/2$, B $24/2$, B $29/2$ กลุ่ม C (DB 10) 4 ตัวอย่าง C $14/2$, C $19/2$, C $24/2$, C $48/2$ ดังภาพที่ 3-4 และภาพที่ 3-5 จากนั้นตรวจสอบตำแหน่งการติดตั้ง Strain Gauges ดังภาพที่ 3-6



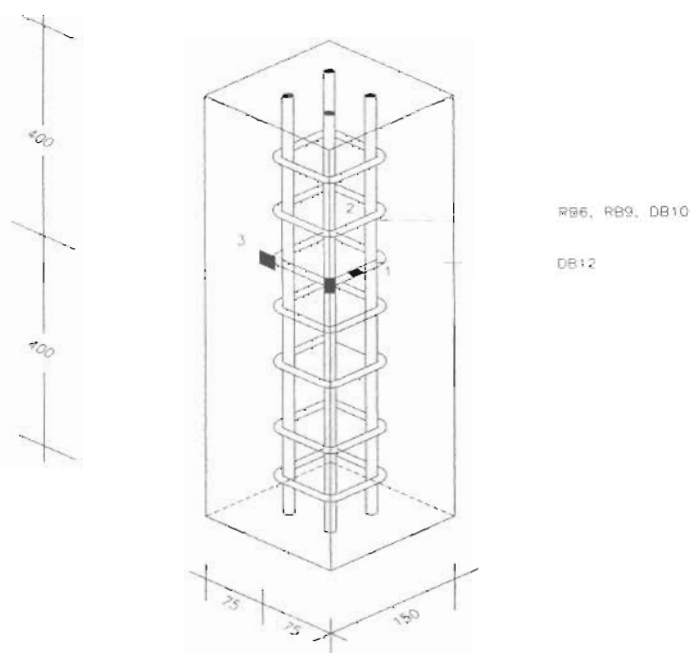
ภาพที่ 3-3 เหล็กเสริมที่ใช้ในการทดสอบ



ภาพที่ 3-4 การติดตั้ง Strain Gauges บนเหล็กเสริมเส้นดัดสอบ

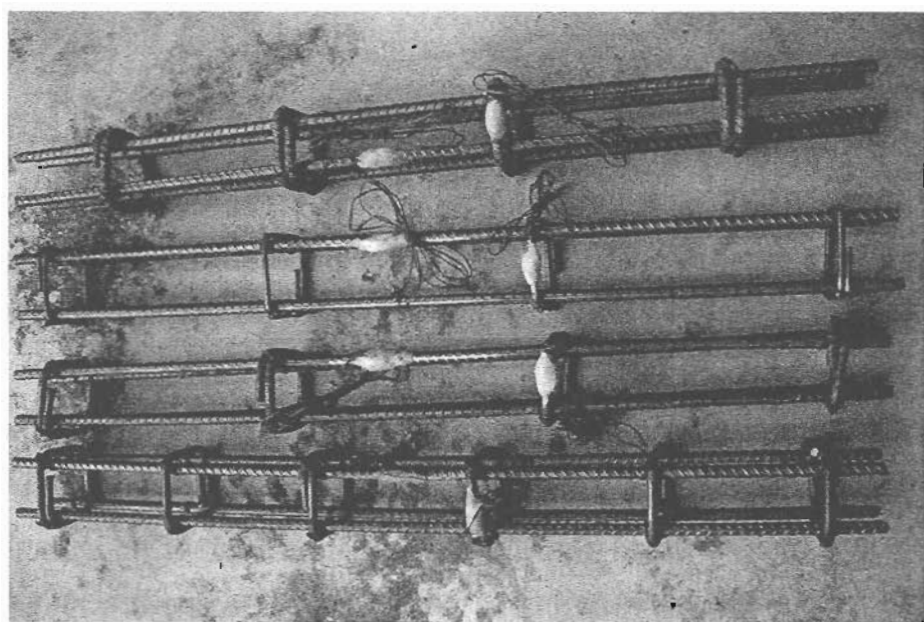


ภาพที่ 3-5 การติดตั้ง Strain Gauges บนผิวคอนกรีต



ภาพที่ 3-6 ตำแหน่งการติดตั้ง Strain Gauges

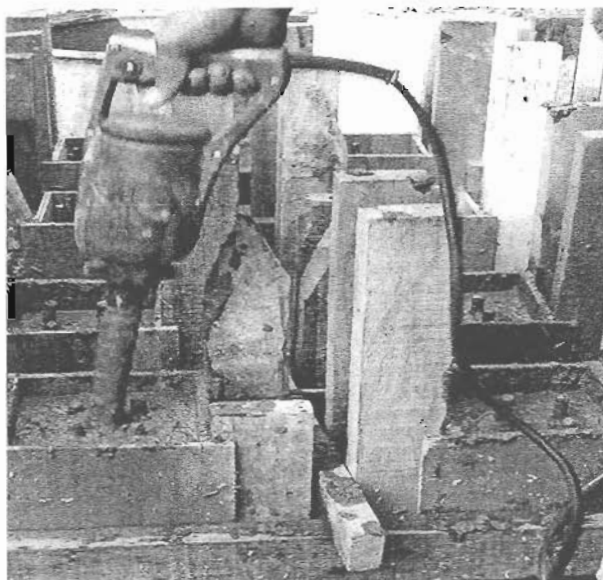
3.2.4 ทำการหุ้ม Coating Material บริเวณที่ติดตั้ง Strain Gauges เพื่อป้องกันความชื้นที่จะเกิดขึ้น ดังภาพที่ 3-7



ภาพที่ 3-7 การหุ้ม Coating Material

3.3 การเทคอนกรีต

ใช้คอนกรีตแบบผสมเสร็จ (Ready Mixed Concrete) ของ CPAC ขนาดเทคอนกรีตต้องระมัดระวังในเรื่องของ Strain Gauges และสายสัญญาณของ Strain Gauges ต้องตรวจสอบว่าไม่เสียหาย ดังภาพที่ 3-8



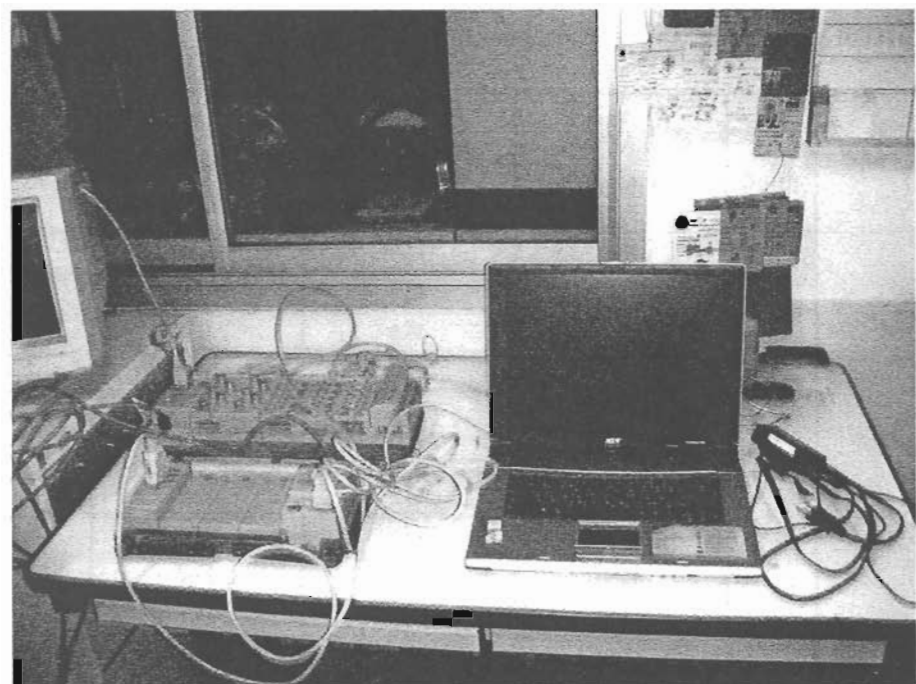
ภาพที่ 3-8 การจัดคอนกรีต

3.4 การทดสอบและการเก็บข้อมูล

3.4.1 วัดขนาดหน้าตัดเสา โดย $a = \text{ด้านกว้างของเสา} c = \text{ด้านลึกของเสา}$ ดังตาราง 3-3

3.4.2 ในการทดสอบเสาตัวอย่าง ใช้เครื่องทดสอบ Universal Testing Machine ทำการบันทึกแรงดันที่กระทำกับเสาและค่าการเดินรูปโดยเสาที่ติดตั้ง Strain Gauges ทำการต่อสายสัญญาณเข้ากับเครื่องจัดเก็บข้อมูล (Data Logger) โดยให้น้ำหนักที่กระทำกับเสาอยู่ระหว่าง 15 – 25 วินาที/ตัน ดังภาพที่ 3-9

หลังเสร็จการทดสอบ นำข้อมูลที่ได้จากการทดสอบไปประมวลผลในรูปแบบความสัมพันธ์ระหว่างน้ำหนักและการหดตัวของเสา (Load – Deflection Relationship) และความสัมพันธ์ระหว่างน้ำหนักและความเครียดของเสา (Load – Strain Relationship) เพื่อนำไปวิเคราะห์ผลทั่วไปทางสถิติคัวบิวชีการทดสอบความแตกต่างของความถี่ ไคสแควร์และพฤติกรรมของการวินัดของเสา ต่อไป



ภาพที่ 3-9 การต่อสายสัญญาณเข้ากับเครื่อง Data Logger

ตารางที่ 3-3 ตารางแสดงขนาดหน้าตัดเสากองกรีด

กลุ่ม	เสาก แบบที่	ชื่อ เสากทดสอบ	a cm.	b cm.	$\text{Area}(A_g) = a \times c$ cm.^2
A	1	A10/1	15.9	14.6	232.1
		A10/2	15.2	15.0	228.0
	2	A14/1	15.8	15.3	241.7
		A14/2	15.0	14.9	223.5
	3	A19/1	15.6	15.4	240.2
		A19/2	15.4	14.7	226.4
	4	A24/1	15.2	15.3	232.6
		A24/2	15.5	15.5	240.3
	5	A29/1	15.5	15.6	241.8
		A29/2	14.9	15.1	225.0
	6	A34/1	15.2	15.4	234.1
		A34/2	14.7	15.1	222.0
	7	A38/1	15.3	15.9	243.3
		A38/2	15.6	15.7	244.9
	8	A43/1	15.1	15.1	228.0
		A43/2	15.2	15.4	234.1
B	9	B10/1	15.0	14.9	223.5
		B10/2	15.3	14.9	228.0
	10	B14/1	15.5	15.9	246.5
		B14/2	14.7	15.2	223.4
	11	B19/1	15.0	15.5	232.5
		B19/2	15.4	15.4	237.2
	12	B24/1	15.4	15.7	241.8
		B24/2	15.1	15.2	229.5
	13	B29/1	15.2	15.2	231.0
		B29/2	15.3	15.8	241.7
	14	B34/1	15.5	14.7	227.9
		B34/2	15.5	15.1	234.1
	15	B38/1	15.9	15.4	244.9
		B38/2	15.0	15.1	226.5
	16	B43/1	15.2	15.1	229.5
		B43/2	15.2	15.2	231.0
	17	B48/1	15.5	15.5	240.3
		B48/2	15.5	15.6	241.8
	18	B53/1	15.2	15.7	238.6
		B53/2	14.6	15.6	227.8
	19	B58/1	15.2	15.0	228.0
		B58/2	15.1	15.2	229.5

ตารางที่ 3-3 (ต่อ)

กอุ่น	เลข แบบที่	ชื่อ เส้นทดสอบ	a cm.	b cm.	$\text{Area}(A_g) = a \times b$ cm.^2
C	20	C10/1	15.1	15.2	229.5
			15.1	15.2	229.5
	21	C14/1	15.2	16.0	243.2
			14.7	15.2	223.4
	22	C19/1	15.4	15.3	235.6
			15.1	15.2	229.5
	23	C24/1	15.3	15.0	229.5
			15.1	15.2	229.5
	24	C29/1	15.1	15.0	226.5
			14.7	15.2	223.4
	25	C34/1	15.7	15.7	246.5
			15.4	15.4	237.2
	26	C38/1	15.5	15.2	235.6
			15.6	15.7	244.9
	27	C43/1	15.7	15.5	243.4
			15.3	15.3	234.1
	28	C48/1	15.5	15.6	241.8
			15.3	15.4	235.6
	29	C53/1	15.2	15.2	231.0
			15.4	15.6	240.2
	30	C58/1	15.4	15.6	240.2
			15.1	15.4	232.5
	31	C62/1	15.1	15.8	238.6
			15.2	15.1	229.5

บทที่ 4

ผลการทดสอบและวิเคราะห์

4.1 ผลการทดสอบเสา

ผลการทดสอบและวิเคราะห์เสา 3 กลุ่ม กลุ่ม A เหล็กปลอกขนาด RB 6 16 ตัวอย่าง กลุ่ม B เหล็กปลอกขนาด RB 9 22 ตัวอย่าง กลุ่ม C เหล็กปลอกขนาด DB 10 24 ตัวอย่าง ผลการทดสอบแสดงในตารางที่ 4-1 โดย P_0 = ค่าการคำนวณแรงอัคประลักษณ์ทฤษฎี (สมการ 2-4), P_{cr} = แรงอัคที่ทำให้เสาทดสอบเริ่มแตกร้าว P_{test} = ค่าแรงอัคประลักษณ์ที่ได้จากการทดสอบเสา

ตารางที่ 4-1 ผลการทดสอบกับผลการคำนวณของเสา

ชื่อเสา ทดสอบ	$\frac{s}{D}$	$\frac{s}{d_s}$	$\frac{s}{c}$	P_0 (ตัน)	$P_{0,av}$ (ตัน)	P_{cr} (ตัน)	$P_{cr,av}$ (ตัน)	P_{test} (ตัน)	$P_{test,av}$ (ตัน)	$\frac{P_{test,av}}{P_{0,av}}$
A10/1	8	16	0.64	53.20	52.8	28.50	24.8	38.00	35.0	0.66
A10/2				52.40		21.00		32.00		
A14/1	12	24	0.96	54.90	53.3	25.50	23.3	43.50	37.8	0.71
A14/2				51.60		21.00		32.00		
A19/1	16	32	1.28	54.60	53.4	26.00	25.0	40.00	36.0	0.67
A19/2				52.10		24.00		32.00		
A24/1	20	40	1.6	53.20	53.9	22.00	23.5	37.00	36.0	0.67
A24/2				54.60		25.00		35.00		
A29/1	24	48	1.92	54.90	53.4	25.00	24.5	39.00	33.0	0.62
A29/2				51.90		24.00		27.00		
A34/1	28	56	2.24	53.50	52.4	17.50	16.8	32.20	30.6	0.58
A34/2				51.30		16.00		29.00		
A38/1	32	64	2.56	55.20	55.4	22.50	24.5	35.27	33.3	0.60
A38/2				55.50		26.50		31.27		
A43/1	36	72	2.88	52.40	53.0	11.00	11.5	27.50	31.3	0.59
A43/2				53.50		12.00		35.00		

ตารางที่ 4-1 (ต่อ)

ชื่อเส้า ทดสอบ	$\frac{s}{D}$	$\frac{s}{d_s}$	$\frac{s}{c}$	P_0 (ตัน)	$P_{0,av}$ (ตัน)	P_{cr} (ตัน)	$P_{cr,av}$ (ตัน)	P_{test} (ตัน)	$P_{test,av}$ (ตัน)	$\frac{P_{test,av}}{P_{0,av}}$
B10/1	8	10.67	0.64	51.60	52.0	22.00	22.5	34.62	32.7	0.63
B10/2				52.40		23.00		30.87		
B14/1	12	16	0.96	55.70	53.7	15.00	18.5	38.62	34.6	0.64
B14/2				51.60		22.00		30.65		
B19/1	16	21.33	1.28	53.20	53.7	23.00	22.5	37.00	35.2	0.66
B19/2				54.10		22.00		33.47		
B24/1	20	26.67	1.6	54.90	53.8	24.00	23.0	36.87	34.5	0.64
B24/2				52.70		22.00		32.21		
B29/1	24	32.00	1.92	53.00	54.0	19.00	20.5	28.07	31.7	0.59
B29/2				54.90		22.00		35.32		
B34/1	28	37.33	2.24	52.40	53.0	14.00	15.5	35.00	35.3	0.67
B34/2				53.50		17.00		35.57		
B38/1	32	42.67	2.56	55.50	53.8	15.00	16.5	32.35	34.2	0.64
B38/2				52.10		18.00		36.12		
B43/1	36	48.00	2.88	52.70	52.9	18.00	17.0	32.05	32.6	0.62
B43/2				53.00		16.00		33.14		
B48/1	40	53.33	3.2	54.60	54.8	25.00	22.0	29.42	32.9	0.60
B48/2				54.90		19.00		36.40		
B53/1	44	58.67	3.52	54.30	53.4	22.00	24.0	31.20	32.0	0.60
B53/2				52.40		26.00		32.85		
B58/1	48	64.00	3.84	52.40	52.6	23.00	20.3	35.15	36.1	0.69
B58/2				52.70		17.50		36.95		

ตารางที่ 4-1 (ต่อ)

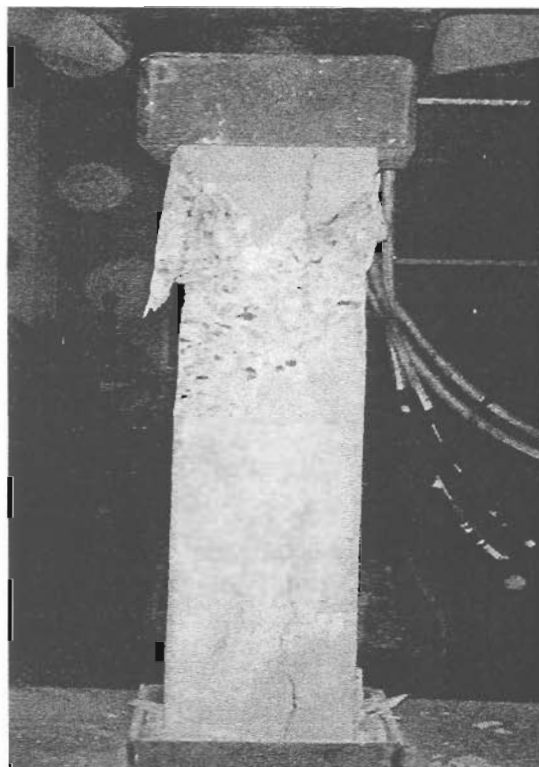
ชื่อเส้น ทดสอบ	$\frac{s}{D}$	$\frac{s}{d_s}$	$\frac{s}{c}$	P_0 (ตัน)	$P_{0,av}$ (ตัน)	P_{cr} (ตัน)	$P_{cr,av}$ (ตัน)	P_{test} (ตัน)	$P_{test,av}$ (ตัน)	$\frac{P_{test,av}}{P_{0,av}}$
C10/1	8	9.6	0.64	52.70	52.7	26.00	26.0	36.37	34.1	0.65
C10/2				52.70		26.00		31.80		
C14/1	12	14.4	0.96	55.20	53.4	30.00	29.0	32.15	33.6	0.63
C14/2				51.60		28.00		34.96		
C19/1	16	19.2	1.28	53.80	53.3	20.00	19.5	28.70	28.2	0.53
C19/2				52.70		19.00		27.65		
C24/1	20	24	1.6	52.70	52.7	28.00	29.0	33.90	36.6	0.69
C24/2				52.70		30.00		39.29		
C29/1	24	28.8	1.92	52.10	51.9	17.00	23.5	32.77	35.2	0.68
C29/2				51.60		30.00		37.57		
C34/1	28	33.6	2.24	55.70	54.9	24.00	26.0	33.42	34.0	0.62
C34/2				54.10		28.00		34.50		
C38/1	32	38.4	2.56	53.80	54.7	27.00	23.5	35.00	32.0	0.59
C38/2				55.50		20.00		29.00		
C43/1	36	43.2	2.88	55.20	54.4	20.00	20.0	33.27	31.1	0.57
C43/2				53.50		20.00		29.00		
C48/1	40	48	3.2	54.90	54.4	20.00	19.0	33.47	32.2	0.59
C48/2				53.80		18.00		30.92		
C53/1	44	52.8	3.52	53.00	53.8	22.00	21.0	30.77	31.8	0.59
C53/2				54.60		20.00		32.85		
C58/1	48	57.6	3.84	54.60	53.9	15.00	16.0	29.52	28.1	0.52
C58/2				53.20		17.00		26.62		
C62/1	52	62.4	4.16	54.30	53.5	24.00	22.5	35.72	36.3	0.68
C62/2				52.70		21.00		36.82		

ตารางที่ 4-2 ผลการทดสอบน้ำหนักบรรทุกสูงสุดกับค่าความเครียดของเหล็กยืน เหล็กปเลอก และพิวคอนกรีต

กอุ่น	เส้า แบบที่	ชื่อเส้า ทดสอบ	น้ำหนักบรรทุก สูงสุด (ตัน)	ค่าความเครียด (10^6 น./ม.)		
				เหล็กยืน	เหล็กปเลอก	พิวคอนกรีต
A	2	A14/2*	32.00	492.00	1,410.00	593.70
	3	A19/2*	32.00	-	1,157.00	548.00
	4	A24/2*	35.00	748.90	-	1,352.00
	5	A29/2*	27.00	427.00	742.00	461.00
B	10	B14/2*	30.65	1,320.00	-	1,309.80
	11	B19/2*	33.47	-	228.80	960.00
	12	B24/2*	32.21	219.00	1,986.00	655.70
	16	B43/2*	33.14	458.00	359.00	1,052.00
C	21	C14/2*	34.96	764.00	-	724.00
	22	C19/2*	27.65	-	1,759.40	949.00
	23	C24/2*	39.29	1,795.30	-	893.00
	28	C48/2*	30.92	1,285.00	1,062.00	603.00

4.2 ผลการทดสอบเสาคู่ A เหล็กป้องก RB 6 ม.m.

4.2.1 ผลการทดสอบและวิเคราะห์เสา A10/1 และ A10/2 เมื่อน้ำหนักบรรทุกกระทำต่อเสาอย่างสม่ำเสมอ เสาคอนกรีต A10/1 การแตกร้าวเริ่มที่น้ำหนักประมาณ 28.50 ตัน และเริ่มแตกไปเรื่อยๆ จนกระทั่งเสาคอนกรีตวิบติที่น้ำหนักประมาณ 38 ตัน โดยเสาเกิดการเสียหายมากที่ส่วนบนโดยที่ผิวคอนกรีตหลุดร่อนออกมานะ และเสาไม่รอยร้าวเป็นเส้นตรงที่ส่วนบนและส่วนล่าง การเสียหายของเสาไม่นอกนักเมื่อเทียบกับต้นอื่นๆ ส่วนเสา A10/2 เมื่อน้ำหนักบรรทุกกระทำต่อเสาอย่างสม่ำเสมอ การแตกร้าวเริ่มที่น้ำหนักประมาณ 21 ตัน และเริ่มแตกไปเรื่อยๆ จนกระทั่งเสาคอนกรีตวิบติที่น้ำหนักประมาณ 32 ตัน โดยการเสียหายคล้ายกับ A10/1 แต่มีความเสียหายที่ส่วนบนมากกว่า ภาพการวินิจฉัยของเสาแสดงในภาพที่ 4-1 และ 4-2

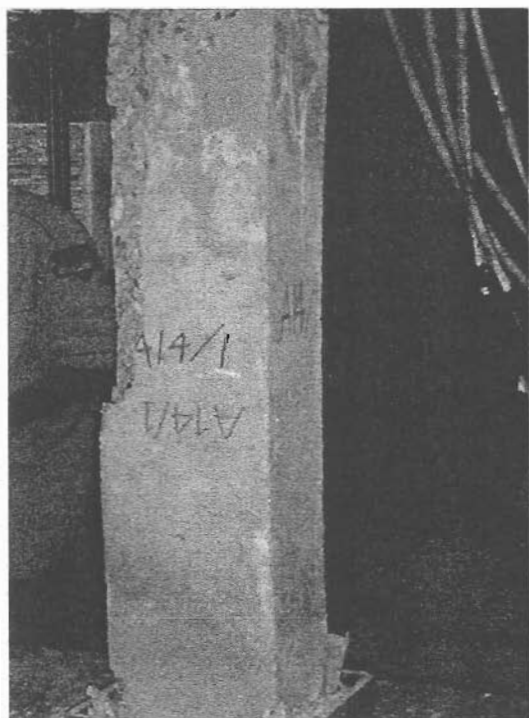


ภาพที่ 4-1 การวินิจฉัยของเสา A10/1

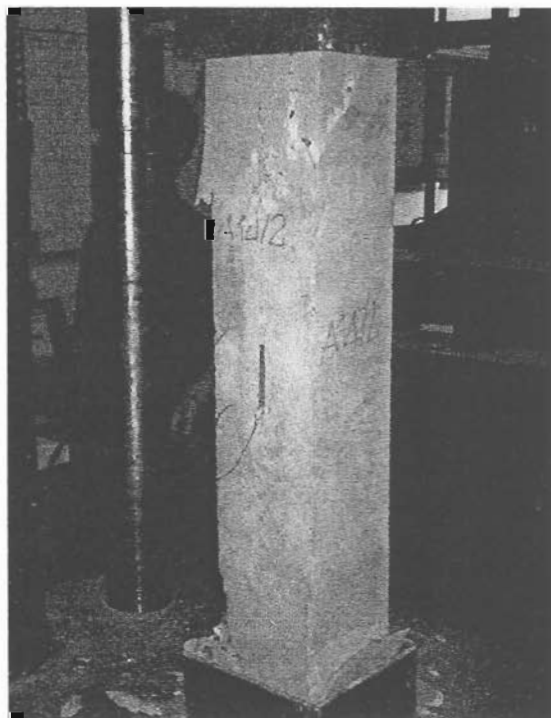


ภาพที่ 4-2 การวินิจฉัยของเสา A10/2

4.2.2 ผลการทดสอบเสาและวิเคราะห์เสา A14/1 และ A14/2 เมื่อนำหนักบรรทุกกระทำต่อเสาอย่างสม่ำเสมอ เสาคอนกรีต A14/1 การแตกร้าวเริ่มที่น้ำหนักประมาณ 22.50 ตัน และเริ่มแตกไปเรื่อยๆ จนกระทั่งเสาคอนกรีตวิบติที่น้ำหนักประมาณ 43.50 ตัน โดยสามารถเดาได้ว่ามากที่ส่วนบนลงถึงกลางเสาบริเวณมุมเสา โดยที่ผู้คอนกรีตหลุดร่อนออกมานะ และเสาเมื่อร้อยร้าวเป็นเส้นตรงที่ส่วนบน การเดียรูปของเสาไม่นำนักเมื่อเทียบกับดันอื่นๆ ส่วนเสา A14/2 เมื่อนำหนักบรรทุกกระทำต่อเสาอย่างสม่ำเสมอ การแตกร้าวเริ่มที่น้ำหนักประมาณ 21 ตัน และเริ่มแตกไปเรื่อยๆ จนกระทั่งเสาคอนกรีตวิบติที่น้ำหนักประมาณ 32 ตัน โดยการเดียรูปเกิดขึ้นมากที่ส่วนบน โดยการเดียรูปคล้ายกับ A14/1 จากมาตรการความเครียด ค่าความเค้นครากของเหล็กยืนคำนวนได้ 1,004 ksc ค่าความเค้นครากของเหล็กปลอกคำนวนได้ 2,876 ksc และคงว่าเหล็กยืนและเหล็กปลอกซึ้งไม่ถึงจุดคราก การทดสอบที่ผู้คอนกรีตจากมาตรการความเครียดคำนวนได้ 0.47 มน. ภาพการวิบติของเสาแสดงในภาพที่ 4-3 และ 4-4

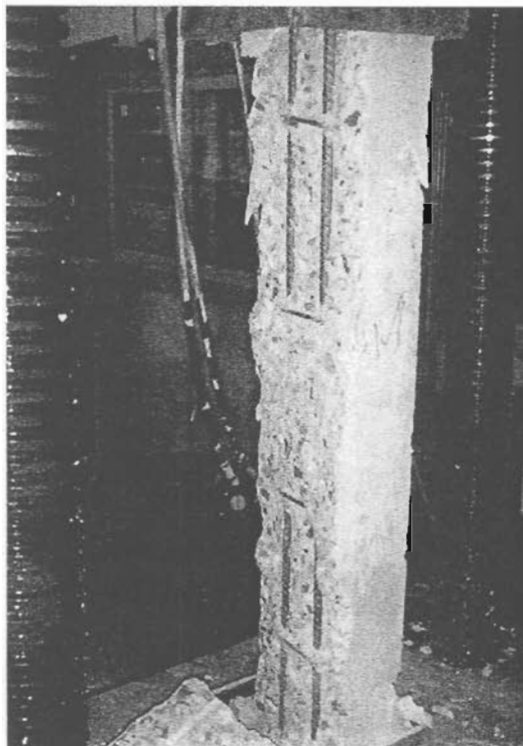


ภาพที่ 4-3 การวินิจฉัยของเสา A14/1



ภาพที่ 4-4 การวินิจฉัยของเสา A14/2

4.2.3 ผลการทดสอบเสาและวิเคราะห์เสา A19/1 และ A19/2 เมื่อน้ำหนักบรรทุกกระทำต่อเสาอย่างสม่ำเสมอ เสาคอนกรีต A19/1 การแตกร้าวเริ่มน้ำหนักประมาณ 26 ตัน และเริ่มแตกไปเรื่อยๆ จนกระทั่งเสาคอนกรีตวิบติที่น้ำหนักประมาณ 40 ตัน โดยเสาเริ่มแตกร้าวที่ด้านบน และเกิดการวิบติทันทีเมื่อรับน้ำหนักที่ 40 ตัน โดยผู้คอนกรีตจากด้านบนลงด้านล่างเกิดการระเบิดออกมานานถึงเหล็กแกน ส่วนเสา A19/2 เมื่อน้ำหนักบรรทุกกระทำต่อเสาอย่างสม่ำเสมอ การแตกร้าวเริ่มน้ำหนักประมาณ 24 ตัน และเริ่มแตกไปเรื่อยๆ จนกระทั่งเสาคอนกรีตวิบติที่น้ำหนักประมาณ 32 ตัน โดยการเสียบูปเกิดขึ้นมากที่ส่วนบน โดยการเสียบูปคล้ายกับ A19/1 และเสาเมื่อหัวร้าวเป็นเส้นตรงที่ส่วนบนลงมาถึงบริเวณกลางสา จากมาตรการวัดความเครียด ค่าความเห็นครากของเหล็กปลอกคำนวณได้ $2,360 \text{ ksc}$ และคงว่าเหล็กปลอกขังไม่ถึงจุดคราก การทดสอบที่ผู้คอนกรีตจากมาตรการวัดความเครียดคำนวณได้ 0.44 mn . ภาพการวิบติของเสาแสดงในภาพที่ 4-5 และ 4-6

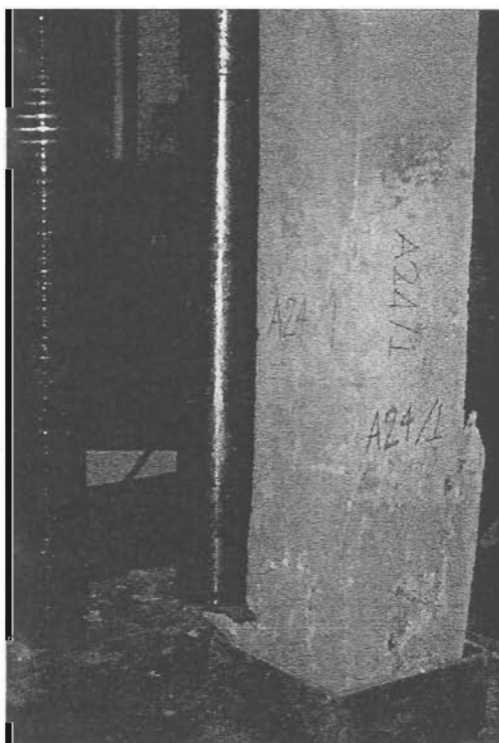


ภาพที่ 4-5 การวิบติของเสา A19/1



ภาพที่ 4-6 การวิบติของเสา A19/2

4.2.4 ผลการทดสอบเสาและวิเคราะห์เสา A24/1 และ A24/2 เมื่อน้ำหนักบรรทุกกระทำต่อเสาอย่างสม่ำเสมอ เสาคอนกรีต A24/1 การแตกร้าวเริ่มที่น้ำหนักประมาณ 22 ตัน และเริ่มแตกไปเรื่อยๆ จนกระทั่งเสาคอนกรีตวิบดิที่น้ำหนักประมาณ 37 ตัน โดยเสาเกิดความเสียหายมากที่บริเวณส่วนล่างของเสา โดยที่ผิวคอนกรีตหลุดร่อนออกมานอกถึงเหล็กแกน ส่วนเสา A24/2 เมื่อน้ำหนักบรรทุกกระทำต่อเสาอย่างสม่ำเสมอ การแตกร้าวเริ่มที่น้ำหนักประมาณ 25 ตัน และเริ่มแตกไปเรื่อยๆ จนกระทั่งเสาคอนกรีตวิบดิที่น้ำหนักประมาณ 35 ตัน โดยการเสียรูปเกิดขึ้นมากที่ส่วนบน โดยที่ผิวคอนกรีตหลุดร่อนออกมานอกถึงเหล็กแกน จากมาตรการวัดความเครียด ค่าความเค้นกรากของเหล็กยืนคำนวณได้ $1,526 \text{ ksc}$ และคงว่าเหล็กยืนยังไม่ถึงจุดแตก การทดสอบที่ผิวคอนกรีตจากมาตรการวัดความเครียดคำนวณได้ 1.08 nm . ภาพการวิบดิของเสาแสดงในภาพที่ 4-7 และ 4-8

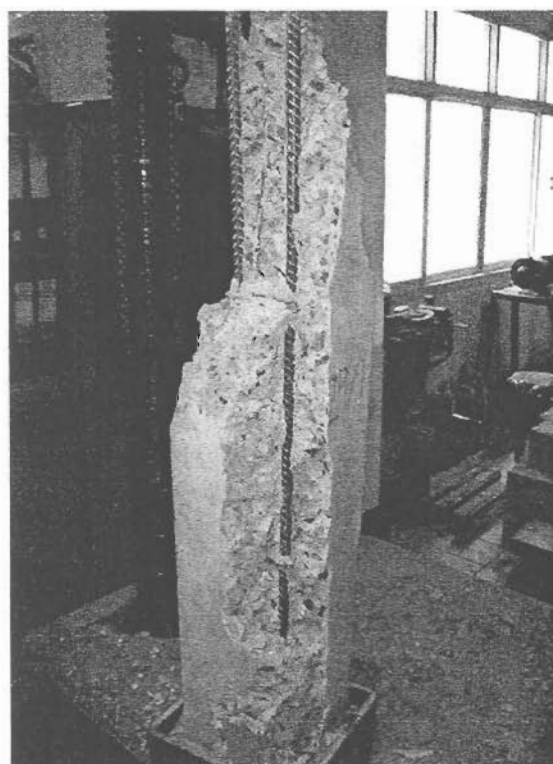


ภาพที่ 4-7 การวิบดิของเสา A24/1



ภาพที่ 4-8 การวิบดิของเสา A24/2

4.2.5 ผลการทดสอบเสาและวิเคราะห์เสา A29/1 และ A29/2 เมื่อนำหนักบรรทุกกระทำต่อเสาอย่างสม่ำเสมอ เสาคอนกรีต A29/1 การแตกร้าวริมที่น้ำหนักประมาณ 25 ตัน และเริ่มแตกไปเรื่อยๆ จนกระทั่งเสาคอนกรีตวิบติดที่น้ำหนักประมาณ 39 ตัน โดยเสาเกิดความเสียหายมากบริเวณส่วนบนลงมาถึงด้านล่าง โดยที่ผิวคอนกรีตหลุดร่อนออกมานิดถึงเหล็กแกน ส่วนเสา A29/2 เมื่อนำหนักบรรทุกกระทำต่อเสาอย่างสม่ำเสมอ การแตกร้าวริมที่น้ำหนักประมาณ 24 ตัน และเริ่มแตกไปเรื่อยๆ จนกระทั่งเสาคอนกรีตวิบติดที่น้ำหนักประมาณ 27 ตัน โดยการใช้รูปเกิดขึ้นมากที่ส่วนบน โดยที่ผิวคอนกรีตหลุดร่อนออกมานิดถึงเหล็กแกน จามาตรวัดความเครียดค่าความเค้นครากของเหล็กยืนคำนวณได้ 871 ksc ค่าความเค้นของเหล็กปลอกคำนวณได้ $1,514 \text{ ksc}$ แสดงว่าเหล็กยืนและเหล็กปลอกยังไม่ถึงจุดคราก การทดสอบที่ผิวคอนกรีตจากมาตรวัดความเครียดคำนวณได้ $0.37 \text{ มน.ภาพการวินิจฉัยของเสาแสดงในภาพที่ 4-9 และ 4-10}$

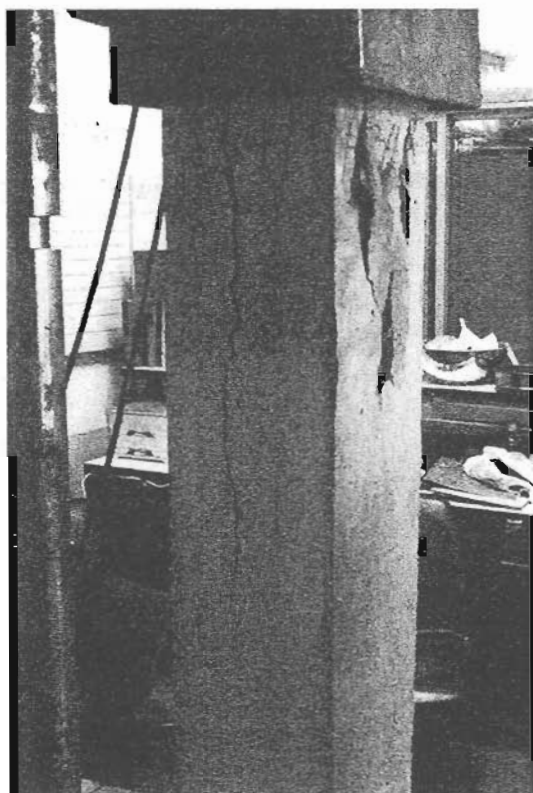


ภาพที่ 4-9 การวินิจฉัยของเสา A29/1

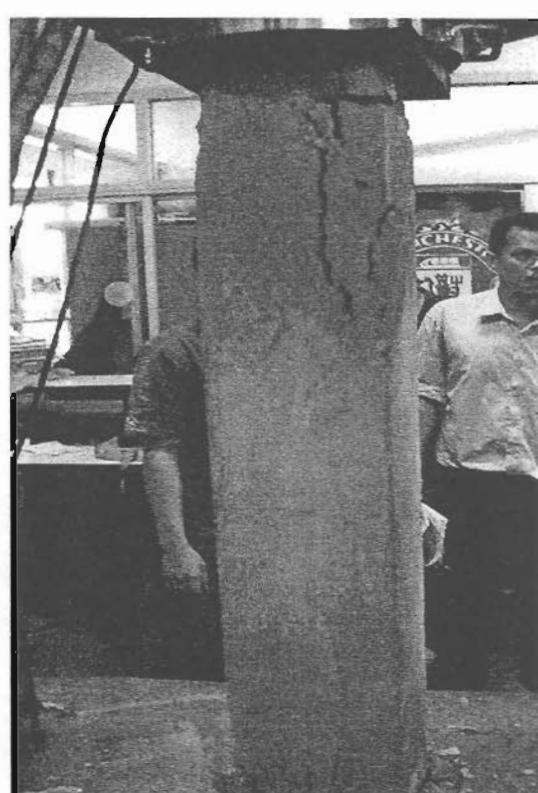


ภาพที่ 4-10 การวินิจฉัยของเสา A29/2

4.2.6 ผลการทดสอบเสาและวิเคราะห์เสา A34/1 และ A34/2 เมื่อน้ำหนักบรรทุกกระทำต่อเสาอย่างสม่ำเสมอ เสาคอนกรีต A34/1 การแตกร้าวเริ่มที่น้ำหนักประมาณ 17.50 ตัน และเริ่มแตกไปเรื่อยๆ จนกระทั่งเสาคอนกรีตวิบติที่น้ำหนักประมาณ 31.20 ตัน โดยเสาเกิดความเสียหายมากบริเวณส่วนบนและมีรอยร้าวเป็นเด็นตรงลงมาจากส่วนบนจนถึงกลางเสา ส่วนเสา A34/2 เมื่อน้ำหนักบรรทุกกระทำต่อเสาอย่างสม่ำเสมอ การแตกร้าวเริ่มที่น้ำหนักประมาณ 16 ตัน และเริ่มแตกไปเรื่อยๆ จนกระทั่งเสาคอนกรีตวิบติที่น้ำหนักประมาณ 29 ตัน โดยการเสียรูปเกิดขึ้นมากที่ส่วนบน โดยที่ผู้วิศวกรรมที่หลุดร่อนออกมายกพาร์วิบติของเสาแสดงในภาพที่ 4-11 และ 4-12



ภาพที่ 4-11 การวินิจฉัยของเสา A34/1



ภาพที่ 4-12 การวินิจฉัยของเสา A34/2

4.2.7 ผลการทดสอบเสาและวิเคราะห์เสา A38/1 และ A38/2 เมื่อน้ำหนักบรรทุกกระทำต่อเสาอย่างสม่ำเสมอ เสาคอนกรีต A38/1 การแตกร้าวเริ่มที่น้ำหนักประมาณ 22.50 ตัน และเริ่มแตกไปเรื่อยๆ จนกระทั่งเสาคอนกรีตวิบัติที่น้ำหนักประมาณ 35.27 ตัน โดยเสาก็เกิดความเสียหายมากับริเวณส่วนบนลงมาถึงส่วนล่างบริเวณมุมเสา โดยที่ผิวคอนกรีตที่หลุดล่อนออกมานั้นถึงเหล็กแกน ส่วนเสา A38/2 เมื่อน้ำหนักบรรทุกกระทำต่อเสาอย่างสม่ำเสมอ การแตกร้าวเริ่มที่น้ำหนักประมาณ 26.50 ตัน และเริ่มแตกไปเรื่อยๆ จนกระทั่งเสาคอนกรีตวิบัติที่น้ำหนักประมาณ 31.27 ตัน โดยการเสียรูปเกิดขึ้นมากที่ส่วนล่าง โดยที่ผิวคอนกรีตหลุดร่อนออกมานั้นถึงเหล็กแกน กារวิบัติของเสาแสดงในภาพที่ 4-13 และ 4-14



ภาพที่ 4-13 การวินิจฉัยของเสา A38/1

ภาพที่ 4-14 การวินิจฉัยของเสา A38/2

4.2.8 ผลการทดสอบเสาและวิเคราะห์เสา A43/1 และ A43/2 เมื่อน้ำหนักบรรทุกกระทำต่อเสาอย่างสม่ำเสมอ เสาคอนกรีต A43/1 การแตกร้าวเริ่มที่น้ำหนักประมาณ 11 ตัน และเริ่มแตกไปเรื่อยๆ จนกระทั่งเสาคอนกรีตวิบดิที่น้ำหนักประมาณ 27.50 ตัน โดยเสาเกิดความเสียหายมากบริเวณส่วนบนลงมาถึงกลางเสา โดยที่ผิวคอนกรีตที่หลุดร่อนออกมานั้นถึงเหล็กแกน ส่วนเสา A43/2 เมื่อน้ำหนักบรรทุกกระทำต่อเสาอย่างสม่ำเสมอ การแตกร้าวเริ่มที่น้ำหนักประมาณ 12 ตัน และเริ่มแตกไปเรื่อยๆ จนกระทั่งเสาคอนกรีตวิบดิที่น้ำหนักประมาณ 35 ตัน โดยการเสียรูปเกิดขึ้นมากที่ส่วนล่างถึงบริเวณกลางเสา โดยที่ผิวคอนกรีตหลุดร่อนออกมานั้นถึงเหล็กแกน ภาพการวิบดิของเสาแสดงในภาพที่ 4-15 และ 4-16



ภาพที่ 4-15 การวิบดิของเสา A43/1



ภาพที่ 4-16 การวิบดิของเสา A43/2

4.3 ผลการทดสอบเสาอุ่ม B เหล็กป้องก RB 9 ม.m.

4.3.1 ผลการทดสอบเสาและวิเคราะห์เสา B10/1 และ B10/2 เมื่อน้ำหนักบรรทุกกระทำต่อเสาอย่างสม่ำเสมอ เสาคอนกรีต B10/1 การแตกร้าวเริ่มที่น้ำหนักประมาณ 22 ตัน และเริ่มแตกไปเรื่อยๆ จนกระทั่งเสาคอนกรีตวิบติกที่น้ำหนักประมาณ 34.62 ตัน โดยเสาเกิดความเสียหายมากบริเวณส่วนบนลงมาถึงกลางเสา โดยที่ผิวคอนกรีตที่หลุดร่อนออกมานลึกลึกลึกแก่น ส่วนเสา B10/2 เมื่อน้ำหนักบรรทุกกระทำต่อเสาอย่างสม่ำเสมอ การแตกร้าวเริ่มที่น้ำหนักประมาณ 23 ตัน และเริ่มแตกไปเรื่อยๆ จนกระทั่งเสาคอนกรีตวิบติกที่น้ำหนักประมาณ 30.87 ตัน โดยการเสียหายเกิดขึ้นมากที่ส่วนล่างถึงบริเวณกลางเสา โดยที่ผิวคอนกรีตหลุดร่อนออกมานลึกลึกลึกแก่น ภาพการวินิจฉัยของเสาแสดงในภาพที่ 4-17 และ 4-18



ภาพที่ 4-17 การวินิจฉัยของเสา B10/1

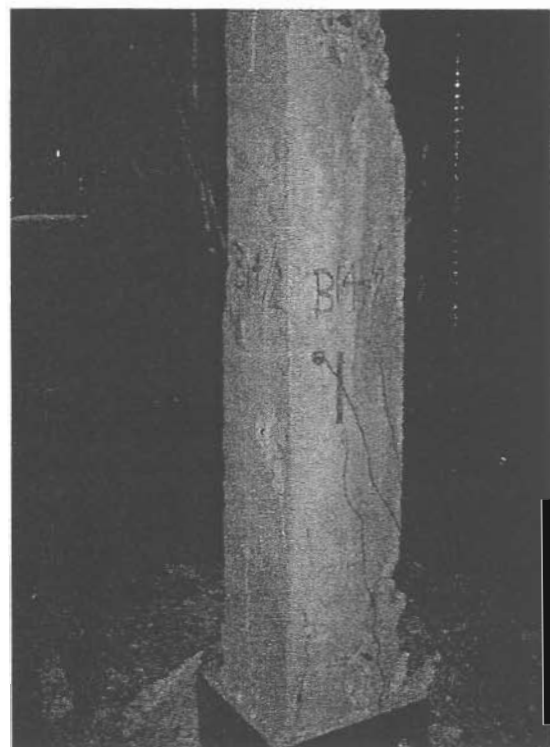


ภาพที่ 4-18 การวินิจฉัยของเสา B10/2

4.3.2 ผลการทดสอบเสาและวิเคราะห์เสา B14/1 และ B14/2 เมื่อน้ำหนักบรรทุกกระทำต่อเสาอย่างสม่ำเสมอ เสาคอนกรีต B14/1 การแตกร้าวริมที่น้ำหนักประมาณ 15 ตัน และเริ่มแตกไปเรื่อยๆ จนกระทั่งเสาคอนกรีตวิบคิที่น้ำหนักประมาณ 38.62 ตัน โดยเสาก็เกิดความเสียหายมากบริเวณส่วนล่างและมีรอยร้าวเป็นเส้นตรงขึ้นมาจนถึงบริเวณกลางเสา โดยที่ผิวคอนกรีตที่หลุดร่อนออกมานั้น เสา B14/2 เมื่อน้ำหนักบรรทุกกระทำต่อเสาอย่างสม่ำเสมอ การแตกร้าวริมที่น้ำหนักประมาณ 22 ตัน และเริ่มแตกไปเรื่อยๆ จนกระทั่งเสาคอนกรีตวิบคิที่น้ำหนักประมาณ 30.65 ตัน โดยการเสียบูปเกิดขึ้นมากทั้งส่วนบนและส่วนล่างและมีรอยร้าวเป็นเส้นตรงจากด้านล่างถึงด้านบน โดยที่ผิวคอนกรีตหลุดร่อนออกมานั้นถึงเหล็กแกน จากการตรวจความเครียดค่าความเค้นครากของเหล็กยืนคำนวณได้ $2,656 \text{ ksc}$ แสดงว่าเหล็กขึ้นชั้งไม่ถึงจุดคราก การทดสอบที่ผิวคอนกรีตจากมาตรฐานความเครียดคำนวณได้ 1.05 mm . ภาพการวินิจฉัยของเสาแสดงในภาพที่ 4-19 และ 4-20



ภาพที่ 4-19 การวินิจฉัยของเสา B14/1



ภาพที่ 4-20 การวินิจฉัยของเสา B14/2

4.3.3 ผลการทดสอบเสาและวิเคราะห์เสา B19/1 และ B19/2* เมื่อน้ำหนักบรรทุกกระทำด่อเสาอย่างสม่ำเสมอ เสาคอนกรีต B19/1 การแตกร้าวเริ่มที่น้ำหนักประมาณ 23 ตัน และเริ่มแตกไปเรื่อยๆ จนกระทั่งเสาคอนกรีตวิบัติที่น้ำหนักประมาณ 37 ตัน โดยเสาเกิดความเสียหายมากตลอดทั้งต้น โดยที่ผิวคอนกรีตที่หลุดร่อนออกมานั้นถึงเหล็กแกน ส่วนเสา B19/2* เมื่อน้ำหนักบรรทุกกระทำด่อเสาอย่างสม่ำเสมอ การแตกร้าวเริ่มที่น้ำหนักประมาณ 22 ตัน และเริ่มแตกไปเรื่อยๆ จนกระทั่งเสาคอนกรีตวิบัติที่น้ำหนักประมาณ 33.47 ตัน โดยการเสียรูปเกิดขึ้นมากบริเวณส่วนบนและมีรอยร้าวเป็นเส้นตรงจากด้านล่างถึงกลางเสา โดยที่ผิวคอนกรีตหลุดร่อนออกมานั้นถึงเหล็กแกน จานวนครั้งความเครียด ค่าความเดินครากของเหล็กปลอกคำนวณได้ 467 ksc แสดงว่าเหล็กปลอกยังไม่ถึงจุดคราก การทดสอบที่ผิวคอนกรีตจากมาตรวัดความเครียดคำนวณได้ 0.77 mn . ภาพการวิบัติของเสาแสดงในภาพที่ 4-21 และ 4-22

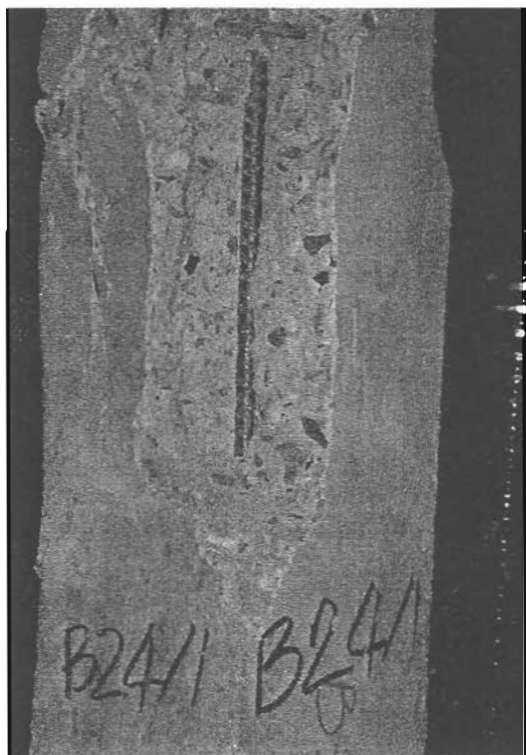


ภาพที่ 4-21 การวิบัติของเสา B19/1



ภาพที่ 4-22 การวิบัติของเสา B19/2

4.3.4 ผลการทดสอบเสาและวิเคราะห์เสา B24/1 และ B24/2 เมื่อน้ำหนักบรรทุกกระทำต่อเสารอย่างสม่ำเสมอ เสาคอนกรีต B24/1 การแทกร้าวเริ่มน้ำหนักประมาณ 24 ตัน และเริ่มแตกไปเรื่อยๆ จนกระทั่งเสาคอนกรีตวิบติที่น้ำหนักประมาณ 36.87 ตัน โดยเสาเกิดความเสียหายมากบริเวณหัวเสา โดยที่ผิวคอนกรีตที่หลุดร่อนออกมายังถึงเหล็กแกน ส่วนเสา B24/2 เมื่อน้ำหนักบรรทุกกระทำต่อเสารอย่างสม่ำเสมอ การแทกร้าวเริ่มน้ำหนักประมาณ 22 ตัน และเริ่มแตกไปเรื่อยๆ จนกระทั่งเสาคอนกรีตวิบติที่น้ำหนักประมาณ 32.21 ตัน โดยการเสียรูปเกิดขึ้นมากทั้งส่วนบนและส่วนล่าง โดยที่ผิวคอนกรีตหลุดร่อนออกมายังถึงเหล็กแกน จากมาตรการวัดความเครียดค่าความเค้นครากของเหล็กยืนวัดได้ 447 ksc ค่าความเค้นครากของเหล็กปลอกคำนวนได้ 4,051 ksc แสดงว่าเหล็กยืนบังไม่ถึงจุดครากส่วนเหล็กปลอกถึงจุดคราก การทดสอบที่ผิวคอนกรีตจากมาตรการวัดความเครียดคำนวนได้ 0.52 น.m. ภาพการวินิจฉัยของเสาแสดงในภาพที่ 4-23 และ 4-24



ภาพที่ 4-23 การวินิจฉัยของเสา B24/1

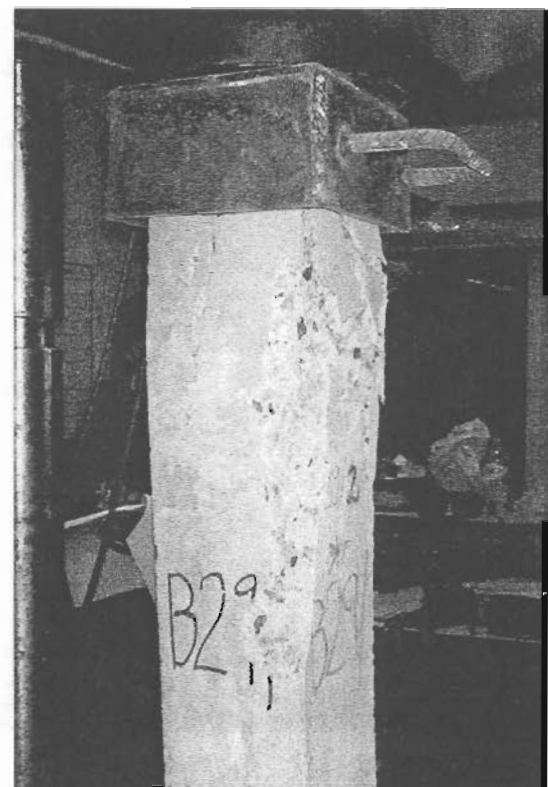


ภาพที่ 4-24 การวินิจฉัยของเสา B24/2

4.3.5 ผลการทดสอบเสาและวิเคราะห์เสา B29/1 และ B29/2 เมื่อนำหนักบรรทุกกระทำต่อเสาอย่างสม่ำเสมอ เสาคอนกรีต B29/1 การแตกร้าวเริ่มที่น้ำหนักประมาณ 19 ตัน และเริ่มแตกไปเรื่อยๆ จนกระทั่งเสาคอนกรีตวิบัติที่น้ำหนักประมาณ 28.07 ตัน โดยเสาเกิดความเสียหายมากบริเวณหัวเสาและมีรอยขร้าวเป็นสันตรงที่ด้านบนลงมาถึงกลางเสา โดยที่ผิวคอนกรีตที่หลุดร่อนออกมานิดเดลิกแก่น ส่วนเสา B29/2 เมื่อนำหนักบรรทุกกระทำต่อเสาอย่างสม่ำเสมอ การแตกร้าวเริ่มที่น้ำหนักประมาณ 22 ตัน และเริ่มแตกไปเรื่อยๆ จนกระทั่งเสาคอนกรีตวิบัติที่น้ำหนักประมาณ 35.32 ตัน โดยการเสียรูปเกิดขึ้นมากบริเวณ โดยที่ผิวคอนกรีตหลุดร่อนออกมานิดเดลิกแก่น ภาพการวินิจฉัยของเสาแสดงในภาพที่ 4-25 และ 4-26



ภาพที่ 4-25 การวินิจฉัยของเสา B29/1



ภาพที่ 4-26 การวินิจฉัยของเสา B29/2

4.3.6 ผลการทดสอบเสาและวิเคราะห์เสา B34/1 และ B34/2 เมื่อน้ำหนักบรรทุกกระทำต่อเสาอย่างสม่ำเสมอ เสาคอนกรีต B34/1 การแตกร้าวเริ่มที่น้ำหนักประมาณ 14 ตัน และเริ่มแตกไปเรื่อยๆ จนกระทั่งเสาคอนกรีตวิบติดที่น้ำหนักประมาณ 35 ตัน โดยเสาเกิดความเสียหายมากบริเวณส่วนล่างของเสา และแตกออกตอคดคว่ำ เสา โดยที่ผิวคอนกรีตหลุดร่อนออกมากถึงเหล็กแกน ส่วนเสา B34/2 เมื่อน้ำหนักบรรทุกกระทำต่อเสาอย่างสม่ำเสมอ การแตกร้าวเริ่มที่น้ำหนักประมาณ 17 ตัน และเริ่มแตกไปเรื่อยๆ จนกระทั่งเสาคอนกรีตวิบติดที่น้ำหนักประมาณ 35.57 ตัน โดยการเสียรูปเกิดขึ้นมากับบริเวณส่วนบนของเสา โดยที่ผิวคอนกรีตหลุดร่อนออกมาก ภาพการวิบติดของเสาแสดงในภาพที่ 4-27 และ 4-28



ภาพที่ 4-27 การวิบติดของเสา B34/1



ภาพที่ 4-28 การวิบติดของเสา B34/2

4.3.7 ผลการทดสอบเสาและวิเคราะห์เสา B38/1 และ B38/2 เมื่อน้ำหนักบรรทุกกระทำต่อเสาอย่างสม่ำเสมอ เสาคอนกรีต B38/1 การแตกร้าวเริ่มที่น้ำหนักประมาณ 15 ตัน และเริ่มแตกไปเรื่อยๆ จนกระทั่งเสาคอนกรีตวิบติที่น้ำหนักประมาณ 32.35 ตัน โดยสาเหตุความเสียหายมากบริเวณส่วนล่างของเสา โดยที่ผิวคอนกรีตหลุดร่อนออกม่า ส่วนเสา B38/2 เมื่อน้ำหนักบรรทุกกระทำต่อเสาอย่างสม่ำเสมอ การแตกร้าวเริ่มที่น้ำหนักประมาณ 18 ตัน และเริ่มแตกไปเรื่อยๆ จนกระทั่งเสาคอนกรีตวิบติที่น้ำหนักประมาณ 36.12 ตัน โดยการเสียหายปะเกิดขึ้นมากบริเวณส่วนล่างของเสา ภาพการวินิจฉัยของเสาแสดงในภาพที่ 4-29 และ 4-30

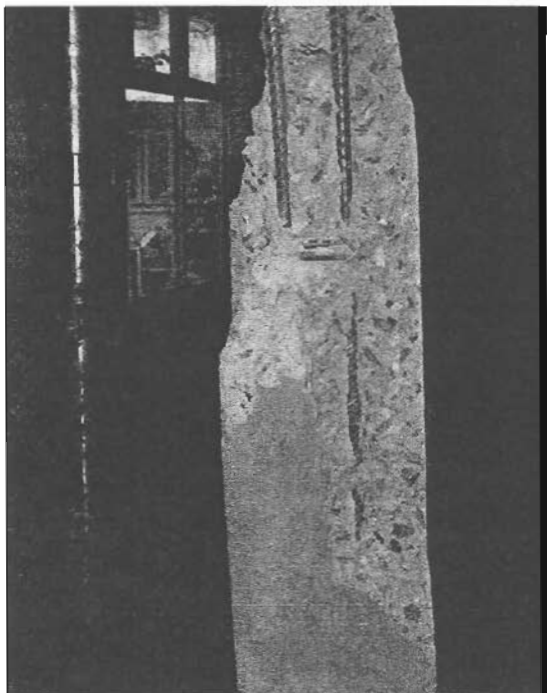


ภาพที่ 4-29 การวินิจฉัยของเสา B38/1

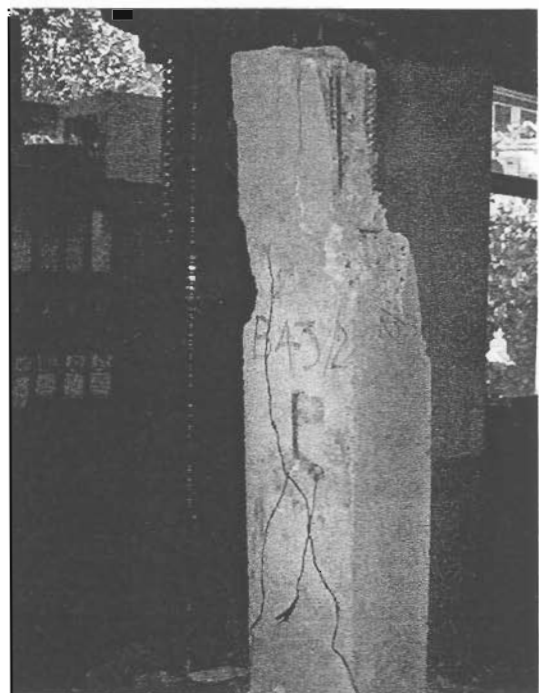


ภาพที่ 4-30 การวินิจฉัยของเสา B38/2

4.3.8 ผลการทดสอบเสาและวิเคราะห์เสา B43/1 และ B43/2 เมื่อน้ำหนักบรรทุกกระทำต่อเสาอย่างสม่ำเสมอ เสาคอนกรีต B43/1 การแตกร้าวริบบ์ที่น้ำหนักประมาณ 18 ตัน และเริ่มแตกไปเรื่อยๆ จนกระทั่งเสาคอนกรีตวิบติดที่น้ำหนักประมาณ 32.05 ตัน โดยเสาก็ความเสียหายมากบริเวณส่วนบนถึงส่วนกลางของเสา โดยที่ผิวคอนกรีตหลุดร่อนออกมานานถึงเหล็กแกน ส่วนเสา B43/2 เมื่อน้ำหนักบรรทุกกระทำต่อเสาอย่างสม่ำเสมอ การแตกร้าวริบบ์ที่น้ำหนักประมาณ 16 ตัน และเริ่มแตกไปเรื่อยๆ จนกระทั่งเสาคอนกรีตวิบติดที่น้ำหนักประมาณ 33.14 ตัน โดยการเสียรูปเกิดขึ้นมากบริเวณส่วนบนของเสา โดยที่ผิวคอนกรีตหลุดร่อนออกมานานถึงเหล็กแกน จากนั้นตัวรัศมีความเครียด ค่าความเดินครากของเหล็กยืนคำนวณได้ 934 ksc ค่าความเดินครากของเหล็กปลอกคำนวณได้ 732 ksc และคงว่าเหล็กยืนและเหล็กปลอกยังไม่ถึงจุดคราก การทดสอบที่ผิวคอนกรีตจากมาตราวัดความเครียดคำนวณได้ 0.84 มม. ภาพการวินิจฉัยของเสาแสดงในภาพที่ 4-31 และ 4-32

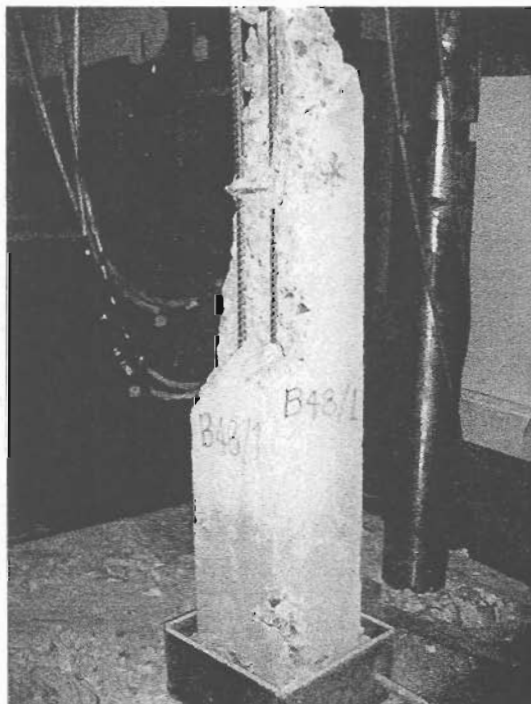


ภาพที่ 4-31 การวินิจฉัยของเสา B43/1

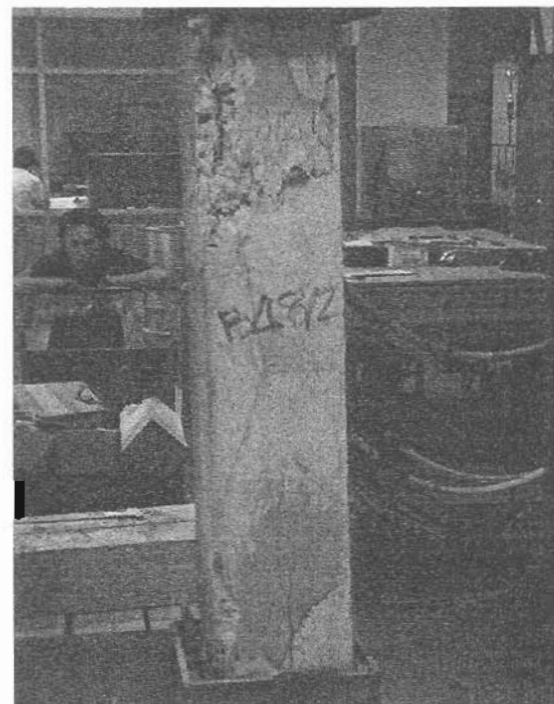


ภาพที่ 4-32 การวินิจฉัยของเสา B43/2

4.3.9 ผลการทดสอบเสาและวิเคราะห์เสา B48/1 และ B48/2 เมื่อน้ำหนักบรรทุกกระทำด้วยเสารอย่างสม่ำเสมอ เสาคอนกรีต B48/1 การแตกร้าวริบบิ้นที่น้ำหนักประมาณ 25 ตัน และเริ่มแตกไปเรื่อยๆ จนกระทั่งเสาคอนกรีตวิบบิ้ตที่น้ำหนักประมาณ 29.42 ตัน โดยเสาเกิดความเสียหายมากบริเวณส่วนบนถึงส่วนกลางของเสา โดยที่ผู้วิเคราะห์ต้องออกมานั่งเล่นหีกแกน ส่วนเสา B48/2 เมื่อน้ำหนักบรรทุกกระทำด้วยเสารอย่างสม่ำเสมอ การแตกร้าวริบบิ้นที่น้ำหนักประมาณ 19 ตัน และเริ่มแตกไปเรื่อยๆ จนกระทั่งเสาคอนกรีตวิบบิ้ตที่น้ำหนักประมาณ 36.40 ตัน โดยการเสียรูปเกิดขึ้นมากบริเวณส่วนบนของเสา และเกิดรอยร้าวเป็นแนวยาวตลอดเสาภาพการวินิจฉัยของเสาแสดงในภาพที่ 4-33 และ 4-34

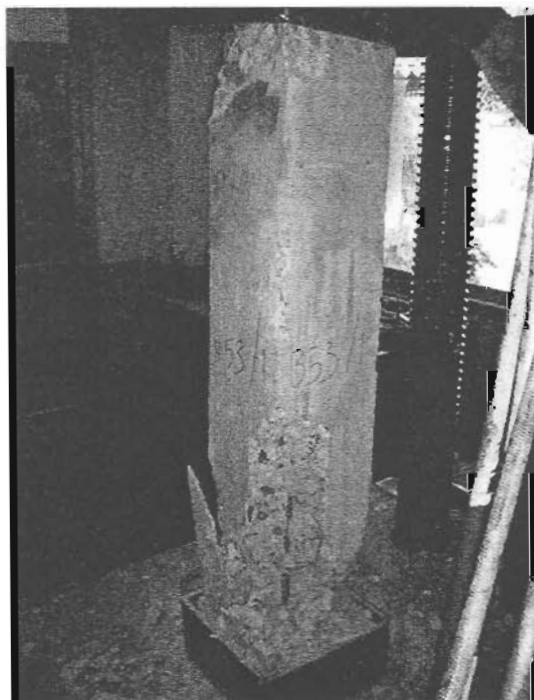


ภาพที่ 4-33 การวินิจฉัยของเสา B48/1

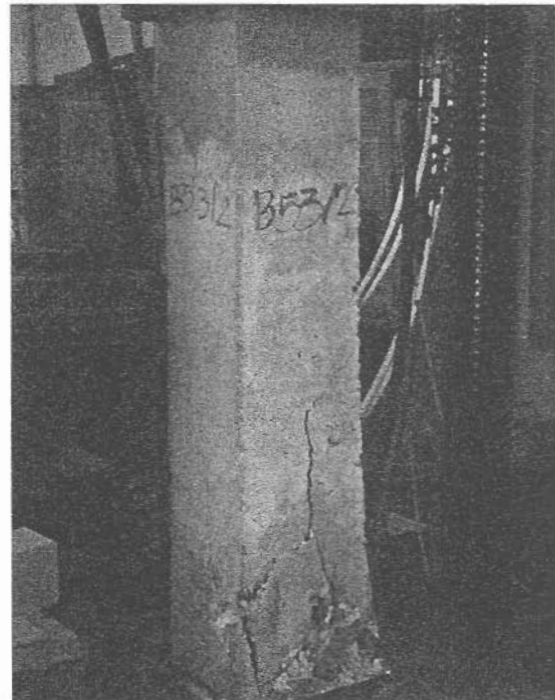


ภาพที่ 4-34 การวินิจฉัยของเสา B48/2

4.3.10 ผลการทดสอบเสาและวิเคราะห์เสา B53/1 และ B53/2 เมื่อนำหนักบรรทุกกระทำค่าเสาอย่างสม่ำเสมอ เสาคอนกรีต B53/1 การแตกร้าวเริ่มที่น้ำหนักประมาณ 22 ตัน และเริ่มแตกไปเรื่อยๆ จนกระทั่งเสาคอนกรีตวิบติที่น้ำหนักประมาณ 31.20 ตัน โดยเสาเกิดความเสียหายมากบริเวณส่วนล่างของเสา โดยที่ผิวคอนกรีตหลุดร่อนออกมานอกถึงเหล็กแกน ส่วนเสา B53/2 เมื่อนำหนักบรรทุกกระทำค่าเสาอย่างสม่ำเสมอ การแตกร้าวเริ่มที่น้ำหนักประมาณ 26 ตัน และเริ่มแตกไปเรื่อยๆ จนกระทั่งเสาคอนกรีตวิบติที่น้ำหนักประมาณ 32.85 ตัน โดยการเสียรูปเกิดขึ้นมากบริเวณส่วนล่างของเสา และเกิดรอยร้าวเป็นแนวยาวถึงช่วงกลางเสา ภาพการวิบติของเสาแสดงในภาพที่ 4-35 และ 4-36



ภาพที่ 4-35 การวิบติของเสา B53/1



ภาพที่ 4-36 การวิบติของเสา B53/2

4.3.11 ผลการทดสอบเสาและวิเคราะห์เสา B58/1 และ B58/2 เมื่อนำหนักบรรทุกกระทำต่อเสารอย่างสม่ำเสมอ เสาคอนกรีต B58/1 การแตกร้าวเริ่มที่น้ำหนักประมาณ 23 ตัน และเริ่มแตกไปเรื่อยๆ จนกระทั่งเสาคอนกรีตวิบติที่น้ำหนักประมาณ 35.15 ตัน โดยเสาเกิดความเสียหายมากบริเวณส่วนบนของเสา โดยที่ผู้ควบคุมรากลุ่มร่อนออกมา และเกิดรอยร้าวเป็นแนวขวางกลางเสา ส่วนเสา B58/2 เมื่อนำหนักบรรทุกกระทำต่อเสารอย่างสม่ำเสมอ การแตกร้าวเริ่มที่น้ำหนักประมาณ 17.50 ตัน และเริ่มแตกไปเรื่อยๆ จนกระทั่งเสาคอนกรีตวิบติที่น้ำหนักประมาณ 36.95 ตัน โดยการเสียรูปเกิดขึ้นบริเวณส่วนบนถึงส่วนกลางของเสา ภาพการวิบติของเสาแสดงในภาพที่ 4-37 และ 4-38



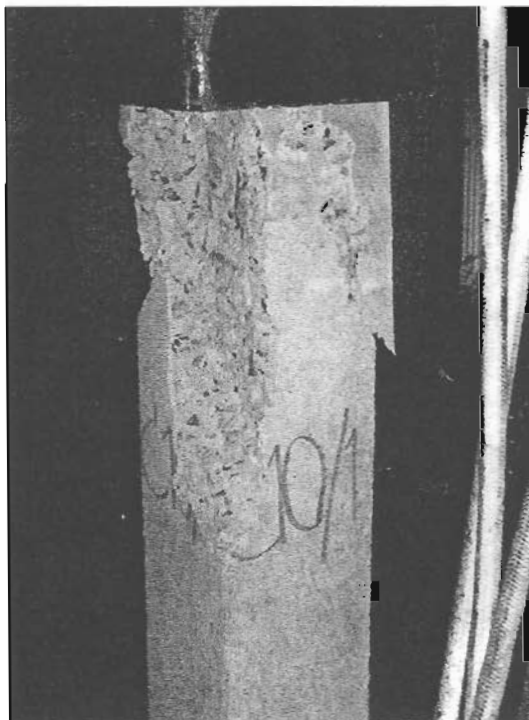
ภาพที่ 4-37 การวิบติของเสา B58/1



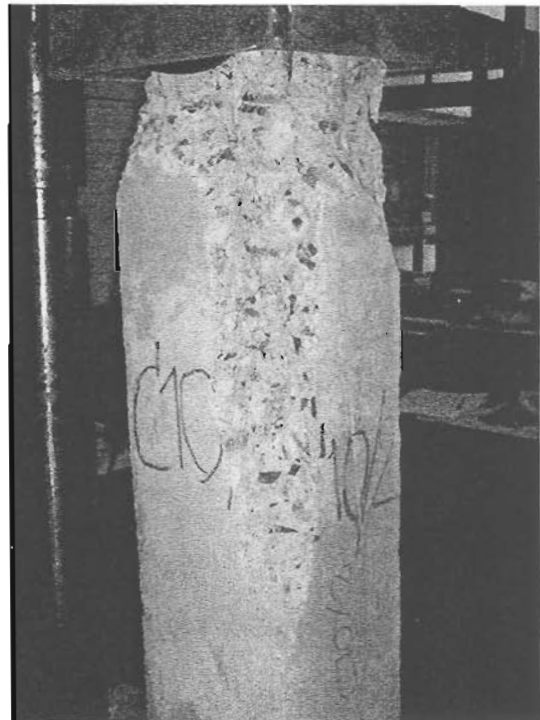
ภาพที่ 4-38 การวิบติของเสา B58/2

4.4 ผลการทดสอบเสากลุ่ม C เหล็กป้องกัน DB 10 ม.น.

4.4.1 ผลการทดสอบเสาและวิเคราะห์เสา C10/1 และ C10/2 เมื่อน้ำหนักบรรทุกกระทำต่อเสาอย่างสม่ำเสมอ เสาคอนกรีต C10/1 การแตกร้าวเริ่มที่น้ำหนักประมาณ 26 ตัน และเริ่มแตกไปเรื่อยๆ จนกระทั่งเสาคอนกรีตวิบัติที่น้ำหนักประมาณ 36.37 ตัน โดยเสานี้เกิดความเสียหายมากบริเวณส่วนบนลงมาถึงกลางเสา โดยที่ผิวคอนกรีตหลุดร่อนออกมากจนถึงเหล็กแกน ส่วนเสา C10/2 เมื่อน้ำหนักบรรทุกกระทำต่อเสาอย่างสม่ำเสมอ การแตกร้าวเริ่มที่น้ำหนักประมาณ 26 ตัน และเริ่มแตกไปเรื่อยๆ จนกระทั่งเสาคอนกรีตวิบัติที่น้ำหนักประมาณ 31.80 ตัน โดยการเสียหายมากที่บริเวณส่วนบนลงมาถึงกลางเสา โดยที่ผิวคอนกรีตหลุดร่อนออกมากจนถึงเหล็กแกน ภาพการวินิจฉัยของเสาแสดงในภาพที่ 4-39 และ 4-40



ภาพที่ 4-39 การวินิจฉัยของเสา C10/1

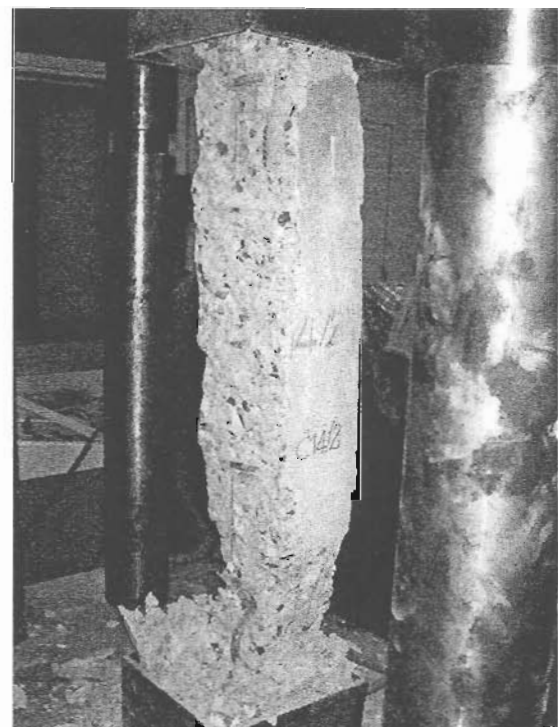


ภาพที่ 4-40 การวินิจฉัยของเสา C10/2

4.4.2 ผลการทดสอบเสาและวิเคราะห์เสา C14/1 และ C14/2 เมื่อน้ำหนักบรรทุกกระทำต่อเสาอย่างสม่ำเสมอ เสาคอนกรีต C14/1 การแตกร้าวเริ่มที่น้ำหนักประมาณ 30 ตัน และเริ่มแตกไปเรื่อยๆ จนกระทั่งเสาคอนกรีตวิบัติที่น้ำหนักประมาณ 32.15 ตัน โดยเสาเกิดความเสียหายมากบริเวณส่วนบนลงมาถึงกลางเสา โดยที่ผิวคอนกรีตหลุดร่อนออกมายังดึงเหล็กแกน ส่วนเสา C14/2 เมื่อน้ำหนักบรรทุกกระทำต่อเสาอย่างสม่ำเสมอ การแตกร้าวเริ่มที่น้ำหนักประมาณ 28 ตัน และเริ่มแตกไปเรื่อยๆ จนกระทั่งเสาคอนกรีตวิบัติที่น้ำหนักประมาณ 34.96 ตัน โดยการเดินรูปเกิดขึ้นมากที่บริเวณส่วนบนลงมาถึงส่วนล่างของเสา โดยที่ผิวคอนกรีตหลุดร่อนออกมายังดึงเหล็กแกน จากมาตรฐานความเครียด ค่าความเดินครากของเหล็กยืนคำนวณได้ $1,559 \text{ ksc}$ แสดงว่าเหล็กยืนยังไม่ถึงจุดแตก การทดสอบที่ผิวคอนกรีตหากมาตรฐานความเครียดคำนวณได้ 0.58 mm. gap/kar วิบัติของเสาแสดงในภาพที่ 4-41 และ 4-42



ภาพที่ 4-41 การวินิจฉัยของเสา C14/1

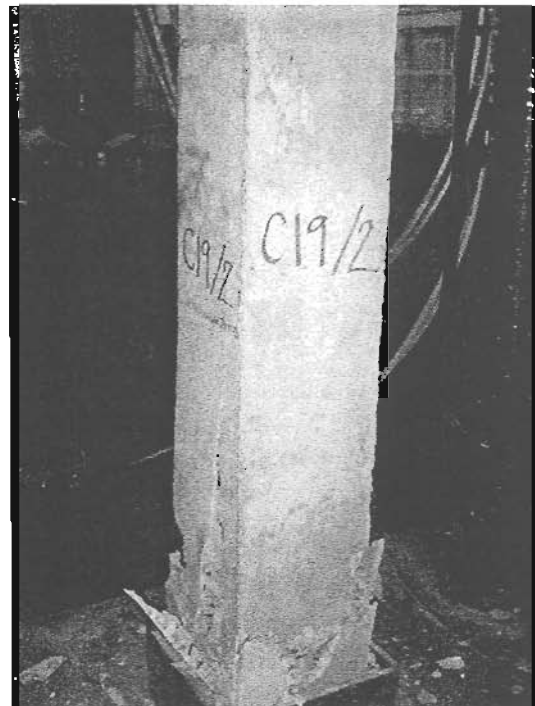


ภาพที่ 4-42 การวินิจฉัยของเสา C14/2

4.4.3 ผลการทดสอบเสาและวิเคราะห์เสา C19/1 และ C19/2 เมื่อน้ำหนักบรรทุกกระทำต่อเสาอย่างสมมำต์เสมอ เสาคอนกรีต C19/1 การแตกร้าวเริ่มที่น้ำหนักประมาณ 20 ตัน และเริ่มแตกไปเรื่อยๆ จนกระทั่งเสาคอนกรีตวิบติที่น้ำหนักประมาณ 28.70 ตัน โดยเสาเกิดความเสียหายบริเวณส่วนบนหัวเสา โดยที่ผิวคอนกรีตหลุดร่อนออกมานอก และเกิดรอยร้าวเป็นแนวยาวถึงบริเวณกลางเสา ส่วนเสา C19/2 เมื่อน้ำหนักบรรทุกกระทำต่อเสาย่างสมมำต์เสมอ การแตกร้าวเริ่มที่น้ำหนักประมาณ 19 ตัน และเริ่มแตกไปเรื่อยๆ จนกระทั่งเสาคอนกรีตวิบติที่น้ำหนักประมาณ 27.65 ตัน โดยการเติบโตปิดขึ้นมากที่บริเวณส่วนล่างของเสา โดยที่ผิวคอนกรีตหลุดร่อนออกมานอก มาตรวัดความเครียดค่าความเคี้ยวครากของเหล็กปลอกคำนวณได้ $3,589 \text{ ksc}$ และคงว่าเหล็กปลอกถึงจุดคราก การทดสอบที่ผิวคอนกรีตจากมาตรวัดความเครียดคำนวณได้ 0.76 mm .ภาพการวินิจฉัยของเสาแสดงในภาพที่ 4-43 และ 4-44



ภาพที่ 4-43 การวินิจฉัยของเสา C19/1

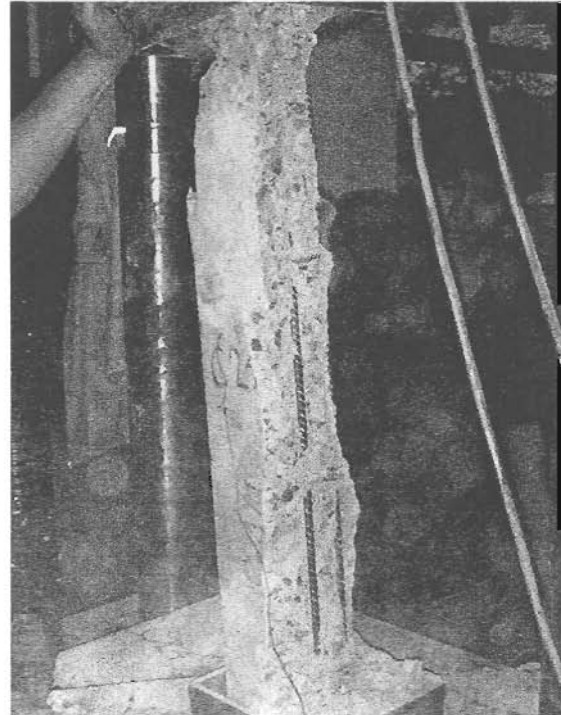


ภาพที่ 4-44 การวินิจฉัยของเสา C19/2

4.4.4 ผลการทดสอบเสาและวิเคราะห์เสา C24/1 และ C24/2 เมื่อน้ำหนักบรรทุกกระทำต่อเสาอย่างสม่ำเสมอ เสาคอนกรีต C24/1 การแตกร้าวเริ่มที่น้ำหนักประมาณ 28 ตัน และเริ่มแตกไปเรื่อๆ จนกระทั่งเสาคอนกรีตวิบติที่น้ำหนักประมาณ 33.90 ตัน โดยเสาเกิดความเสียหายบริเวณส่วนล่างถึงบริเวณกลางเสา โดยที่ผู้วิเคราะห์คิดว่าต้องออกมา และเกิดรอยร้าวเป็นแนวยาวถึงบริเวณกลางเสา ส่วนเสา C24/2 เมื่อน้ำหนักบรรทุกกระทำต่อเสาอย่างสม่ำเสมอ การแตกร้าวเริ่มที่น้ำหนักประมาณ 30 ตัน และเริ่มแตกไปเรื่อๆ จนกระทั่งเสาคอนกรีตวิบติที่น้ำหนักประมาณ 39.29 ตัน โดยการเสียหายเกิดขึ้นที่บริเวณส่วนหัวถึงส่วนล่างของเสา โดยที่ผู้วิเคราะห์คิดว่าต้องออกมานานถึงเหล็กแกน จากมาตรฐานความเครียด ค่าความต้านทานของเหล็กขึ้นค่านิวนัมได้ 3,662 ksc แสดงว่าเหล็กขึ้นถึงจุดคราก การทดสอบที่ผู้วิเคราะห์จากมาตรฐานตรวจสอบความเครียดค่านิวนัมได้ 0.71 ม.m. ภาพการวิบติของเสาแสดงในภาพที่ 4-45 และ 4-46

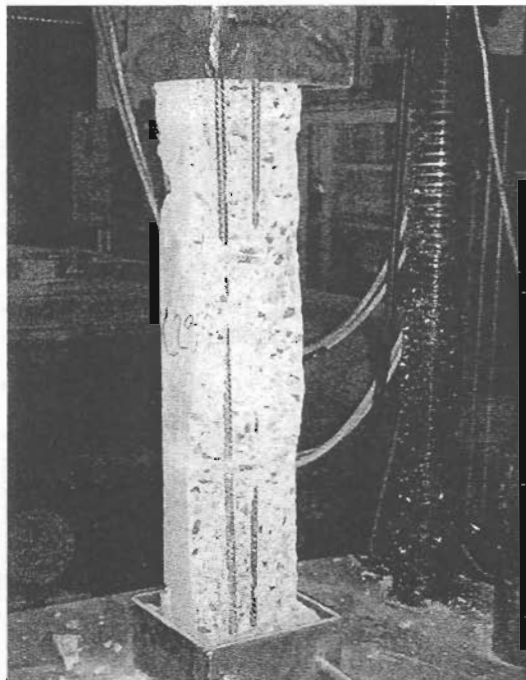


ภาพที่ 4-45 การวิบติของเสา C24/1



ภาพที่ 4-46 การวิบติของเสา C24/2

4.4.5 ผลการทดสอบเสาและวิเคราะห์เสา C29/1 และ C29/2 เมื่อน้ำหนักบรรทุกกระทำต่อเสาอย่างสม่ำเสมอ เสาคอนกรีต C29/1 การแตกร้าวเริ่มที่น้ำหนักประมาณ 17 ตัน และเริ่มแตกไปเรื่อยๆ จนกระทั่งเสาคอนกรีตบดที่น้ำหนักประมาณ 32.77 ตัน โดยเสาเกิดความเสียหายบริเวณส่วนบนถึงส่วนล่างของเสา โดยที่ผิวคอนกรีตหลุดร่อนออกมากจนถึงเหล็กแกน ส่วนเสา C29/2 เมื่อน้ำหนักบรรทุกกระทำต่อเสาอย่างสม่ำเสมอ การแตกร้าวเริ่มที่น้ำหนักประมาณ 30 ตัน และเริ่มแตกไปเรื่อยๆ จนกระทั่งเสาคอนกรีตบดที่น้ำหนักประมาณ 37.57 ตัน โดยการเสียรูปเกิดขึ้นที่บริเวณส่วนล่างถึงส่วนกลางของเสา และเกิดรอยร้าวเป็นแนวขาวถึงบริเวณกลางเสา ภาพการวินิจฉัยของเสาแสดงในภาพที่ 4-47 และ 4-48



ภาพที่ 4-47 การวินิจฉัยของเสา C29/1

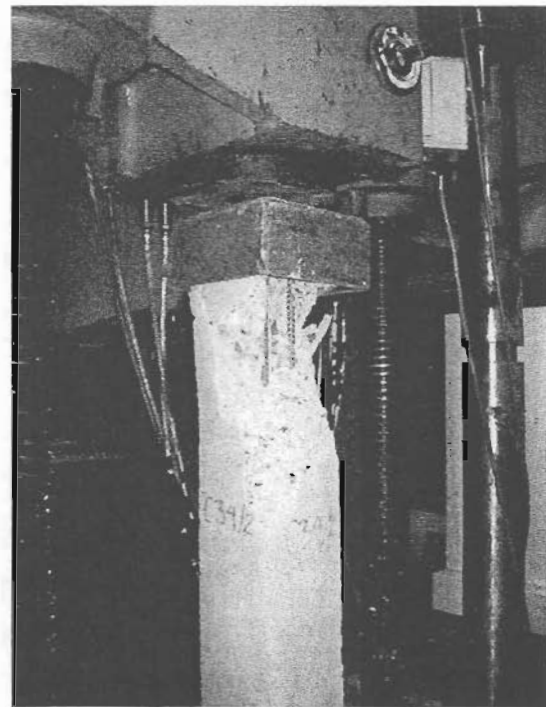


ภาพที่ 4-48 การวินิจฉัยของเสา C29/2

4.4.6 ผลการทดสอบเสาและวิเคราะห์เสา C34/1 และ C34/2 เมื่อน้ำหนักบรรทุกกระทำต่อเสาอย่างสม่ำเสมอ เสาคอนกรีต C34/1 การแตกร้าวเริ่มที่น้ำหนักประมาณ 24 ตัน และเริ่มแตกไปเรื่อยๆ จนกระทั่งเสาคอนกรีตวิบัติที่น้ำหนักประมาณ 33.42 ตัน โดยเสาเกิดความเสียหายบริเวณส่วนบนถึงส่วนล่างของเสา โดยที่ผู้วิเคราะห์หดอ่อนอุกอาจถึงเหล็กแกน และเกิดรอยร้าวเป็นแนวยาว ส่วนเสา C34/2 เมื่อน้ำหนักบรรทุกกระทำต่อเสาอย่างสม่ำเสมอ การแตกร้าวเริ่มที่น้ำหนักประมาณ 28 ตัน และเริ่มแตกไปเรื่อยๆ จนกระทั่งเสาคอนกรีตวิบัติที่น้ำหนักประมาณ 34.50 ตัน โดยการเสียรูปเกิดขึ้นมากที่บริเวณส่วนบนถึงส่วนล่างของเสา โดยที่ผู้วิเคราะห์หดอ่อนอุกอาจถึงเหล็กแกน ภาพการวินิจฉัยของเสาแสดงในภาพที่ 4-49 และ 4-50



ภาพที่ 4-49 การวินิจฉัยของเสา C34/1



ภาพที่ 4-50 การวินิจฉัยของเสา C34/2

4.4.7 ผลการทดสอบเสาและวิเคราะห์เสา C38/1 และ C38/2 เมื่อน้ำหนักบรรทุกกระทำต่อเสาอย่างสม่ำเสมอ เสาคอนกรีต C38/1 การเตกร้าวเริ่มน้ำหนักประมาณ 27 ตัน และเริ่มแตกไปเรื่อยๆ จนกระทั่งเสาคอนกรีตบิดที่น้ำหนักประมาณ 35 ตัน โดยเสาเกิดความเสียหายบริเวณส่วนบนถึงส่วนกลางของเสา โดยที่ผู้วิศวกรรมหดอ่อนออกมานั่งถึงเหล็กแกน ส่วนเสา C38/2 เมื่อน้ำหนักบรรทุกกระทำต่อเสาอย่างสม่ำเสมอ การเตกร้าวเริ่มน้ำหนักประมาณ 20 ตัน และเริ่มแตกไปเรื่อยๆ จนกระทั่งเสาคอนกรีตบิดที่น้ำหนักประมาณ 29 ตัน โดยการเสียรูปเกิดขึ้นมากที่บริเวณส่วนบนถึงส่วนกลางของเสา โดยที่ผู้วิศวกรรมหดอ่อนออกมานั่งถึงเหล็กแกน และเกิดรอยร้าวเป็นแนวขวาง ภาพการวิบัติของเสาแสดงในภาพที่ 4-51 และ 4-52

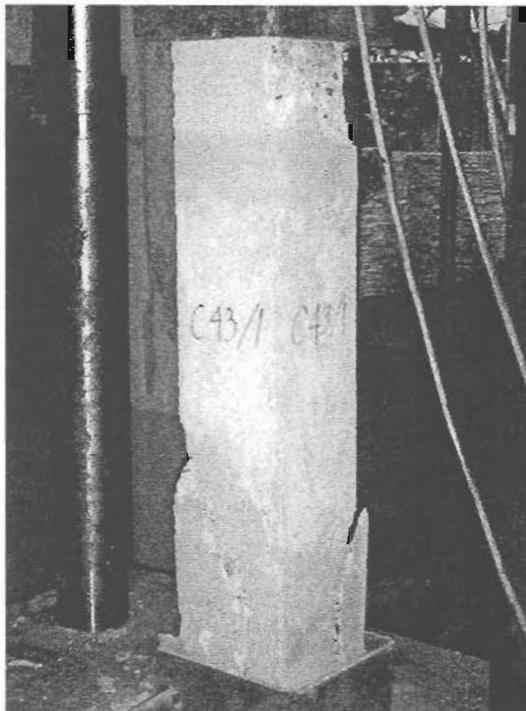


ภาพที่ 4-51 การวิบัติของเสา C38/1



ภาพที่ 4-52 การวิบัติของเสา C38/2

4.4.8 ผลการทดสอบเสาและวิเคราะห์เสา C43/1 และ C43/2 เมื่อน้ำหนักบรรทุกกระทำต่อเสาอย่างสม่ำเสมอ เสาคอนกรีต C43/1 การแตกร้าวริมที่น้ำหนักประมาณ 20 ตัน และเริ่มแตกไปเรื่อยๆ จนกระทั่งเสาคอนกรีตวิบติที่น้ำหนักประมาณ 33.27 ตัน โดยเสาเกิดความเสียหายบริเวณส่วนบนและส่วนล่างของเสา โดยที่ผิวคอนกรีตหลุดร่อนออกมาก ส่วนเสา C43/2 เมื่อน้ำหนักบรรทุกกระทำต่อเสาอย่างสม่ำเสมอ การแตกร้าวริมที่น้ำหนักประมาณ 20 ตัน และเริ่มแตกไปเรื่อยๆ จนกระทั่งเสาคอนกรีตวิบติที่น้ำหนักประมาณ 29 ตัน โดยการเสียรูปเกิดขึ้นมากที่บริเวณส่วนล่างถึงส่วนกลางของเสา โดยที่ผิวคอนกรีตหลุดร่อนออกมากถึงเหล็กแกน ภาพการวิบติของเสาแสดงในภาพที่ 4-53 และ 4-54



ภาพที่ 4-53 การวิบติของเสา C43/1



ภาพที่ 4-54 การวิบติของเสา C43/2

4.4.9 ผลการทดสอบเสาและวิเคราะห์เสา C48/1 และ C48/2 เมื่อน้ำหนักบรรทุกกระทำต่อเสาอย่างสม่ำเสมอ เสาคอนกรีต C48/1 การแตกร้าวเริ่มที่น้ำหนักประมาณ 20 ตัน และเริ่มแตกไปเรื่อยๆ จนกระทั้งเสาคอนกรีตวิบติดที่น้ำหนักประมาณ 33.47 ตัน โดยสามารถเดินทางสี่ข้างบนถึงส่วนบนถึงส่วนกลางของเสา โดยที่ผิวคอนกรีตหลุดร่อนออกมาก่อนถึงเหล็กแกน ส่วนเสา C48/2 เมื่อน้ำหนักบรรทุกกระทำต่อเสาอย่างสม่ำเสมอ การแตกร้าวเริ่มที่น้ำหนักประมาณ 18 ตัน และเริ่มแตกไปเรื่อยๆ จนกระทั้งเสาคอนกรีตวิบติดที่น้ำหนักประมาณ 30.92 ตัน โดยการเดินทางสี่ข้างบนถึงส่วนบนของเสา โดยที่ผิวคอนกรีตหลุดร่อนออกมาก่อนถึงเหล็กแกน จากมาตรการวัดความเครียดค่าความเค้นครากของเหล็กขึ้นคำนวณได้ 2,621 ksc ค่าความเค้นครากของเหล็กปลอกคำนวณได้ 2,166 ksc แสดงว่าเหล็กขึ้นและเหล็กปลอกยังไม่ถึงจุดคราก การทดสอบที่ผิวคอนกรีตจากมาตรการวัดความเครียดคำนวณได้ 0.48 มม. ภาพการวิบติดของเสาแสดงในภาพที่ 4-55 และ 4-56

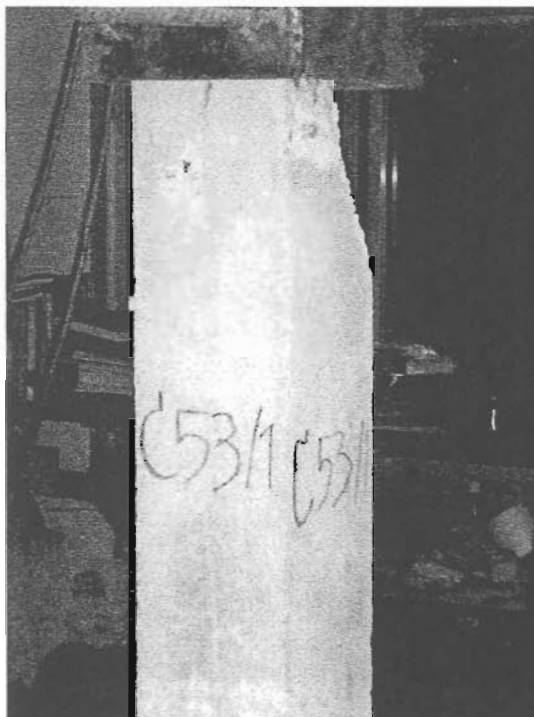


ภาพที่ 4-55 การวิบติดของเสา C48/1



ภาพที่ 4-56 การวิบติดของเสา C48/2

4.4.10 ผลการทดสอบเสาและวิเคราะห์เสา C53/1 และ C53/2 เมื่อนำเข้าห้องบรรทุกกระทำต่อเสาอย่างสม่ำเสมอ เสาคอนกรีต C53/1 การแตกร้าวเริ่มที่น้ำหนักประมาณ 22 ตัน และเริ่มแตกไปเรื่อยๆ จนกระทั่งเสาคอนกรีตวิบติที่น้ำหนักประมาณ 30.77 ตัน โดยเสานกิดความเสียหายบริเวณส่วนบนของเสา โดยที่ผิวคอนกรีตหลุดร่อนออกมามาร์คทั้งมีรอยร้าวเกิดขึ้น ส่วนเสา C53/2 เมื่อนำเข้าห้องบรรทุกกระทำต่อเสาอย่างสม่ำเสมอ การแตกร้าวเริ่มที่น้ำหนักประมาณ 20 ตัน และเริ่มแตกไปเรื่อยๆ จนกระทั่งเสาคอนกรีตวิบติที่น้ำหนักประมาณ 32.85 ตัน โดยการเสียหายมากที่บริเวณส่วนบนของเสา โดยที่ผิวคอนกรีตหลุดร่อนออกมามากกว่าการวินิจฉัยของเสาแสดงในภาพที่ 4-57 และ 4-58

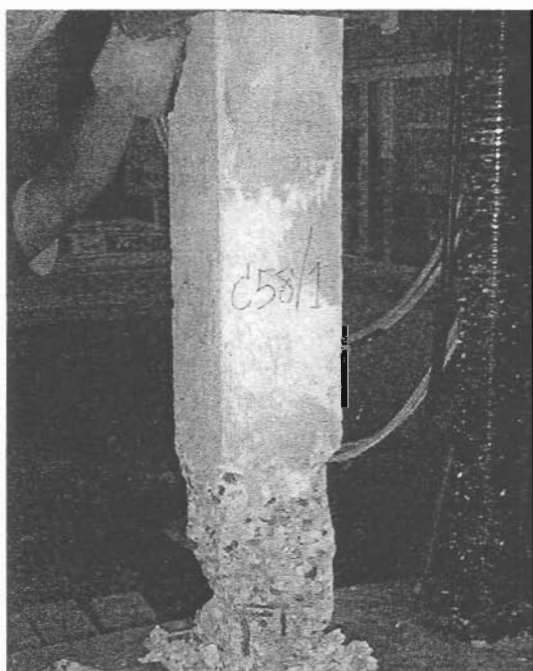


ภาพที่ 4-57 การวินิจฉัยของเสา C53/1

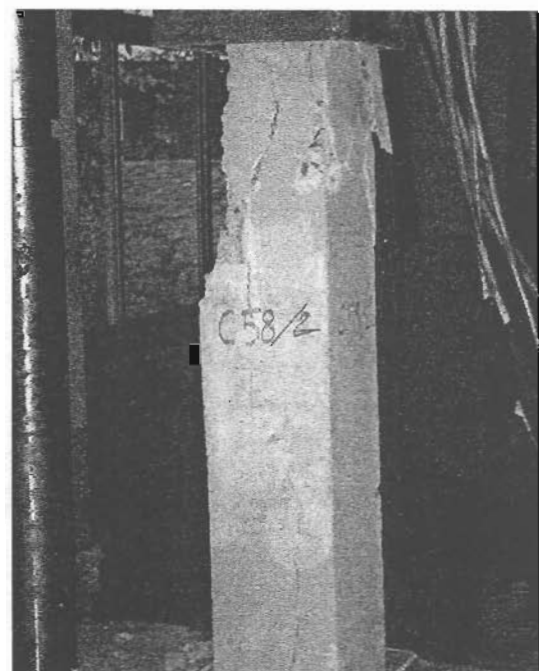


ภาพที่ 4-58 การวินิจฉัยของเสา C53/2

4.4.11 ผลการทดสอบเสาและวิเคราะห์เสา C58/1 และ C58/2 เมื่อน้ำหนักบรรทุกกระทำต่อเสาอย่างสม่ำเสมอ เสาคอนกรีต C58/1 การแตกร้าวเริ่มที่น้ำหนักประมาณ 15 ตัน และเริ่มแตกไปเรื่อยๆ จนกระทั่งเสาคอนกรีตวิบติที่น้ำหนักประมาณ 29.52 ตัน โดยเสานี้เกิดความเสียหายมากที่บริเวณส่วนล่างของเสา โดยที่ผิวคอนกรีตหลุดร่อนออกมานิดหนึ่งเหล็กแกน ส่วนเสา C58/2 เมื่อน้ำหนักบรรทุกกระทำต่อเสาอย่างสม่ำเสมอ การแตกร้าวเริ่มที่น้ำหนักประมาณ 17 ตัน และเริ่มแตกไปเรื่อยๆ จนกระทั่งเสาคอนกรีตวิบติที่น้ำหนักประมาณ 26.62 ตัน โดยการเสียรูปเกิดขึ้นมากที่บริเวณส่วนบนถึงส่วนกลางของเสา โดยที่ผิวคอนกรีตหลุดร่อนออกมานะกับเกิดรอยร้าวเป็นแนวขวางตลอดเสา ภาพการวินิจฉัยเสานี้แสดงในภาพที่ 4-59 และ 4-60



ภาพที่ 4-59 การวินิจฉัยของเสา C58/1



ภาพที่ 4-60 การวินิจฉัยของเสา C58/2

4.4.12 ผลการทดสอบเสาและวิเคราะห์เสา C62/1 และ C62/2 เมื่อน้ำหนักบรรทุกกระทำต่อเสาอย่างสม่ำเสมอ เสาคอนกรีต C62/1 การแตกร้าวริบเริ่มที่น้ำหนักประมาณ 24 ตัน และเริ่มแตกไปเรื่อยๆ จนกระทั่งเสาคอนกรีตวิบติกที่น้ำหนักประมาณ 35.72 ตัน โดยเสาเกิดความเสียหายมากที่บริเวณส่วนบนถึงส่วนกลางของเสา โดยที่ผิวคอนกรีตหลุดร่อนออกมากถึงหลักแกน ส่วนเสา C62/2 เมื่อน้ำหนักบรรทุกกระทำต่อเสาอย่างสม่ำเสมอ การแตกร้าวริบเริ่มที่น้ำหนักประมาณ 21 ตัน และเริ่มแตกไปเรื่อยๆ จนกระทั่งเสาคอนกรีตวิบติกที่น้ำหนักประมาณ 36.82 ตัน โดยการเสียหายปะเกิดขึ้นมากที่บริเวณส่วนบนของเสา โดยที่ผิวคอนกรีตหลุดร่อนออกมาก ภาพการวิบติของเสาแสดงในภาพที่ 4-61 และ 4-62



ภาพที่ 4-61 การวิบติของเสา C62/1



ภาพที่ 4-62 การวิบติของเสา C62/2

บทที่ 5

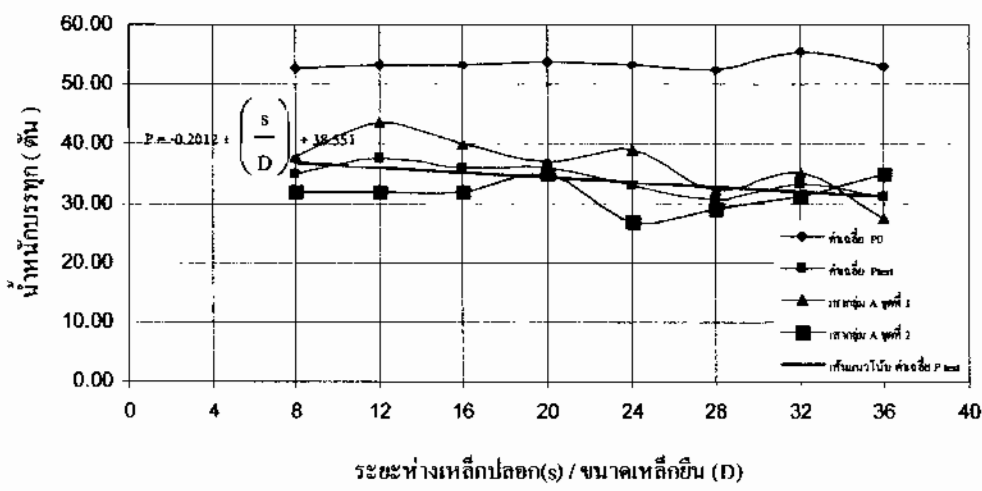
สรุปผลและวิเคราะห์ผลการทดสอบ

การทดสอบเสาแบ่งเสาออกเป็น 3 กลุ่ม ดังกล่าวไว้ในบทที่ 1 โดยผลที่ได้จากการทดสอบทำให้ทราบว่า เหล็กปลอกที่มีขนาดและระยะห่างต่างกันมีผลต่อการรับแรงอัดของเสาหรือไม่

5.1 สรุปผลการทดสอบเสากลุ่ม A

เสากลุ่ม A เป็นเสาที่เสริมเหล็กปลอก RB 6 มม. การวินิจฉัยของเสาเริ่มแรกว่าที่ส่วนบนหรือส่วนล่างของเสา ก่อน โดยเสาที่มีระยะเหล็กปลอกถี่กว่าของแทกร้าวของเสาเกิดที่บริเวณส่วนบนและส่วนล่างของเสา ส่วนเสาที่มีระยะเหล็กปลอกห่างกว่าจะมีความรุนแรงมากกว่าเสาที่มีระยะเหล็กปลอกถี่ โดยผิวคอนกรีตแตกจนถึงเหล็กแกน (พฤติกรรมและการวิเคราะห์การวินิจฉัยกล่าวไว้ในบทที่ 4) กำลังอัดเฉลี่ยเสากลุ่ม A ที่ได้จากการคำนวณมีค่าเท่ากับ 53.45 ตัน ส่วนกำลังอัดเฉลี่ยของเสากลุ่มนี้ ที่ได้จากการทดสอบมีค่า 34.13 ตัน กำลังอัดของเสากลุ่ม A ที่เป็นไปตามข้อกำหนดของ ว.ส.ท. และ ACI คือเสามีระยะห่างเหล็กปลอกไม่เกิน 15 ซม. มีค่ากำลังอัดเฉลี่ย 36.4 ตัน และค่ากำลังอัดเฉลี่ยที่ไม่เป็นไปตามข้อกำหนดมีค่า 33.37 ตัน แสดงว่าเมื่อเหล็กปลอกมีค่า (s/D) มากขึ้นการรับกำลังอัดของเสาไม่ลดลงเพียงเดือนน้อย ตามสมการ

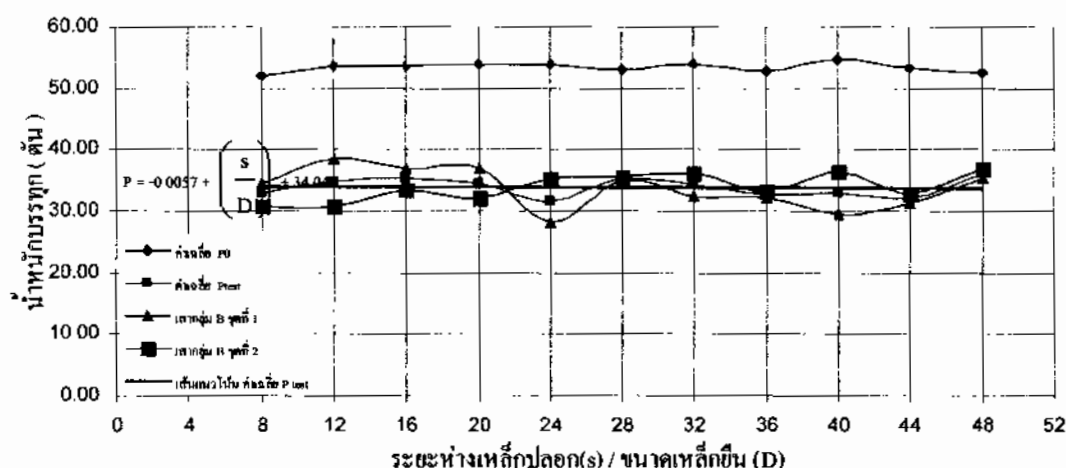
$$P = -0.2012 \left(\frac{s}{D} \right) + 38.551 \quad \text{ดังภาพที่ 5-1}$$



ภาพที่ 5-1 การเปรียบเทียบกำลังรับแรงอัดตามทฤษฎีกับแรงอัดประดับจากการทดสอบเสากลุ่ม A

5.2 สรุปผลการทดสอบเสาคู่น์ B

เสาคู่น์ B เป็นเสาที่เสริมเหล็กปลอก RB 9 มน. การวินิจฉัยของเสาเริ่มแรกร้าวที่ส่วนบนหรือส่วนล่างของเสาค่อน โดยเสาที่มีระบบเหล็กปลอกถือการแตกร้าวของเสาเกิดที่บริเวณส่วนบนและส่วนล่างของเสา ส่วนเสาที่มีระบบเหล็กปลอกห่างการแตกร้าวจะมีความรุนแรงมากกว่าเสาที่มีระบบเหล็กปลอกถี่ โดยผิวคอนกรีตแตกจนถึงเหล็กแกน กำลังอัดเฉลี่ยเสาคู่น์ B ที่ได้จากการคำนวณมีค่าเท่ากับ 53.43 ตัน ส่วนกำลังอัดเฉลี่ยของเสาคู่นี้ ที่ได้จากการทดสอบมีค่า 33.8 ตัน กำลังอัดของเสาคู่น์ B ที่เป็นไปตามข้อกำหนดของ ว.ส.ท. และ ACI คือเสา มีระบบห่างเหล็กปลอกไม่เกิน 15 ซม. มีค่ากำลังอัดเฉลี่ย 33.65 ตัน และค่ากำลังอัดเฉลี่ยที่ไม่เป็นไปตามข้อกำหนดมีค่า 33.83 ตัน แสดงว่าเมื่อเหล็กปลอกมีค่า (s/D) มากขึ้นการรับกำลังอัดของสาามีค่าลดลงเพียงเล็กน้อย ตามสมการ $P = -0.0057 \left(\frac{s}{D} \right) + 34.014$ ดังภาพที่ 5-2

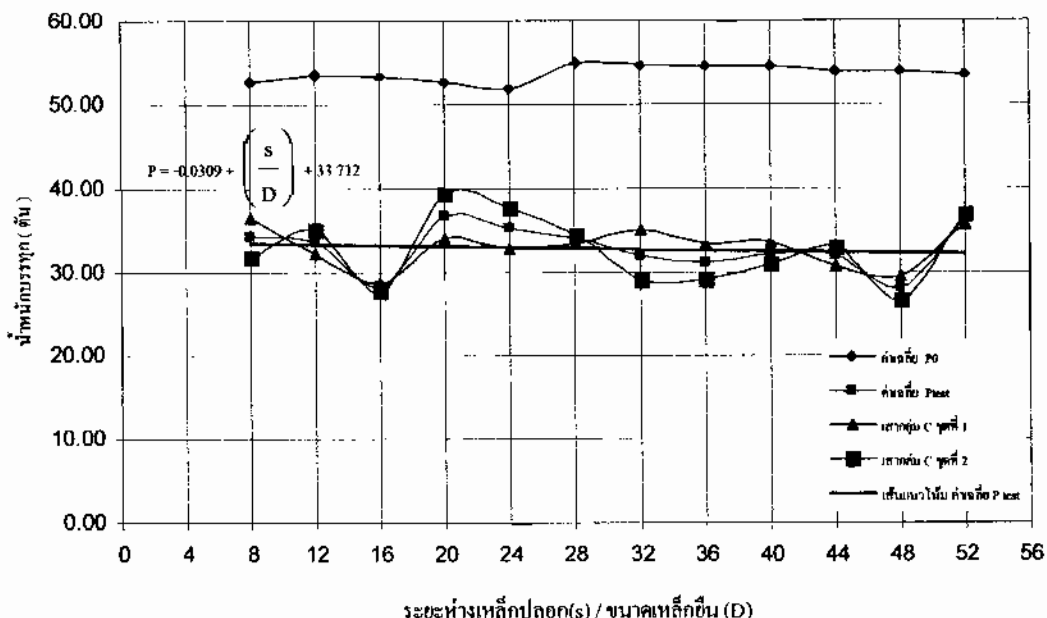


ภาพที่ 5-2 การเปรียบเทียบกำลังรับแรงอัดตามทฤษฎีกับแรงอัดประลักษณ์จากการทดสอบเสาคู่น์ B

5.3 สรุปผลการทดสอบเสาคู่น์ C

เสาคู่น์ C เป็นเสาที่เสริมเหล็กปลอก DB 10 มน. การวินิจฉัยของเสาเริ่มแรกร้าวที่ส่วนบนหรือส่วนล่างของเสาค่อน โดยเสาที่มีระบบเหล็กปลอกถือการแตกร้าวของเสาเกิดที่บริเวณส่วนบนและส่วนล่างของเสา ส่วนเสาที่มีระบบเหล็กปลอกห่างการแตกร้าวจะมีความรุนแรงมากกว่าเสาที่มีระบบเหล็กปลอกถี่ โดยผิวคอนกรีตแตกจนถึงเหล็กแกน กำลังอัดเฉลี่ยเสาคู่น์ C ที่ได้จากการคำนวณมีค่าเท่ากับ 53.63 ตัน ส่วนกำลังอัดเฉลี่ยของเสาคู่นี้ ที่ได้จากการทดสอบมีค่า 32.77 ตัน กำลังอัดของเสาคู่น์ C ที่เป็นไปตามข้อกำหนดของ ว.ส.ท. และ ACI คือเสา มีระบบห่างเหล็ก

ปีกอกไม่เกิน 15 ซม. มีค่ากำลังอัคเคลีย 33.85 ตัน และค่ากำลังอัคเคลียที่ไม่เป็นไปตามข้อกำหนดมีค่า 32.55 ตัน แสดงว่าเมื่อเทียบปีกอกนิ่ว (s/D) มากขึ้นการรับกำลังอัคของเสาไม่ค่าลดลงเพียงเล็กน้อย ตามสมการ $P = -0.0309 \left(\frac{s}{D} \right) + 33.712$ ดังภาพที่ 5-3

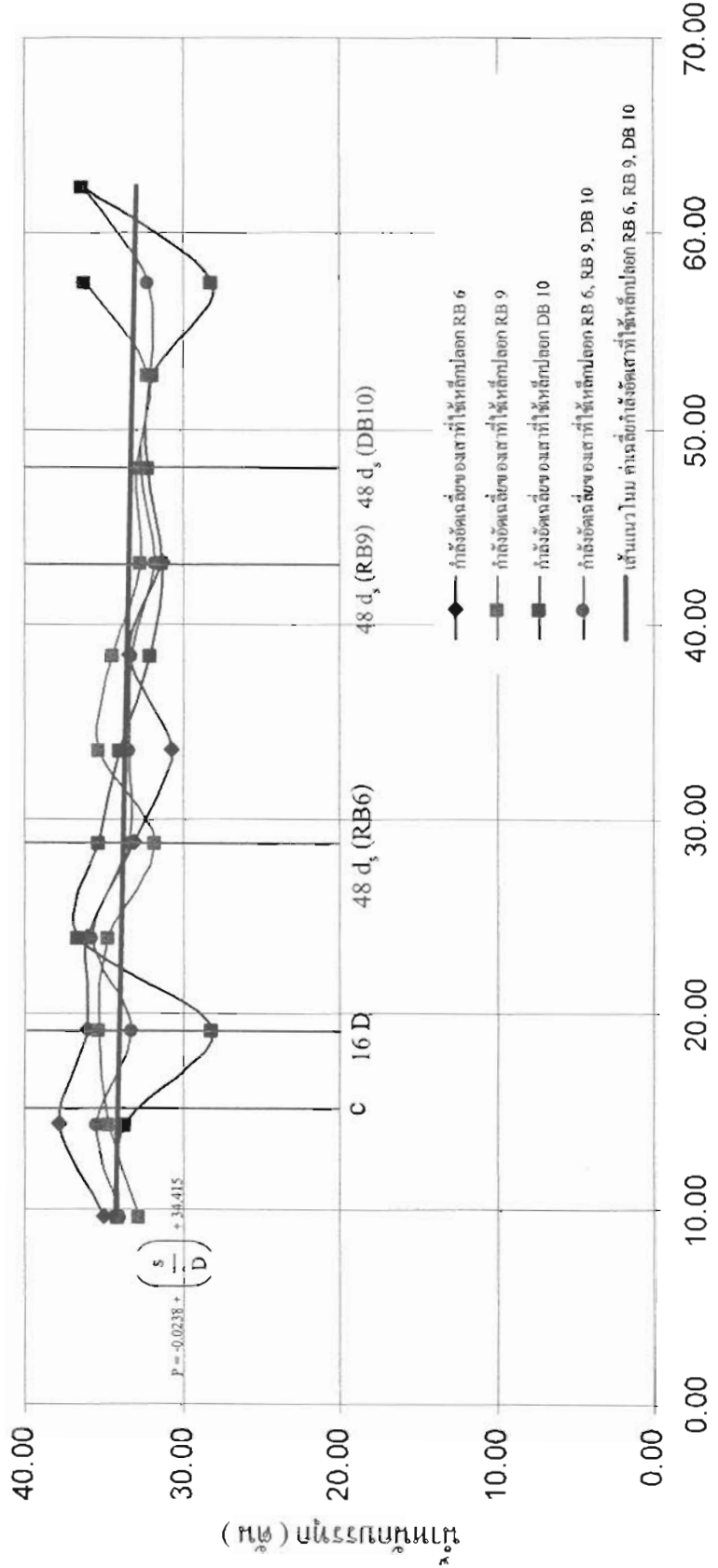


ภาพที่ 5-3 การเปรียบเทียบกำลังรับแรงอัคตามทฤษฎีกับแรงอัคประดิษฐ์จากการทดสอบเสา
กลุ่ม C

5.4 สรุปผลการทดสอบกลุ่มเสาทั้งหมด

จากการทดสอบเสาทั้ง 3 กลุ่ม กำลังรับแรงอัคของเสา ที่ได้จากการทดสอบมีค่าต่ำกว่าค่าที่คำนวณได้ตามทฤษฎี โดยเสากลุ่ม A มีค่ากำลังอัคเคลียของยูระห่วง 59 เปอร์เซ็นต์ ถึง 71 เปอร์เซ็นต์ ของกำลังอัคที่คำนวณได้จากทฤษฎี เสากลุ่ม B มีค่ากำลังอัคเคลียของยูระห่วง 59 เปอร์เซ็นต์ ถึง 69 เปอร์เซ็นต์ของกำลังอัคที่คำนวณได้จากทฤษฎี และเสากลุ่ม C มีค่ากำลังอัคเคลียของยูระห่วง 52 เปอร์เซ็นต์ ถึง 96 เปอร์เซ็นต์ของกำลังอัคที่คำนวณได้จากทฤษฎี จากการทดสอบเสาเริ่มแตกร้าวที่บริเวณส่วนบนหรือส่วนล่างก่อน ทำให้ถอนกรีตที่หุ้มเหล็กปีกอกหลุดร่อนออกมา โดยส่วนมากจะหลุดร่อนออกมาสองด้าน (ภาคผนวก จ) ทำให้เนื้อที่ถอนกรีตที่รับแรงริเวณส่วนบนหรือส่วนล่างของเสาลดลง จึงทำให้สารับกำลังอัคได้น้อยลง กำลังอัคเคลียของเสาทั้ง 3 กลุ่ม ที่ได้จากการคำนวณมีค่าเท่ากับ 53.5 ตัน ส่วนกำลังอัคเคลียที่ได้จากการทดสอบมีค่า 33.57 ตัน กำลังอัคของเสาทั้ง 3 กลุ่ม ที่เป็นไปตามข้อกำหนดของ ว.ส.ท. และ ACI คือเสาที่ระยะห่างเหล็กปีกอกไม่เกิน 15 ซม. มีค่ากำลังอัคเคลีย 34.63 ตัน และค่ากำลังอัคเคลียที่ไม่เป็นไปตามข้อกำหนดมีค่า 32.25 ตัน

แสดงว่าเมื่อเหล็กปีลอกมีค่า (*s*) มากขึ้นการรับกำลังอัดของเสา มีค่าลดลง ตามสมการ
 $P = -0.0238(s) + 34.415$ ดังภาพที่ 5-3 และนำผลการทดสอบที่ได้ของเสาคุณ A , เสาคุณ B และ
เสาคุณ C นวิเคราะห์ทางสถิติด้วยวิธีการทดสอบความแตกต่าง ไกสแควร์ พนว่าขนาดที่แตกต่าง
กันของเหล็กปีลอกทั้ง 3 ชนิด ในสภาพทดสอบให้ค่าการรับกำลังไม่แตกต่างกัน ณ ระดับความมั่นใจ
95% (ภาคผนวก ก)



ระบบห่วงหลักประกอบ (ชั้น .)

ภาพที่ S-4 การประยุกต์ใช้ในการคำนวณแบบเร่งด่วนของเส้นทาง ๓ กิโลเมตรของบาง

5.5 ข้อเสนอแนะในการท้าวิจัย

- 5.5.1 ควรเปลี่ยนขนาดหน้าตัด ความสูงของเสาให้มีขนาดใหญ่ขึ้น
- 5.5.2 ควรติดมาตราตัวคูณความเครียดในส่วนบน และส่วนล่างของเสา
- 5.5.3 ควรมีการทดสอบเสาเบื้องต้นเพื่อหาข้อผิดพลาดต่างๆ ก่อนการทดสอบจริง ทั้งนี้เพื่อกำจัดตัวแปรที่อาจจะเกิดขึ้นในการทดสอบจริง ค่าที่ได้จะเที่ยงตรงกว่า
- 5.5.4 ควรใส่เหล็กป้องกันริเวณส่วนบน และส่วนล่างของเสาให้ถี่ขึ้น

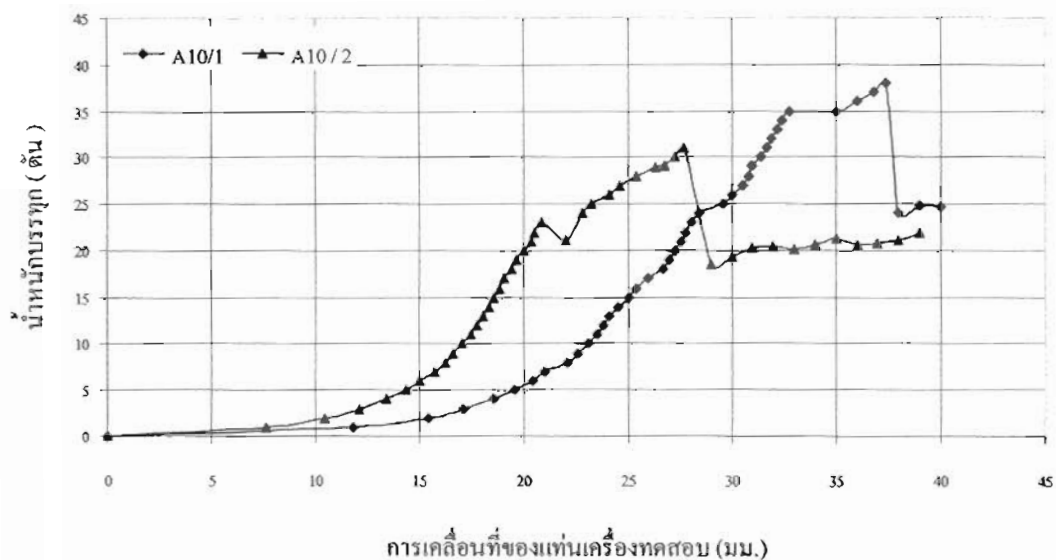
เอกสารอ้างอิง

1. จักษุ คำ ชั่รจงวุฒิ และสิกขิชัย แสงอาทิตย์. การทดสอบเสากองกรีตที่ถูกโอบรัคโดยปลอกเหล็กภายในและการรับน้ำหนักกดตามแนวตรงศูนย์. งานวิจัยมหาวิทยาลัยเทคโนโลยีสุรนารี, การประชุมวิชาการวิศวกรรมโยธาแห่งชาติครั้งที่ 10, 2548.
2. วินิต ช่อวิเชียร คอกองกรีตเทคโนโลยี. กรุงเทพมหานคร : ป.สัมพันพานิชย์, 2519.
3. สถาพร โภค. การออกแบบกองกรีตเสริมเหล็กวิธีกำลัง. กรุงเทพมหานคร : ไลบรารีนาย, 2545.
4. ดร.กฤต อร่วมรักษ์ และสกล แต้ศรีราษฎร์. กำลังประดับของเสาเหล็กกลางรูปเส้นเหลี่ยมจัตุรัสบรรจุกองกรีตกำลังสูงภายใต้แรงดึงดูดสองทาง. งานวิจัยมหาวิทยาลัยเกษตรศาสตร์กรุงเทพมหานคร : การประชุมวิชาการวิศวกรรมโยธาแห่งชาติครั้งที่ 7, 2544.
5. ต่อศักดิ์ เลิศศรีสกุลรัตน์ และNiva junichiro. การวิบัติเฉพาะที่ของกองกรีตภายใต้การกระทำของแรงอัดในแนวแกน. บทความมหาวิทยาลัยสยาม, การประชุมวิชาการวิศวกรรมโยธาแห่งชาติครั้งที่ 9, 2547.
6. เริชร พันธุ์พิทัยเพ็ญ. พฤติกรรมเสากองกรีตเสริมเหล็กเสริมกำลังภายใต้แรงเหือองศูนย์. วิทยานิพนธ์ครุศาสตร์อุดสาหกรรมมหาบัณฑิต สาขาวิชาโยธา ภาควิชาโยธา คณะครุศาสตร์โยธา บัณฑิตวิทยาลัย สถาบันเทคโนโลยีพระจอมเกล้าพระนครเหนือ, 2541.
7. นพพร จิตรบุตร. พฤติกรรมการรับน้ำหนักตามแนวแกนภายหลังอยู่ใต้อุณหภูมิที่สูงขึ้นของเสากองกรีตเสริมเหล็ก. วิทยานิพนธ์ครุศาสตร์อุดสาหกรรมมหาบัณฑิต สาขาวิชาโยธา ภาควิชาโยธา บัณฑิตวิทยาลัย สถาบันเทคโนโลยีพระจอมเกล้าพระนครเหนือ, 2542.
8. พงษ์สูร อังคณาธุชadi และชัชชาติ สิทธิพันธ์. การศึกษาพฤติกรรมของเสากองกรีตเสริมเหล็กที่รับแรงกระทำด้านข้างแบบวัฏจักรคัวบีชีไฟไนออกเลเมนต์. วิทยานิพนธ์วิศวกรรมศาสตรมหาบัณฑิต วิศวกรรมโยธา จุฬาลงกรณ์มหาวิทยาลัย, 2545.
9. วิศวกรรมสถานแห่งประเทศไทยในพระบรมราชูปถัมภ์. มาตรฐานสำหรับอาคารกองกรีตเสริมเหล็ก โดยวิธีกำลัง. คณะกรรมการวิชาการวิศวกรรมโยธา, 2540.
10. สนั่น เจริญผ่า และวินิต ช่อวิเชียร. การออกแบบโครงสร้างกองกรีตเสริมเหล็กโดยวิธีกำลัง. กรุงเทพมหานคร : ป.สัมพันพานิชย์, 2542.

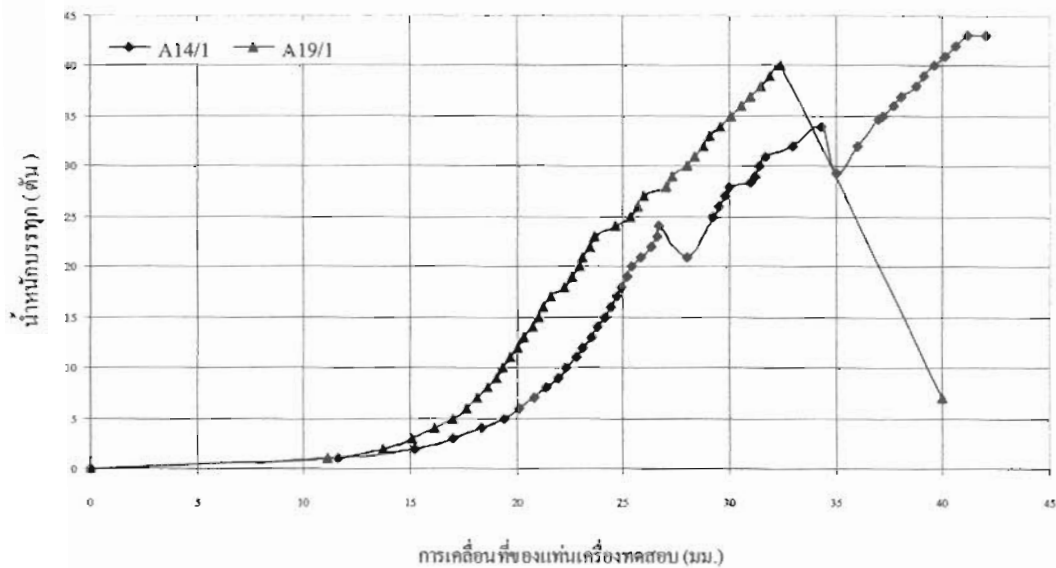
11. ศิริวัฒน์ ไชยชนะ. คอนกรีตเสริมเหล็ก ทฤษฎีกำลังประดับ. กรุงเทพมหานคร : พารากอนพิมพ์, 2539.
12. สันติชัย พิทักษ์. การซ่อมแซมเสาคอนกรีตเสริมเหล็กคัวขี้เมนต์มอร์ต้าและขี้เมนต์มอร์ต้าผสมสารลดน้ำพิเศษ. วิทยานิพนธ์ครุศาสตร์อุดสาหกรรมมหาบัณฑิตสาขาวิชาโยธา ภาคครุศาสตร์โยธา บัณฑิตวิทยาลัย สถาบันเทคโนโลยีพระจอมเกล้าฯ พระนครเหนือ, 2542.
13. หักดักชัย สวัสดิ์สุข, อุณรัตน์ เมปริญญา, สาขันธ์ บริพิศ, วรกัทธ รับไทรทอง, และวิรช เลิศไพบูลย์พันธ์. การศึกษาการเสริมกำลังเสาคอนกรีตเสริมเหล็กคัวขี้การ์บอนไฟเบอร์. คณะวิศวกรรมศาสตร์ มหาวิทยาลัยศรีปทุม, IRPUS, 2547.
14. อรุณวิช พานิชกุล, สมนึก กุลประภา, และวินิต ช่อวิเชียร. การวิเคราะห์โครงสร้าง. กรุงเทพมหานคร : บ.สัมพันพานิชย์, 2528.
15. ACI Committee 318. Building Code Requirement for Structural Concrete (318M-99) and Commentary, (318RM-99).
16. FERGUSON, P.M., Reinforced Concrete Fundamentals. 4th Ed., John Wiley & Sons, New York., 1981.
17. MaCGREGOR J.G., Reinforced Concrete; Mechanics and Design. 3rd Ed., Prentice Hall, New York., 1997.
18. McCORMAC J.C., Design of Reinforced Concrete. 5th Ed., Pergamon Press, Oxford., 2001.
19. Meyer, C., Design of concrete structures. Prentice-Hall, Inc., 1996.
20. Nilson, A.H., and Winter, G., Design of concrete structures. 11th Ed., McGraw-Hill Book Co., 1991.
21. PARK R. and PAULAY T., Reinforced Concrete Structure. John Wiley & Son, New York., 1975.
22. WANG C.K. and SALMON C.G., Reinforced Concrete Design. Harper & Rows Inc., New York., 1985.

ភាគីអន្តោក ក.

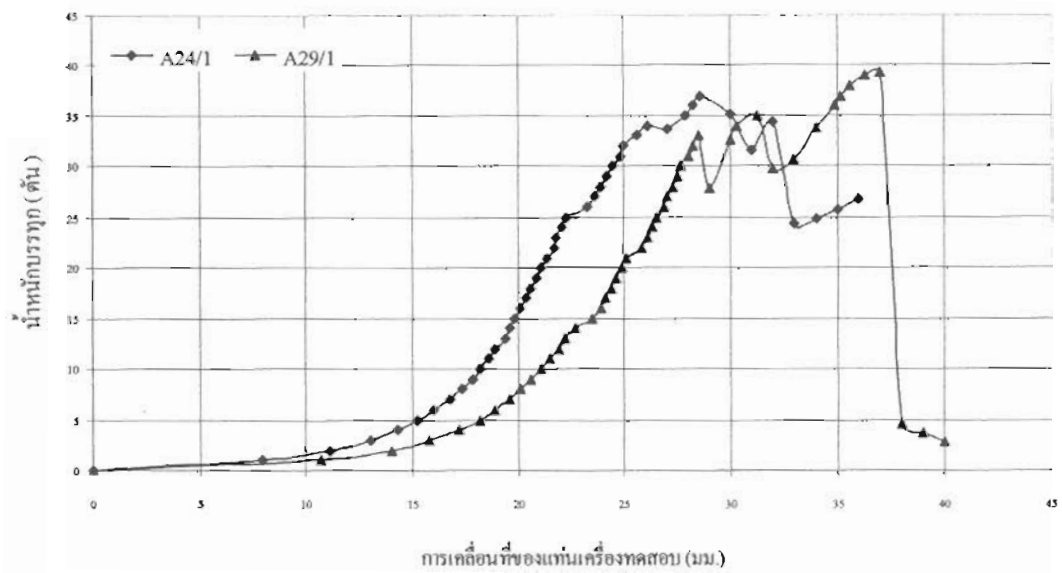
ก. กราฟแสดงความสัมพันธ์ระหว่างน้ำหนักบรรทุกและการเคลื่อนที่ของแท่นเครื่องทดสอบที่กดเลา



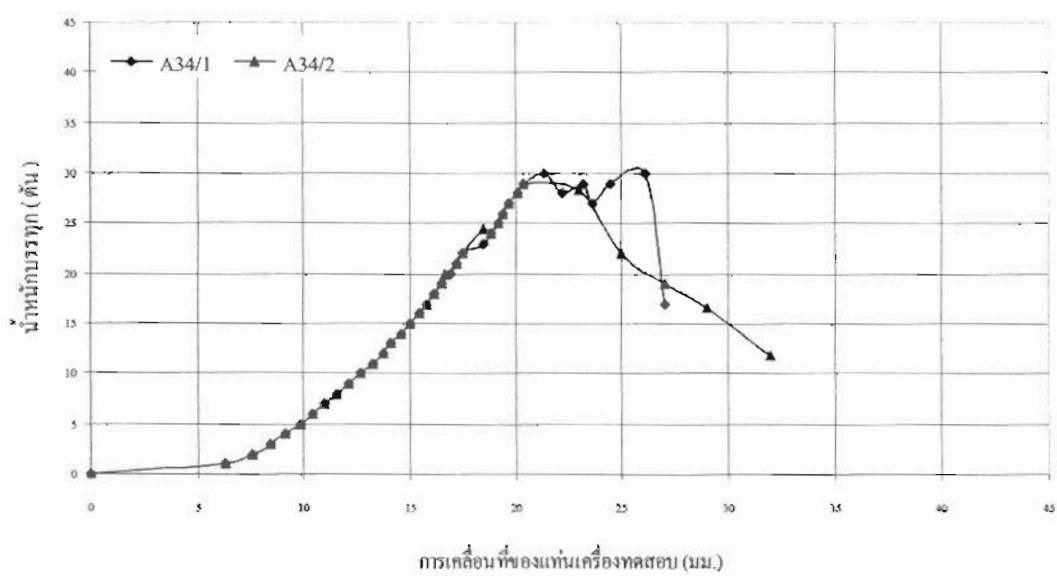
ภาพที่ ก-1 กราฟแสดงความสัมพันธ์ระหว่างน้ำหนักบรรทุกและการเคลื่อนที่ของแท่นเครื่องที่กดเลา A10/1 และ A10/2



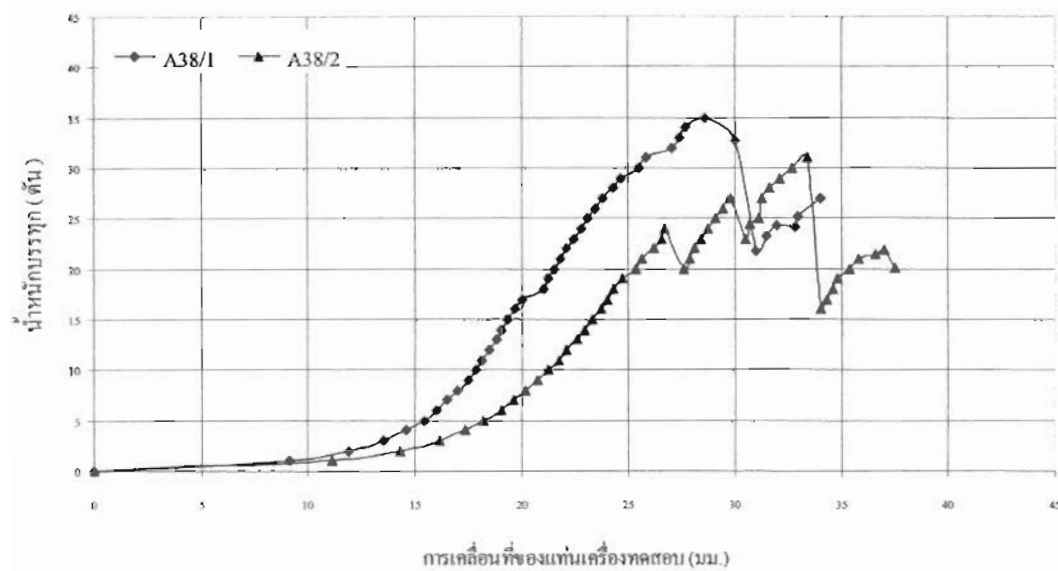
ภาพที่ ก-2 กราฟแสดงความสัมพันธ์ระหว่างน้ำหนักบรรทุกและการเคลื่อนที่ของแท่นเครื่องที่กดเลา A14/1 และ A19/1



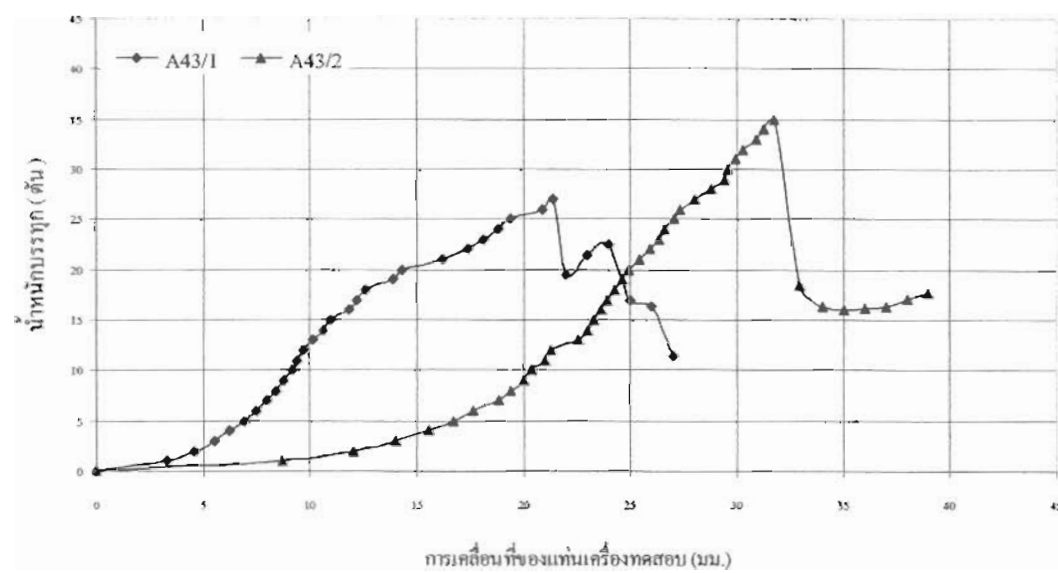
ภาพที่ ก-3 กราฟแสดงความสัมพันธ์ระหว่างน้ำหนักบรรทุกและการเคลื่อนที่ของแท่นเครื่องที่กด เส้า A24/1 และ A29/1



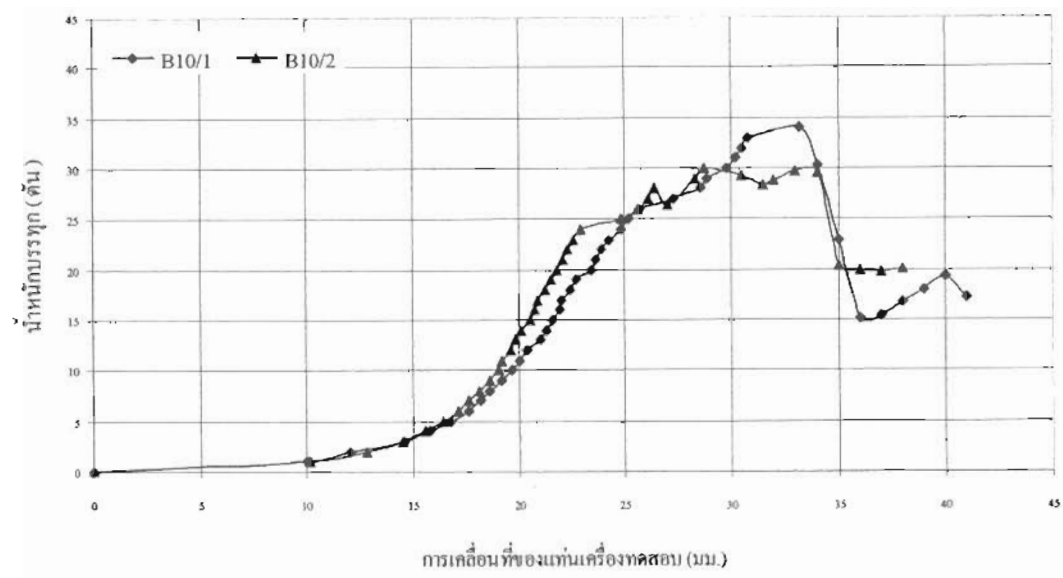
ภาพที่ ก-4 กราฟแสดงความสัมพันธ์ระหว่างน้ำหนักบรรทุกและการเคลื่อนที่ของแท่นเครื่องที่กด เส้า A34/1 และ A34/2



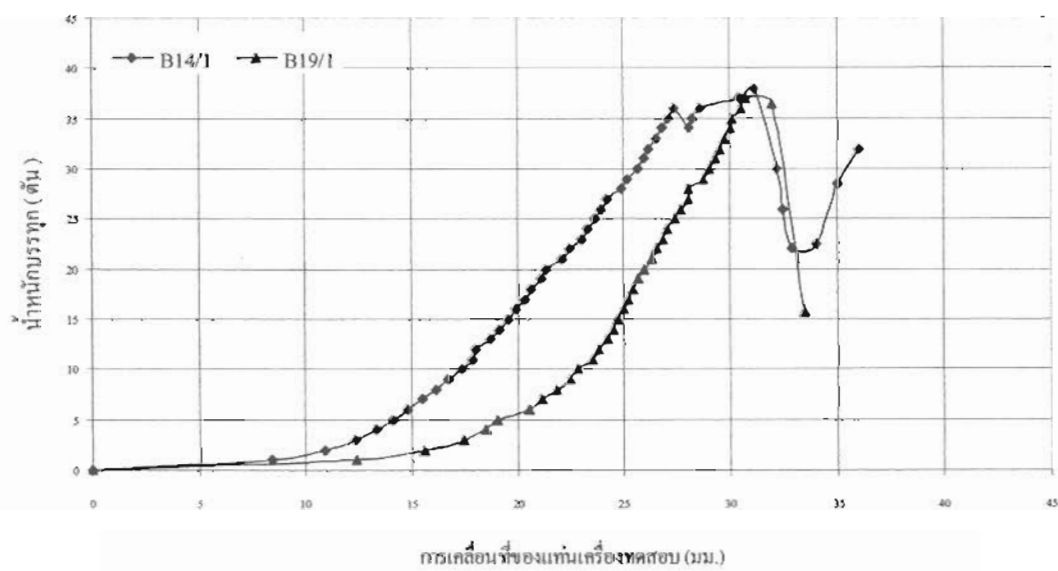
ภาพที่ ก-5 กราฟแสดงความสัมพันธ์ระหว่างน้ำหนักบรรทุกและการเคลื่อนที่ของแท่นเครื่องที่กด เสา A38/1 และ A38/2



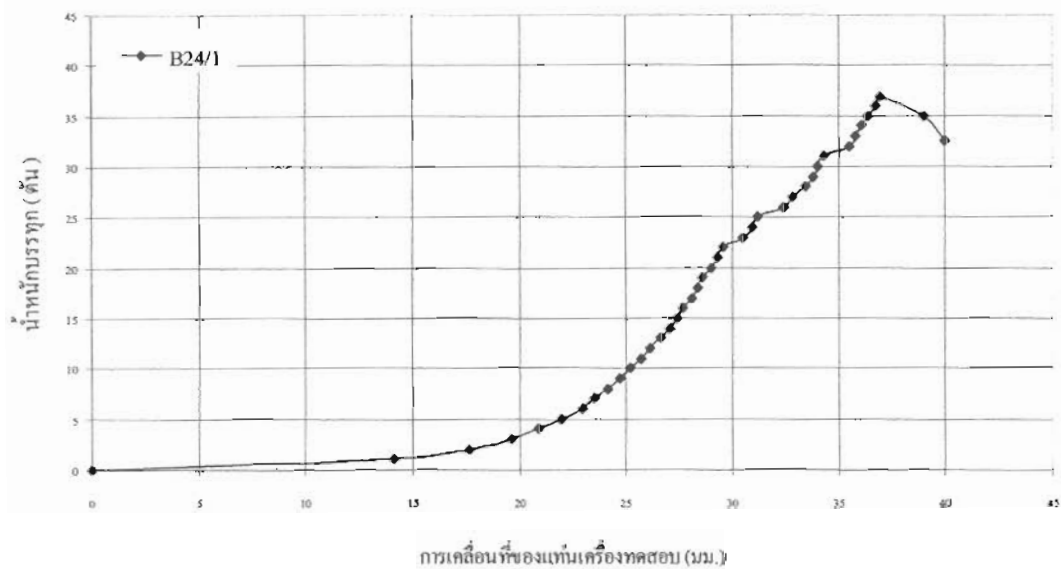
ภาพที่ ก-6 กราฟแสดงความสัมพันธ์ระหว่างน้ำหนักบรรทุกและการเคลื่อนที่ของแท่นเครื่องที่กด เสา A43/1 และ A43/2



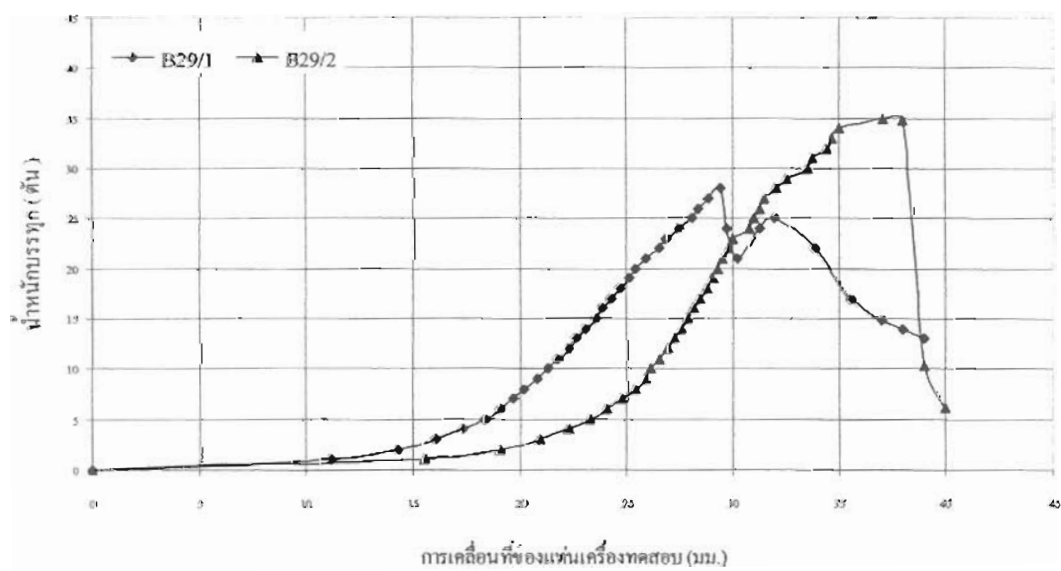
ภาพที่ ก-7 กราฟแสดงความสัมพันธ์ระหว่างน้ำหนักบรรทุกและการเคลื่อนที่ของแท่นเครื่องที่กด เสา B10/1 และ B10/2



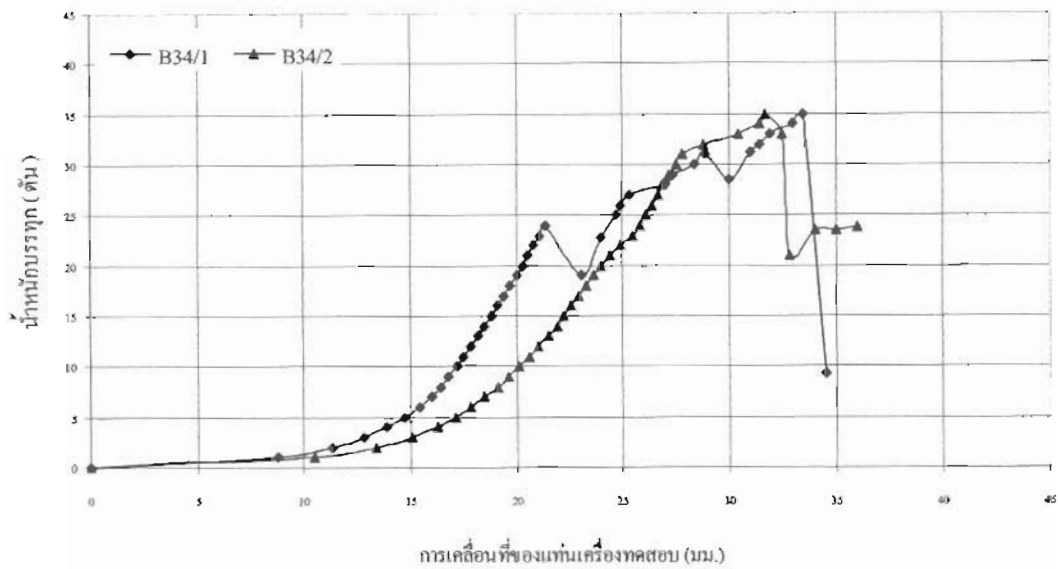
ภาพที่ ก-8 กราฟแสดงความสัมพันธ์ระหว่างน้ำหนักบรรทุกและการเคลื่อนที่ของแท่นเครื่องที่กด เสา B14/1 และ B19/1



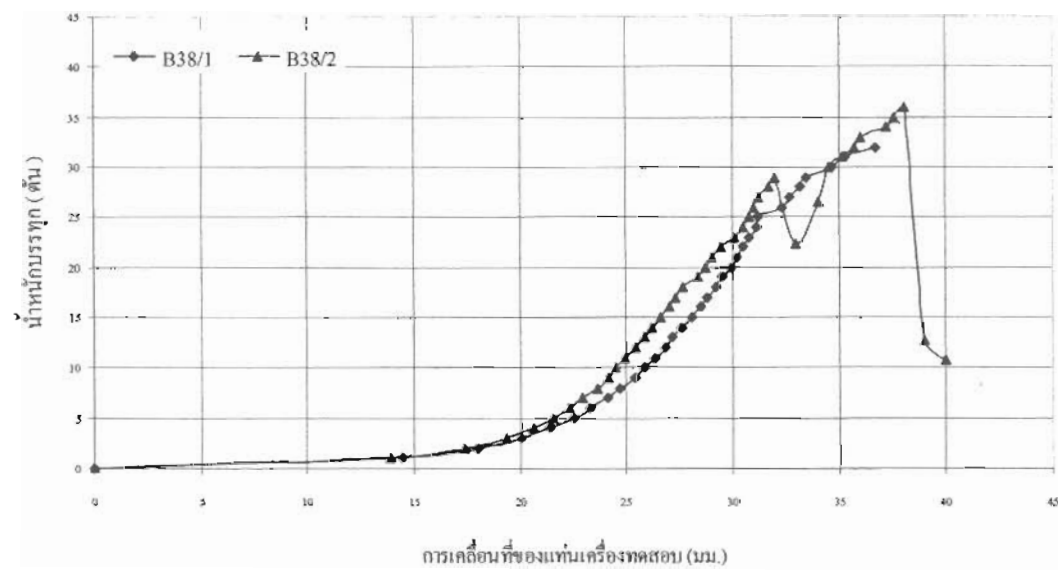
ภาพที่ ก-9 กราฟแสดงความสัมพันธ์ระหว่างน้ำหนักบรรทุกและการเคลื่อนที่ของแท่นเครื่องที่ก่อ
ใช้ B24/1



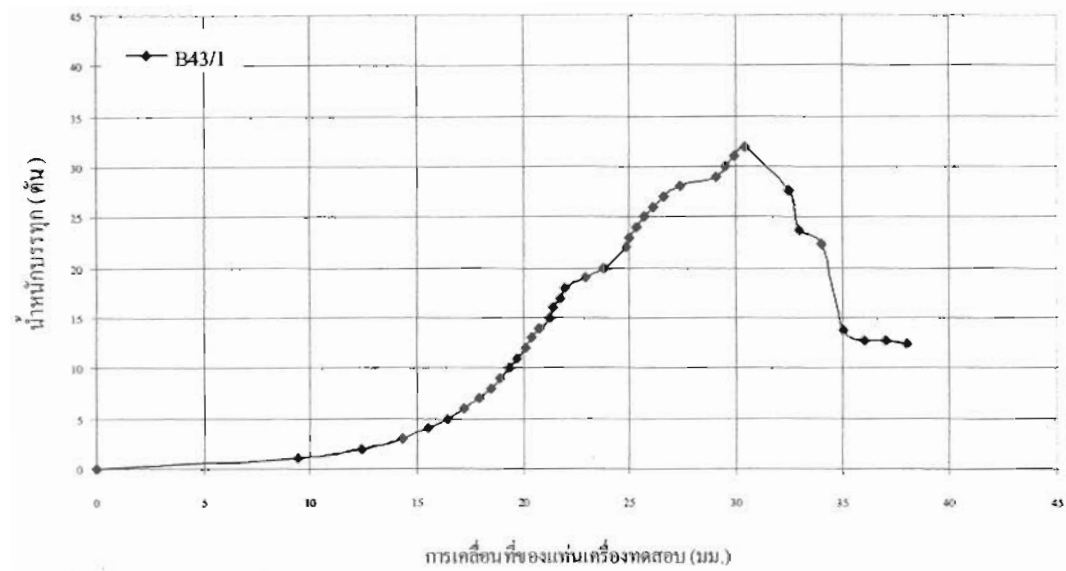
ภาพที่ ก-10 กราฟแสดงความสัมพันธ์ระหว่างน้ำหนักบรรทุกและการเคลื่อนที่ของแท่นเครื่องที่ก่อ
ใช้ B29/1 และ B29/2



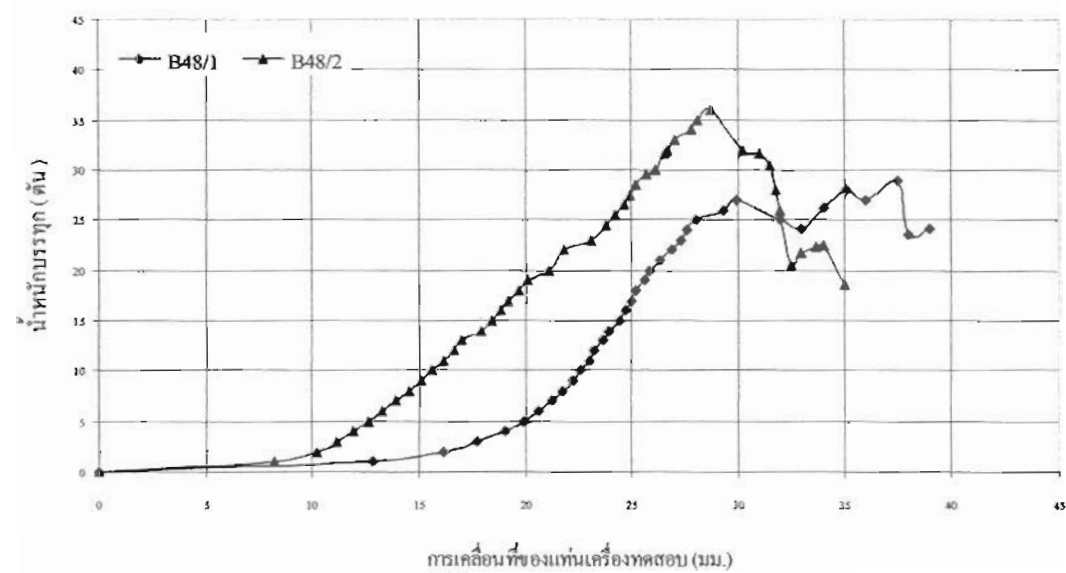
ภาพที่ ก-กราฟแสดงความสัมพันธ์ระหว่างน้ำหนักบรรทุกและการเคลื่อนที่ของเหินเครื่องที่กด เต้า B34/1 และ B34/2



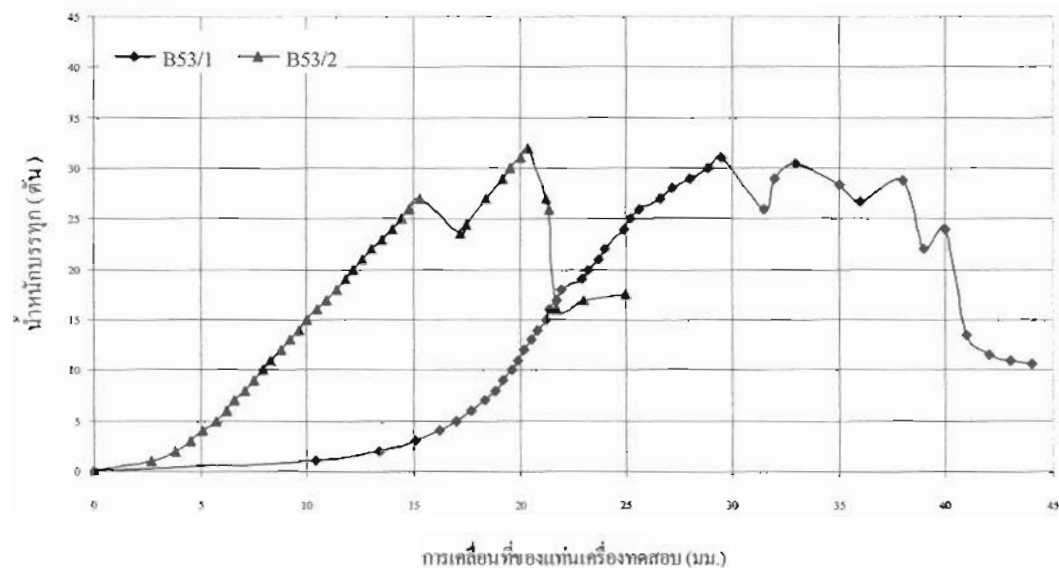
ภาพที่ ก-12 กราฟแสดงความสัมพันธ์ระหว่างน้ำหนักบรรทุกและการเคลื่อนที่ของเหินเครื่องที่กด เต้า B38/1 และ B38/2



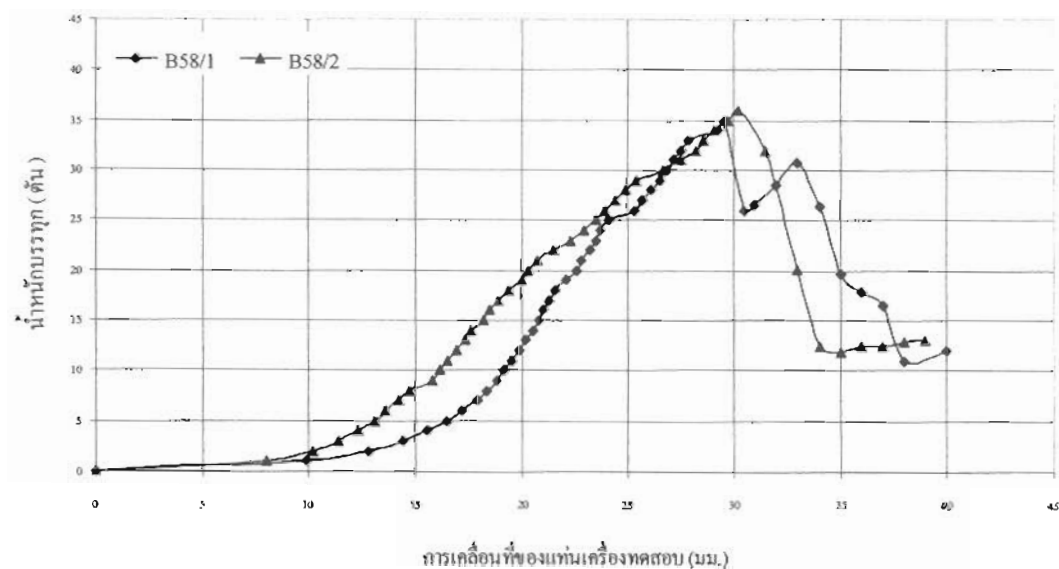
ภาพที่ ก-13 グラฟแสดงความสัมพันธ์ระหว่างน้ำหนักบรรทุกและการเคลื่อนที่ของแท่นเครื่องที่กด เสา B43/1



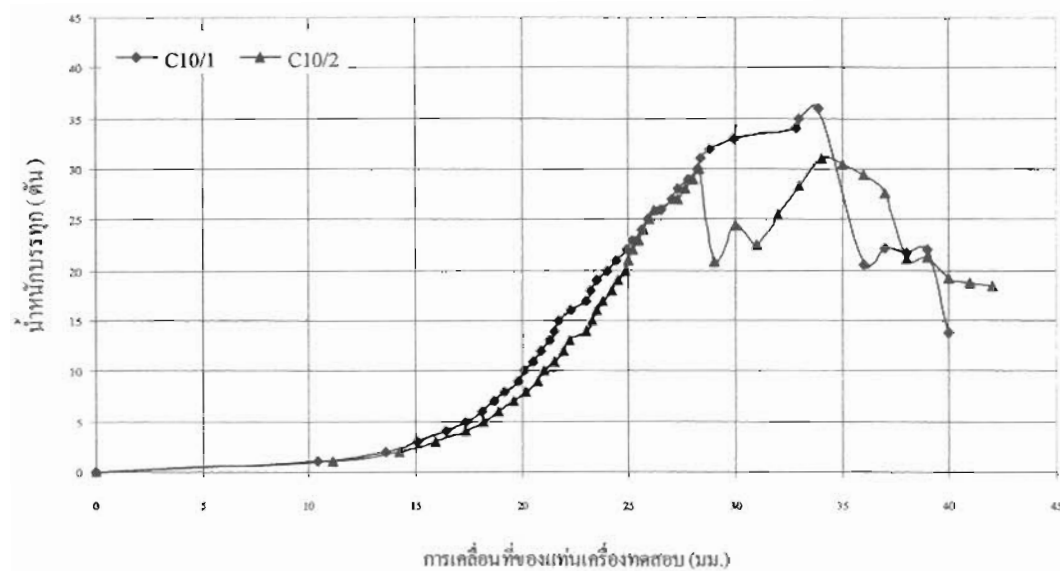
ภาพที่ ก-กราฟแสดงความสัมพันธ์ระหว่างน้ำหนักบรรทุกและการเคลื่อนที่ของแท่นเครื่องที่กด เสา B48/1 และ B48/2



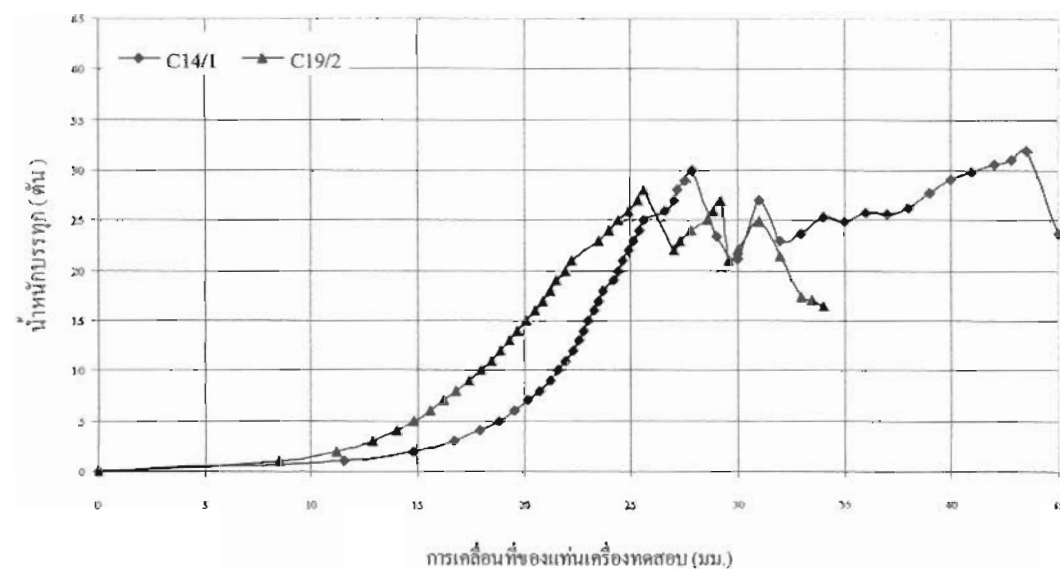
ภาพที่ ก-15 กราฟแสดงความสัมพันธ์ระหว่างน้ำหนักบรรทุกและการเกลือ่นที่ของแท่นเครื่องที่ก่อ
เสา B53/1 และ B53/2



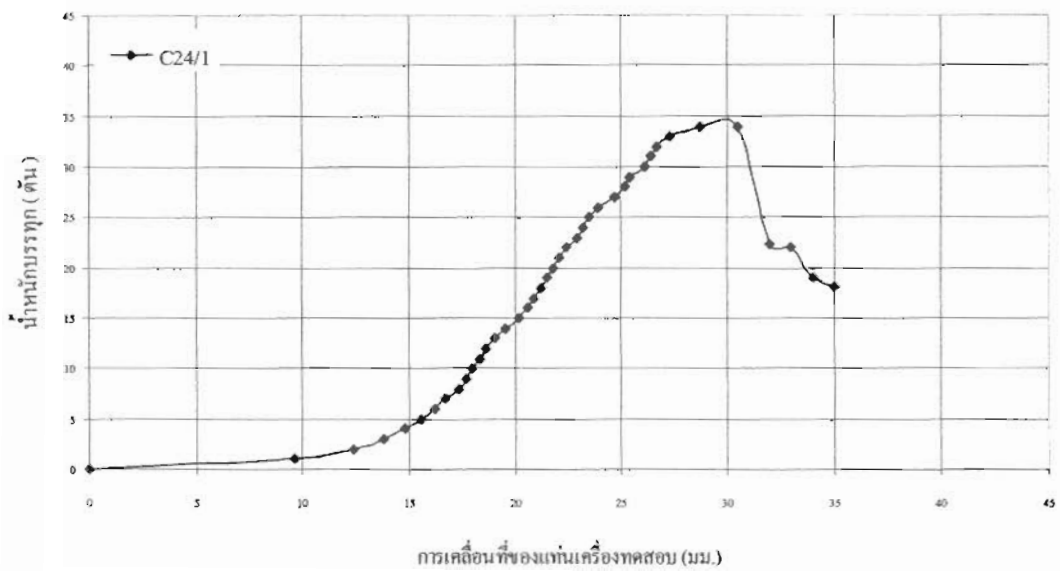
ภาพที่ ก-16 กราฟแสดงความสัมพันธ์ระหว่างน้ำหนักบรรทุกและการเกลือ่นที่ของแท่นเครื่องที่ก่อ
เสา B58/1 และ B58/2



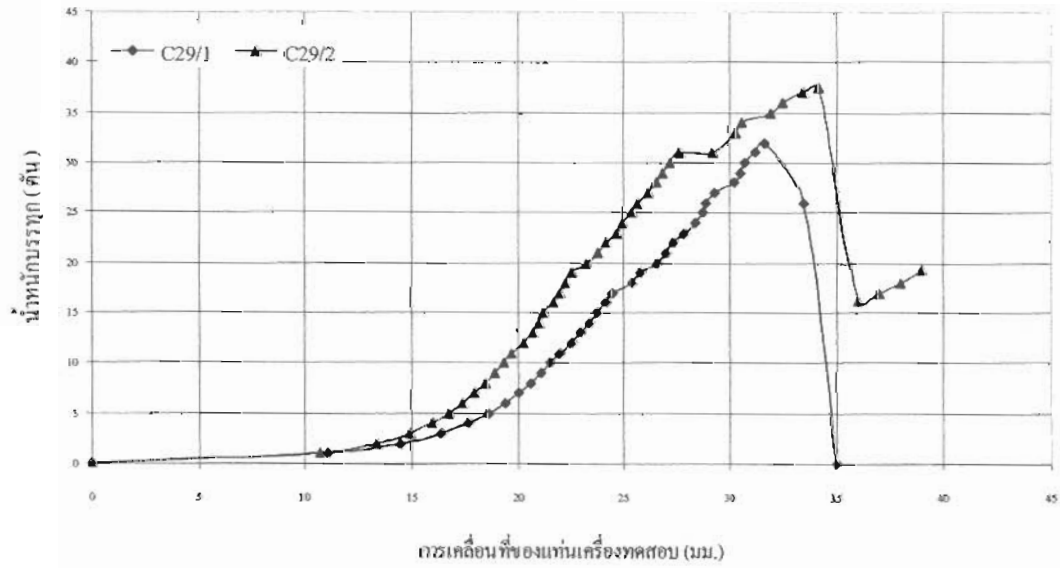
ภาพที่ ก-17 กราฟแสดงความสัมพันธ์ระหว่างน้ำหนักน้ำรุ่งและ การเคลื่อนที่ของแท่นเครื่องที่กด เสา C10/1 และ C10/2



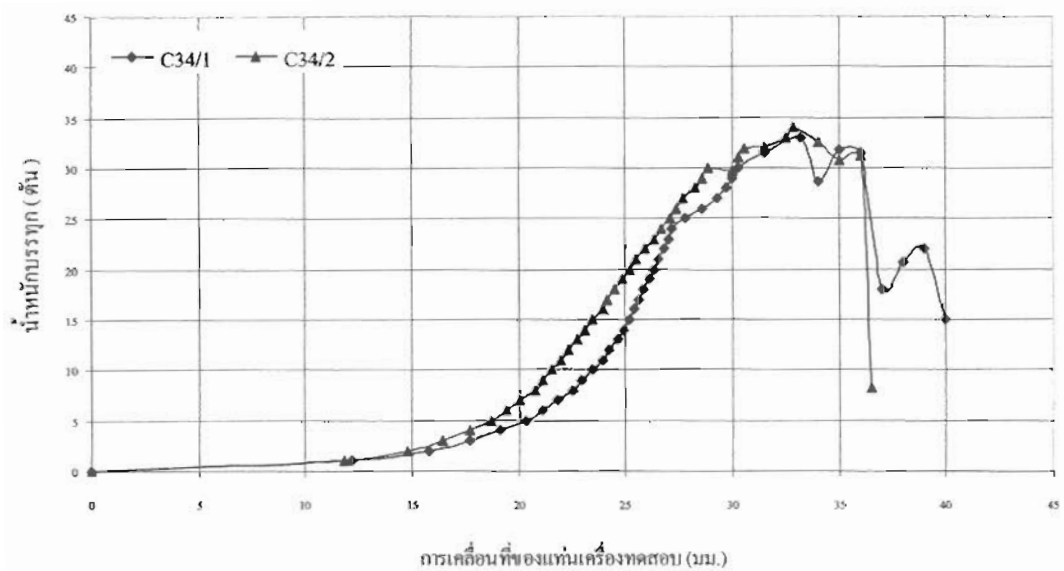
ภาพที่ ก-18 กราฟแสดงความสัมพันธ์ระหว่างน้ำหนักน้ำรุ่งและ การเคลื่อนที่ของแท่นเครื่องที่กด เสา C14/1 และ C19/2



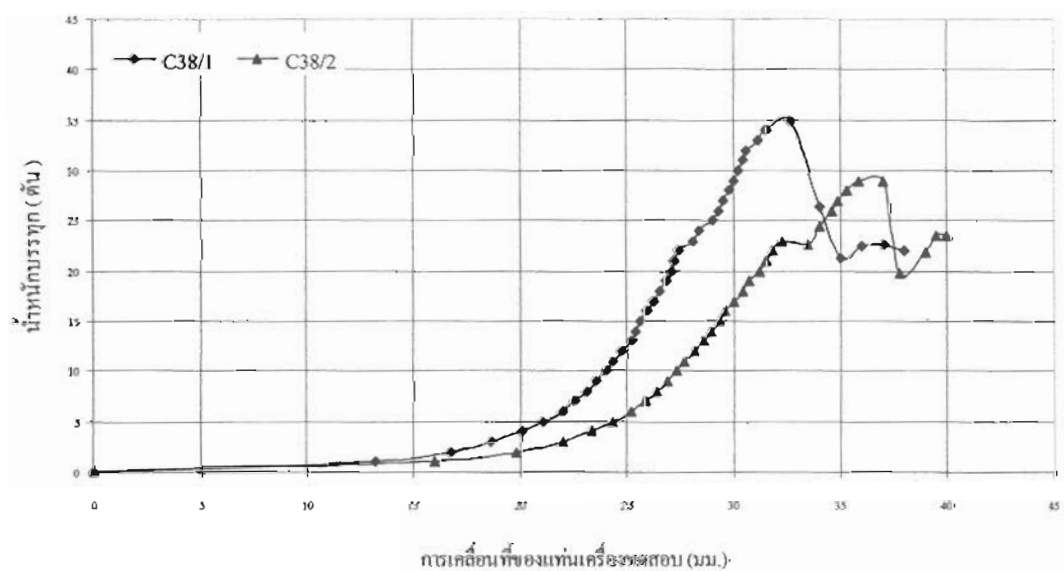
ภาพที่ ก-19 กราฟแสดงความสัมพันธ์ระหว่างน้ำทึบกับรรทุกและการเคลื่อนที่ของแกนเครื่องที่กด เต้า C24/1



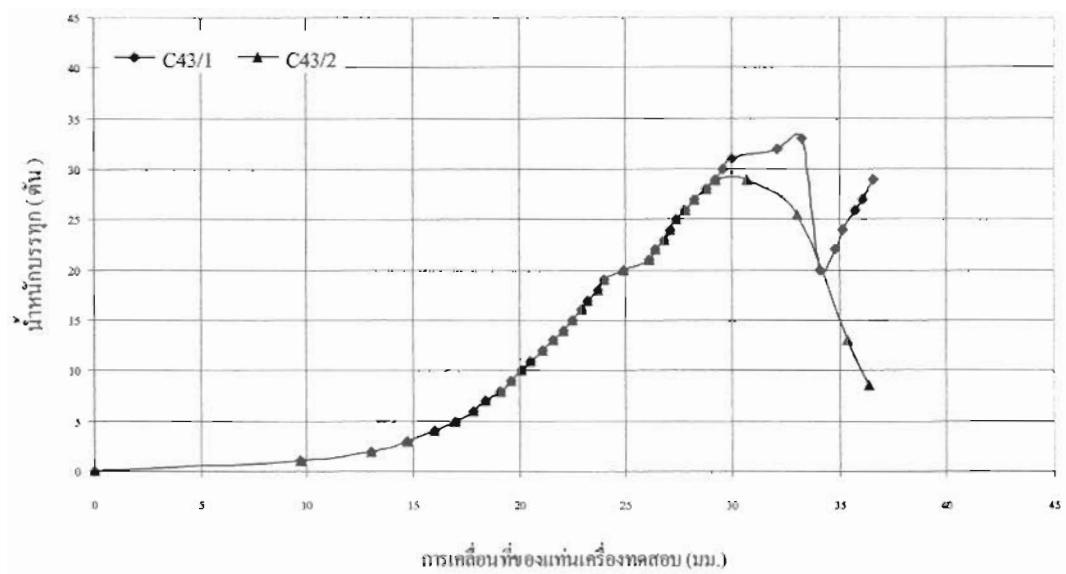
ภาพที่ ก-20 กราฟแสดงความสัมพันธ์ระหว่างน้ำทึบกับรรทุกและการเคลื่อนที่ของแกนเครื่องที่กด เต้า C29/1 และ C29/2



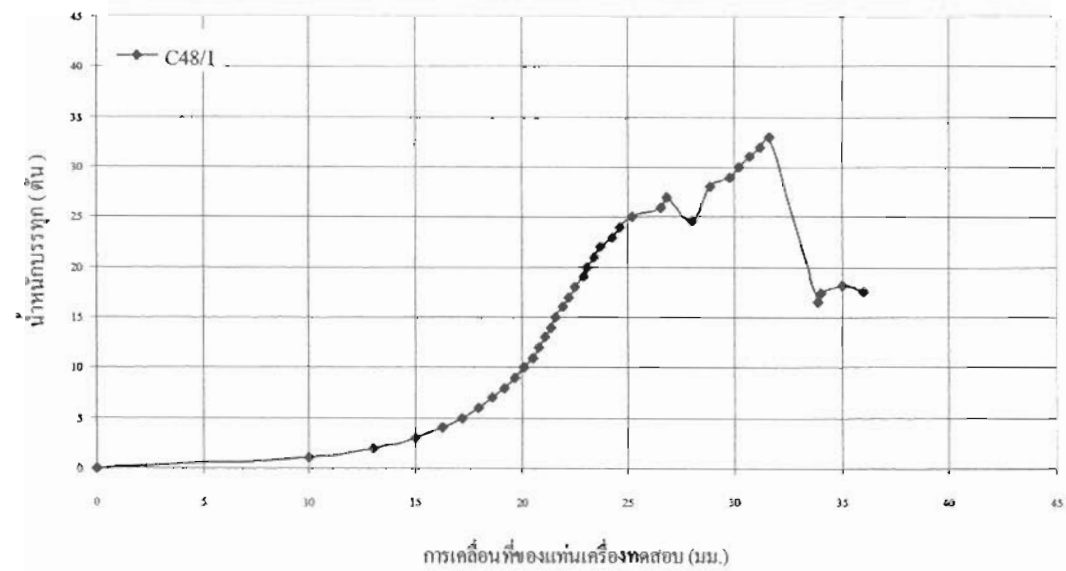
ภาพที่ ก-21 กราฟแสดงความสัมพันธ์ระหว่างน้ำหนักบรรทุกและการเกลื่อนที่ของแท่นเครื่องที่กด เสา C34/1 และ C34/2



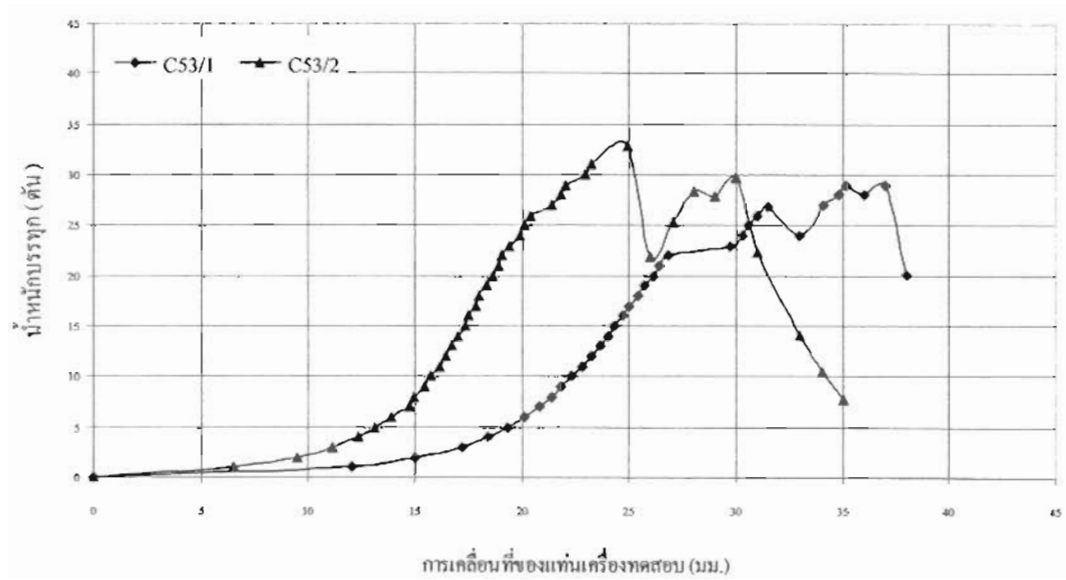
ภาพที่ ก-22 กราฟแสดงความสัมพันธ์ระหว่างน้ำหนักบรรทุกและการเกลื่อนที่ของแท่นเครื่องที่กด เสา C38/1 และ C38/2



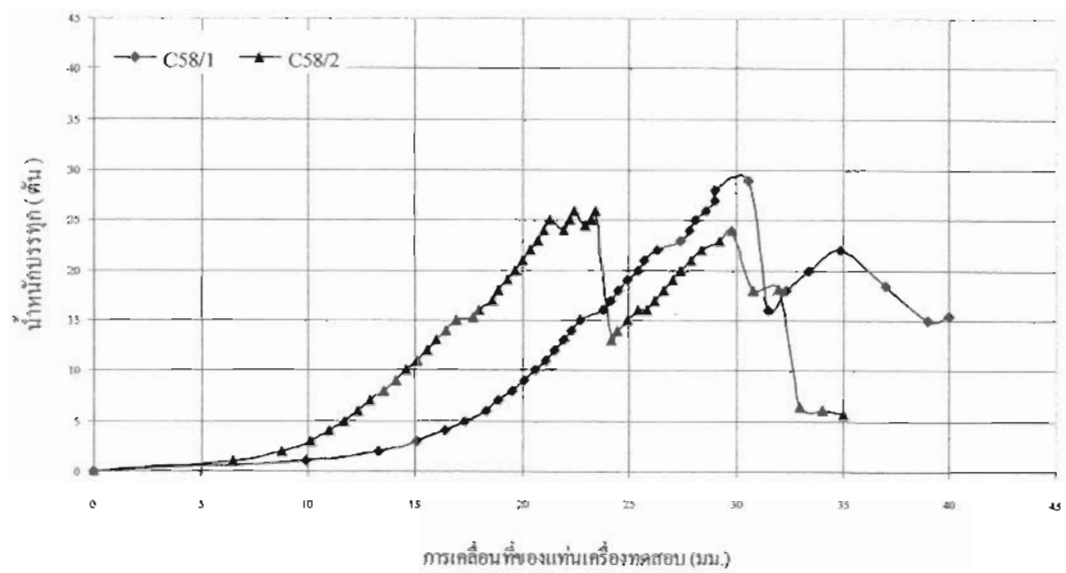
ภาพที่ ก-23 กราฟแสดงความสัมพันธ์ระหว่างน้ำหนักบรรทุกและการเคลื่อนที่ของแท่นเครื่องที่กดเลา C43/1 และ C43/2



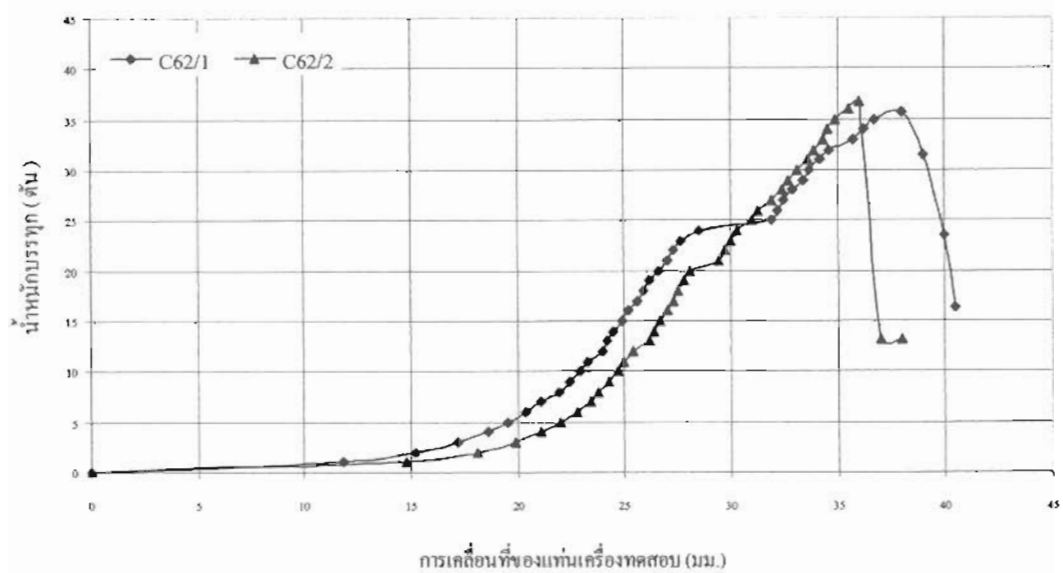
ภาพที่ ก-24 กราฟแสดงความสัมพันธ์ระหว่างน้ำหนักบรรทุกและการเคลื่อนที่ของแท่นเครื่องที่กดเลา C48/1



ภาพที่ ก-25 กราฟแสดงความสัมพันธ์ระหว่างน้ำหนักบรรทุกและการเคลื่อนที่ของแท่นเครื่องที่ก่อ
เสา C53/1 และ C53/2



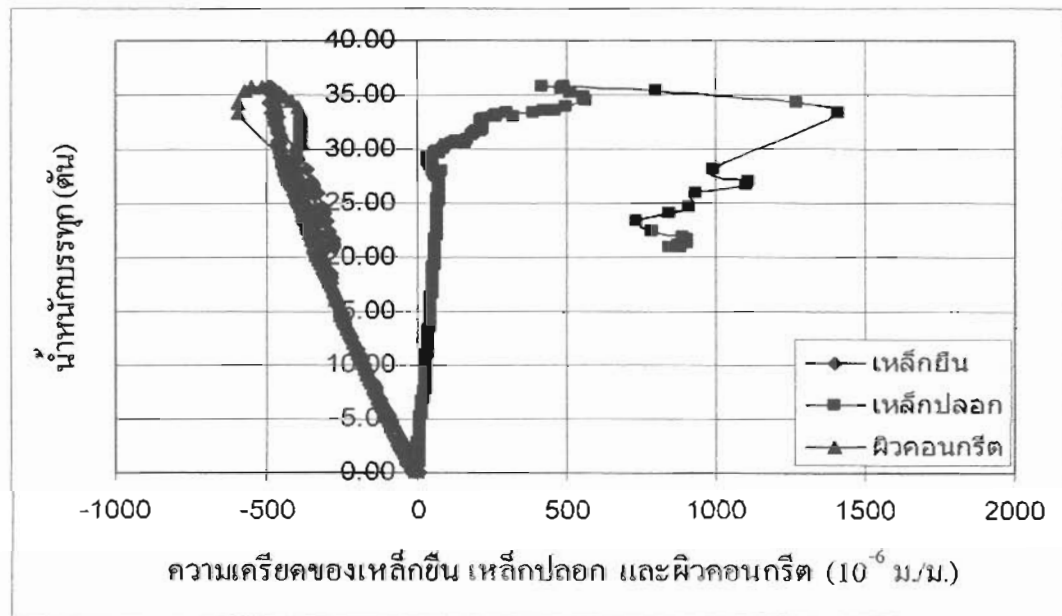
ภาพที่ ก-26 กราฟแสดงความสัมพันธ์ระหว่างน้ำหนักบรรทุกและการเคลื่อนที่ของแท่นเครื่องที่ก่อ
เสา C58/1 และ C58/2



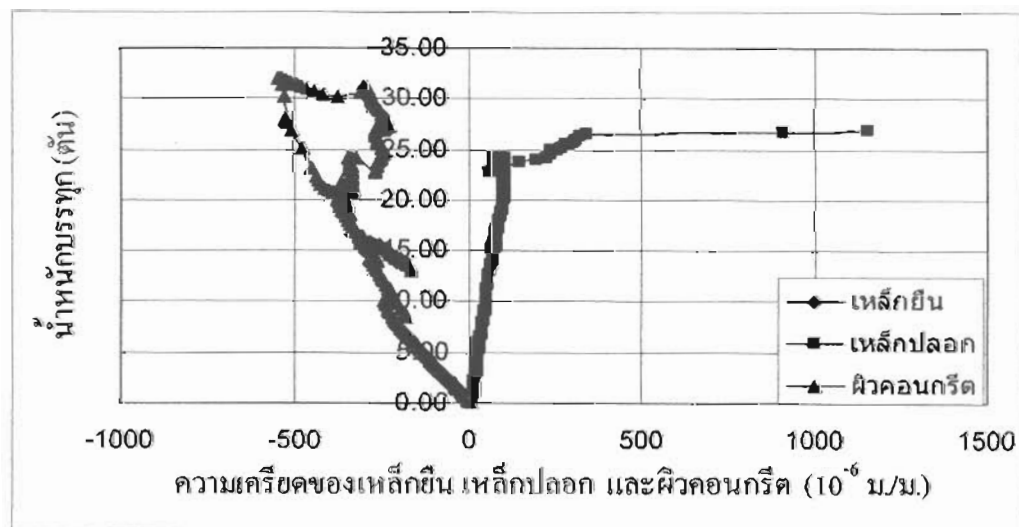
ภาพที่ ก-27 กราฟแสดงความสัมพันธ์ระหว่างน้ำหนักบรรทุกและการเคลื่อนที่ของแท่นเครื่องที่กดเส้า C62/1 และ C62/2

ភាគីជនវក្សា ខ.

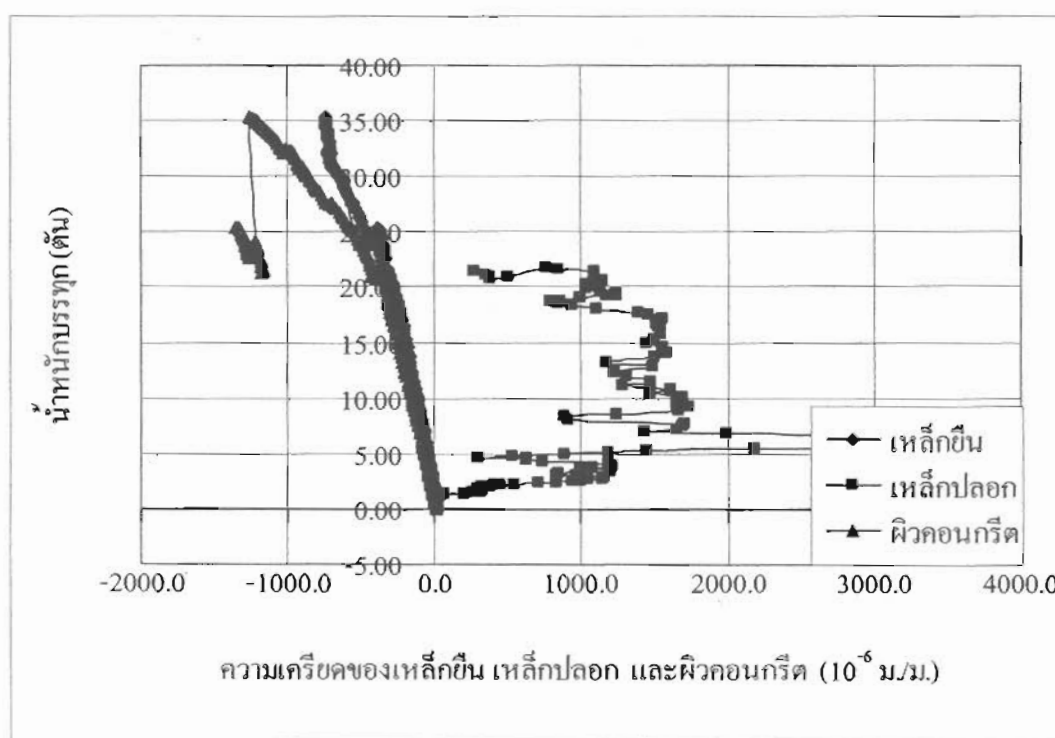
ข. ผลการทดสอบระหว่างน้ำหนักบรรทุกและการเสียรูปของเสาตามแนวแกน ของเสาอุ่น A



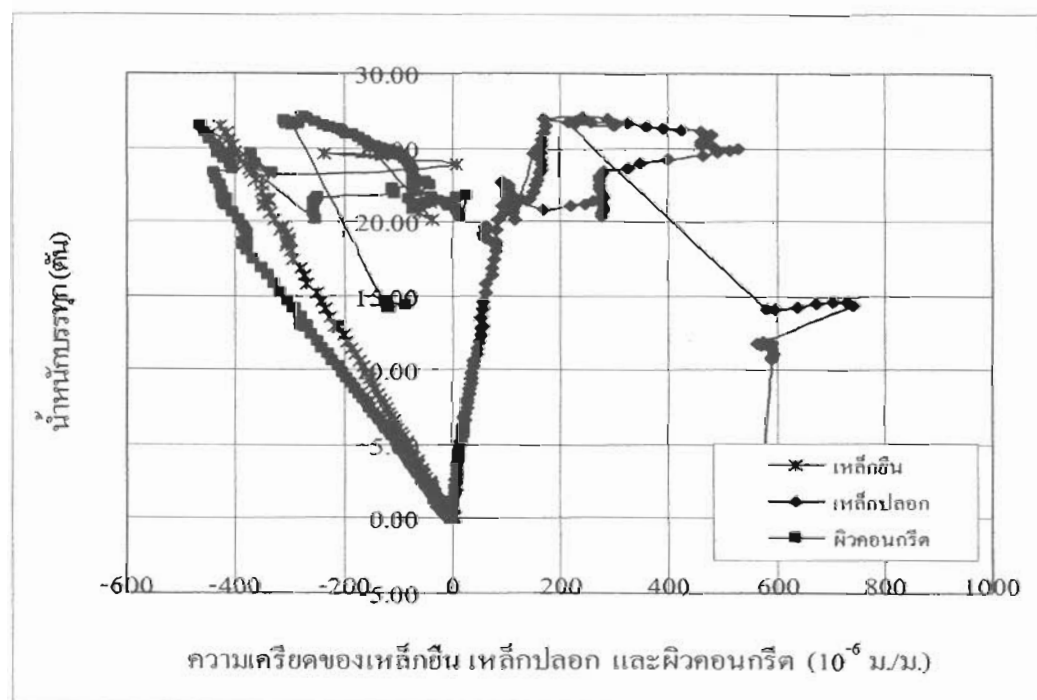
ภาพที่ ข-1 กราฟแสดงความสัมพันธ์ของน้ำหนักบรรทุกกับความเครียดของเหล็กยืน เหล็กปลอก และทีผิวคอนกรีต ของเสา A14/2



ภาพที่ ข-2 กราฟแสดงความสัมพันธ์ของน้ำหนักบรรทุกกับความเครียดของเหล็กยืน เหล็กปลอก และทีผิวคอนกรีต ของเสา A19/2

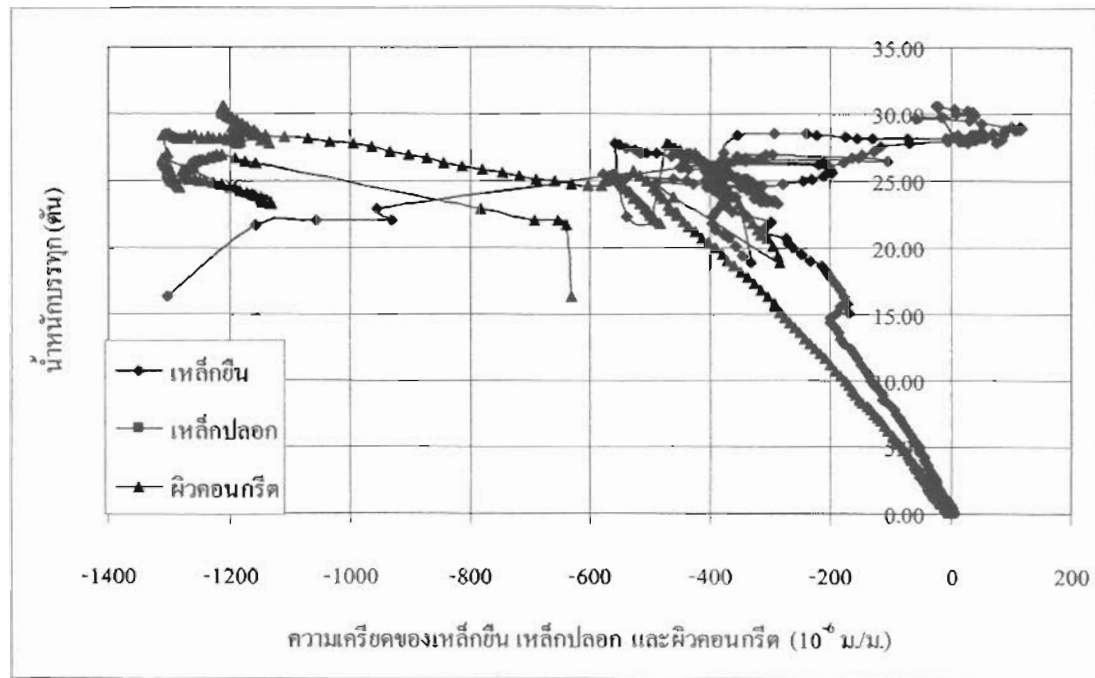


ภาพที่ X-3 グラฟแสดงความสัมพันธ์ของน้ำหนักบรรทุกกับความเครียดของเหล็กยืน เหล็กปลอก และที่พิวคอนกรีต ของเสา A24/2

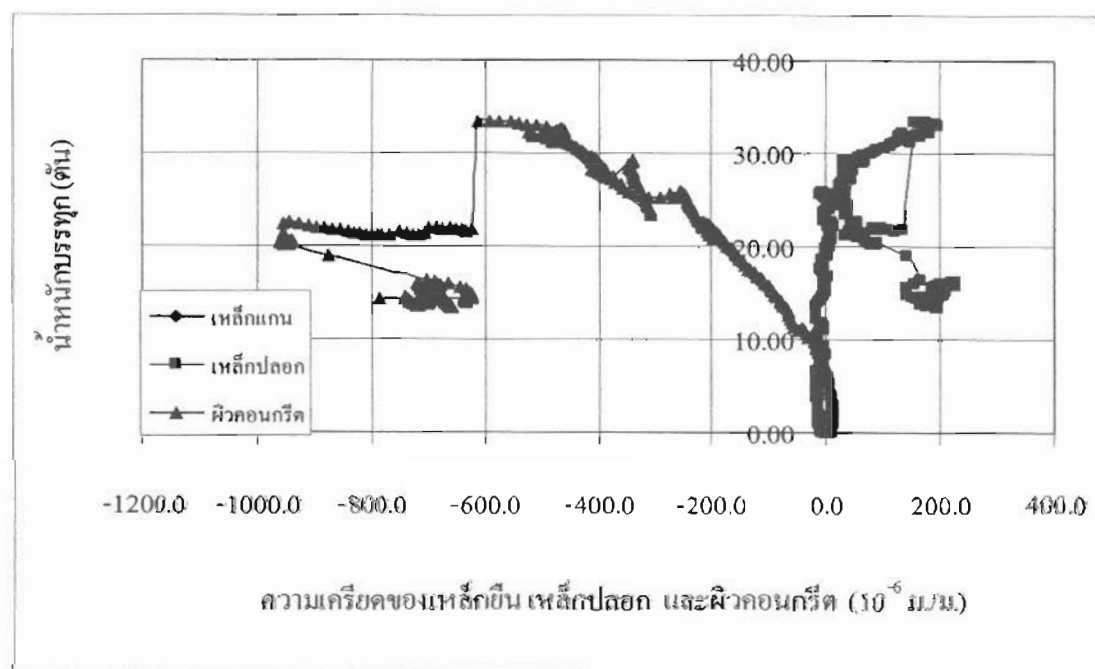


ภาพที่ X-4 グラฟแสดงความสัมพันธ์ของน้ำหนักบรรทุกกับความเครียดของเหล็กยืน เหล็กปลอก และที่พิวคอนกรีต ของเสา A29/2

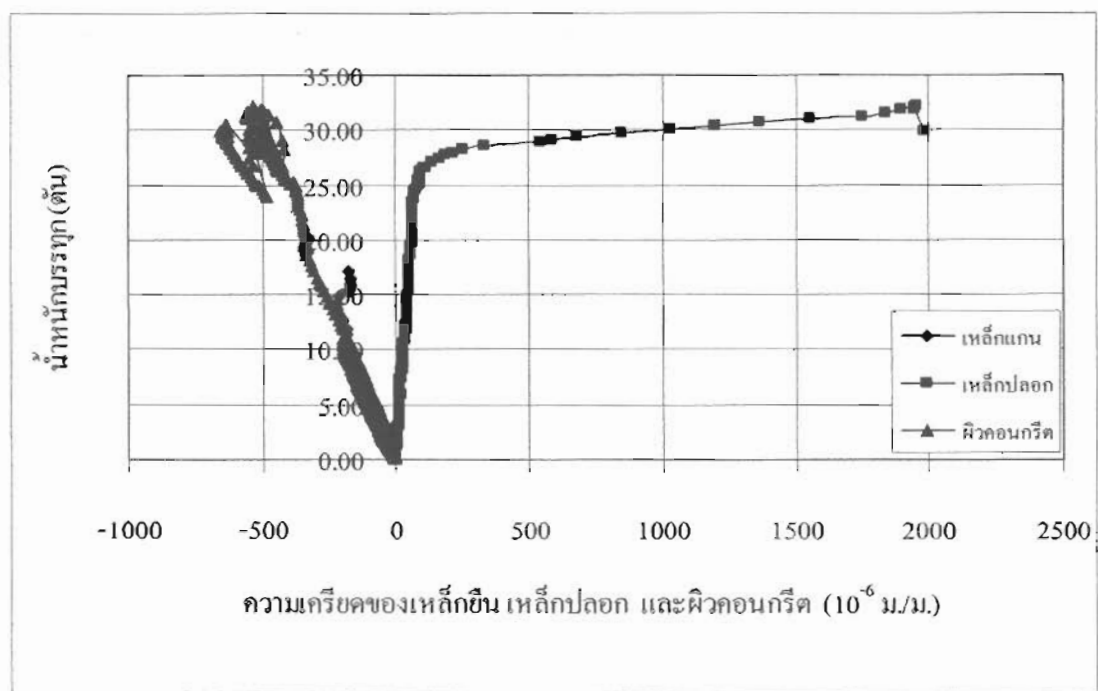
ข2. ผลการทดสอบระหว่างน้ำหนักบรรทุกและการเสียรูปของเสาตามแนวแกน ของเสากรุ่น B



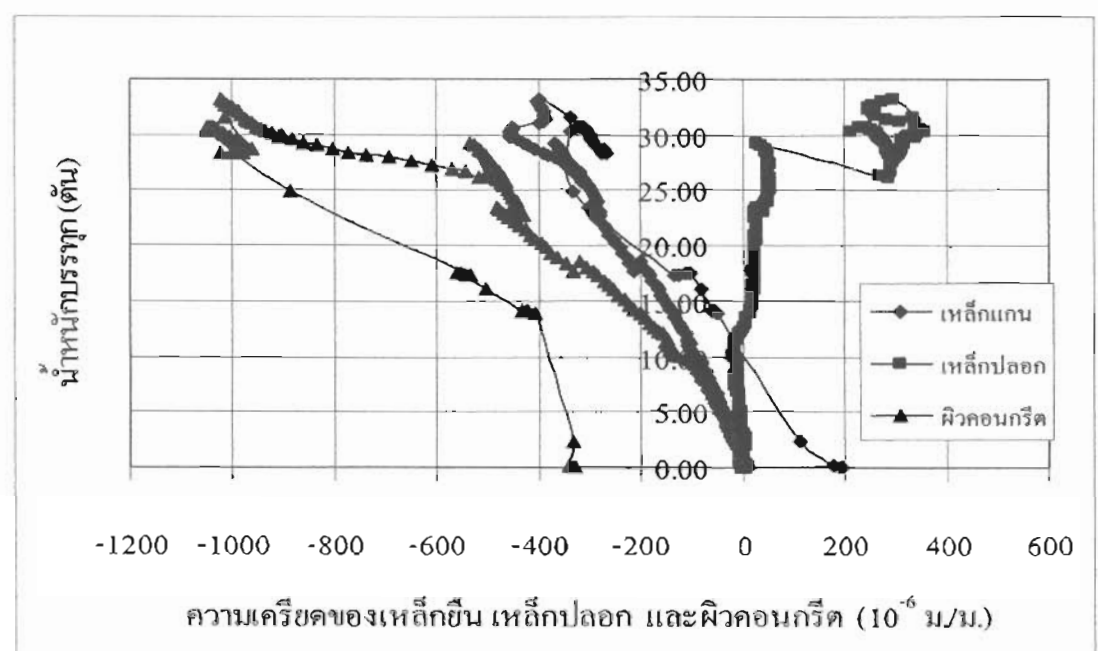
ภาพที่ ข-5 รายละเอียดความสัมพันธ์ของน้ำหนักบรรทุกกับความเครียดของเหล็กยืน เหล็กปลอก และที่ผิวคอนกรีต ของเสา B14/2



ภาพที่ ข-6 รายละเอียดความสัมพันธ์ของน้ำหนักบรรทุกกับความเครียดของเหล็กยืน เหล็กปลอก และที่ผิวคอนกรีต ของเสา B19/2

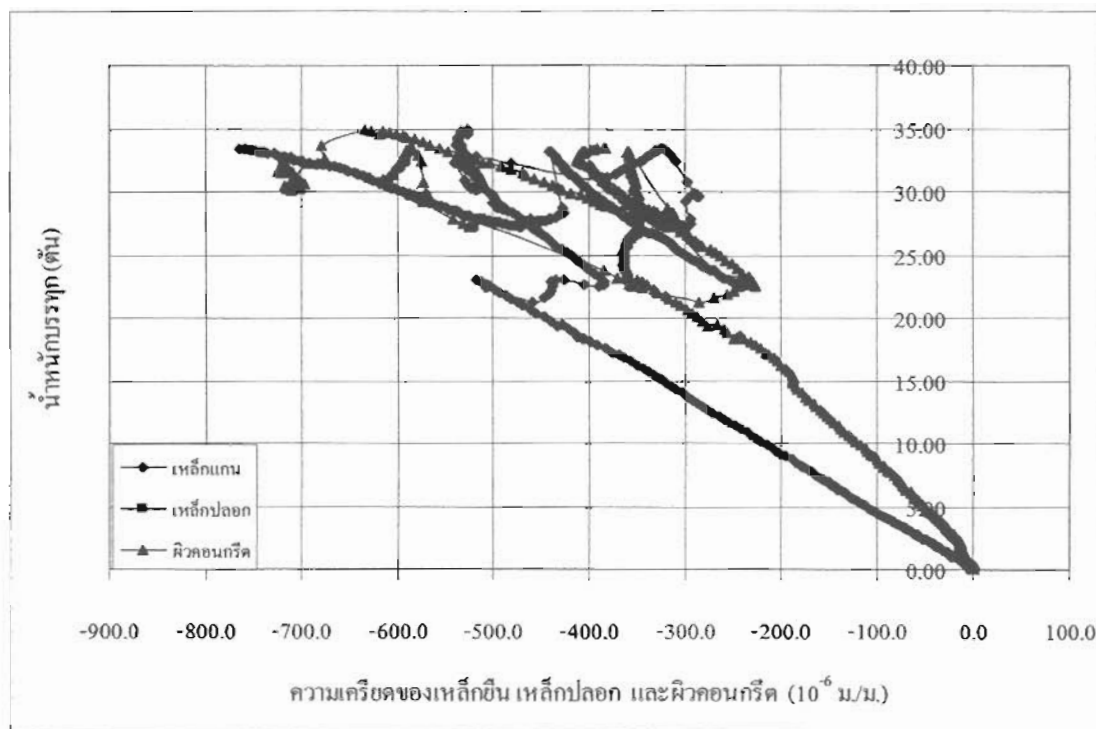


ภาพที่ ข-7 กราฟแสดงความสัมพันธ์ของน้ำหนักบรรทุกกับความเครียดของเหล็กยืน เหล็กปีลอก และที่ผิวคอนกรีต ของเสา B24/2

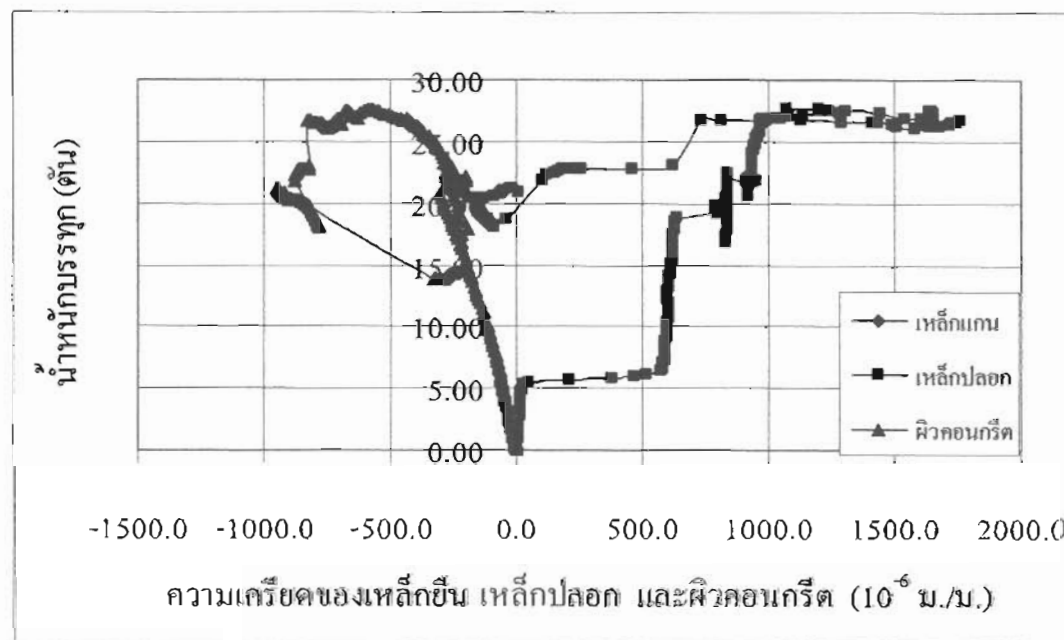


ภาพที่ ข-8 กราฟแสดงความสัมพันธ์ของน้ำหนักบรรทุกกับความเครียดของเหล็กยืน เหล็กปีลอก และที่ผิวคอนกรีต ของเสา B43/2

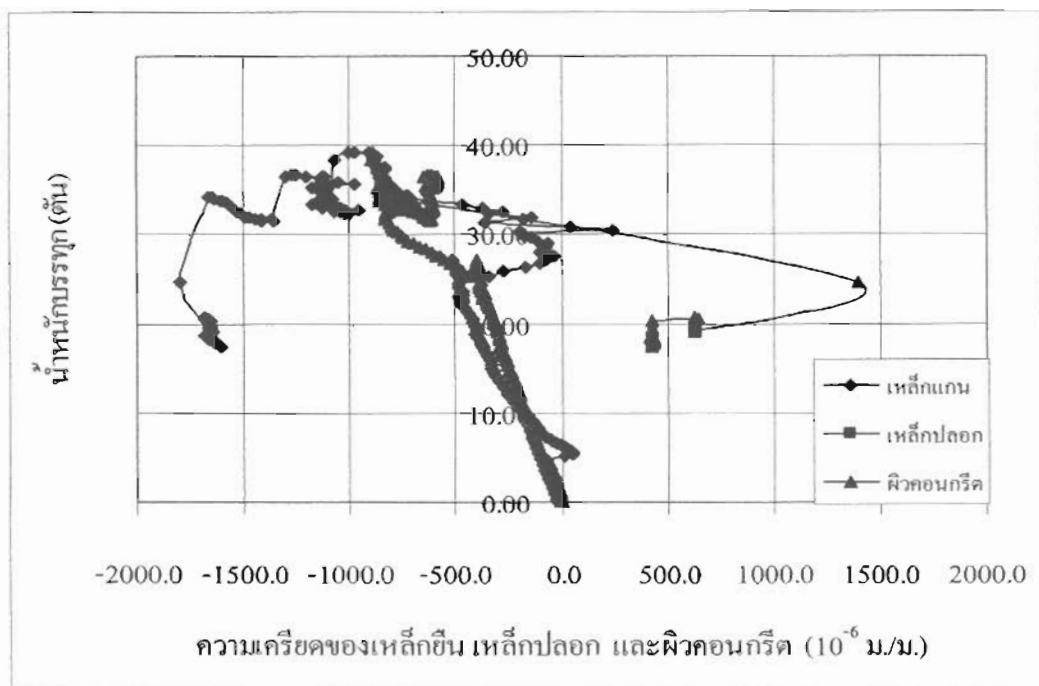
ช.3 ผลการทดสอบระหว่างน้ำหนักบรรทุกและการเสียรูปของเสาตามแนวแกน ของเสาอุ่น C



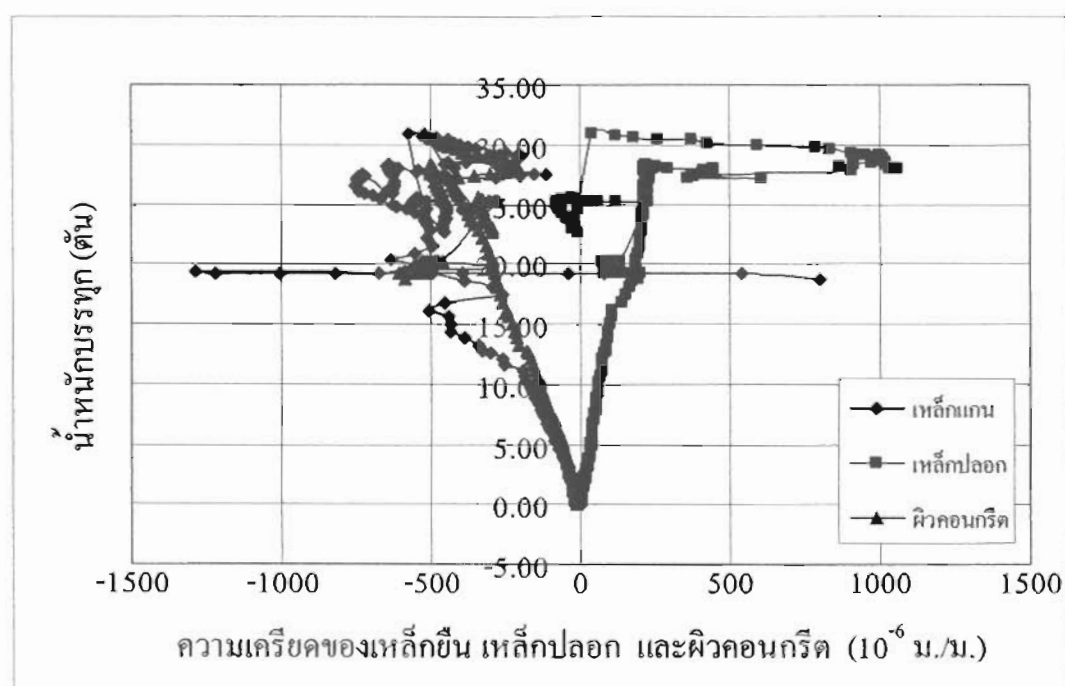
ภาพที่ ช-9 กราฟแสดงความสัมพันธ์ของน้ำหนักบรรทุกกับความเครียดของเหล็กยืน เหล็กปีลอก และที่ผิวคอนกรีต ของเสา C14/2



ภาพที่ ช-10 กราฟแสดงความสัมพันธ์ของน้ำหนักบรรทุกกับความเครียดของเหล็กยืน เหล็กปีลอก และที่ผิวคอนกรีต ของเสา C19/2



ภาพที่ X-11 กราฟแสดงความสัมพันธ์ของน้ำหนักบรรทุกกับความเครียดของเหล็กยืด เหล็กปلوก และที่ผิวคอนกรีต ของเสา C24/1



ภาพที่ X-12 กราฟแสดงความสัมพันธ์ของน้ำหนักบรรทุกกับความเครียดของเหล็กยืด เหล็กปلوก และที่ผิวคอนกรีต ของเสา C48/2

ภาคผนวก ๑.

การทดสอบสมมุติฐาน (Hypothesis) โดยการทดสอบความแตกต่างของความถี่ ด้วยวิธีไคสแควร์

ค. 1 การเปรียบเทียบระบบห่างของเหล็กปลอก

ค. 1.1 การเปรียบเทียบระบบห่างของเหล็กปลอก RB 6, RB 9, DB 10

H_0 = การเสริมเหล็กปลอก RB 6, RB 9, DB 10 ในเสากองกรีตให้คำจำลังอัดในการทดสอบไม่มีแตกต่างกัน

H_1 = การเสริมเหล็กปลอก RB 6, RB 9, DB 10 ในเสากองกรีตให้คำจำลังอัดในการทดสอบแตกต่างกัน

ระบบห่างเหล็กปลอก (ช.m.)	กลุ่ม A (RB 6)	กลุ่ม B (RB 9)	กลุ่ม C (DB 10)	รวม
9.60	35.00	32.70	34.10	101.80
14.40	37.80	34.60	33.60	106.00
19.20	36.00	35.20	28.20	99.40
24.00	36.00	34.50	36.60	107.10
28.80	33.00	31.70	35.20	99.90
33.60	30.60	35.30	34.00	99.90
38.40	33.30	34.20	32.00	99.50
43.20	31.30	32.60	31.10	95.00
รวม	273.00	270.80	264.80	808.60

จำนวนค่า Expected frequency

$$E11 = (101.80 \times 273.00) / 808.60 = 34.37$$

$$E12 = (101.80 \times 270.80) / 808.60 = 34.09$$

$$E13 = (101.80 \times 264.80) / 808.60 = 33.34$$

$$E21 = (106.00 \times 273.00) / 808.60 = 35.79$$

$$E22 = (106.00 \times 270.80) / 808.60 = 35.50$$

$$E23 = (106.00 \times 264.80) / 808.60 = 34.71$$

$$E31 = (99.40 \times 273.00) / 808.60 = 33.56$$

$$E32 = (99.40 \times 270.80) / 808.60 = 33.29$$

$$E33 = (99.40 \times 264.80) / 808.60 = 32.55$$

$$E41 = (107.10 \times 273.00) / 808.60 = 36.16$$

$$E42 = (107.10 \times 270.80) / 808.60 = 35.87$$

$$E43 = (107.40 \times 264.80) / 808.60 = 35.07$$

$$E51 = (99.90 \times 273.00) / 808.60 = 33.73$$

$$E52 = (99.90 \times 270.80) / 808.60 = 33.46$$

$$E53 = (99.90 \times 264.80) / 808.60 = 32.72$$

$$E61 = (99.90 \times 273.00) / 808.60 = 33.73$$

$$E62 = (99.90 \times 270.80) / 808.60 = 33.46$$

$$E63 = (99.90 \times 264.80) / 808.60 = 32.72$$

$$E71 = (99.50 \times 273.00) / 808.60 = 33.59$$

$$E72 = (99.50 \times 270.80) / 808.60 = 33.32$$

$$E73 = (99.50 \times 264.80) / 808.60 = 32.58$$

$$E81 = (95.00 \times 273.00) / 808.60 = 32.07$$

$$E82 = (95.00 \times 270.80) / 808.60 = 31.82$$

$$E83 = (95.00 \times 264.80) / 808.60 = 31.11$$

ผลรวมค่าวิกฤตจากการคำนวณ $\chi^2 = \sum \frac{(O-E)^2}{E} = 2.06$

จากตาราง $df = 14$ ระดับความมั่นใจ 95% ($\alpha = 0.05$) ค่าวิกฤต χ^2 เท่ากับ 23.68

เปรียบเทียบค่า χ^2 ที่คำนวณได้เท่ากับ 2.06 กับค่าวิกฤตของ χ^2 ค่าที่คำนวณได้น้อยกว่าค่าวิกฤต อย่างมีนัยสำคัญทางสถิติจึงยอมรับ H_0 ที่ว่าการเสริมเหล็กป้องกัน RB 6, RB 9, DB 10 ในเสาหออนกรีตให้คำกลังอัดในการทดสอบไม่แตกหักกัน

ค. 1.2 การเปรียบเทียบระดับห่างของเหล็กปลอก RB 6 และ RB 9

H_0 = การเสริมเหล็กปลอก RB 6 และ RB 9 ในเสาคอนกรีตให้คำว่าลังอัคในการทดสอบไม่แตกต่างกัน

H_1 = การเสริมเหล็กปลอก RB 6 และ RB 9 ในเสาคอนกรีตให้คำว่าลังอัคในการทดสอบแตกต่างกัน

ระดับห่างเหล็กปลอก (ซม.)	กลุ่ม A (RB 6)	กลุ่ม C (RB 9)	รวม
9.60	35.00	32.70	67.70
14.40	37.80	34.60	72.40
19.20	36.00	35.20	71.20
24.00	36.00	34.50	70.50
28.80	33.00	31.70	64.70
33.60	30.60	35.30	65.90
38.40	33.30	34.20	67.50
43.20	31.30	32.60	63.90
รวม	273.00	270.80	543.80

จำนวนหา Expected frequency

$$E11 = (67.70 \times 273.00) / 543.80 = 33.99$$

$$E12 = (67.70 \times 270.80) / 543.80 = 33.71$$

$$E21 = (72.40 \times 273.00) / 543.80 = 36.35$$

$$E22 = (72.40 \times 270.80) / 543.80 = 36.05$$

$$E31 = (71.20 \times 273.00) / 543.80 = 35.74$$

$$E32 = (71.20 \times 270.80) / 543.80 = 35.46$$

$$E41 = (70.50 \times 273.00) / 543.80 = 35.39$$

$$E42 = (70.50 \times 270.80) / 543.80 = 35.11$$

$$E51 = (64.70 \times 273.00) / 543.80 = 32.48$$

$$E52 = (64.70 \times 270.80) / 543.80 = 32.22$$

$$E61 = (65.90 \times 273.00) / 543.80 = 33.08$$

$$E62 = (65.90 \times 270.80) / 543.80 = 32.82$$

$$E71 = (65.90 \times 273.00) / 543.80 = 33.89$$

$$E72 = (67.50 \times 270.80) / 543.80 = 33.61$$

$$E81 = (63.90 \times 273.00) / 543.80 = 32.08$$

$$E82 = (63.90 \times 270.80) / 543.80 = 31.82$$

ผลรวมค่าวิกฤตจากการคำนวณ $\chi^2 = \sum \frac{(O - E)^2}{E} = 0.67$

จากตาราง $df = 7$ ณ ระดับความมั่นใจ 95% ($\alpha = 0.05$) ค่าวิกฤต χ^2 เท่ากับ 14.07

เปรียบเทียบค่า χ^2 ที่คำนวณได้เท่ากับ 0.67 กับค่าวิกฤตของ χ^2 ค่าที่คำนวณได้น้อยกว่าค่าวิกฤต อย่างมีนัยสำคัญทางสถิติซึ่งยอมรับ H_0 ที่ว่าการเสริมเหล็กปลอก RB 6 และ RB 9 ในเสาคอนกรีตให้คำถังอัดในการทดสอบไม่แตกต่างกัน

ค. 1.3 การเปรียบเทียบระดับห่างของเหล็กปلوก RB 6 และ DB 10

H_0 = การเสริมเหล็กปلوก RB 6 และ DB 10 ในเสาคอนกรีตให้คำว่าลังอัดในการทดสอบไม่แตกต่างกัน

H_1 = การเสริมเหล็กปلوก RB 6 และ DB 10 ในเสาคอนกรีตให้คำว่าลังอัดในการทดสอบแตกต่างกัน

ระยะห่างเหล็กปلوก (ซม.)	กลุ่ม A (RB 6)	กลุ่ม C (DB 10)	รวม
9.60	35.00	34.10	69.10
14.40	37.80	33.60	71.40
19.20	36.00	28.20	64.20
24.00	36.00	36.60	72.60
28.80	33.00	35.20	68.20
33.60	30.60	34.00	64.60
38.40	33.30	32.00	65.30
43.20	31.30	31.10	62.40
รวม	273.00	264.80	537.80

จำนวนค่า Expected frequency

$$E_{11} = (69.10 \times 273.00) / 537.80 = 35.08$$

$$E_{12} = (69.10 \times 264.80) / 537.80 = 34.02$$

$$E_{21} = (71.40 \times 273.00) / 537.80 = 36.24$$

$$E_{22} = (71.40 \times 264.80) / 537.80 = 35.16$$

$$E_{31} = (64.20 \times 273.00) / 537.80 = 32.59$$

$$E_{32} = (64.20 \times 264.80) / 537.80 = 31.61$$

$$E_{41} = (72.60 \times 273.00) / 537.80 = 36.85$$

$$E_{42} = (72.60 \times 264.80) / 537.80 = 35.75$$

$$E_{51} = (68.20 \times 273.00) / 537.80 = 34.62$$

$$E_{52} = (68.20 \times 264.80) / 537.80 = 33.58$$

$$E61 = (64.60 \times 273.00) / 543.80 = 32.79$$

$$E62 = (64.60 \times 264.80) / 543.80 = 31.81$$

$$E71 = (65.30 \times 273.00) / 543.80 = 33.15$$

$$E72 = (65.30 \times 264.80) / 543.80 = 32.15$$

$$E81 = (62.40 \times 273.00) / 543.80 = 31.68$$

$$E82 = (62.40 \times 264.80) / 543.80 = 30.72$$

ผลรวมค่าวิกฤตจากการคำนวณ $\chi^2 = \sum \frac{(O-E)^2}{E} = 1.36$

จากตาราง df = 7 ณ ระดับความมั่นใจ 95% ($\alpha = 0.05$) ค่าวิกฤต χ^2 เท่ากับ 14.07

เปรียบเทียบค่า χ^2 ที่คำนวณได้เท่ากับ 1.36 กับค่าวิกฤตของ χ^2 ค่าที่คำนวณได้น้อยกว่าค่าวิกฤต อย่างมีนัยสำคัญทางสถิติจึงยอมรับ H_0 ที่ว่าการเสริมเหล็กปลอก RB 6 และ DB 10 ในเสาคอนกรีตให้ค่ากำลังอัดในการทดสอบไม่แตกต่างกัน

ค. 1.4 การเปรียบเทียบระยะห่างของเหล็กปลอก RB 9 และ DB 10

H_0 = การเสริมเหล็กปลอก RB 9 และ DB 10 ในเสาคอนกรีตให้คำว่ากำลังอัดในการทดสอบไม่แตกต่างกัน

H_1 = การเสริมเหล็กปลอก RB 9 และ DB 10 ในเสาคอนกรีตให้คำว่ากำลังอัดในการทดสอบแตกต่างกัน

ระยะห่างเหล็กปลอก (ซม.)	กลุ่ม B (RB 9)	กลุ่ม C (DB 10)	รวม
9.60	32.70	34.10	66.80
14.40	34.60	33.60	68.20
19.20	35.20	28.20	63.20
24.00	34.50	36.60	71.10
28.80	31.70	35.20	66.90
33.60	35.30	34.00	69.30
38.40	34.20	32.00	66.20
43.20	32.60	31.10	63.70
รวม	270.80	264.80	535.60

จำนวนท่า Expected frequency

$$E_{11} = (66.80 \times 270.80) / 543.80 = 33.77$$

$$E_{12} = (66.80 \times 264.80) / 543.80 = 33.03$$

$$E_{21} = (68.20 \times 270.80) / 543.80 = 34.48$$

$$E_{22} = (68.20 \times 264.80) / 543.80 = 33.72$$

$$E_{31} = (63.40 \times 270.80) / 543.80 = 32.06$$

$$E_{32} = (63.40 \times 264.80) / 543.80 = 31.34$$

$$E_{41} = (71.10 \times 270.80) / 543.80 = 35.95$$

$$E_{42} = (71.10 \times 264.80) / 543.80 = 35.15$$

$$E_{51} = (66.90 \times 270.80) / 543.80 = 33.82$$

$$E52 = (66.90 \times 264.80) / 543.80 = 33.08$$

$$E61 = (69.30 \times 270.80) / 543.80 = 35.04$$

$$E62 = (69.30 \times 264.80) / 543.80 = 34.26$$

$$E71 = (66.20 \times 270.80) / 543.80 = 33.47$$

$$E72 = (66.20 \times 264.80) / 543.80 = 32.73$$

$$E81 = (63.70 \times 270.80) / 543.80 = 32.21$$

$$E82 = (63.70 \times 264.80) / 543.80 = 31.49$$

ผลรวมค่าวิกฤตจากการคำนวณ $\chi^2 = \sum \frac{(O - E)^2}{E} = 1.13$

หากตาราง $df = 7$ ระดับความมั่นใจ 95% ($\alpha = 0.05$) ค่าวิกฤต χ^2 เท่ากับ 14.07

เปรียบเทียบค่า χ^2 ที่คำนวณได้เท่ากับ 1.13 กับค่าวิกฤตของ χ^2 ค่าที่คำนวณได้น้อยกว่าค่าวิกฤต อย่างมีนัยสำคัญทางสถิติซึ่งยอมรับ H_0 ที่ว่าการเสริมเหล็กป้องกัน RB 9 และ DB 10 ในเสาคอนกรีตให้ค่ากำลังอัดในการหดคล่องไม่แตกต่างกัน

ค. 2 การเปรียบเทียบชนิดของเหล็กปلوตอก

ค. 2.1 การเปรียบเทียบชนิดของเหล็กปلوตอกระหว่าง RB 6 และ DB 10

H_0 = การเสริมเหล็กปلوตอก RB 6 และ DB 10 ในเสาคอนกรีตให้คำถังอัศ日在การทดลองไม่แตกต่างกัน

H_1 = การเสริมเหล็กปلوตอก RB 6 และ DB 10 ในเสาคอนกรีตให้คำถังอัศ日在การทดลองแตกต่างกัน

ระยะห่างเหล็กปلوตอก (ซม.)	กลุ่ม A (RB 6)	กลุ่ม C (DB 10)	รวม
9.60	35.00	34.10	69.10
14.40	37.80	33.60	71.40
19.20	36.00	28.20	64.20
24.00	36.00	36.60	72.60
28.80	33.00	35.20	68.20
33.60	30.60	34.00	64.60
38.40	33.30	32.00	65.30
43.20	31.30	31.10	62.40
รวม	273.00	264.80	537.80

ค่าคาดคะเนค่า Expected frequency

$$E_{11} = (69.10 \times 273.00) / 537.80 = 35.08$$

$$E_{12} = (69.10 \times 264.80) / 537.80 = 34.02$$

$$E_{21} = (71.40 \times 273.00) / 537.80 = 36.24$$

$$E_{22} = (71.40 \times 264.80) / 537.80 = 35.16$$

$$E_{31} = (64.20 \times 273.00) / 537.80 = 32.59$$

$$E_{32} = (64.20 \times 264.80) / 537.80 = 31.61$$

$$E_{41} = (72.60 \times 273.00) / 537.80 = 36.85$$

$$E_{42} = (72.60 \times 264.80) / 537.80 = 35.75$$

$$E_{51} = (68.20 \times 273.00) / 537.80 = 34.62$$

$$E52 = (68.20 \times 264.80) / 543.80 = 33.58$$

$$E61 = (64.60 \times 273.00) / 543.80 = 32.79$$

$$E62 = (64.60 \times 264.80) / 543.80 = 31.81$$

$$E71 = (65.30 \times 273.00) / 543.80 = 33.15$$

$$E72 = (65.30 \times 264.80) / 543.80 = 32.15$$

$$E81 = (62.40 \times 273.00) / 543.80 = 31.68$$

$$E82 = (62.40 \times 264.80) / 543.80 = 30.72$$

ผลรวมค่าวิกฤตจากการคำนวณ $\chi^2 = \sum \frac{(O-E)^2}{E} = 1.36$

จากตาราง $df = 7$ ณ ระดับความมั่นใจ 95% ($\alpha = 0.05$) ค่าวิกฤต χ^2 เท่ากับ 14.07

เปรียบเทียบค่า χ^2 ที่คำนวณได้เท่ากับ 1.36 กับค่าวิกฤตของ χ^2 ค่าที่คำนวณได้น้อยกว่าค่าวิกฤต อย่างมีนัยสำคัญทางสถิติซึ่งยอมรับ H_0 ที่ว่าการเสริมเหล็กปลอก RB 6 และ DB 10 ในเสาคอนกรีตให้ค่ากำลังอัดในการทดสอบไม่แตกต่างกัน

ค. 2.2 การเปรียบเทียบชนิดของเหล็กปืนกระหง RB 9 และ DB 10

H_0 = การเสริมเหล็กปืนกระหง RB 9 และ DB 10 ในเสาคอนกรีตให้คำจำถังอัคในการทดสอบไม่แตกต่างกัน

H_1 = การเสริมเหล็กปืนกระหง RB 9 และ DB 10 ในเสาคอนกรีตให้คำจำถังอัคในการทดสอบแตกต่างกัน

ระยะห่างเหล็กปืน (ซม.)	กลุ่ม B (RB 9)	กลุ่ม C (DB 10)	รวม
9.60	32.70	34.10	66.80
14.40	34.60	33.60	68.20
19.20	35.20	28.20	63.20
24.00	34.50	36.60	71.10
28.80	31.70	35.20	66.90
33.60	35.30	34.00	69.30
38.40	34.20	32.00	66.20
43.20	32.60	31.10	63.70
รวม	270.80	264.80	535.60

ค่านวณหา Expected frequency

$$E_{11} = (66.80 \times 270.80) / 543.80 = 33.77$$

$$E_{12} = (66.80 \times 264.80) / 543.80 = 33.03$$

$$E_{21} = (68.20 \times 270.80) / 543.80 = 34.48$$

$$E_{22} = (68.20 \times 264.80) / 543.80 = 33.72$$

$$E_{31} = (63.20 \times 270.80) / 543.80 = 32.06$$

$$E_{32} = (63.20 \times 264.80) / 543.80 = 31.34$$

$$E_{41} = (71.10 \times 270.80) / 543.80 = 35.95$$

$$E_{42} = (71.10 \times 264.80) / 543.80 = 35.15$$

$$E_{51} = (66.90 \times 270.80) / 543.80 = 33.82$$

$$E52 = (66.90 \times 264.80) / 543.80 = 33.08$$

$$E61 = (69.30 \times 270.80) / 543.80 = 35.04$$

$$E62 = (69.30 \times 264.80) / 543.80 = 34.26$$

$$E71 = (66.20 \times 270.80) / 543.80 = 33.47$$

$$E72 = (66.20 \times 264.80) / 543.80 = 32.73$$

$$E81 = (63.70 \times 270.80) / 543.80 = 32.21$$

$$E82 = (63.70 \times 264.80) / 543.80 = 31.49$$

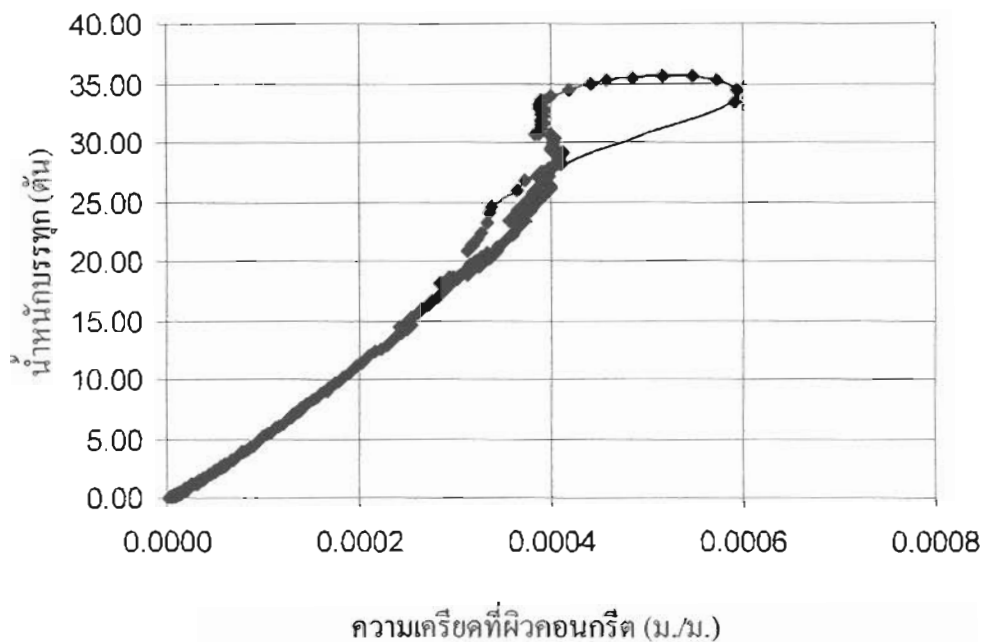
ผลรวมค่าวิกฤตจากการคำนวณ $\chi^2 = \sum \frac{(O - E)^2}{E} = 1.13$

จากตาราง $df = 7$ ระดับความมั่นใจ 95% ($\alpha = 0.05$) ค่าวิกฤต χ^2 เท่ากับ 14.07

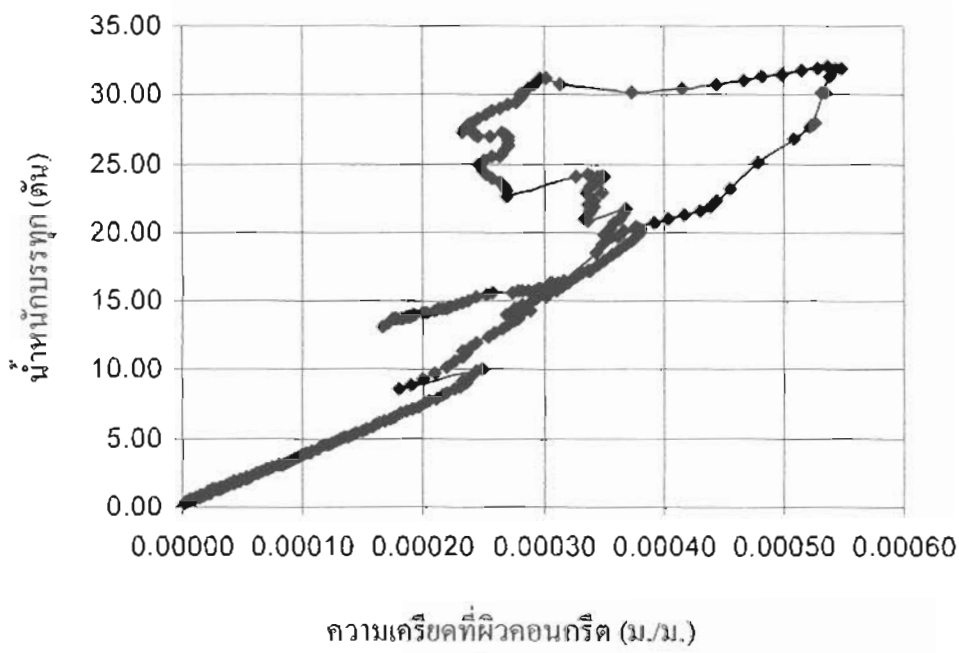
เปรียบเทียบค่า χ^2 ที่คำนวณได้เท่ากับ 1.13 กับค่าวิกฤตของ χ^2 ค่าที่คำนวณได้น้อยกว่าค่าวิกฤต อย่างมีนัยสำคัญทางสถิติจึงยอมรับ H_0 ที่ว่าการเสริมเหล็กปลอก RB 9 และ DB 10 ในเสากونกรีตให้คำถังอัดในการทดสอบไม่แตกต่างกัน

ភាគធម្មោគ ៤.

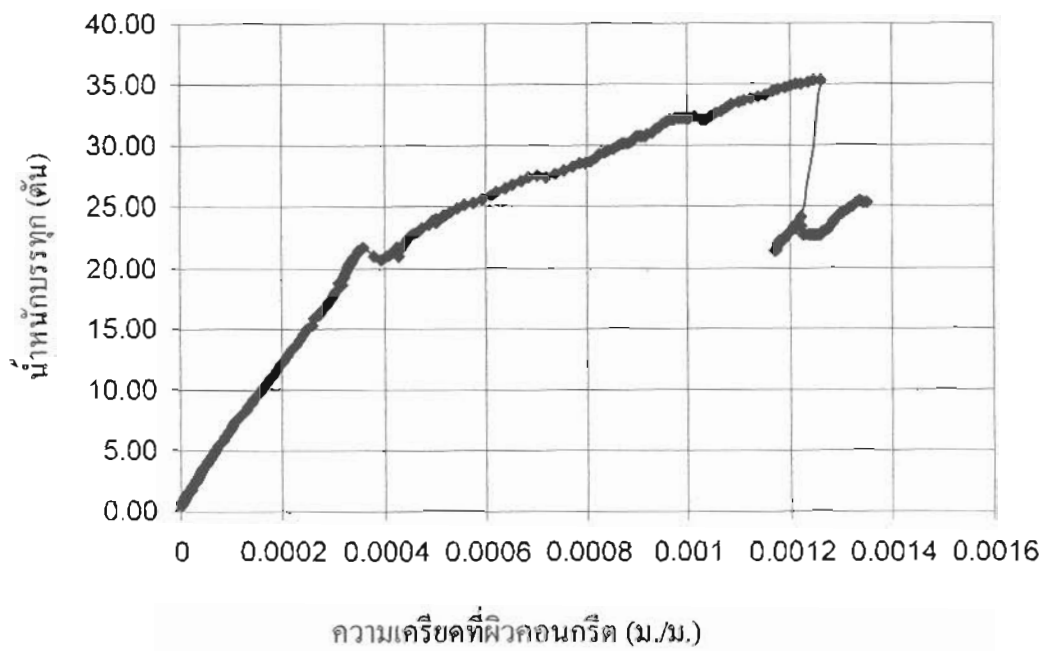
๔. กราฟความสัมพันธ์ระหว่างน้ำหนักบรรทุกและความเครียดที่ผิวคอนกรีต



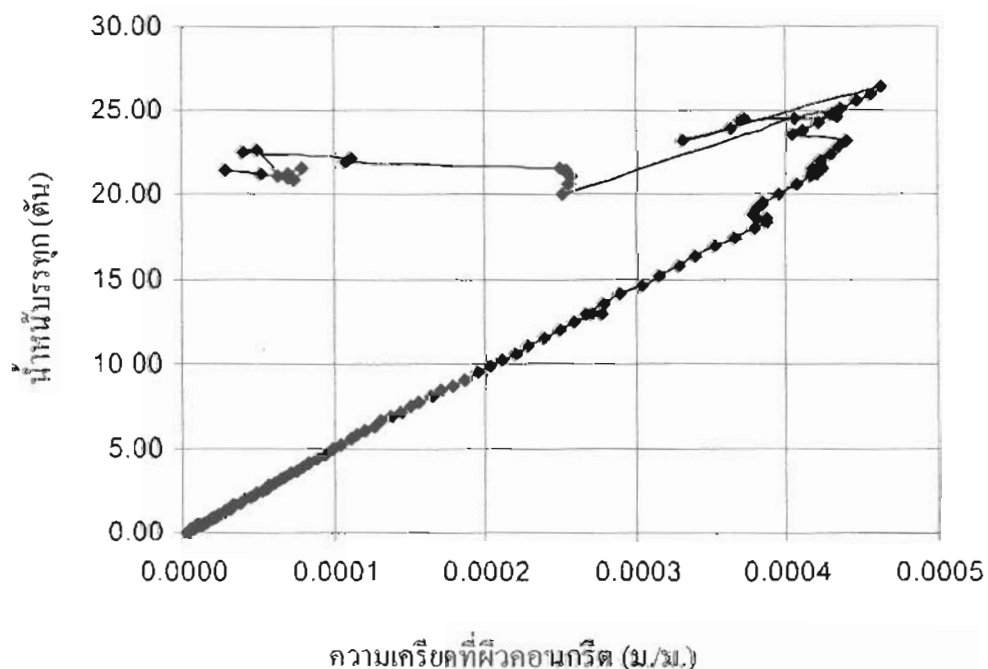
ภาพที่ ๔-๑ กราฟแสดงความสัมพันธ์ระหว่างน้ำหนักบรรทุกและความเครียดที่ผิวคอนกรีต A14/2



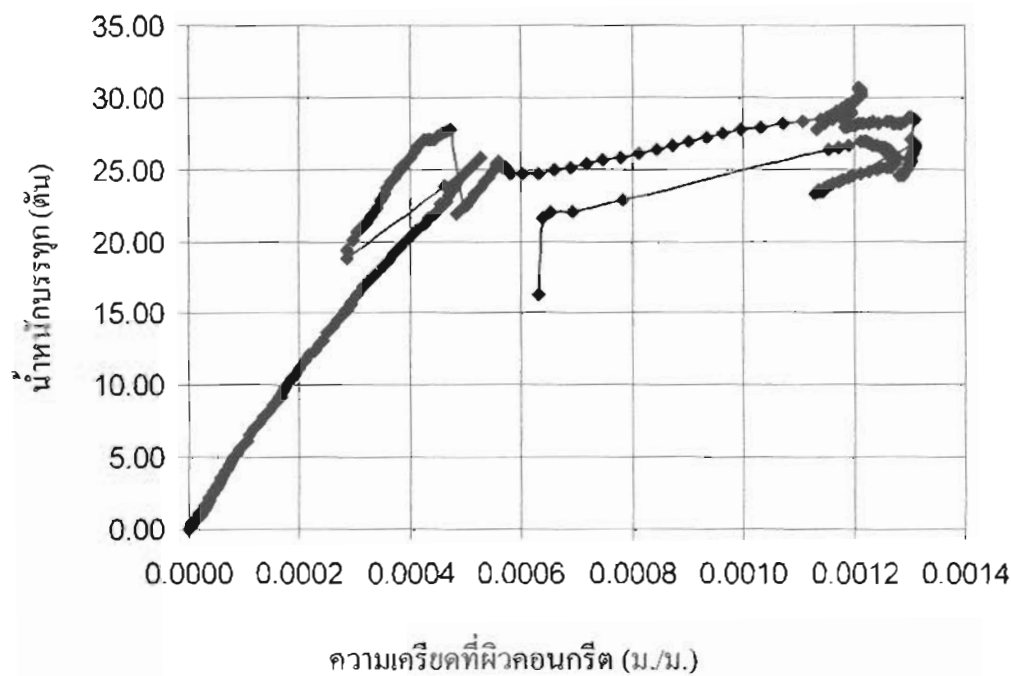
ภาพที่ ๔-๒ กราฟแสดงความสัมพันธ์ระหว่างน้ำหนักบรรทุกและความเครียดที่ผิวคอนกรีต A19/2



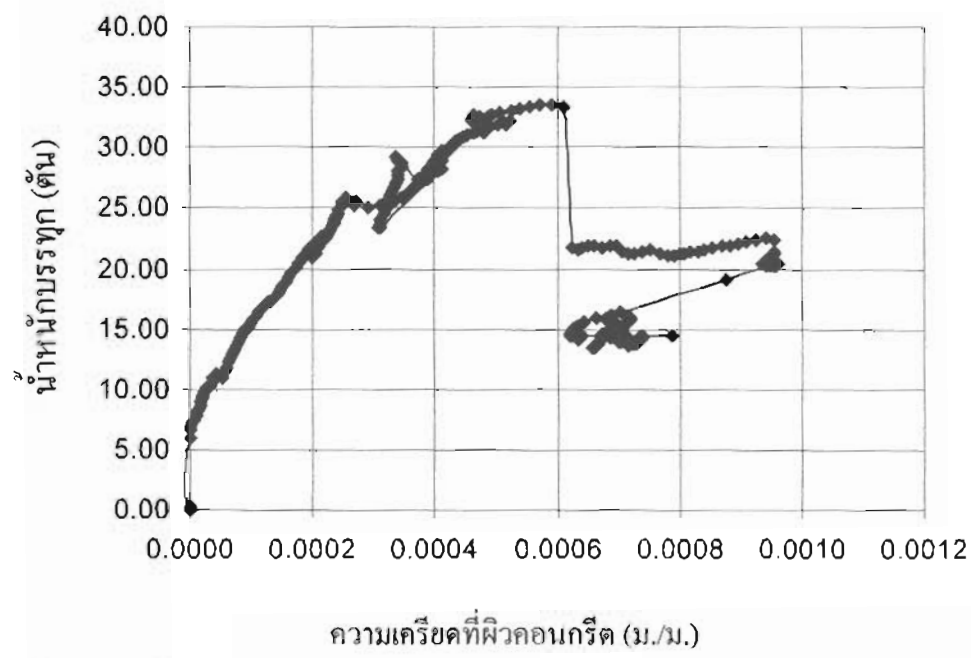
ภาพที่ ๔-๓ กราฟแสดงความสัมพันธ์ระหว่างน้ำหนักบรรทุกและความเครียดที่ผิวคอนกรีต A24/2



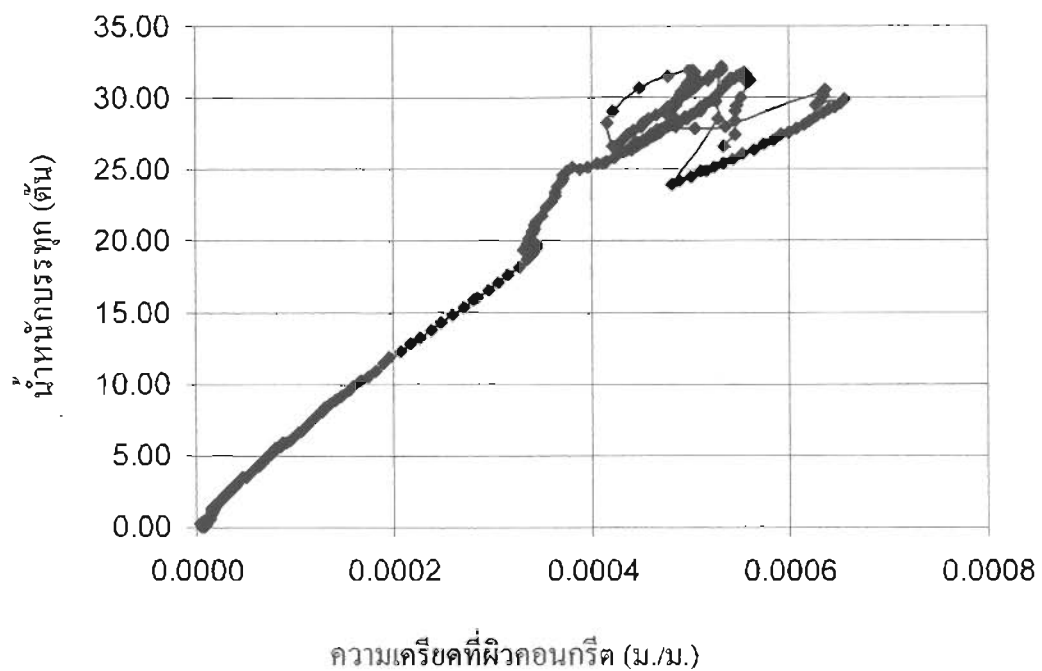
ภาพที่ ๔-๔ กราฟแสดงความสัมพันธ์ระหว่างน้ำหนักบรรทุกและความเครียดที่ผิวคอนกรีต A29/2



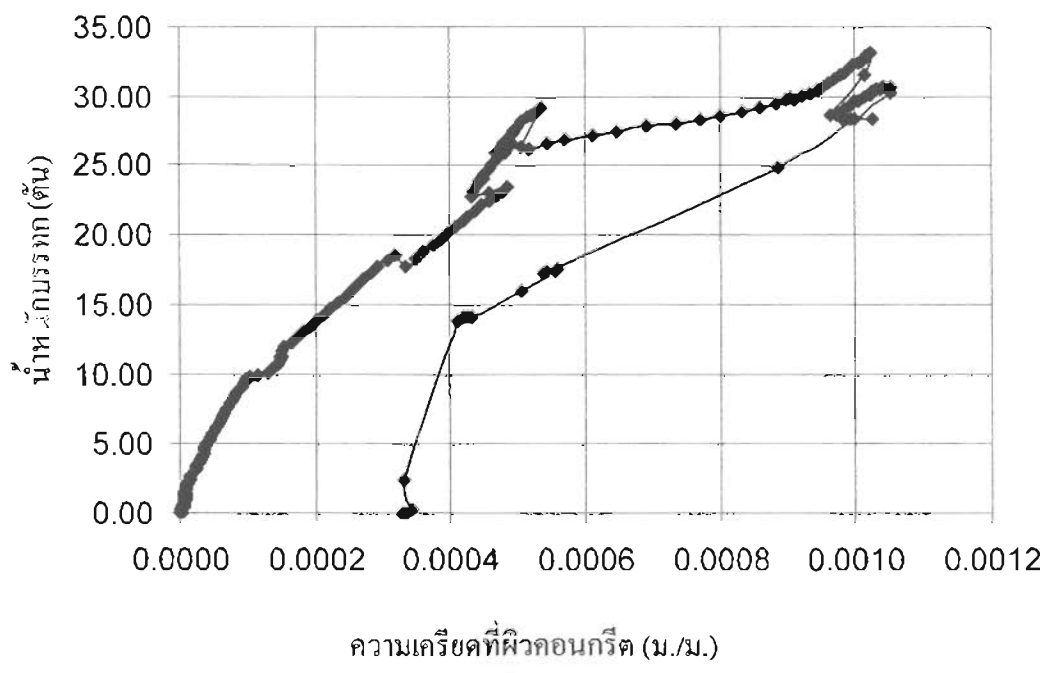
ภาพที่ ๔-๕ กราฟแสดงความสัมพันธ์ระหว่างน้ำหนักบรรทุกและความเครียดที่ผิวคอนกรีต B14/2



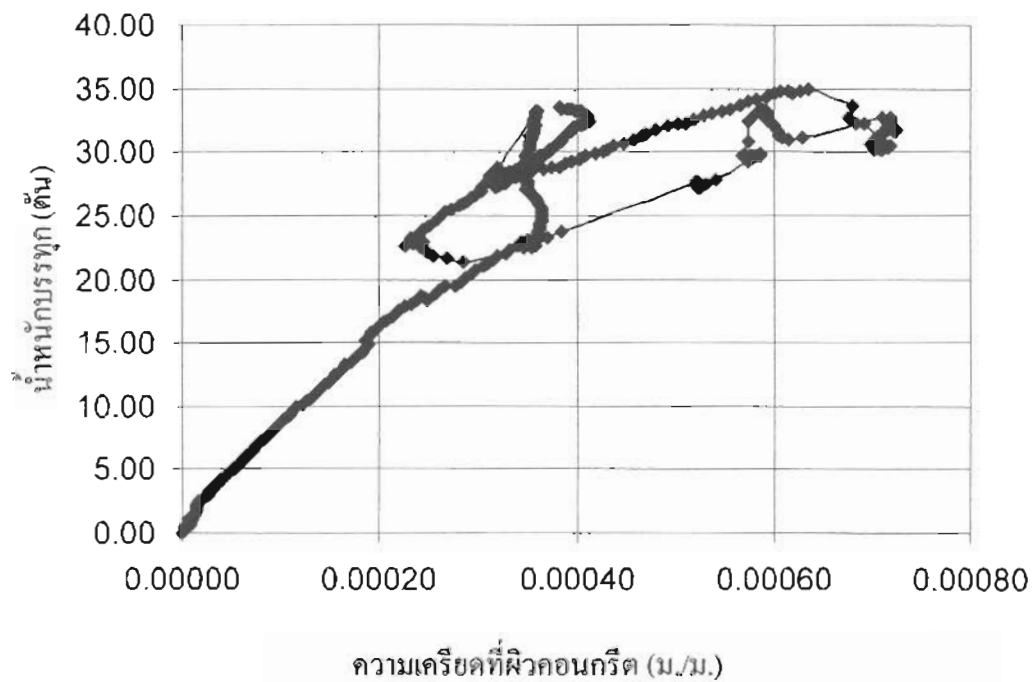
ภาพที่ ๔-๖ กราฟแสดงความสัมพันธ์ระหว่างน้ำหนักบรรทุกและความเครียดที่ผิวคอนกรีต B19/2



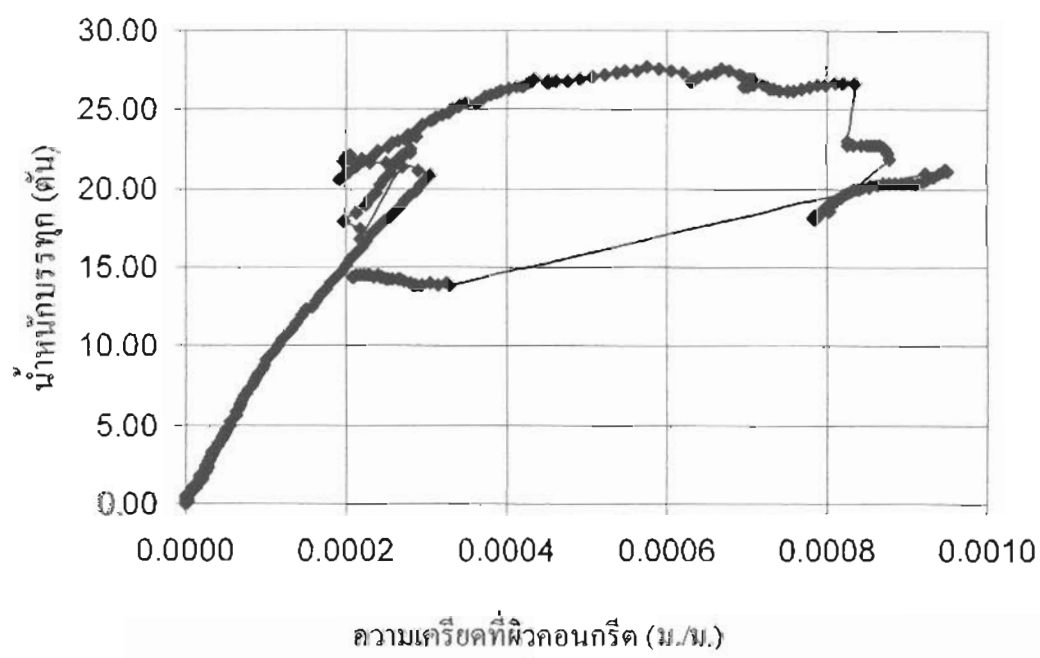
ภาพที่ 4-7 กราฟแสดงความสัมพันธ์ระหว่างน้ำหนักบรรทุกและความเครียดที่ผิวคอนกรีต B24/2



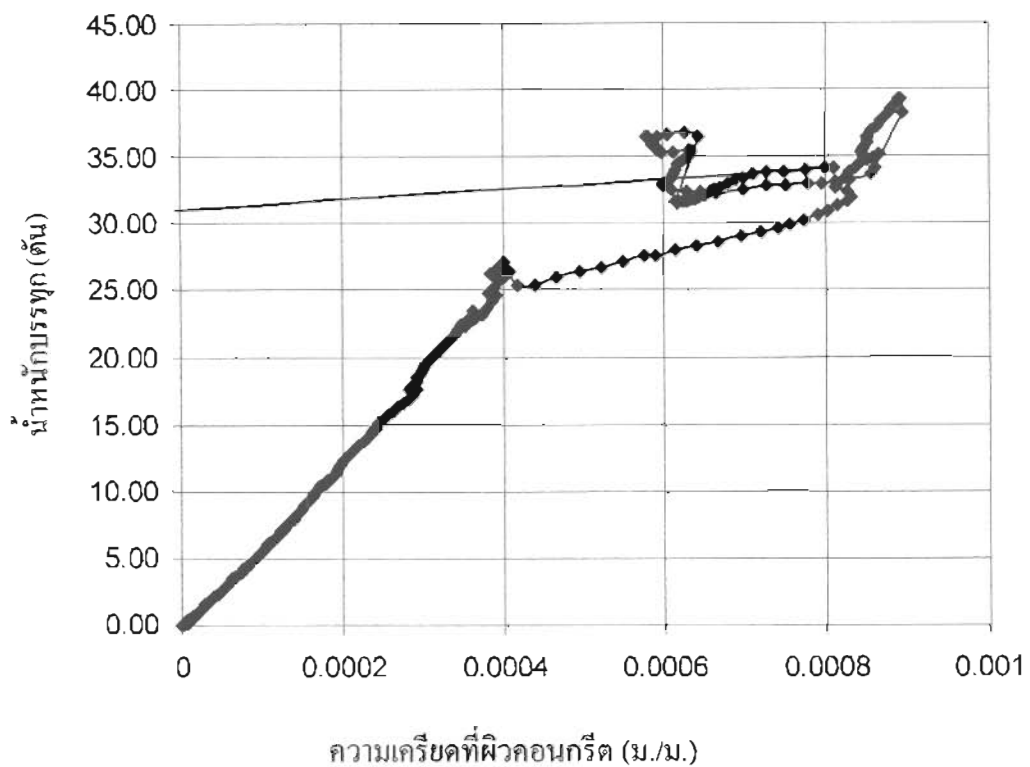
ภาพที่ 4-8 กราฟแสดงความสัมพันธ์ระหว่างน้ำหนักบรรทุกและความเครียดที่ผิวคอนกรีต B43/2



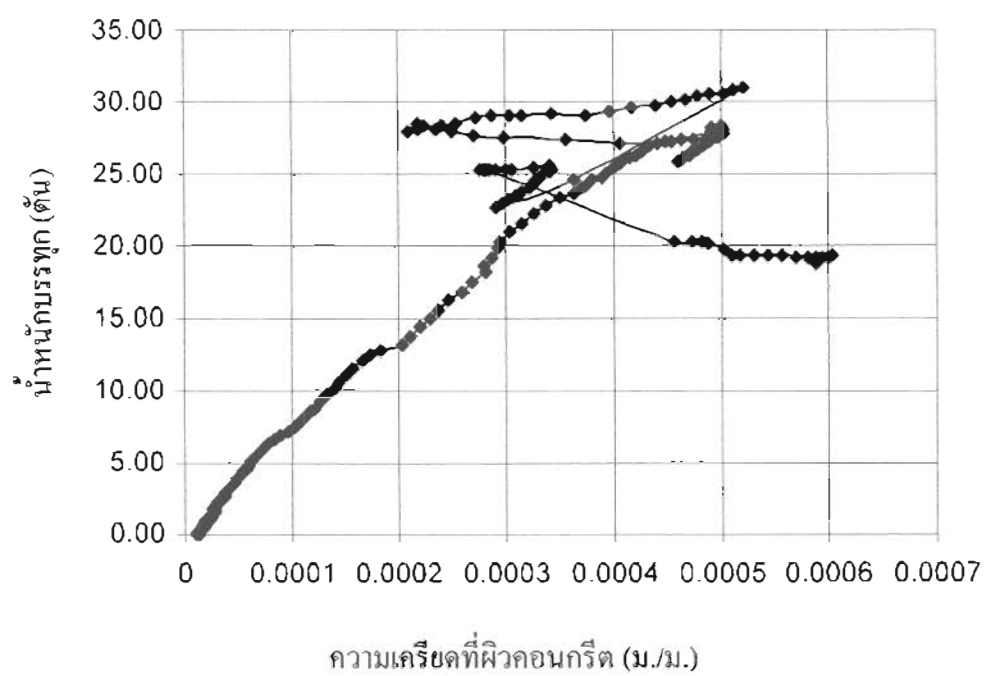
ภาพที่ ๔-๙ 그래ฟแสดงความสัมพันธ์ระหว่างน้ำหนักบรรทุกและความเครียดที่ผิวคอนกรีต C14/2



ภาพที่ ๔-๑๐ 그래ฟแสดงความสัมพันธ์ระหว่างน้ำหนักบรรทุกและความเครียดที่ผิวคอนกรีต C19/2



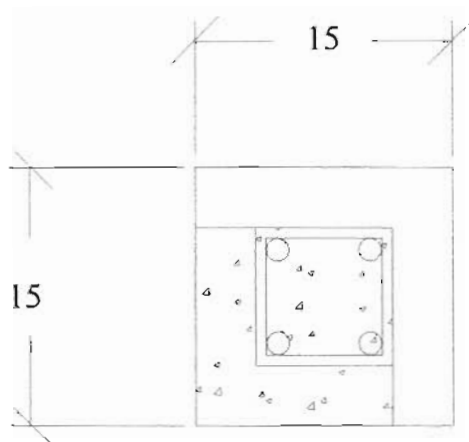
ภาพที่ 4-11 กราฟแสดงความสัมพันธ์ระหว่างน้ำหนักบรรทุกและความเครียดที่ผิวคอนกรีต C24/2



ภาพที่ 4-12 กราฟแสดงความสัมพันธ์ระหว่างน้ำหนักบรรทุกและความเครียดที่ผิวคอนกรีต C48/2

ภาคผนวก จ.

จ. การคำนวณกำลังรับแรงอัดของเสาตามแนวแกนของเสาคอนกรีตเสริมเหล็ก



เสาคอนกรีตขนาด 15×15 ซม. เสริมเหล็กบีบ 4-DB 12 มน.

$$P_s = 0.85 f_c A_c + f_s A_{st}$$

P_s = กำลังรับแรงอัดของเสาตามแนวแกนของเสาคอนกรีตเสริมเหล็ก

f_c = 212 ksc (กำลังรับแรงอัดของคอนกรีต)

A_c = เนื้อที่แน่นคอนกรีตที่รับแรงกดจากเครื่องทดสอบ

f_s = ความเก็บ力ของเหล็กเสริม

A_{st} = พื้นที่หน้าตัดของเหล็กเสริมตามแนวแกนทั้งหมด

$$\begin{aligned} A_c &= (15 \times 15) - (3.50 \times 15) - (3.50 \times 11.50) \\ &= 132.25 \text{ cm}^2 \end{aligned}$$

$$\begin{aligned} f_s &= \varepsilon E_s \\ &= (834.35 \times 10^6) \times (2.04 \times 10^6) \end{aligned}$$

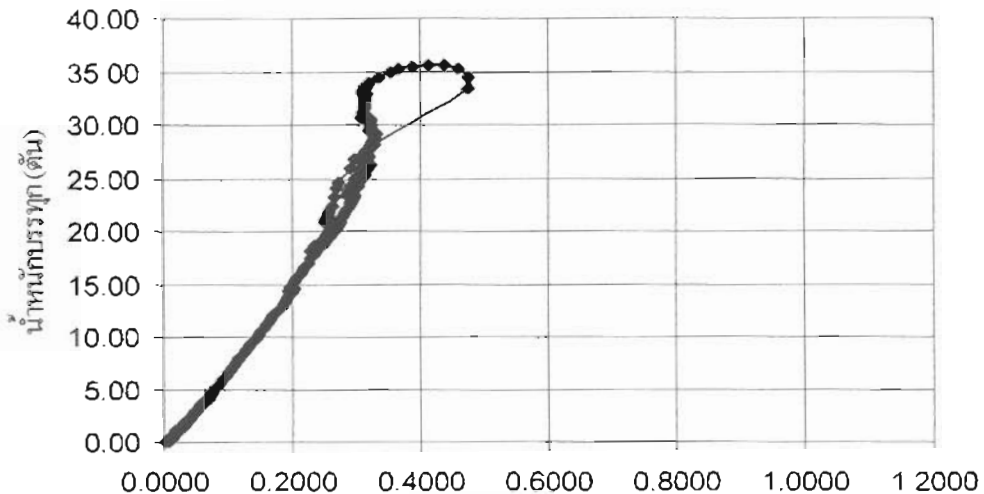
$$= 1,702 \text{ ksc}$$

$$P_s = 0.85 \times 212 \times 132.25 + 1,702 \times 4.08$$

$$P_s = 30.78 \text{ ตัน}$$

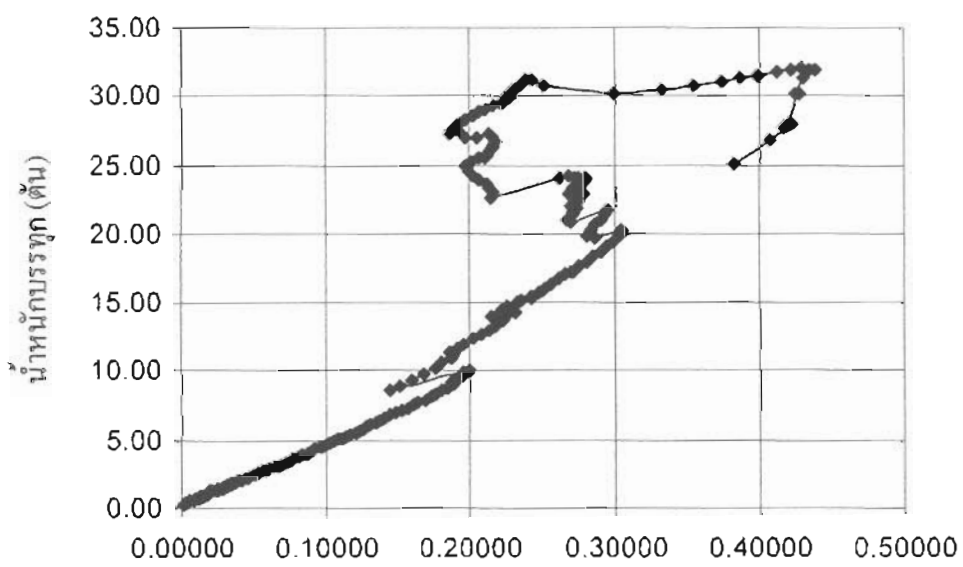
នាកែងនេរី ន.

ฉ. ความสัมพันธ์ระหว่างน้ำหนักบรรทุกและการเสียรูปตามแนวแกนจากมาตรฐานการวัดความเครียดที่ผิวคอนกรีต



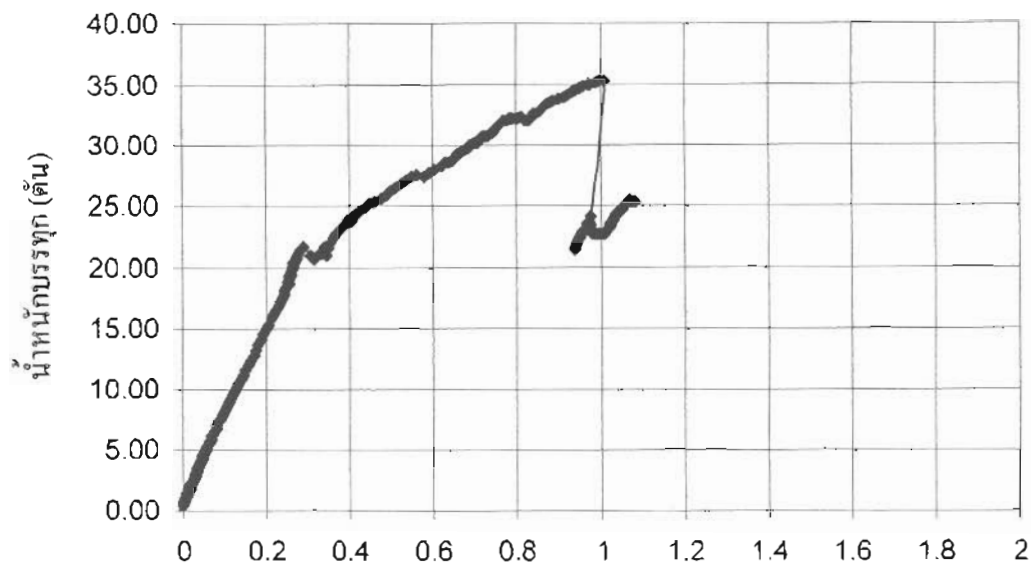
การเสียรูปตามแนวแกน ม.ม.

ภาพที่ ฉ-1 ความสัมพันธ์ระหว่างน้ำหนักบรรทุกและการเสียรูปตามแนวแกนจากมาตรฐานการวัดความเครียดที่ผิวคอนกรีต A14/2



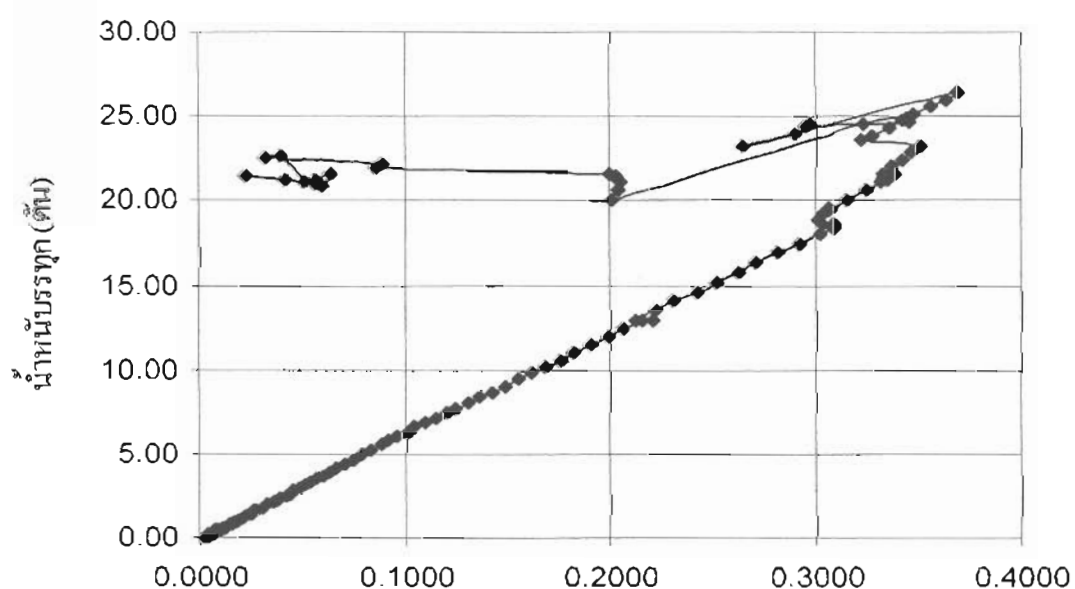
การเสียรูปตามแนวแกน ม.ม.

ภาพที่ ฉ-2 ความสัมพันธ์ระหว่างน้ำหนักบรรทุกและการเสียรูปตามแนวแกนจากมาตรฐานการวัดความเครียดที่ผิวคอนกรีต A19/2



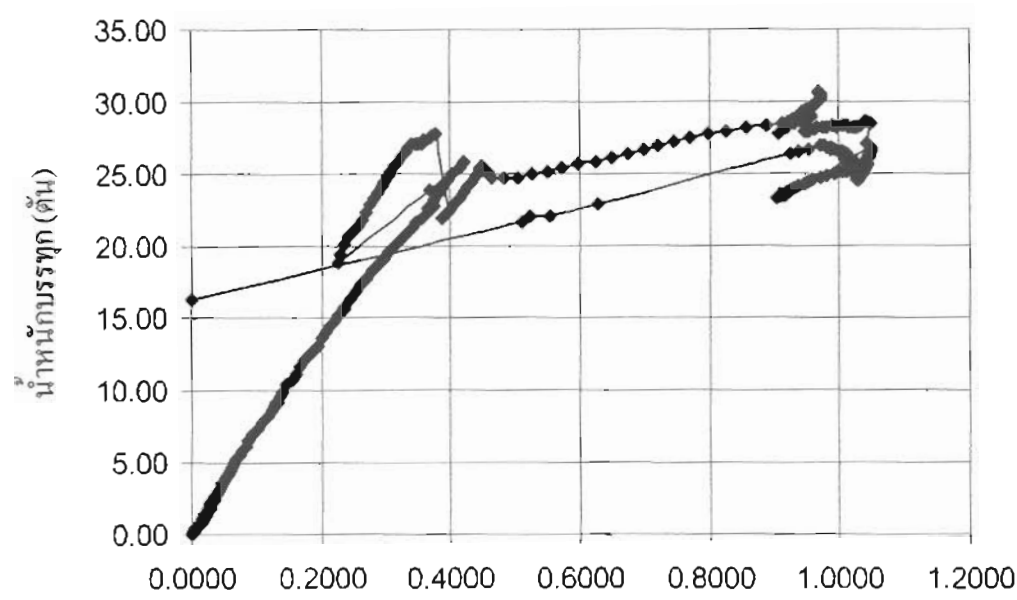
การเสิร์ปตามแนวแกน ม.ม.

ภาพที่ ฉ-3 ความสัมพันธ์ระหว่างน้ำกับแรงต้านและการเสิร์ปตามแนวแกนจากมาตรวัด
ความเครียดที่ผิวคอนกรีต A24/2



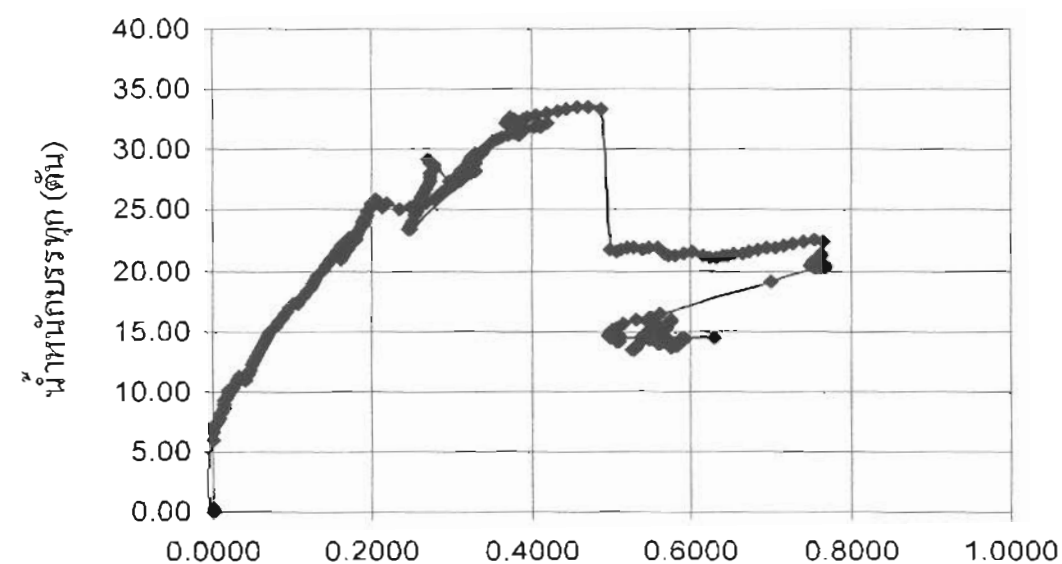
การเสิร์ปตามแนวแกน ม.ม.

ภาพที่ ฉ-4 ความสัมพันธ์ระหว่างน้ำกับแรงต้านและการเสิร์ปตามแนวแกนจากมาตรวัด
ความเครียดที่ผิวคอนกรีต A29/2



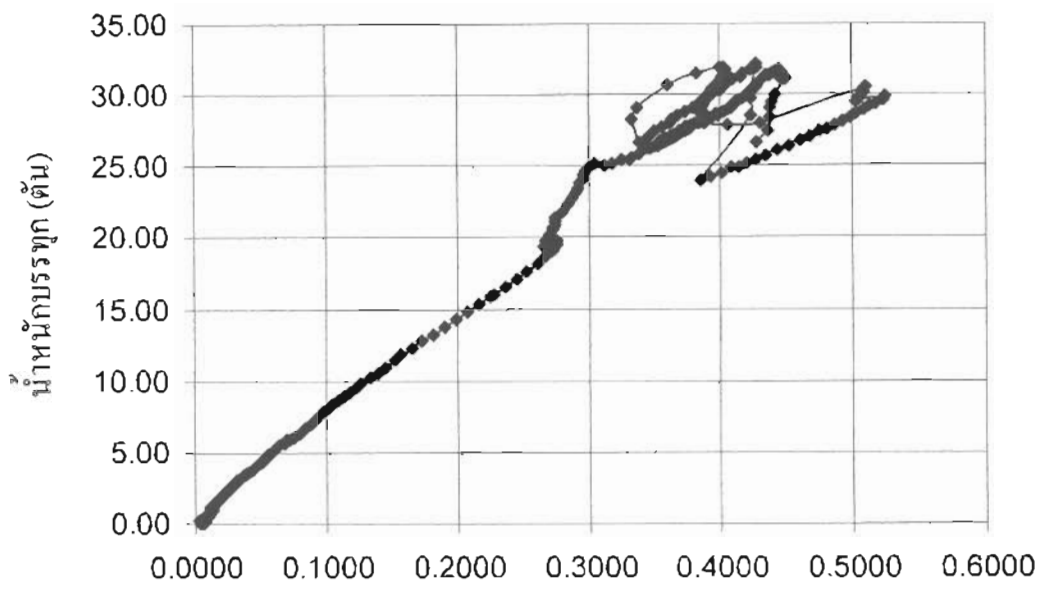
การเสียบูปตามแนวแกน น.ม.

ภาพที่ ฉ-5 ความสัมพันธ์ระหว่างน้ำหนักบรรทุกและการเสียบูปตามแนวแกนจากมาตรฐาน
ความเครียดที่ผิวคอนกรีต B14/2



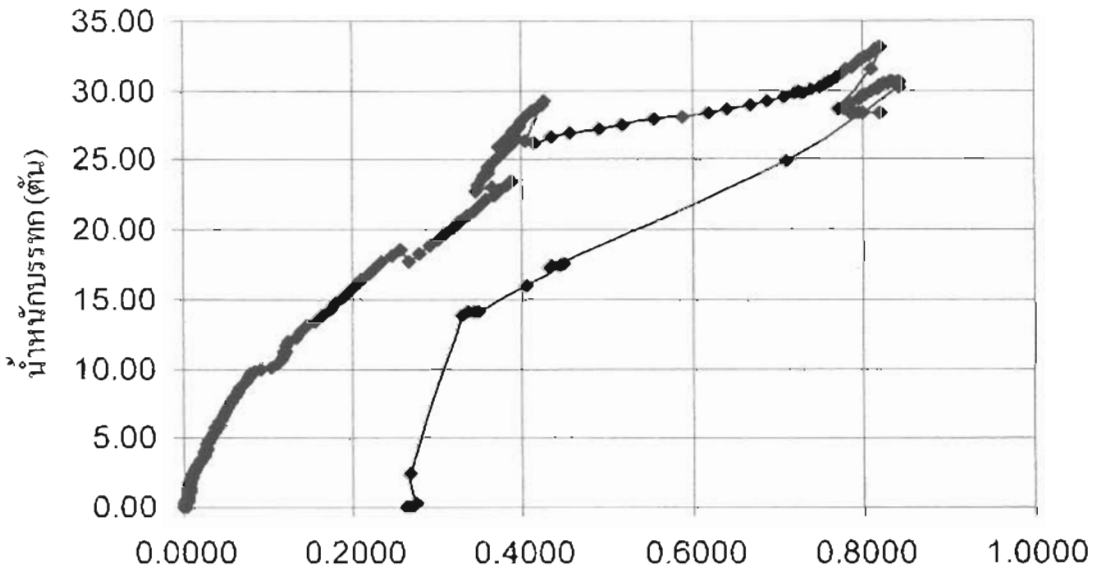
การเสียบูปตามแนวแกน น.ม.

ภาพที่ ฉ-6 ความสัมพันธ์ระหว่างน้ำหนักบรรทุกและการเสียบูปตามแนวแกนจากมาตรฐาน
ความเครียดที่ผิวคอนกรีต B19/2



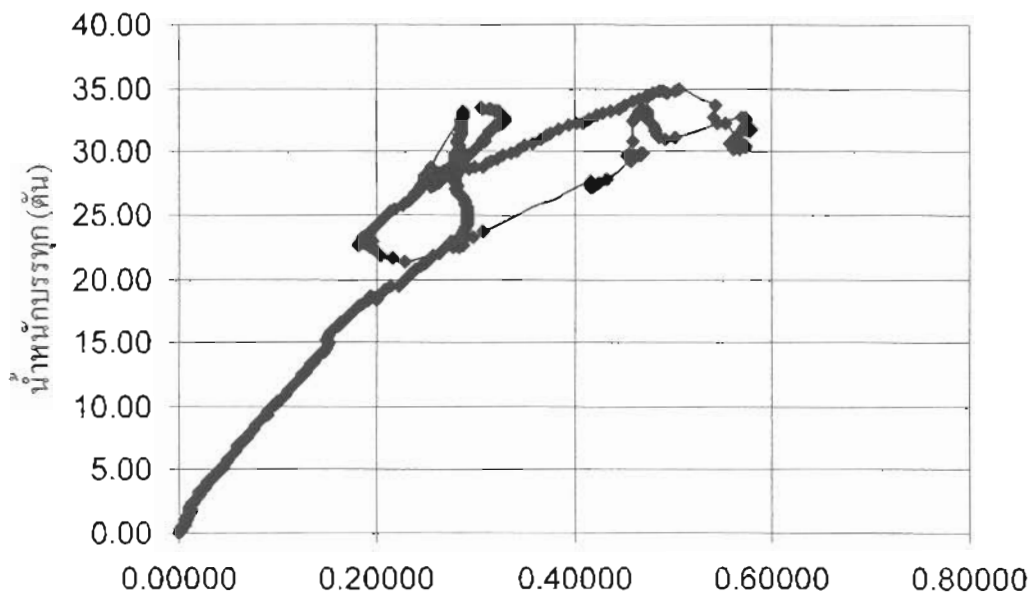
การเสียบสูบตามแนวแกน ม.ม.

ภาพที่ ฉ-7 ความสัมพันธ์ระหว่างน้ำหนักบรรทุกและการเสียบสูบตามแนวแกนจากมาตรฐาน
ความเครียดที่ผิวคอนกรีต B24/2



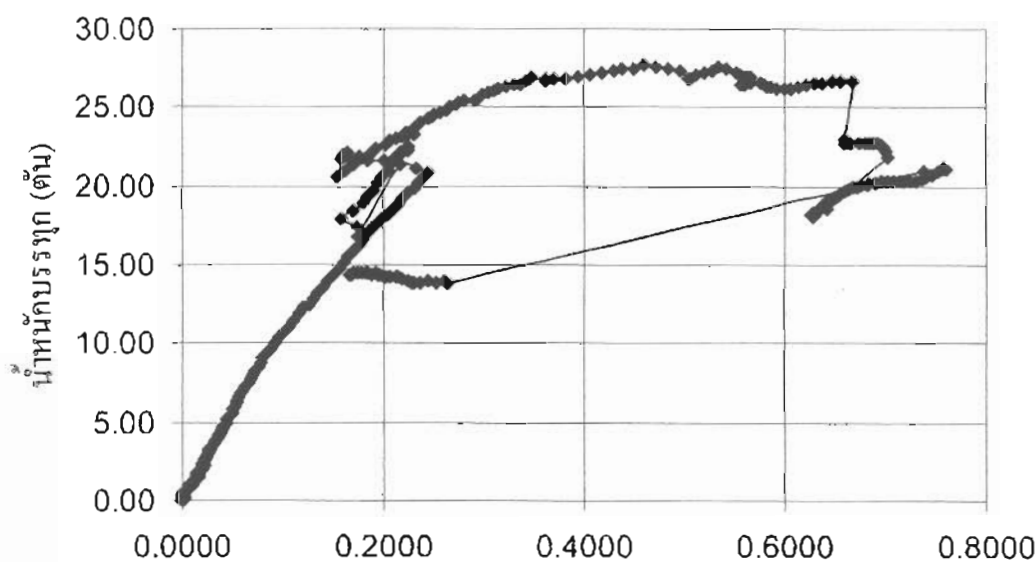
การเสียบสูบตามแนวแกน ม.ม.

ภาพที่ ฉ-8 ความสัมพันธ์ระหว่างน้ำหนักบรรทุกและการเสียบสูบตามแนวแกนจากมาตรฐาน
ความเครียดที่ผิวคอนกรีต B43/2



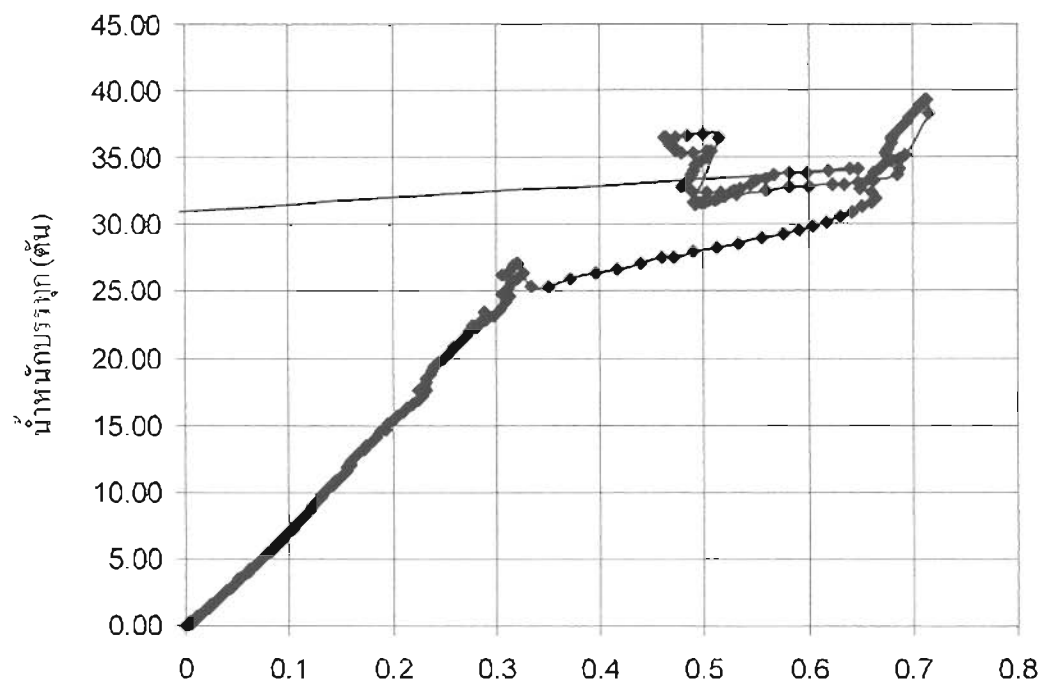
การเสียรูปตามแนวแกน ม.ม.

ภาพที่ ฉ-9 ความสัมพันธ์ระหว่างน้ำหนักบรรทุกและการเสียรูปตามแนวแกนจากมาตรวัด
ความเครียดที่ผิวคอนกรีต C14/2



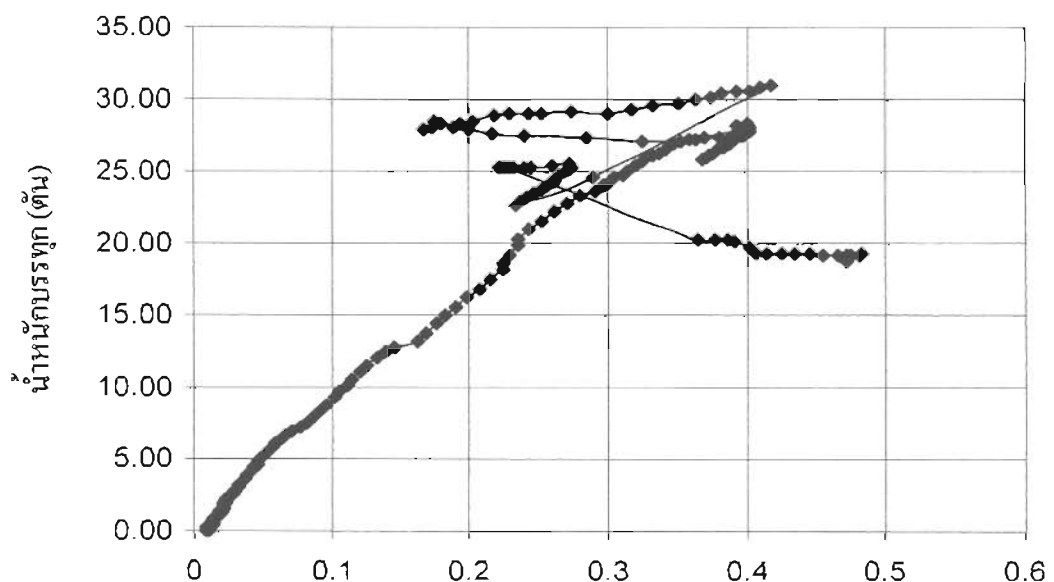
การเสียรูปตามแนวแกน ม.ม.

ภาพที่ ฉ-10 ความสัมพันธ์ระหว่างน้ำหนักบรรทุกและการเสียรูปตามแนวแกนจากมาตรวัด
ความเครียดที่ผิวคอนกรีต C19/2



การเสียรูปตามแนวแกน ม.ม.

ภาพที่ ฉ-11 ความสัมพันธ์ระหว่างน้ำหนักบรรทุกและการเสียรูปตามแนวแกนจากมาตรฐาน
ความเครียดที่ผิวคอนกรีต C24/2

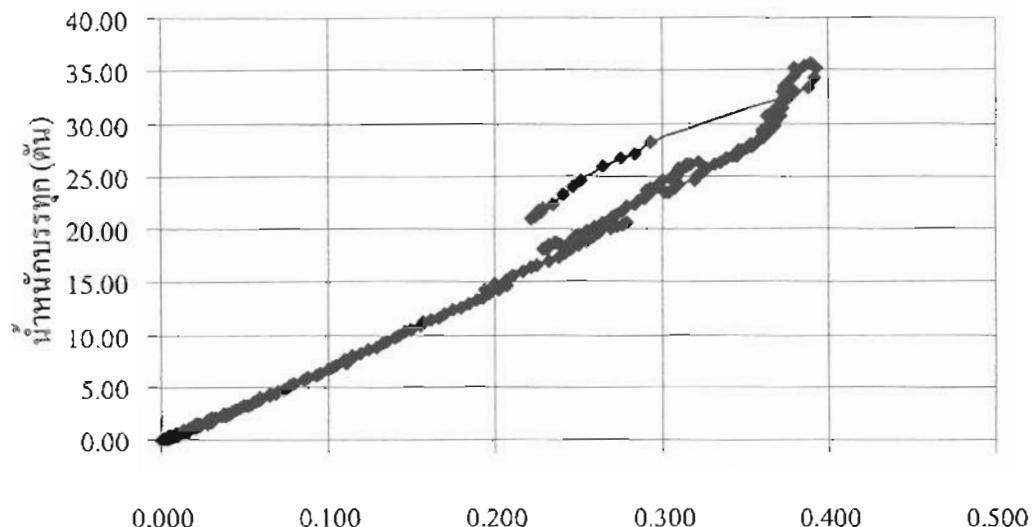


การเสียรูปตามแนวแกน ม.ม.

ภาพที่ ฉ-12 ความสัมพันธ์ระหว่างน้ำหนักบรรทุกและการเสียรูปตามแนวแกนจากมาตรฐาน
ความเครียดที่ผิวคอนกรีต C48/2

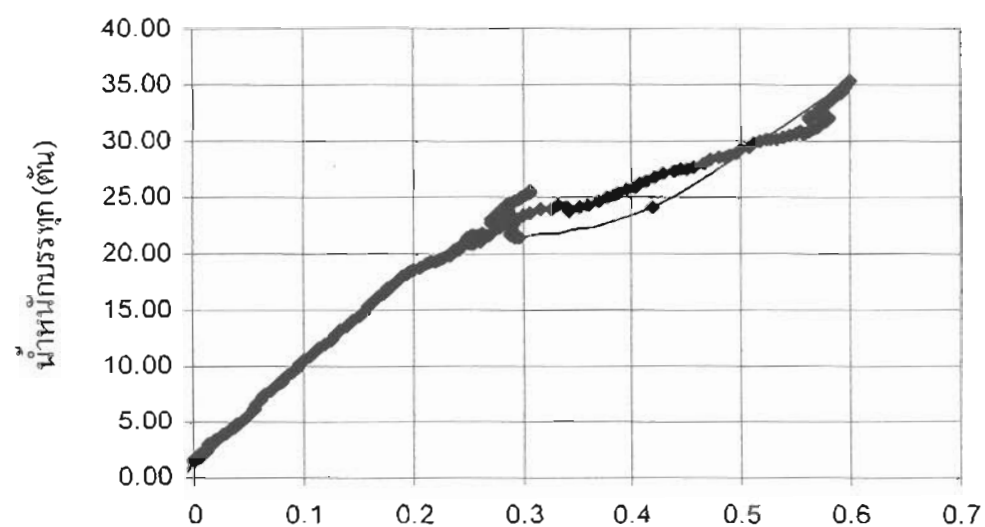
ภาคผนวก ช.

ช. ความสัมพันธ์ระหว่างน้ำหนักบรรทุกและการเสียรูปตามแนวแกนจากมาตรการวัดความเครียดที่เหล็กขึ้น



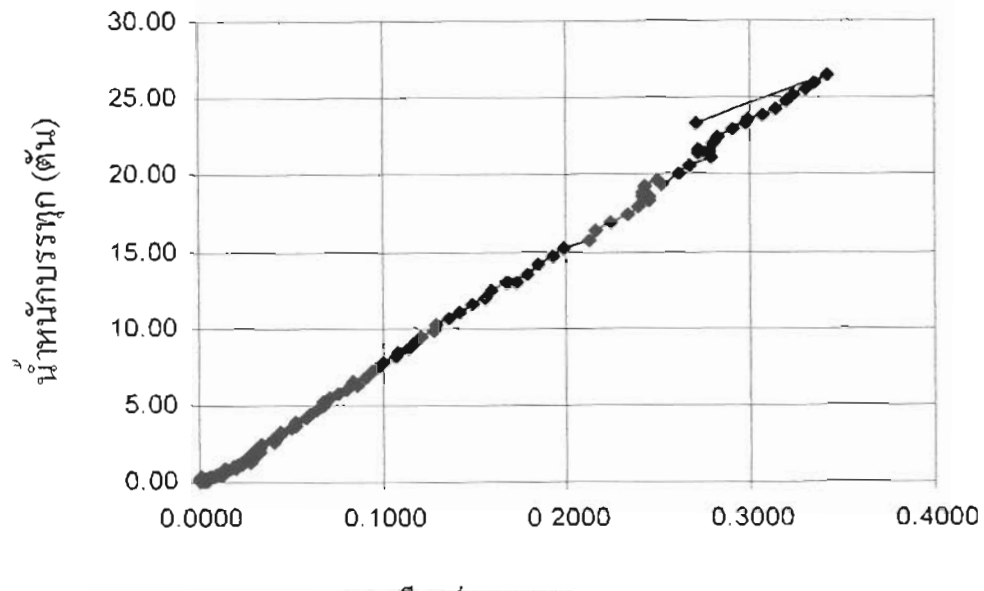
การเสียรูปตามแนวแกน ม.m.

ภาพที่ ช-1 ความสัมพันธ์ระหว่างน้ำหนักบรรทุกและการเสียรูปตามแนวแกนจากมาตรการวัดความเครียดที่เหล็กขึ้น A14/2



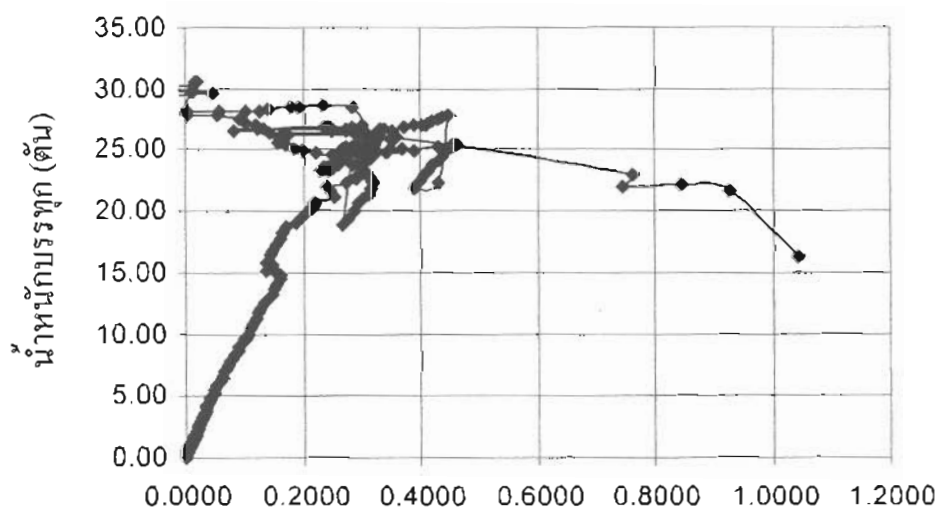
การเสียรูปตามแนวแกน ม.m.

ภาพที่ ช-2 ความสัมพันธ์ระหว่างน้ำหนักบรรทุกและการเสียรูปตามแนวแกนจากมาตรการวัดความเครียดที่เหล็กขึ้น A24/2



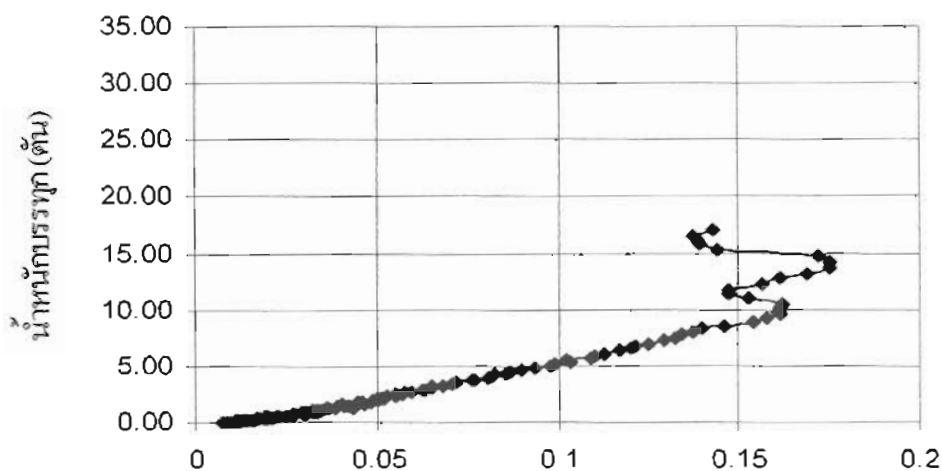
การเสียบปุ่มตามแนวแกน ม.ม.

ภาพที่ ช-3 ความสัมพันธ์ระหว่างน้ำหนักบรรทุกและการเสียบปุ่มตามแนวแกนจากมาตรฐาน
ความเครียดที่เหล็กขึ้น A29/2



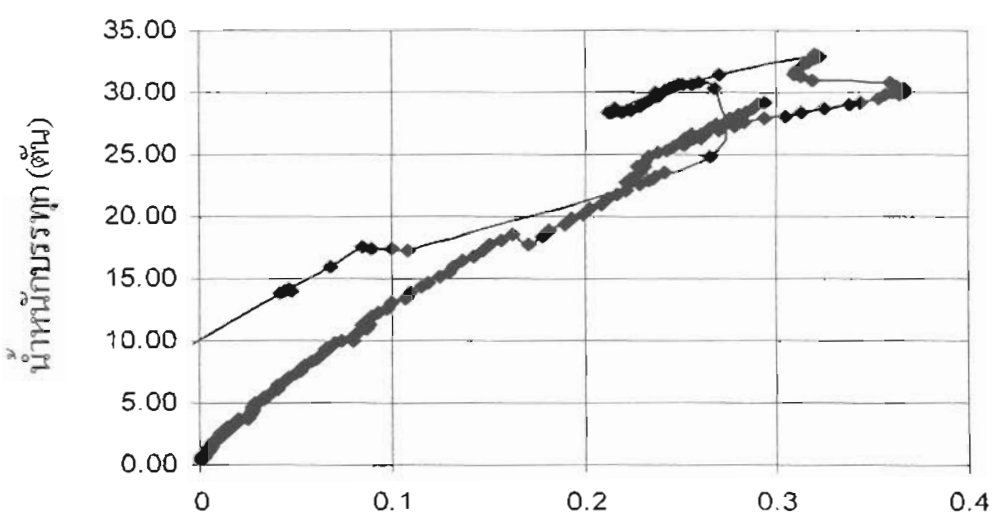
การเสียบปุ่มตามแนวแกน ม.ม.

ภาพที่ ช-4 ความสัมพันธ์ระหว่างน้ำหนักบรรทุกและการเสียบปุ่มตามแนวแกนจากมาตรฐาน
ความเครียดที่เหล็กขึ้น B14/2



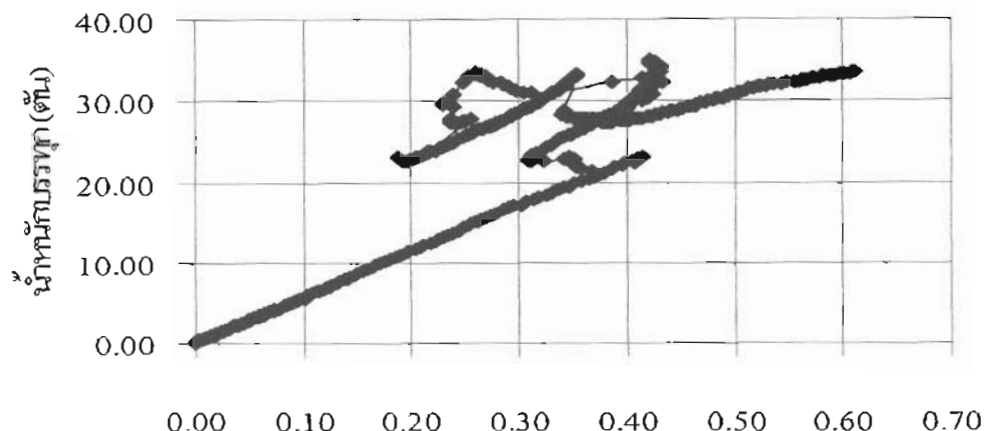
การเสียรูปตามแนวแกน ม.ม.

ภาพที่ ช-5 ความสัมพันธ์ระหว่างน้ำกับรากและการเสียรูปตามแนวแกนจากมาตรวัด
ความเครียดที่เหล็กยืน B24/2



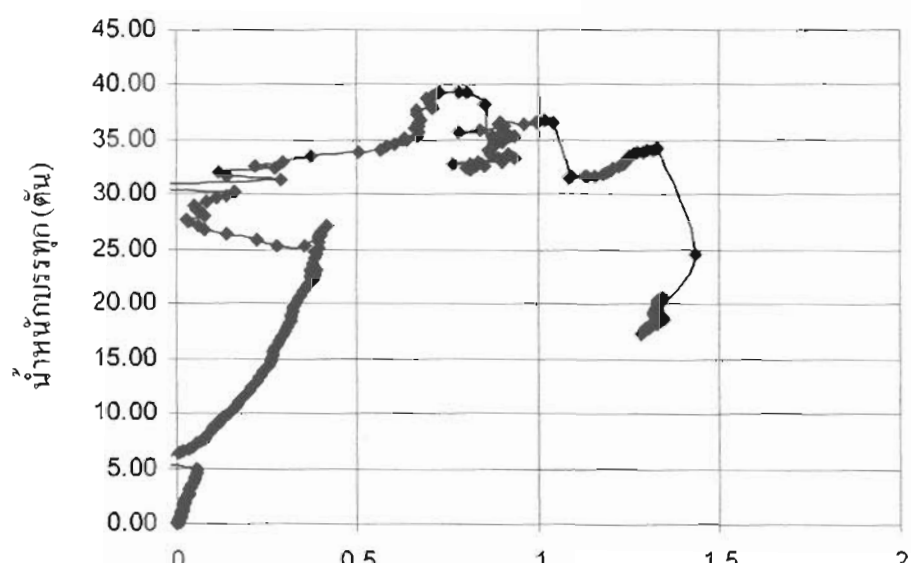
การเสียรูปตามแนวแกน ม.ม.

ภาพที่ ช-6 ความสัมพันธ์ระหว่างน้ำกับรากและการเสียรูปตามแนวแกนจากมาตรวัด
ความเครียดที่เหล็กยืน B43/2



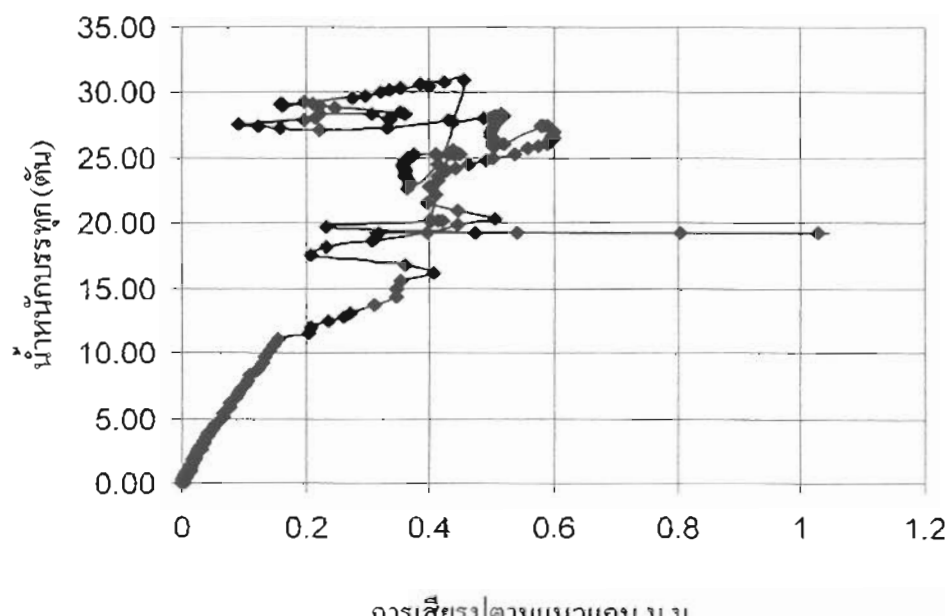
การเสียรูปตามแนวแกน ม.ม.

ภาพที่ ช-7 ความสัมพันธ์ระหว่างน้ำกับรากและ การเสียรูปตามแนวแกนจากมาตรวัด
ความเครียดที่เหล็กยืน C14/2



การเสียรูปตามแนวแกน ม.ม.

ภาพที่ ช-8 ความสัมพันธ์ระหว่างน้ำกับรากและ การเสียรูปตามแนวแกนจากมาตรวัด
ความเครียดที่เหล็กยืน C24/2

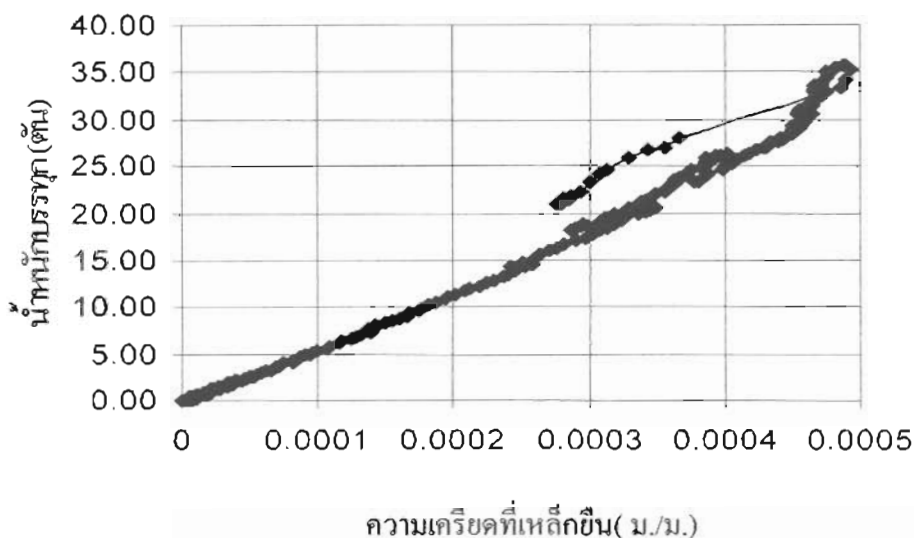


การเสียบูปความแน่วแน่น ม.ม.

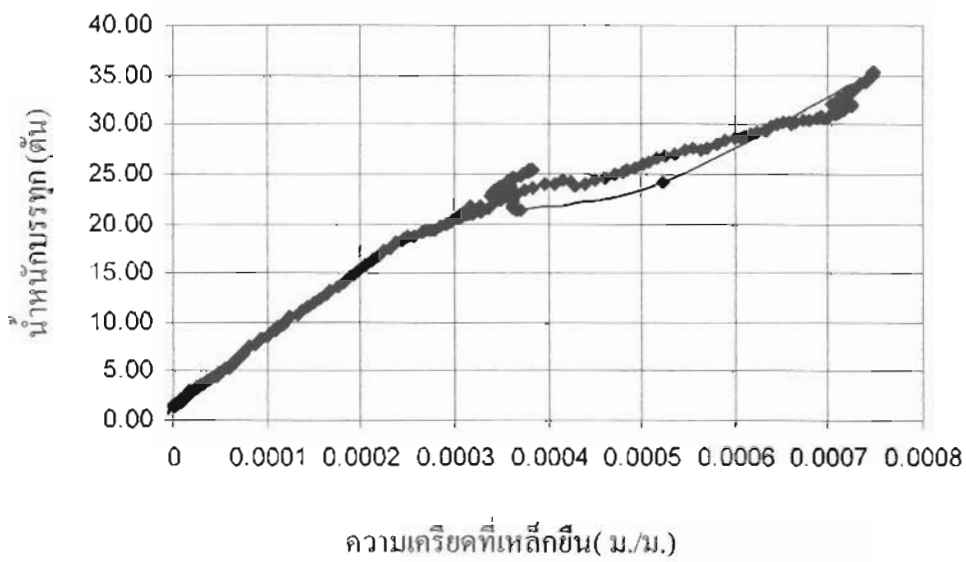
ภาพที่ ช-9 ความสันพันธ์ระหว่างน้ำหนักบารุงหลักและการเสียบูปความแน่วแน่นจากมาตรวัด
ความเครียบคงที่เหล็กยืน C48/2

ກາຄົມນະວຸດ ພ.ສ.

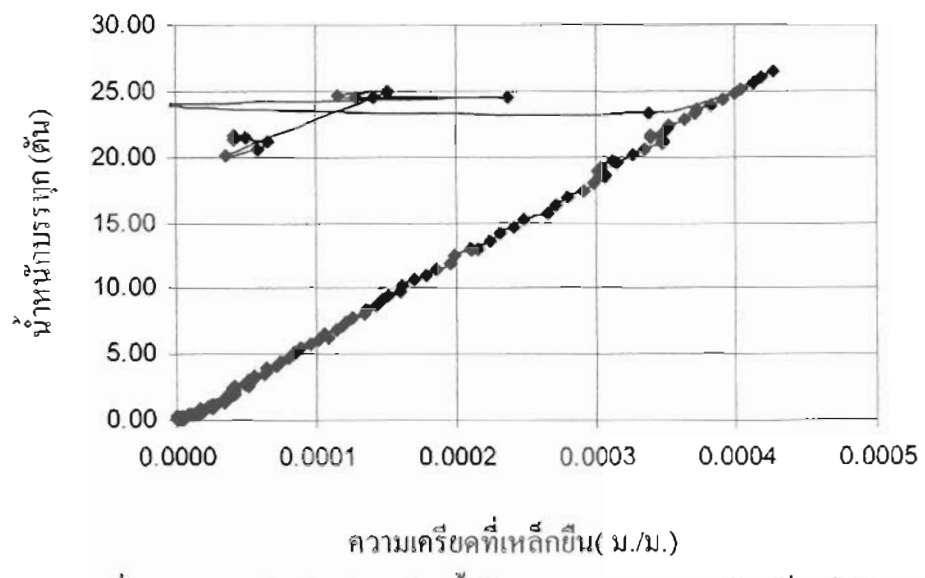
ช. กราฟแสดงความสัมพันธ์ระหว่างน้ำหนักบรรทุกและความเครียดที่เหล็กยืน



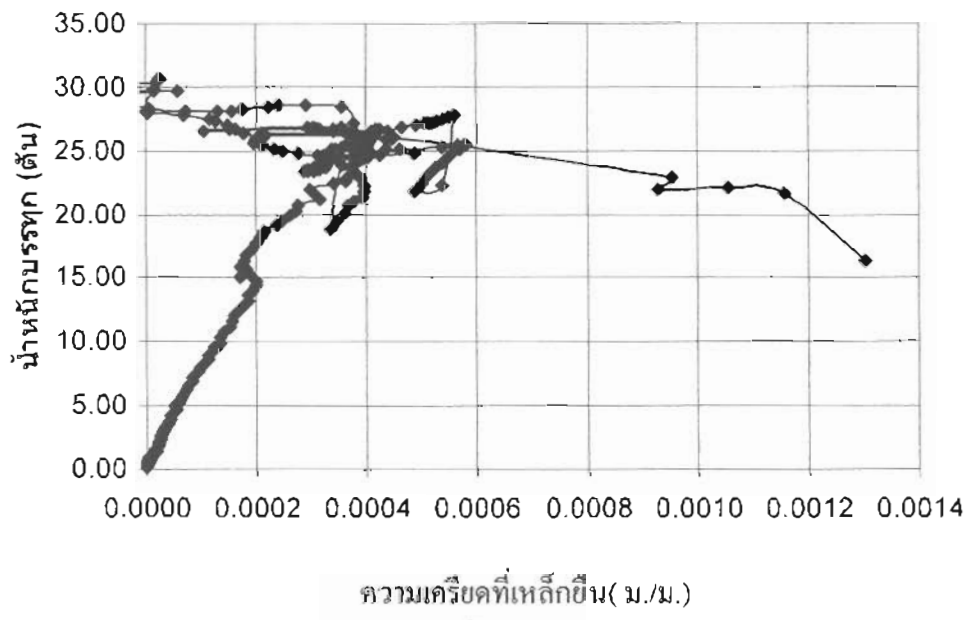
ภาพที่ ช-1 ความสัมพันธ์ระหว่างน้ำหนักบรรทุกและความเครียดที่เหล็กยืน A14/2



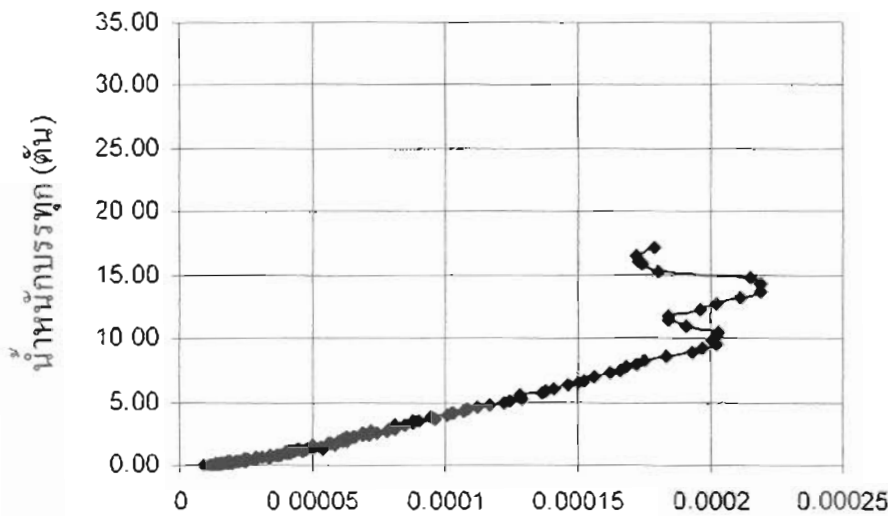
ภาพที่ ช-2 ความสัมพันธ์ระหว่างน้ำหนักบรรทุกและความเครียดที่เหล็กยืน A24/2



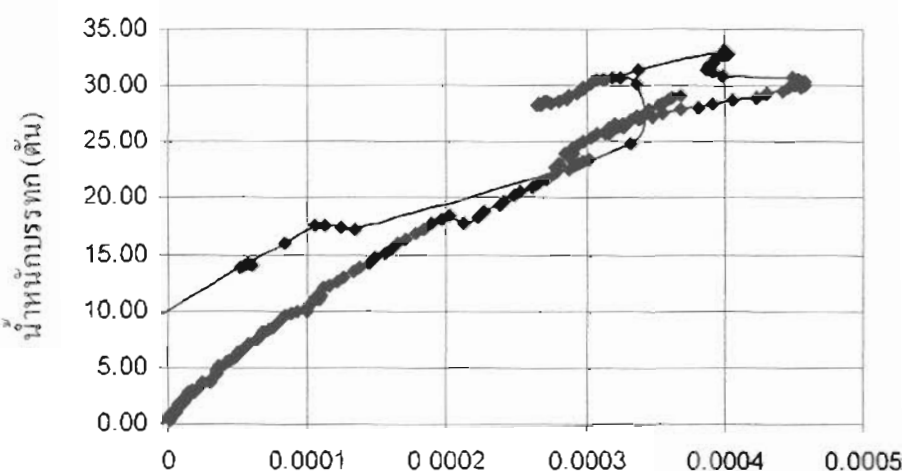
ภาพที่ ช-3 ความสัมพันธ์ระหว่างน้ำหนักบรรทุกและความเครียดที่เหล็กยืน A29/2



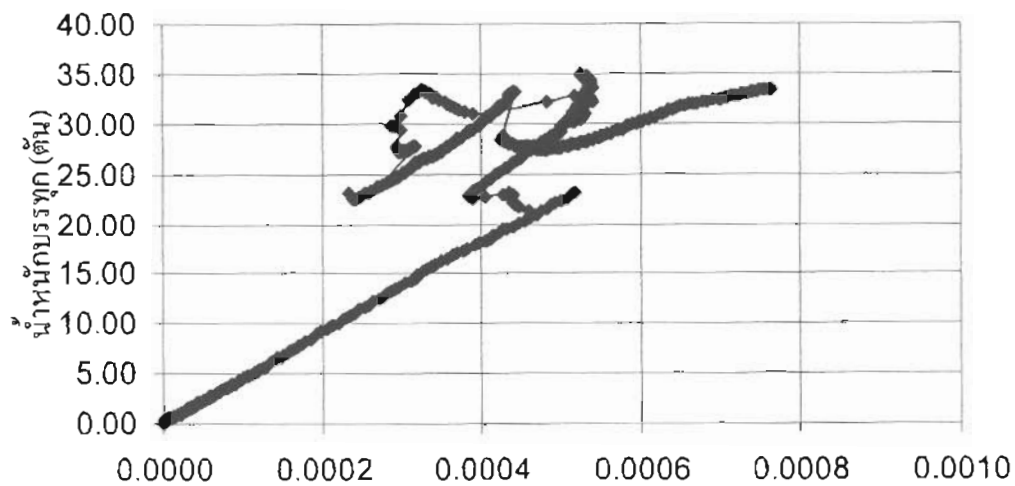
ภาพที่ ช-4 ความสัมพันธ์ระหว่างน้ำหนักบรรทุกและความเครียดที่เหล็กยืน B14/2



ภาพที่ ช-5 ความสัมพันธ์ระหว่างน้ำหนักบรรทุกและความเครียดที่เหล็กยืน B24/2

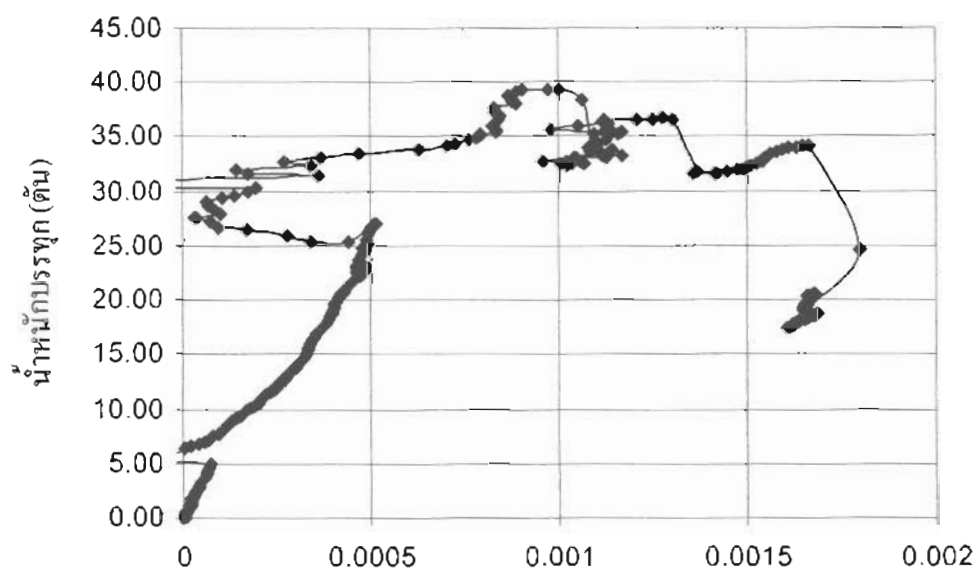


ภาพที่ ช-6 ความสัมพันธ์ระหว่างน้ำหนักบรรทุกและความเครียดที่เหล็กยืน B43/2



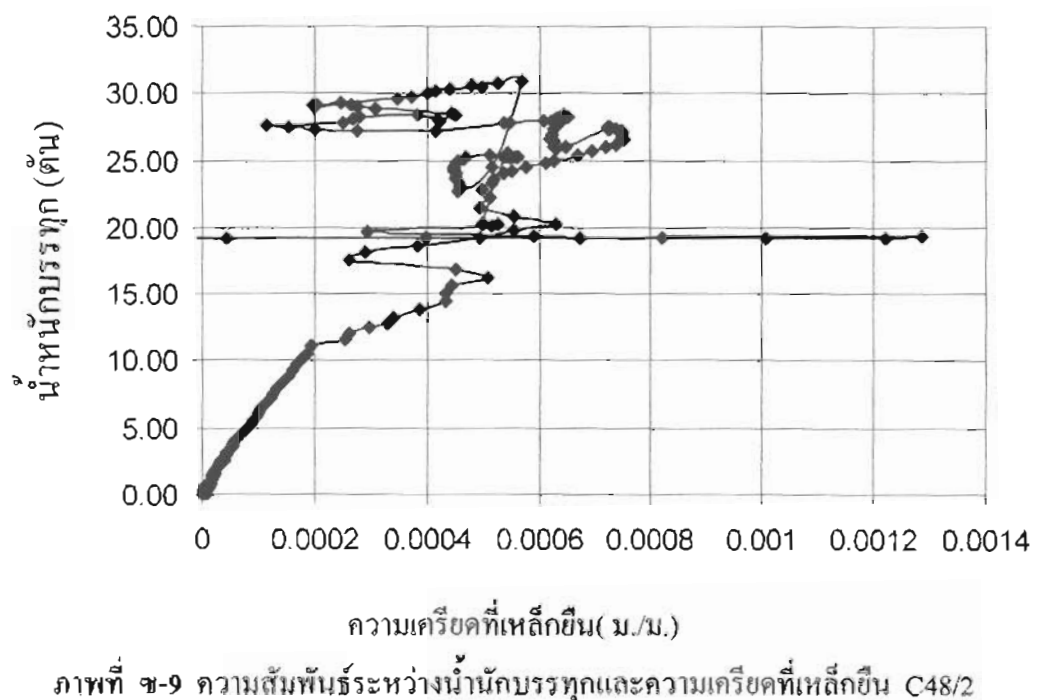
ความเครียดที่เหล็กยืน (ม./ม.)

ภาพที่ ช-7 ความสัมพันธ์ระหว่างน้ำหนักภารทุกและความเครียดที่เหล็กยืน C14/2



ความเครียดที่เหล็กยืน (ม./ม.)

ภาพที่ ช-8 ความสัมพันธ์ระหว่างน้ำหนักภารทุกและความเครียดที่เหล็กยืน C24/2



ประวัติผู้วิจัย

ชื่อ	: นายชนนปกรณ์ สังข์ทอง
ชื่อวิทยานิพนธ์	: การเปรียบเทียบกำลังอัคของเสาสันนกอนกรีตเสริมเหล็กที่เสริมเหล็ก ปลอกต่างกัน
สาขา	: โภชนา

ประวัติ

สำเร็จการศึกษาวิศวกรรมศาสตรบัณฑิต สาขาวิศวกรรมโยธา คณะวิศวกรรมศาสตร์
มหาวิทยาลัยศรีปทุม พ.ศ.2542

ปัจจุบันทำงานที่บริษัท ไนวน (ประเทศไทย) จำกัด ในตำแหน่ง หัวหน้าวิศวกรรม
วางแผนและควบคุมด้านทุน